



(12)

BẢN MÔ TẢ SÁNG CHẾ THUỘC BẰNG ĐỘC QUYỀN SÁNG CHẾ

(19)

CỘNG HÒA XÃ HỘI CHỦ NGHĨA VIỆT NAM (VN)
CỤC SỞ HỮU TRÍ TUỆ

(11)



1-0029432

(51)⁷

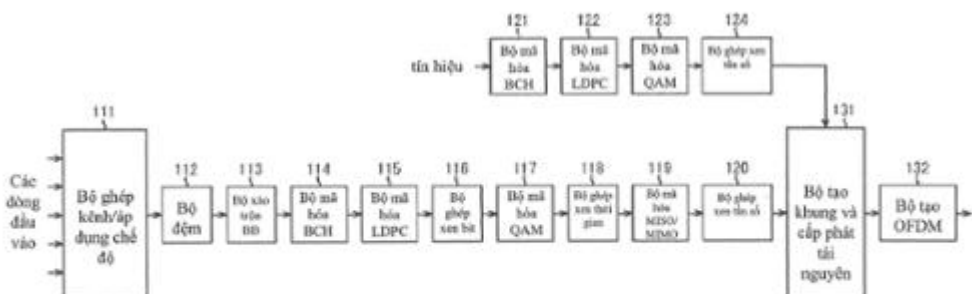
H03M 13/19

(13) B

- (21) 1-2015-02765 (22) 27/01/2014
(86) PCT/JP2014/051621 27/01/2014 (87) WO 2014/123015 A1 14/08/2014
(30) 2013-023880 08/02/2013 JP
(45) 25/09/2021 402 (43) 26/10/2015 331A
(73) SONY CORPORATION (JP)
1-7-1, Konan, Minato-Ku, Tokyo, 108-0075, Japan
(72) SHINOHARA Yuji (JP); YAMAMOTO Makiko (JP).
(74) Công ty TNHH một thành viên Sở hữu trí tuệ VCCI (VCCI-IP CO.,LTD)

(54) THIẾT BỊ XỬ LÝ DỮ LIỆU, PHƯƠNG PHÁP XỬ LÝ DỮ LIỆU VÀ BỘ THU TRUYỀN HÌNH

(57) Sáng chế đề cập đến thiết bị xử lý dữ liệu bao gồm bộ mã hóa có cấu hình để mã hóa bit thông tin thành mã LDPC (Low Density Parity Check - Kiểm tra chẵn lẻ mật độ thấp) có độ dài mã 64800 bit và tỷ lệ mã hóa là 7/30, dựa trên ma trận kiểm tra chẵn lẻ của mã LDPC. Mã LDPC bao gồm bit thông tin và bit chẵn lẻ. Ma trận kiểm tra chẵn lẻ bao gồm phần ma trận thông tin tương ứng với bit thông tin và phần ma trận chẵn lẻ tương ứng với bit chẵn lẻ. Phần ma trận thông tin được thể hiện bởi bảng giá trị khởi tạo ma trận kiểm tra chẵn lẻ. Bảng giá trị khởi tạo ma trận kiểm tra chẵn lẻ là bảng thể hiện các vị trí của các phần tử 1 của phần ma trận thông tin mỗi 360 cột.



Lĩnh vực kỹ thuật được đề cập

Sáng chế đề cập đến thiết bị xử lý dữ liệu và phương pháp xử lý dữ liệu, và, ví dụ, cụ thể là sáng chế đề cập đến thiết bị xử lý dữ liệu và phương pháp xử lý dữ liệu mà có thể cung cấp mã LDPC có tỷ lệ lỗi tốt.

Tình trạng kỹ thuật của sáng chế

Mã LDPC (Low Density Parity Check – Kiểm tra chẵn lẻ mật độ thấp) có khả năng sửa lỗi cao và đã đang được áp dụng rộng rãi tới hệ thống truyền bao gồm quảng bá số vệ tinh như DVB (Digital Video Broadcasting – Quảng bá video số)-S.2 được thực hiện tại châu Âu (ví dụ, viện dẫn tới tài liệu phi patent 1). Ngoài ra việc áp dụng mã LDPC tới quảng bá số mặt đất tiếp theo như DVB-T.2 đã được thử nghiệm.

Từ nghiên cứu hiện tại, đã biết rằng hiệu năng gần giới hạn Shannon thu được từ mã LDPC khi độ dài mã tăng lên, tương tự mã turbo. Do mã LDPC có đặc tính rằng khoảng cách ngắn nhất tỷ lệ với độ dài mã, mã LDPC có ưu điểm về đặc tính xác suất lỗi khói là ưu việt và hiện tượng sàn lỗi được quan sát trong đặc tính giải mã của mã turbo hiếm khi được tạo ra, như là đặc tính của nó.

Sau đây, mã LDPC sẽ được mô tả cụ thể. Mã LDPC là mã tuyến tính và không cần thiết để cho mã LDPC là mã nhị phân. Tuy nhiên, trong trường hợp này, giả thiết rằng mã LDPC là mã nhị phân.

Đặc tính lớn nhất của mã LDPC đó là ma trận kiểm tra chẵn lẻ xác định mã LDPC là phân tán. Trong trường hợp này, ma trận phân tán là ma trận trong đó số phần tử "1" của ma trận là rất nhỏ (ma trận trong đó hầu hết các phần tử là 0).

Fig.1 minh họa ví dụ của ma trận kiểm tra chẵn lẻ H của mã LDPC.

Trong ma trận kiểm tra chẵn lẻ H của Fig.1, trọng số của mỗi cột (trọng số cột) (số "1") trở thành "3" và trọng số của mỗi hàng (trọng số hàng) trở thành "6".

Trong việc mã hóa của mã LDPC (mã hóa LDPC), ví dụ, ma trận sinh G được tạo ra trên cơ sở của ma trận kiểm tra chẵn lẻ H và ma trận sinh G được nhân với các bit thông tin nhị phân, sao cho từ mã (mã LDPC) được tạo ra.

Cụ thể, thiết bị mã hóa mà thực hiện việc mã hóa LDPC đầu tiên tính toán ma trận sinh G trong đó biểu thức $GH^T = 0$ thu được, giữa ma trận chuyển

vị H^T của ma trận kiểm tra chẵn lẻ H và ma trận sinh G . Trong trường hợp này, khi ma trận sinh G là ma trận $K \times N$, thiết bị mã hóa nhân ma trận sinh G với chuỗi bit (vectơ u) của các bit thông tin bao gồm K bit và tạo ra từ mã c ($= uG$) bao gồm N bit. Từ mã (mã LDPC) mà được tạo ra bởi thiết bị mã hóa được thu tại phía thu thông qua đường truyền thông định trước.

Mã LDPC có thể được giải mã bởi thuật toán được gọi là giải mã xác suất được đề xuất bởi Gallager, tức là, thuật toán chuyển tin nhắn sử dụng lan truyền tin cậy trên biểu đồ Tanner, bao gồm nút biến thiên (cũng được gọi là nút tin nhắn) và nút kiểm tra. Sau đây, nút biến thiên và nút kiểm tra sau đây gọi là đơn giản là các nút.

Fig.2 minh họa chuỗi giải mã của mã LDPC.

Sau đây, giá trị thực (LLR thu) mà thu được bằng cách biểu diễn khả năng của "0" của giá trị của bit mã thứ i của mã LDPC (một từ mã) được thu bởi phía thu bởi tỷ lệ hợp lẽ logarit được gọi là giá trị thu u_{0i} . Ngoài ra, tin nhắn được xuất ra từ nút kiểm tra được gọi là u_j và tin nhắn được xuất ra từ nút biến thiên được gọi là v_i .

Đầu tiên, theo việc giải mã của mã LDPC, như được minh họa trên Fig.2, trong bước S11, mã LDPC được thu, tin nhắn (tin nhắn nút kiểm tra) u_j được khởi tạo là "0", và biến k lấy số nguyên là số đếm về quy trình xử lý được khởi tạo là "0", và xử lý chuyển sang bước S12. Trong bước S12, tin nhắn (tin nhắn nút biến thiên) v_i được tính toán bằng cách thực hiện phép toán (phép toán nút biến thiên) được biểu diễn bởi biểu thức (1), trên cơ sở của giá trị thu u_{0i} đạt được bằng cách thu mã LDPC, và tin nhắn u_j được tính toán bằng cách thực hiện phép toán (phép toán nút kiểm tra) được biểu diễn bởi biểu thức (2), trên cơ sở của tin nhắn v_i .

[Công thức toán 1]

$$v_i = u_{0i} + \sum_{j=1}^{d_v-1} u_j \quad \dots (1)$$

[Công thức toán 2]

$$\tanh\left(\frac{u_j}{2}\right) = \prod_{i=1}^{d_c-1} \tanh\left(\frac{v_i}{2}\right) \quad \dots (2)$$

Ở đây, d_v và d_c trong biểu thức (1) và biểu thức (2) lần lượt là các tham

số mà có thể được lựa chọn bất kỳ và minh họa số lượng "1" theo chiều dọc (cột) và chiều ngang (hàng) của ma trận kiểm tra chẵn lẻ H. Ví dụ, trong trường hợp của mã LDPC ((3, 6) mã LDPC) đối với ma trận kiểm tra chẵn lẻ H với trọng số cột là 3 và trọng số hàng là 6 như được minh họa trên Fig.1, $d_v=3$ và $d_c=6$ được thiết lập.

Trong phép toán nút biến thiên của biểu thức (1) và phép toán nút kiểm tra của biểu thức (2), do tin nhắn được nhập vào từ biến (dòng nối nút biến thiên và nút kiểm tra) để xuất ra tin nhắn không phải là đích phép toán, phạm vi thực hiện phép toán sẽ là từ 1 đến $d_v - 1$ hoặc từ 1 đến $d_c - 1$. Phép toán nút kiểm tra của biểu thức (2) được thực hiện thực tế bằng cách tạo ra trước đó bảng của hàm R (v_1, v_2) được biểu diễn bởi biểu thức (3) được xác định bởi một đầu ra đối với hai đầu vào v_1 và v_2 và sử dụng bảng liên tiếp (đệ quy), như được biểu diễn bởi biểu thức (4).

[Công thức toán 3]

$$x = 2 \tanh^{-1} \{ \tanh(v_1/2) \tanh(v_2/2) \} = R(v_1, v_2) \quad \dots (3)$$

[Công thức toán 4]

$$u_j = R(v_1, R(v_2, R(v_3, \dots R(v_{d_c-2}, v_{d_c-1})))) \quad \dots (4)$$

Trong bước S12, biến k được gia tăng thêm "1" và quy trình xử lý chuyển sang bước S13. Trong bước S13, có xác định rằng biến k có lớn hơn số lần giải mã lặp lại định trước C hay không. Khi được xác định trong bước S13 rằng biến k không lớn hơn C, thì quy trình xử lý quay lại bước S12 và quy trình xử lý tương tự được lặp lại sau đây.

Khi được xác định trong bước S13 rằng biến k lớn hơn C, thì quy trình xử lý chuyển sang bước S14, tin nhắn v_i mà tương ứng với kết quả giải mã được xuất ra cuối cùng được tính toán bằng cách thực hiện phép toán được biểu diễn bởi biểu thức (5) và được xuất ra, và quy trình xử lý giải mã của mã LDPC kết thúc.

[Công thức toán 5]

$$v_i = u_{0i} + \sum_{j=1}^{d_v} u_j \quad \dots (5)$$

Trong trường hợp này, phép toán của biểu thức (5) được thực hiện nhờ sử dụng các tin nhắn u_j từ tất cả các biến được kết nối tới nút biến thiên, khác với phép toán nút biến thiên của biểu thức (1).

Fig.3 minh họa ví dụ của ma trận kiểm tra chẵn lẻ H của mã LDPC (3, 6) (tỷ lệ mã hóa là 1/2 và độ dài mã là 12).

Trong ma trận kiểm tra chẵn lẻ H của Fig.3, trọng số của cột được thiết lập là 3 và trọng số của hàng được thiết lập là 6, tương tự Fig.1.

Fig.4 minh họa biểu đồ Tanner của ma trận kiểm tra chẵn lẻ H của Fig.3.

Trên Fig.4, nút kiểm tra được biểu diễn bởi "+"(cộng) và nút biến thiên được biểu diễn bởi "="(bằng). Nút kiểm tra và nút biến thiên tương ứng với hàng và cột của ma trận kiểm tra chẵn lẻ H . Dòng mà nối nút kiểm tra và nút biến thiên là biến và tương ứng với "1" của các phần tử của ma trận kiểm tra chẵn lẻ.

Tức là, khi phần tử của hàng thứ j và cột thứ i của ma trận kiểm tra chẵn lẻ là 1, trên Fig.4, nút biến thiên thứ i (nút của "=") từ phía trên và nút kiểm tra thứ j (nút của "+") từ phía trên được kết nối bởi biến. Biến thể hiện rằng bit mã tương ứng với nút biến thiên có điều kiện hạn chế tương ứng với nút kiểm tra.

Theo thuật toán tích tổng mà là phương pháp giải mã của mã LDPC, phép toán nút biến thiên và phép toán nút kiểm tra được thực hiện một cách lặp lại.

Fig.5 minh họa phép toán nút biến thiên mà được thực hiện bởi nút biến thiên.

Trong nút biến thiên, tin nhắn v_i mà tương ứng với biến để tính toán được tính toán bởi phép toán nút biến thiên của biểu thức (1) nhờ sử dụng các tin nhắn u_1 và u_2 từ các biến còn lại được kết nối tới nút biến thiên và giá trị thu u_{0i} . Các tin nhắn mà tương ứng với các biến khác cũng được tính toán bởi cùng phương pháp.

Fig.6 minh họa phép toán nút kiểm tra mà được thực hiện bởi nút kiểm tra.

Trong trường hợp này, phép toán nút kiểm tra của biểu thức (2) có thể được ghi lại bởi biểu thức (6) sử dụng quan hệ của biểu thức $a \times b = \exp\{\ln(|a|) + \ln(|b|)\} \times \text{sign}(a) \times \text{sign}(b)$. Tuy nhiên, $\text{sign}(x)$ là 1 trong trường hợp của $x \geq 0$ và là -1 trong trường hợp của $x < 0$.

[Công thức toán 6]

$$\begin{aligned}
u_j &= 2 \tanh^{-1} \left(\prod_{i=1}^{d_c-1} \tanh \left(\frac{v_i}{2} \right) \right) \\
&= 2 \tanh^{-1} \left[\exp \left\{ \sum_{i=1}^{d_c-1} \ln \left(\left| \tanh \left(\frac{v_i}{2} \right) \right| \right) \right\} \times \prod_{i=1}^{d_c-1} \operatorname{sign} \left(\tanh \left(\frac{v_i}{2} \right) \right) \right] \\
&= 2 \tanh^{-1} \left[\exp \left\{ - \left(\sum_{i=1}^{d_c-1} -\ln \left(\tanh \left(\frac{|v_i|}{2} \right) \right) \right) \right\} \times \prod_{i=1}^{d_c-1} \operatorname{sign}(v_i) \right] \dots (6)
\end{aligned}$$

Trong $x \geq 0$, nếu hàm $\phi(x)$ được xác định là biểu thức $\phi(x) = \ln(\tanh(x/2))$, biểu thức $\phi^{-1}(x) = 2\tanh^{-1}(e^{-x})$ sẽ thu được. Vì lý do này, biểu thức (6) có thể được thay đổi thành biểu thức (7).

[Công thức toán 7]

$$u_j = \phi^{-1} \left(\sum_{i=1}^{d_c-1} \phi(|v_i|) \right) \times \prod_{i=1}^{d_c-1} \operatorname{sign}(v_i) \dots (7)$$

Trong nút kiểm tra, phép toán nút kiểm tra của biểu thức (2) được thực hiện theo biểu thức (7).

Tức là, trong nút kiểm tra, như được minh họa trên Fig.6, tin nhắn u_j mà tương ứng với biên cho việc tính toán được tính toán bởi phép toán nút kiểm tra của biểu thức (7) nhờ sử dụng các tin nhắn v_1, v_2, v_3, v_4 , và v_5 từ các biên còn lại được kết nối tới nút kiểm tra. Các tin nhắn mà tương ứng với các biên khác cũng được tính toán bởi cùng phương pháp.

Hàm $\phi(x)$ của biểu thức (7) có thể được biểu diễn như là $\phi(x) = \ln((e^x+1)/(e^x-1))$ và $\phi(x) = \phi^{-1}(x)$ được thỏa mãn trong $x > 0$. Khi các hàm $\phi(x)$ và $\phi^{-1}(x)$ được bố trí vào phần cứng, các hàm $\phi(x)$ và $\phi^{-1}(x)$ có thể được bố trí sử dụng LUT (Look Up Table – Bảng tra cứu). Tuy nhiên, cả hai hàm $\phi(x)$ và $\phi^{-1}(x)$ trở thành cùng LUT.

Danh sách tài liệu trích dẫn

Tài liệu phi patent

Tài liệu phi patent 1: DVB-S.2: ETSI EN 302 307 V1.2.1 (2009-08)

Tiêu chuẩn DVB như DVB-S.2, DVB-T.2, và DVB-C.2 mà áp dụng mã LDPC tạo ra mã LDPC dưới dạng ký hiệu (được ký hiệu hóa) để điều biến trực giao (điều biến số) như QPSK (Quadrature Phase Shift Keying – Khóa dịch pha cầu phương) và ký hiệu này được ánh xạ tới điểm tín hiệu và được truyền.

Ngoài ra, trong những năm gần đây, ví dụ, dữ liệu dung lượng lớn như

ảnh 4k với độ phân giải có chiều rộng và dài là 3840×2160 điểm ảnh cao gấp gần bốn lần tầm nhìn cao toàn phần và ảnh 3D (ba chiều) được yêu cầu để được truyền hiệu quả.

Tuy nhiên, nếu hiệu quả truyền dữ liệu được ưu tiên, tỷ lệ lỗi sẽ được giảm.

Mặt khác, có trường hợp mà có yêu cầu truyền dữ liệu ở tỷ lệ lỗi tuyệt vời ngay cả nếu hiệu quả của việc truyền dữ liệu được hi sinh phần nào.

Giả thiết rằng việc truyền dữ liệu trong các loại hiệu quả khác nhau được yêu cầu trong tương lai, nhưng, theo mã LDPC, ví dụ, bằng cách chuẩn bị các mã LDPC có các tỷ lệ mã hóa khác nhau, có thể thực hiện truyền dữ liệu theo các loại hiệu quả khác nhau.

Do đó, đối với việc truyền dữ liệu, có mong muốn áp dụng các mã LDPC có các tỷ lệ mã hóa, để cho số lượng lớn nào đó (ví dụ, số lượng bằng hoặc lớn hơn số lượng được yêu cầu để truyền dữ liệu) có tỷ lệ mã hóa được thiết lập dễ dàng.

Ngoài ra, ngay cả trong trường hợp mà mã LDPC có tỷ lệ mã hóa bất kỳ được sử dụng, có mong muốn rằng khả năng chống lỗi là cao (mạnh), tức là, tỷ lệ lỗi tốt.

Bản chất kỹ thuật của sáng chế

Sáng chế được tạo ra để giải quyết vấn đề nêu trên, và có thể cung cấp mã LDPC có tỷ lệ lỗi tốt.

Giải quyết vấn đề

Thiết bị xử lý dữ liệu hoặc phương pháp xử lý dữ liệu thứ nhất theo sáng chế bao gồm bộ mã hóa hoặc bước mã hóa để mã hóa bit thông tin thành mã LDPC có độ dài mã 64800 bit và tỷ lệ mã hóa là 7/30, dựa trên ma trận kiểm tra chẵn lẻ của mã LDPC (Low Density Parity Check – Kiểm tra chẵn lẻ mật độ thấp). Mã LDPC bao gồm bit thông tin và bit chẵn lẻ. Ma trận kiểm tra chẵn lẻ bao gồm phần ma trận thông tin tương ứng với bit thông tin và phần ma trận chẵn lẻ tương ứng với bit chẵn lẻ. Phần ma trận thông tin được thể hiện bởi bảng giá trị khởi tạo ma trận kiểm tra chẵn lẻ. Bảng giá trị khởi tạo ma trận kiểm tra chẵn lẻ là bảng thể hiện các vị trí của các phần tử 1 của phần ma trận thông tin mỗi 360 cột và được biểu diễn như sau

548 9528 12205 12770 22023 22082 25884 27421 33215 36046 43580 43953
47539

29432

919 2623 5098 5514 5645 6348 9666 13795 14555 43224 44048 44948 47964
995 7270 17753 21272 29228 29916 31634 34055 35205 37499 37777 47490
49301
645 3803 8836 9470 11054 20253 29417 31243 31990 36468 38715 39932
43045
14572 18646 21100 26617 32033 32410 37195 38586 43833 44577 45584
46453 49515
6004 16982 17829 24616 28056 29646 32944 39051 42517 47086 48585
48772 49247
1306 1447 4898 7781 18587 25724 26672 35062 35202 37080 39781 46111
47595
92 3231 13043 22258 24198 28923 33303 37846 43610 44857 47322 48914
49291
298 12557 13469 14451 21917 23539 26310 29839 37050 38507 41377 46971
48155
12582 13044 21039 30600 34202 34947 37120 39108 39203 43449 46941
48542 49354
871 12218 12680 14152 17171 25797 29021 37783 43728 47519 48794 48898
48980
35 4623 13422 15881 16692 17463 23675 28063 31248 41997 44246 47992
48339
7150 13015 17950 18214 20659 23579 25714 28328 32658 39717 39995
43322 45884
82 11054 11845 19085 24174 26694 41530 45954 46508 46892 48832 49097
49420
5789 13839 18512 25596 26478 26736 29431 32349 33384 41765 46661
49206 49543
13805 17786 17798 29653 30310 34870 40176 40391 43227 45292 46423
46855 49454
12433 27119 34645
32065 34998 44021
5158 16546 34359
44 33285 39929
39032 39296 40317

9885 45251 47640
 14383 43446 44478
 31280 39945 48472
 27961 38221 48391
 2927 37404 38716
 19461 42462 46162
 24909 25915 40636
 11029 35538 45381
 26880 34179 48775
 192 6032 26853
 4563 14952 24256
 10003 30853 43811
 749 36334 41363
 100 17006 24982
 9507 20228 31214
 41691 44310 47083
 24070 30411 46982
 2727 28251 49289
 16689 21167 32590
 40813 41198 46175
 8336 32714 43075.

Thiết bị xử lý dữ liệu hoặc phương pháp xử lý dữ liệu thứ hai theo sáng chế bao gồm bộ giải mã hoặc bước giải mã để giải mã mã LDPC có độ dài mã 64800 bit và tỷ lệ mã hóa là 7/30, dựa trên ma trận kiểm tra chẵn lẻ của mã LDPC (Low Density Parity Check - Kiểm tra chẵn lẻ mật độ thấp). Mã LDPC bao gồm bit thông tin và bit chẵn lẻ. Ma trận kiểm tra chẵn lẻ bao gồm phần ma trận thông tin tương ứng với bit thông tin và phần ma trận chẵn lẻ tương ứng với bit chẵn lẻ. Phần ma trận thông tin được thể hiện bởi bảng giá trị khởi tạo ma trận kiểm tra chẵn lẻ. Bảng giá trị khởi tạo ma trận kiểm tra chẵn lẻ là bảng thể hiện các vị trí của các phần tử 1 của phần ma trận thông tin mỗi 360 cột và được biểu diễn như sau

548 9528 12205 12770 22023 22082 25884 27421 33215 36046 43580 43953
 47539
 919 2623 5098 5514 5645 6348 9666 13795 14555 43224 44048 44948 47964

29432

995 7270 17753 21272 29228 29916 31634 34055 35205 37499 37777 47490
49301
645 3803 8836 9470 11054 20253 29417 31243 31990 36468 38715 39932
43045
14572 18646 21100 26617 32033 32410 37195 38586 43833 44577 45584
46453 49515
6004 16982 17829 24616 28056 29646 32944 39051 42517 47086 48585
48772 49247
1306 1447 4898 7781 18587 25724 26672 35062 35202 37080 39781 46111
47595
92 3231 13043 22258 24198 28923 33303 37846 43610 44857 47322 48914
49291
298 12557 13469 14451 21917 23539 26310 29839 37050 38507 41377 46971
48155
12582 13044 21039 30600 34202 34947 37120 39108 39203 43449 46941
48542 49354
871 12218 12680 14152 17171 25797 29021 37783 43728 47519 48794 48898
48980
35 4623 13422 15881 16692 17463 23675 28063 31248 41997 44246 47992
48339
7150 13015 17950 18214 20659 23579 25714 28328 32658 39717 39995
43322 45884
82 11054 11845 19085 24174 26694 41530 45954 46508 46892 48832 49097
49420
5789 13839 18512 25596 26478 26736 29431 32349 33384 41765 46661
49206 49543
13805 17786 17798 29653 30310 34870 40176 40391 43227 45292 46423
46855 49454
12433 27119 34645
32065 34998 44021
5158 16546 34359
44 33285 39929
39032 39296 40317
9885 45251 47640

14383 43446 44478
 31280 39945 48472
 27961 38221 48391
 2927 37404 38716
 19461 42462 46162
 24909 25915 40636
 11029 35538 45381
 26880 34179 48775
 192 6032 26853
 4563 14952 24256
 10003 30853 43811
 749 36334 41363
 100 17006 24982
 9507 20228 31214
 41691 44310 47083
 24070 30411 46982
 2727 28251 49289
 16689 21167 32590
 40813 41198 46175
 8336 32714 43075.

Thiết bị xử lý dữ liệu hoặc phương pháp xử lý dữ liệu thứ ba theo sáng chế bao gồm bộ mã hóa hoặc bước mã hóa để mã hóa bit thông tin thành mã LDPC có độ dài mã 64800 bit và tỷ lệ mã hóa là 8/30, dựa trên ma trận kiểm tra chẵn lẻ của mã LDPC (Low Density Parity Check - Kiểm tra chẵn lẻ mật độ thấp). Mã LDPC bao gồm bit thông tin và bit chẵn lẻ. Ma trận kiểm tra chẵn lẻ bao gồm phần ma trận thông tin tương ứng với bit thông tin và phần ma trận chẵn lẻ tương ứng với bit chẵn lẻ. Phần ma trận thông tin được thể hiện bởi bảng giá trị khởi tạo ma trận kiểm tra chẵn lẻ. Bảng giá trị khởi tạo ma trận kiểm tra chẵn lẻ là bảng thể hiện các vị trí của các phần tử 1 của phần ma trận thông tin mỗi 360 cột và được biểu diễn như sau

100 3433 4111 9089 13360 24012 26305 30252 31430 31769 34689 34917
 36091 40873 41983 42689 43835 44318 47109
 3 48 124 2240 7029 21694 24565 29302 39777 42706 43631 43784 46033
 47064 47079 47141 47239 47439 47479

2 5675 7056 12715 24128 26596 30571 38210 38586 41138 42272 43336
 43444 43917 45812 46840 47245 47286 47510
 2103 4285 10068 10702 12693 17619 18711 21309 22191 22999 37432 45646
 46275 46338 46777 46860 46963 47432 47472
 6827 8209 8606 10412 15670 19469 22205 22215 25425 29565 34843 34985
 37686 39277 44625 45016 45623 47069 47250
 58 114 1751 7913 24642 26995 40734 41486 43133 44804 45490 45725
 46122 46412 47019 47080 47103 47495 47506
 96 5952 9078 9786 17738 17888 17986 31657 34430 34763 35450 37276
 42395 43223 43283 44261 45648 47014 47276
 106 5405 9614 20500 21633 23242 28875 37238 38854 41778 42292 43883
 45909 46558 46826 47292 47353 47436 47504
 32 11217 12153 26818 27616 38783 39976 40842 43581 43703 44287 44435
 44576 44774 46080 46098 46801 46813 47168
 65 102 111 3879 11224 11772 23623 27306 28726 34663 34873 36288 39196
 42003 45279 45629 46836 47021 47419
 77 131 11275 18964 20418 22364 22635 27727 28689 29720 29781 32110
 41597 42046 43952 44786 46416 46808 47200
 87 8637 10829 23737 24117 26486 29603 34389 35509 35872 38948 40643
 42698 45949 46159 46660 47041 47165 47220
 2 58 3110 7539 8886 10422 11597 13385 27870 35895 38120 43546 44948
 46272 46369 46596 47199 47317 47351
 78 16119 27780 32231 38973 39088 40118 40231 43170 44131 44203 44878
 45905 46250 47011 47113 47195 47303 47427
 2960 6685 8830 11107 11843 12811 30030 36574 36850 36920 37706 38025
 41007 43554 44109 44643 45874 46469 46565
 125 366 10175 29860
 45 17503 44634 45789
 6272 19614 34408 37248
 14785 41017 44274 46858
 19935 22960 44726 44919
 15247 17925 33947 37392
 34631 39148 43287 45443
 8544 26457 30996 38672

11725 31442 42167 45461
 22357 41743 46702 47285
 13786 26288 41358 43082
 7306 21352 43298 47359
 77 5188 20988 45572
 10334 23790 40878
 9304 29379 47450
 22048 44762 47300
 8529 8825 47443
 40831 41328 46415
 26715 43038 46498
 26925 30797 43181
 32434 45624 47460
 17989 31811 47215
 5624 25501 33016
 5024 9037 33642
 93 7329 46908
 20303 42578 46780
 16137 26869 42360
 112 3049 46527
 23615 29931 47360
 23050 24267 44687
 60 40754 47114
 30217 36283 37445
 127 27308 38345.

Thiết bị xử lý dữ liệu hoặc phương pháp xử lý dữ liệu thứ tư theo sáng chế bao gồm bộ giải mã hoặc bước giải mã để giải mã mã LDPC có độ dài mã 64800 bit và tỷ lệ mã hóa là 8/30, dựa trên ma trận kiểm tra chẵn lẻ của mã LDPC (Low Density Parity Check - Kiểm tra chẵn lẻ mật độ thấp). Mã LDPC bao gồm bit thông tin và bit chẵn lẻ. Ma trận kiểm tra chẵn lẻ bao gồm phần ma trận thông tin tương ứng với bit thông tin và phần ma trận chẵn lẻ tương ứng với bit chẵn lẻ. Phần ma trận thông tin được thể hiện bởi bảng giá trị khởi tạo ma trận kiểm tra chẵn lẻ. Bảng giá trị khởi tạo ma trận kiểm tra chẵn lẻ là bảng thể hiện các vị trí của các phần tử 1 của phần ma trận thông tin mỗi 360 cột và được

biểu diễn như sau

100 3433 4111 9089 13360 24012 26305 30252 31430 31769 34689 34917
 36091 40873 41983 42689 43835 44318 47109
 3 48 124 2240 7029 21694 24565 29302 39777 42706 43631 43784 46033
 47064 47079 47141 47239 47439 47479
 2 5675 7056 12715 24128 26596 30571 38210 38586 41138 42272 43336
 43444 43917 45812 46840 47245 47286 47510
 2103 4285 10068 10702 12693 17619 18711 21309 22191 22999 37432 45646
 46275 46338 46777 46860 46963 47432 47472
 6827 8209 8606 10412 15670 19469 22205 22215 25425 29565 34843 34985
 37686 39277 44625 45016 45623 47069 47250
 58 114 1751 7913 24642 26995 40734 41486 43133 44804 45490 45725
 46122 46412 47019 47080 47103 47495 47506
 96 5952 9078 9786 17738 17888 17986 31657 34430 34763 35450 37276
 42395 43223 43283 44261 45648 47014 47276
 106 5405 9614 20500 21633 23242 28875 37238 38854 41778 42292 43883
 45909 46558 46826 47292 47353 47436 47504
 32 11217 12153 26818 27616 38783 39976 40842 43581 43703 44287 44435
 44576 44774 46080 46098 46801 46813 47168
 65 102 111 3879 11224 11772 23623 27306 28726 34663 34873 36288 39196
 42003 45279 45629 46836 47021 47419
 77 131 11275 18964 20418 22364 22635 27727 28689 29720 29781 32110
 41597 42046 43952 44786 46416 46808 47200
 87 8637 10829 23737 24117 26486 29603 34389 35509 35872 38948 40643
 42698 45949 46159 46660 47041 47165 47220
 2 58 3110 7539 8886 10422 11597 13385 27870 35895 38120 43546 44948
 46272 46369 46596 47199 47317 47351
 78 16119 27780 32231 38973 39088 40118 40231 43170 44131 44203 44878
 45905 46250 47011 47113 47195 47303 47427
 2960 6685 8830 11107 11843 12811 30030 36574 36850 36920 37706 38025
 41007 43554 44109 44643 45874 46469 46565
 125 366 10175 29860
 45 17503 44634 45789
 6272 19614 34408 37248

14785 41017 44274 46858
 19935 22960 44726 44919
 15247 17925 33947 37392
 34631 39148 43287 45443
 8544 26457 30996 38672
 11725 31442 42167 45461
 22357 41743 46702 47285
 13786 26288 41358 43082
 7306 21352 43298 47359
 77 5188 20988 45572
 10334 23790 40878
 9304 29379 47450
 22048 44762 47300
 8529 8825 47443
 40831 41328 46415
 26715 43038 46498
 26925 30797 43181
 32434 45624 47460
 17989 31811 47215
 5624 25501 33016
 5024 9037 33642
 93 7329 46908
 20303 42578 46780
 16137 26869 42360
 112 3049 46527
 23615 29931 47360
 23050 24267 44687
 60 40754 47114
 30217 36283 37445
 127 27308 38345.

Thiết bị xử lý dữ liệu hoặc phương pháp xử lý dữ liệu thứ năm theo sáng chế bao gồm bộ mã hóa hoặc bước mã hóa để mã hóa bit thông tin thành mã LDPC có độ dài mã 64800 bit và tỷ lệ mã hóa là 9/30, dựa trên ma trận kiểm tra chẵn lẻ của mã LDPC (Low Density Parity Check - Kiểm tra chẵn lẻ mật độ

thấp). Mã LDPC bao gồm bit thông tin và bit chẵn lẻ. Ma trận kiểm tra chẵn lẻ bao gồm phần ma trận thông tin tương ứng với bit thông tin và phần ma trận chẵn lẻ tương ứng với bit chẵn lẻ. Phần ma trận thông tin được thể hiện bởi bảng giá trị khởi tạo ma trận kiểm tra chẵn lẻ. Bảng giá trị khởi tạo ma trận kiểm tra chẵn lẻ là bảng thể hiện các vị trí của các phần tử 1 của phần ma trận thông tin mỗi 360 cột và được biểu diễn như sau

339 4777 5366 7623 13034 13260 15107 17772 20338 21178 25914 27663
 29948 37489 41021
 3871 5812 9795 23437 24079 27699 33471 39878 40302 41038 41217 42316
 42765 43675 45118
 3699 4072 16553 21492 26210 29839 30322 34139 38227 39696 40762 41156
 41269 45168 45350
 995 12194 12494 16542 20423 21950 23519 26215 26708 30587 38352 38840
 39729 41645 43210
 3963 4315 6832 11354 21042 21084 21108 25595 33109 34029 34448 35129
 38018 39012 44791
 164 887 2902 9021 9193 16705 17850 19241 25893 33427 37416 41024
 41355 44381 45303
 1367 1495 5495 14440 18026 18130 18178 21946 24057 25663 29216 31965
 38107 43907 44278
 10763 13722 13975 18294 20813 23028 23353 24211 37366 38805 40985
 41792 42495 43259 43528
 1580 12448 21464 31246 33058 34794 35760 36021 36426 37138 37478
 38199 42138 42335 45207
 83 112 12225 15224 18205 21345 28488 34362 37195 39660 42371 42814
 44509 45201 45244
 6836 7635 11644 16591 17121 19307 21456 23544 30596 37887 38141 38581
 43607 44246 45097
 9174 14934 17131 29762 30243 31656 33251 35498 37106 37655 41462
 44002 44649 45032 45230
 33 5376 13536 17068 18581 23478 32021 32074 33716 38434 39452 42166
 44305 44979 45306
 6013 7553 10023 19354 23126 25427 27665 30239 32699 34123 36171 38898
 38972 41974 45213

29432

41 98 3088 8522 26252 29602 30009 30138 30948 32190 32428 32498 34273
34955 45311
2000 15664 20677 20792 22980 25111 31491 37611 37981 39872 41668
42336 43602 43828 45329
23 67 97 5339 8121 8583 20647 25425 32305 37158 40968 41578 43492
44929 45273
1643 3496 5121 6546 15643 16423 20602 39950 43178 43252 43683 43992
44001 44611 45125
11093 19172 20548 24518 28289 29246 30148 34884 40403 40745 42723
43064 44448 44723 44812
12748 12799 28567 41605
1965 4087 31879
27178 33638 38344
9580 13096 45337
2672 22800 43869
28287 31407 31975
2823 5108 9945
5891 30848 42082
23 41944 44909
909 2311 45162
24998 37829 44704
35339 40087 45019
16928 26505 35256
26462 27297 37766
19656 35067 38586
6958 17172 41412
72 26012 37231
15259 16044 30243
2879 12148 34601
36173 39731 42668
20670 35816 43266
22570 27213 30404
40284 44171 45313
17765 22514 39347

24711 39892 45132
 13741 34633 44535
 15209 31692 45280
 11189 43771 45303
 28294 31110 32287
 29085 39876 45246
 24285 36009 45347
 6882 28921 34504
 9256 19267 44194
 2132 21404 28687
 23809 34383 44540.

Thiết bị xử lý dữ liệu hoặc phương pháp xử lý dữ liệu thứ sáu theo sáng chế bao gồm bộ giải mã hoặc bước giải mã để giải mã mã LDPC có độ dài mã 64800 bit và tỷ lệ mã hóa là 9/30, dựa trên ma trận kiểm tra chẵn lẻ của mã LDPC (Low Density Parity Check - Kiểm tra chẵn lẻ mật độ thấp). Mã LDPC bao gồm bit thông tin và bit chẵn lẻ. Ma trận kiểm tra chẵn lẻ bao gồm phần ma trận thông tin tương ứng với bit thông tin và phần ma trận chẵn lẻ tương ứng với bit chẵn lẻ. Phần ma trận thông tin được thể hiện bởi bảng giá trị khởi tạo ma trận kiểm tra chẵn lẻ. Bảng giá trị khởi tạo ma trận kiểm tra chẵn lẻ là bảng thể hiện các vị trí của các phần tử 1 của phần ma trận thông tin mỗi 360 cột và được biểu diễn như sau

339 4777 5366 7623 13034 13260 15107 17772 20338 21178 25914 27663
 29948 37489 41021
 3871 5812 9795 23437 24079 27699 33471 39878 40302 41038 41217 42316
 42765 43675 45118
 3699 4072 16553 21492 26210 29839 30322 34139 38227 39696 40762 41156
 41269 45168 45350
 995 12194 12494 16542 20423 21950 23519 26215 26708 30587 38352 38840
 39729 41645 43210
 3963 4315 6832 11354 21042 21084 21108 25595 33109 34029 34448 35129
 38018 39012 44791
 164 887 2902 9021 9193 16705 17850 19241 25893 33427 37416 41024
 41355 44381 45303
 1367 1495 5495 14440 18026 18130 18178 21946 24057 25663 29216 31965

38107 43907 44278
 10763 13722 13975 18294 20813 23028 23353 24211 37366 38805 40985
 41792 42495 43259 43528
 1580 12448 21464 31246 33058 34794 35760 36021 36426 37138 37478
 38199 42138 42335 45207
 83 112 12225 15224 18205 21345 28488 34362 37195 39660 42371 42814
 44509 45201 45244
 6836 7635 11644 16591 17121 19307 21456 23544 30596 37887 38141 38581
 43607 44246 45097
 9174 14934 17131 29762 30243 31656 33251 35498 37106 37655 41462
 44002 44649 45032 45230
 33 5376 13536 17068 18581 23478 32021 32074 33716 38434 39452 42166
 44305 44979 45306
 6013 7553 10023 19354 23126 25427 27665 30239 32699 34123 36171 38898
 38972 41974 45213
 41 98 3088 8522 26252 29602 30009 30138 30948 32190 32428 32498 34273
 34955 45311
 2000 15664 20677 20792 22980 25111 31491 37611 37981 39872 41668
 42336 43602 43828 45329
 23 67 97 5339 8121 8583 20647 25425 32305 37158 40968 41578 43492
 44929 45273
 1643 3496 5121 6546 15643 16423 20602 39950 43178 43252 43683 43992
 44001 44611 45125
 11093 19172 20548 24518 28289 29246 30148 34884 40403 40745 42723
 43064 44448 44723 44812
 12748 12799 28567 41605
 1965 4087 31879
 27178 33638 38344
 9580 13096 45337
 2672 22800 43869
 28287 31407 31975
 2823 5108 9945
 5891 30848 42082
 23 41944 44909

909 2311 45162
 24998 37829 44704
 35339 40087 45019
 16928 26505 35256
 26462 27297 37766
 19656 35067 38586
 6958 17172 41412
 72 26012 37231
 15259 16044 30243
 2879 12148 34601
 36173 39731 42668
 20670 35816 43266
 22570 27213 30404
 40284 44171 45313
 17765 22514 39347
 24711 39892 45132
 13741 34633 44535
 15209 31692 45280
 11189 43771 45303
 28294 31110 32287
 29085 39876 45246
 24285 36009 45347
 6882 28921 34504
 9256 19267 44194
 2132 21404 28687
 23809 34383 44540.

Thiết bị xử lý dữ liệu hoặc phương pháp xử lý dữ liệu thứ bảy theo sáng chế bao gồm bước mã hóa để mã hóa bit thông tin thành mã LDPC có độ dài mã 64800 bit và tỷ lệ mã hóa là 10/30, dựa trên ma trận kiểm tra chẵn lẻ của mã LDPC (Low Density Parity Check - Kiểm tra chẵn lẻ mật độ thấp). Mã LDPC bao gồm bit thông tin và bit chẵn lẻ. Ma trận kiểm tra chẵn lẻ bao gồm phần ma trận thông tin tương ứng với bit thông tin và phần ma trận chẵn lẻ tương ứng với bit chẵn lẻ. Phần ma trận thông tin được thể hiện bởi bảng giá trị khởi tạo ma trận kiểm tra chẵn lẻ. Bảng giá trị khởi tạo ma trận kiểm tra chẵn lẻ là bảng thể

hiện các vị trí của các phần tử 1 của phần ma trận thông tin mỗi 360 cột và được biểu diễn như sau

867 2733 2978 8947 10214 11810 13566 15922 18838 20543 25845 29179
 30055 31284 33447 34330 35081 35605 36268 39563 42331 43174
 2765 6017 6394 6769 12351 13567 15195 19900 23094 27077 28626 28914
 32219 33106 33662 33905 34878 37861 39749 39862 40976 42690
 2343 4231 7603 7789 8396 8783 15636 16221 20591 21538 24008 25117
 25663 26817 29692 30937 31472 32070 33793 39506 41763 43172
 8536 10705 10960 11206 12513 15399 17108 17224 17512 20180 25288
 27824 28958 30600 36792 36828 38891 39575 39581 42342 42914 42961
 9 107 681 1195 9957 14055 21420 23279 26129 32044 35750 37065 37092
 37165 37179 40127 40835 41476 41564 41571 42576 42910
 86 1760 6842 8119 8904 12644 17603 18189 20018 22259 22654 25620
 27606 27833 28002 31053 31814 31848 35573 36133 40698 41370
 28 115 4354 9276 11229 11252 13848 21112 22851 29912 32453 34693 37344
 37420 40926 40992 41063 41762 41856 42012 42642 43045
 1589 7190 7221 7668 11805 14071 14367 14629 17087 19579 19861 25505
 35471 35514 37495 38375 40286 40330 40402 41662 42638 43126
 76 99 3237 5137 7982 9598 13470 14045 26680 27058 32025 32235 34601
 35658 36841 38408 40517 40987 41400 41861 42691 42772
 54 2470 2728 3177 3484 8267 9351 17523 18513 21119 22947 23771 26569
 27308 31217 35887 36449 38529 40424 41873 42146 42706
 39 80 385 1386 3397 5234 14733 16955 17656 23262 23463 25340 31638
 31676 32683 37130 37641 39064 41839 42193 42495 43063
 62 573 11847 14616 16033 16064 16302 18776 19434 23845 23873 25937
 27741 32244 32612 33554 38445 38480 38610 40933 42386 42520
 33 183 968 5477 6173 7363 10358 12597 14468 18025 23369 23387 24723
 25254 28299 28989 31675 32776 35077 40241 41572 42035
 36 2529 2543 3891 7108 9002 9481 16496 19796 26687 27343 33300 35495
 37070 39247 40126 41758 41892 42124 42622 42738 43100
 91 6897 8794 9581 12922 15711 18539 19227 21592 22906 26449 29804
 30895 31538 31930 33392 38006 38294 38705 38952 39005 42120
 64 76 709 1155 3162 7099 8740 9670 12678 21126 29239 29844 31248 32001
 35243 36814 38008 42050 42149 42631 42705 43119

17670 40897 42359
17471 20895 32101
5458 5508 30504
17291 19627 27186
14600 41106 43103
18059 28398 40623
23776 30190 32880
4676 13593 21791
19 2832 27959
6193 21762 42854
64 16088 42982
29425 35004 42209
14338 31982 41789
21572 42838 42923
5 87 6639
5529 42541 43173
15512 31740 35801
44 86 43183
26027 26995 36455
16485 30090 34537
22276 40174 42367
10781 18230 18766
9984 42877 43027
11108 20618 41626
8496 42994 43171
10581 25803 42606
4989 14002 29020
35032 39378 41455
109 11667 42914
12471 14022 35477
31761 34625 36228
1228 6013 43110
22355 37905 40784
12740 21805 31648

4202 28639 32213
 10697 31674 42998
 4092 23877 34360
 54 9459 16450
 1 56 33675
 18163 31951 42528
 50 5655 35891
 47 35033 40356
 29097 32786 35931
 9532 27004 43009.

Thiết bị xử lý dữ liệu hoặc phương pháp xử lý dữ liệu thứ tám theo sáng chế bao gồm bộ giải mã hoặc bước giải mã để giải mã mã LDPC có độ dài mã 64800 bit và tỷ lệ mã hóa là 10/30, dựa trên ma trận kiểm tra chẵn lẻ của mã LDPC (Low Density Parity Check - Kiểm tra chẵn lẻ mật độ thấp). Mã LDPC bao gồm bit thông tin và bit chẵn lẻ. Ma trận kiểm tra chẵn lẻ bao gồm phần ma trận thông tin tương ứng với bit thông tin và phần ma trận chẵn lẻ tương ứng với bit chẵn lẻ. Phần ma trận thông tin được thể hiện bởi bảng giá trị khởi tạo ma trận kiểm tra chẵn lẻ. Bảng giá trị khởi tạo ma trận kiểm tra chẵn lẻ là bảng thể hiện các vị trí của các phần tử 1 của phần ma trận thông tin mỗi 360 cột và được biểu diễn như sau

867 2733 2978 8947 10214 11810 13566 15922 18838 20543 25845 29179
 30055 31284 33447 34330 35081 35605 36268 39563 42331 43174
 2765 6017 6394 6769 12351 13567 15195 19900 23094 27077 28626 28914
 32219 33106 33662 33905 34878 37861 39749 39862 40976 42690
 2343 4231 7603 7789 8396 8783 15636 16221 20591 21538 24008 25117
 25663 26817 29692 30937 31472 32070 33793 39506 41763 43172
 8536 10705 10960 11206 12513 15399 17108 17224 17512 20180 25288
 27824 28958 30600 36792 36828 38891 39575 39581 42342 42914 42961
 9 107 681 1195 9957 14055 21420 23279 26129 32044 35750 37065 37092
 37165 37179 40127 40835 41476 41564 41571 42576 42910
 86 1760 6842 8119 8904 12644 17603 18189 20018 22259 22654 25620
 27606 27833 28002 31053 31814 31848 35573 36133 40698 41370
 28 115 4354 9276 11229 11252 13848 21112 22851 29912 32453 34693 37344
 37420 40926 40992 41063 41762 41856 42012 42642 43045

1589 7190 7221 7668 11805 14071 14367 14629 17087 19579 19861 25505
 35471 35514 37495 38375 40286 40330 40402 41662 42638 43126
 76 99 3237 5137 7982 9598 13470 14045 26680 27058 32025 32235 34601
 35658 36841 38408 40517 40987 41400 41861 42691 42772
 54 2470 2728 3177 3484 8267 9351 17523 18513 21119 22947 23771 26569
 27308 31217 35887 36449 38529 40424 41873 42146 42706
 39 80 385 1386 3397 5234 14733 16955 17656 23262 23463 25340 31638
 31676 32683 37130 37641 39064 41839 42193 42495 43063
 62 573 11847 14616 16033 16064 16302 18776 19434 23845 23873 25937
 27741 32244 32612 33554 38445 38480 38610 40933 42386 42520
 33 183 968 5477 6173 7363 10358 12597 14468 18025 23369 23387 24723
 25254 28299 28989 31675 32776 35077 40241 41572 42035
 36 2529 2543 3891 7108 9002 9481 16496 19796 26687 27343 33300 35495
 37070 39247 40126 41758 41892 42124 42622 42738 43100
 91 6897 8794 9581 12922 15711 18539 19227 21592 22906 26449 29804
 30895 31538 31930 33392 38006 38294 38705 38952 39005 42120
 64 76 709 1155 3162 7099 8740 9670 12678 21126 29239 29844 31248 32001
 35243 36814 38008 42050 42149 42631 42705 43119
 17670 40897 42359
 17471 20895 32101
 5458 5508 30504
 17291 19627 27186
 14600 41106 43103
 18059 28398 40623
 23776 30190 32880
 4676 13593 21791
 19 2832 27959
 6193 21762 42854
 64 16088 42982
 29425 35004 42209
 14338 31982 41789
 21572 42838 42923
 5 87 6639
 5529 42541 43173

15512 31740 35801
 44 86 43183
 26027 26995 36455
 16485 30090 34537
 22276 40174 42367
 10781 18230 18766
 9984 42877 43027
 11108 20618 41626
 8496 42994 43171
 10581 25803 42606
 4989 14002 29020
 35032 39378 41455
 109 11667 42914
 12471 14022 35477
 31761 34625 36228
 1228 6013 43110
 22355 37905 40784
 12740 21805 31648
 4202 28639 32213
 10697 31674 42998
 4092 23877 34360
 54 9459 16450
 1 56 33675
 18163 31951 42528
 50 5655 35891
 47 35033 40356
 29097 32786 35931
 9532 27004 43009.

Thiết bị xử lý dữ liệu hoặc phương pháp xử lý dữ liệu thứ chín theo sáng chế bao gồm bộ mã hóa hoặc bước mã hóa để mã hóa bit thông tin thành mã LDPC có độ dài mã 64800 bit và tỷ lệ mã hóa là 11/30, dựa trên ma trận kiểm tra chẵn lẻ của mã LDPC (Low Density Parity Check - Kiểm tra chẵn lẻ mật độ thấp). Mã LDPC bao gồm bit thông tin và bit chẵn lẻ. Ma trận kiểm tra chẵn lẻ bao gồm phần ma trận thông tin tương ứng với bit thông tin và phần ma trận

chẽn lẻ tương ứng với bit chẽn lẻ. Phần ma trận thông tin được thể hiện bởi bảng giá trị khởi tạo ma trận kiểm tra chẽn lẻ. Bảng giá trị khởi tạo ma trận kiểm tra chẽn lẻ là bảng thể hiện các vị trí của các phần tử 1 của phần ma trận thông tin mỗi 360 cột và được biểu diễn như sau

3208	6587	9493	9539	12368	12501	14811	15784	17625	18654	18721	19471
19503	20079	20411	20876	21493	22083	22430	27275	29322	32758	33227	
33347	33715	34472	34711	38450	39151	39709	39862	40093	40497	40912	
42	1118	3086	5466	6379	8483	9051	9330	13250	13898	14055	15033
21429	22652	25251	28709	29909	30233	30472	30635	31367	32603	33614	
33708	36404	36530	37039	37782	38115	38307	40225	40597	40822		
5939	11990	15027	15162	16503	17171	17806	17902	18031	18077	21216	
22134	22660	24170	28558	29364	30003	31128	32674	33103	33361	34196	
34435	34626	34991	35974	36022	37459	38170	38709	39774	39960	40571	
40858											
63	3871	9148	10328	12830	12912	18361	18839	20122	23126	23795	28612
30350	32251	32750	33762	33866	36188	36979	37562	37836	38536	38705	
38829	39609	40219	40324	40336	40367	40638	40699	40809	40987	41019	
36	70	104	3737	5028	19023	19575	19746	23840	24611	24661	26741
30359	31027	31509	32621	32859	33830	34619	35281	35479	36796	37344	
37555	38993	39088	39445	40276	40299	40762	40771	40835	40967		
113	2313	4411	5858	9909	10426	18955	21663	21884	24105	24472	26944
27826	28574	28689	29579	30903	32352	33334	36408	36795	36805	37112	
37121	38731	39080	39739	40007	40326	40356	40472	40476	40622	40778	
54	84	3529	5202	9825	9900	10846	12104	13332	14493	14584	23772
25786	25963	26145	28306	29514	30050	30060	33171	33416	33657	33951	
34908	37715	37854	38088	38966	39148	40166	40633	40746	40939		
105	8722	10244	12148	13029	16368	18186	19660	19830	21616	22256	22534
23100	23219	25473	26585	29858	32350	33305	34290	34356	34675	35297	
37052	37144	37934	38201	39867	40270	40539	40781	40804	40944	40966	
53	61	82	96	2665	6552	9517	15693	17214	17588	18347	19039
24255	25861	27117	27919	30691	36195	36379	37031	37309	37535	37793	
38198	38212	38595	38808	38911	39474	39677	40135	40935			
15	67	723	2962	4991	5285	11583	13398	16301	16338	20996	21510
28214	29143	30539	30573	31108	32500	32506	32727	32755	36134	37226	

29432

37655 37799 39219 39626 39980 40093 40105 40628 40634 40816
18854 37884 40104 40772
35209 40379 40447 40508
3049 36078 39403 40402
19118 27981 35730 36649
20465 28570 39076 40910
24047 31275 39790 40126
31041 33526 34162 39092
1152 8976 24071 35698
3 27991 31485 40934
5245 20676 30579 38823
47 11196 38674 38894
14920 15270 16047 40928
23974 30146 39805 40911
8791 16641 25060 31681
1147 4233 34386 37802
58 5354 22265 41018
869 3078 39882 40730
1071 6322 9163 10642
7235 32596 35540 37487
26910 35537 40830 41035
81 11905 16179 19558
29 41 5161 12173
3043 5574 9993 26058
875 36935 39423 40956
3362 19166 20017 39729
12893 16403 33880 37115
9980 27100 28525 36786
3218 12776 40651 40703
7669 25783 32781 34504
25951 34595 39049 40597
11271 35112 35290 40600
5330 38324 40325 40986
58 24777 40560 40835

23895 25427 33552 37472
 2811 4731 11601 39912
 109 39021 40611 40754
 79 15387 30999 40978
 31162 34975 38844 39784
 34891 37007 39433 40102
 42 9072 21526 22610
 20243 20499 24418 29056
 7951 26469 29729 40956
 6 10833 13188 15714
 7910 20652 40574 40874
 14586 24839 37804 40722
 1103 11381 21050 30084
 10 9032 20123 28528
 19477 29966 37702 37766
 131 31352 39069 40971
 34 7368 17799 27467
 16767 27584 32869 34769
 31515 34543 36230 40752
 15098 25451 26402 27629
 149 10388 24558 40709
 6997 7288 23995 29893
 346 12245 13843 40402.

Thiết bị xử lý dữ liệu hoặc phương pháp xử lý dữ liệu thứ mười theo sáng chế bao gồm bộ giải mã hoặc bước giải mã để giải mã mã LDPC có độ dài mã 64800 bit và tỷ lệ mã hóa là 11/30, dựa trên ma trận kiểm tra chẵn lẻ của mã LDPC (Low Density Parity Check - Kiểm tra chẵn lẻ mật độ thấp). Mã LDPC bao gồm bit thông tin và bit chẵn lẻ. Ma trận kiểm tra chẵn lẻ bao gồm phần ma trận thông tin tương ứng với bit thông tin và phần ma trận chẵn lẻ tương ứng với bit chẵn lẻ. Phần ma trận thông tin được thể hiện bởi bảng giá trị khởi tạo ma trận kiểm tra chẵn lẻ. Bảng giá trị khởi tạo ma trận kiểm tra chẵn lẻ là bảng thể hiện các vị trí của các phần tử 1 của phần ma trận thông tin mỗi 360 cột và được biểu diễn như sau

3208 6587 9493 9539 12368 12501 14811 15784 17625 18654 18721 19471

19503 20079 20411 20876 21493 22083 22430 27275 29322 32758 33227
 33347 33715 34472 34711 38450 39151 39709 39862 40093 40497 40912
 42 1118 3086 5466 6379 8483 9051 9330 13250 13898 14055 15033 18094
 21429 22652 25251 28709 29909 30233 30472 30635 31367 32603 33614
 33708 36404 36530 37039 37782 38115 38307 40225 40597 40822
 5939 11990 15027 15162 16503 17171 17806 17902 18031 18077 21216
 22134 22660 24170 28558 29364 30003 31128 32674 33103 33361 34196
 34435 34626 34991 35974 36022 37459 38170 38709 39774 39960 40571
 40858
 63 3871 9148 10328 12830 12912 18361 18839 20122 23126 23795 28612
 30350 32251 32750 33762 33866 36188 36979 37562 37836 38536 38705
 38829 39609 40219 40324 40336 40367 40638 40699 40809 40987 41019
 36 70 104 3737 5028 19023 19575 19746 23840 24611 24661 26741 27749
 30359 31027 31509 32621 32859 33830 34619 35281 35479 36796 37344
 37555 38993 39088 39445 40276 40299 40762 40771 40835 40967
 113 2313 4411 5858 9909 10426 18955 21663 21884 24105 24472 26944
 27826 28574 28689 29579 30903 32352 33334 36408 36795 36805 37112
 37121 38731 39080 39739 40007 40326 40356 40472 40476 40622 40778
 54 84 3529 5202 9825 9900 10846 12104 13332 14493 14584 23772 24084
 25786 25963 26145 28306 29514 30050 30060 33171 33416 33657 33951
 34908 37715 37854 38088 38966 39148 40166 40633 40746 40939
 105 8722 10244 12148 13029 16368 18186 19660 19830 21616 22256 22534
 23100 23219 25473 26585 29858 32350 33305 34290 34356 34675 35297
 37052 37144 37934 38201 39867 40270 40539 40781 40804 40944 40966
 53 61 82 96 2665 6552 9517 15693 17214 17588 18347 19039 20679 21962
 24255 25861 27117 27919 30691 36195 36379 37031 37309 37535 37793
 38198 38212 38595 38808 38911 39474 39677 40135 40935
 15 67 723 2962 4991 5285 11583 13398 16301 16338 20996 21510 25697
 28214 29143 30539 30573 31108 32500 32506 32727 32755 36134 37226
 37655 37799 39219 39626 39980 40093 40105 40628 40634 40816
 18854 37884 40104 40772
 35209 40379 40447 40508
 3049 36078 39403 40402
 19118 27981 35730 36649

29432

20465 28570 39076 40910
24047 31275 39790 40126
31041 33526 34162 39092
1152 8976 24071 35698
3 27991 31485 40934
5245 20676 30579 38823
47 11196 38674 38894
14920 15270 16047 40928
23974 30146 39805 40911
8791 16641 25060 31681
1147 4233 34386 37802
58 5354 22265 41018
869 3078 39882 40730
1071 6322 9163 10642
7235 32596 35540 37487
26910 35537 40830 41035
81 11905 16179 19558
29 41 5161 12173
3043 5574 9993 26058
875 36935 39423 40956
3362 19166 20017 39729
12893 16403 33880 37115
9980 27100 28525 36786
3218 12776 40651 40703
7669 25783 32781 34504
25951 34595 39049 40597
11271 35112 35290 40600
5330 38324 40325 40986
58 24777 40560 40835
23895 25427 33552 37472
2811 4731 11601 39912
109 39021 40611 40754
79 15387 30999 40978
31162 34975 38844 39784

34891 37007 39433 40102
 42 9072 21526 22610
 20243 20499 24418 29056
 7951 26469 29729 40956
 6 10833 13188 15714
 7910 20652 40574 40874
 14586 24839 37804 40722
 1103 11381 21050 30084
 10 9032 20123 28528
 19477 29966 37702 37766
 131 31352 39069 40971
 34 7368 17799 27467
 16767 27584 32869 34769
 31515 34543 36230 40752
 15098 25451 26402 27629
 149 10388 24558 40709
 6997 7288 23995 29893
 346 12245 13843 40402.

Theo sáng chế, bit thông tin được mã hóa thành mã LDPC có độ dài mã 64800 bit và tỷ lệ mã hóa là 7/30, 8/30, 9/30, 10/30, hoặc 11/30 dựa trên ma trận kiểm tra chẵn lẻ của mã LDPC (Low Density Parity Check - Kiểm tra chẵn lẻ mật độ thấp).

Theo sáng chế, mã LDPC có độ dài mã 64800 bit và tỷ lệ mã hóa là 7/30, 8/30, 9/30, 10/30, hoặc 11/30 được giải mã dựa trên ma trận kiểm tra chẵn lẻ của mã LDPC (Low Density Parity Check - Kiểm tra chẵn lẻ mật độ thấp).

Mã LDPC bao gồm bit thông tin và bit chẵn lẻ. Ma trận kiểm tra chẵn lẻ bao gồm phần ma trận thông tin tương ứng với bit thông tin và phần ma trận chẵn lẻ tương ứng với bit chẵn lẻ. Phần ma trận thông tin được thể hiện bởi bảng giá trị khởi tạo ma trận kiểm tra chẵn lẻ. Bảng giá trị khởi tạo ma trận kiểm tra chẵn lẻ là bảng thể hiện các vị trí của các phần tử 1 của phần ma trận thông tin mỗi 360 cột.

Bảng giá trị khởi tạo ma trận kiểm tra chẵn lẻ với tỷ lệ mã hóa là 7/30 được biểu diễn như sau

548 9528 12205 12770 22023 22082 25884 27421 33215 36046 43580 43953

29432

47539

919 2623 5098 5514 5645 6348 9666 13795 14555 43224 44048 44948 47964

995 7270 17753 21272 29228 29916 31634 34055 35205 37499 37777 47490

49301

645 3803 8836 9470 11054 20253 29417 31243 31990 36468 38715 39932

43045

14572 18646 21100 26617 32033 32410 37195 38586 43833 44577 45584

46453 49515

6004 16982 17829 24616 28056 29646 32944 39051 42517 47086 48585

48772 49247

1306 1447 4898 7781 18587 25724 26672 35062 35202 37080 39781 46111

47595

92 3231 13043 22258 24198 28923 33303 37846 43610 44857 47322 48914

49291

298 12557 13469 14451 21917 23539 26310 29839 37050 38507 41377 46971

48155

12582 13044 21039 30600 34202 34947 37120 39108 39203 43449 46941

48542 49354

871 12218 12680 14152 17171 25797 29021 37783 43728 47519 48794 48898

48980

35 4623 13422 15881 16692 17463 23675 28063 31248 41997 44246 47992

48339

7150 13015 17950 18214 20659 23579 25714 28328 32658 39717 39995

43322 45884

82 11054 11845 19085 24174 26694 41530 45954 46508 46892 48832 49097

49420

5789 13839 18512 25596 26478 26736 29431 32349 33384 41765 46661

49206 49543

13805 17786 17798 29653 30310 34870 40176 40391 43227 45292 46423

46855 49454

12433 27119 34645

32065 34998 44021

5158 16546 34359

44 33285 39929

39032 39296 40317
 9885 45251 47640
 14383 43446 44478
 31280 39945 48472
 27961 38221 48391
 2927 37404 38716
 19461 42462 46162
 24909 25915 40636
 11029 35538 45381
 26880 34179 48775
 192 6032 26853
 4563 14952 24256
 10003 30853 43811
 749 36334 41363
 100 17006 24982
 9507 20228 31214
 41691 44310 47083
 24070 30411 46982
 2727 28251 49289
 16689 21167 32590
 40813 41198 46175
 8336 32714 43075.

Bảng giá trị khởi tạo ma trận kiểm tra chẵn lẻ với tỷ lệ mã hóa là 8/30
được biểu diễn như sau

100 3433 4111 9089 13360 24012 26305 30252 31430 31769 34689 34917
 36091 40873 41983 42689 43835 44318 47109
 3 48 124 2240 7029 21694 24565 29302 39777 42706 43631 43784 46033
 47064 47079 47141 47239 47439 47479
 2 5675 7056 12715 24128 26596 30571 38210 38586 41138 42272 43336
 43444 43917 45812 46840 47245 47286 47510
 2103 4285 10068 10702 12693 17619 18711 21309 22191 22999 37432 45646
 46275 46338 46777 46860 46963 47432 47472
 6827 8209 8606 10412 15670 19469 22205 22215 25425 29565 34843 34985
 37686 39277 44625 45016 45623 47069 47250

58 114 1751 7913 24642 26995 40734 41486 43133 44804 45490 45725
 46122 46412 47019 47080 47103 47495 47506
 96 5952 9078 9786 17738 17888 17986 31657 34430 34763 35450 37276
 42395 43223 43283 44261 45648 47014 47276
 106 5405 9614 20500 21633 23242 28875 37238 38854 41778 42292 43883
 45909 46558 46826 47292 47353 47436 47504
 32 11217 12153 26818 27616 38783 39976 40842 43581 43703 44287 44435
 44576 44774 46080 46098 46801 46813 47168
 65 102 111 3879 11224 11772 23623 27306 28726 34663 34873 36288 39196
 42003 45279 45629 46836 47021 47419
 77 131 11275 18964 20418 22364 22635 27727 28689 29720 29781 32110
 41597 42046 43952 44786 46416 46808 47200
 87 8637 10829 23737 24117 26486 29603 34389 35509 35872 38948 40643
 42698 45949 46159 46660 47041 47165 47220
 2 58 3110 7539 8886 10422 11597 13385 27870 35895 38120 43546 44948
 46272 46369 46596 47199 47317 47351
 78 16119 27780 32231 38973 39088 40118 40231 43170 44131 44203 44878
 45905 46250 47011 47113 47195 47303 47427
 2960 6685 8830 11107 11843 12811 30030 36574 36850 36920 37706 38025
 41007 43554 44109 44643 45874 46469 46565
 125 366 10175 29860
 45 17503 44634 45789
 6272 19614 34408 37248
 14785 41017 44274 46858
 19935 22960 44726 44919
 15247 17925 33947 37392
 34631 39148 43287 45443
 8544 26457 30996 38672
 11725 31442 42167 45461
 22357 41743 46702 47285
 13786 26288 41358 43082
 7306 21352 43298 47359
 77 5188 20988 45572
 10334 23790 40878

9304 29379 47450
 22048 44762 47300
 8529 8825 47443
 40831 41328 46415
 26715 43038 46498
 26925 30797 43181
 32434 45624 47460
 17989 31811 47215
 5624 25501 33016
 5024 9037 33642
 93 7329 46908
 20303 42578 46780
 16137 26869 42360
 112 3049 46527
 23615 29931 47360
 23050 24267 44687
 60 40754 47114
 30217 36283 37445
 127 27308 38345.

Bảng giá trị khởi tạo ma trận kiểm tra chẵn lẻ với tỷ lệ mã hóa là 9/30 được biểu diễn như sau

339 4777 5366 7623 13034 13260 15107 17772 20338 21178 25914 27663
 29948 37489 41021
 3871 5812 9795 23437 24079 27699 33471 39878 40302 41038 41217 42316
 42765 43675 45118
 3699 4072 16553 21492 26210 29839 30322 34139 38227 39696 40762 41156
 41269 45168 45350
 995 12194 12494 16542 20423 21950 23519 26215 26708 30587 38352 38840
 39729 41645 43210
 3963 4315 6832 11354 21042 21084 21108 25595 33109 34029 34448 35129
 38018 39012 44791
 164 887 2902 9021 9193 16705 17850 19241 25893 33427 37416 41024
 41355 44381 45303
 1367 1495 5495 14440 18026 18130 18178 21946 24057 25663 29216 31965

38107 43907 44278
 10763 13722 13975 18294 20813 23028 23353 24211 37366 38805 40985
 41792 42495 43259 43528
 1580 12448 21464 31246 33058 34794 35760 36021 36426 37138 37478
 38199 42138 42335 45207
 83 112 12225 15224 18205 21345 28488 34362 37195 39660 42371 42814
 44509 45201 45244
 6836 7635 11644 16591 17121 19307 21456 23544 30596 37887 38141 38581
 43607 44246 45097
 9174 14934 17131 29762 30243 31656 33251 35498 37106 37655 41462
 44002 44649 45032 45230
 33 5376 13536 17068 18581 23478 32021 32074 33716 38434 39452 42166
 44305 44979 45306
 6013 7553 10023 19354 23126 25427 27665 30239 32699 34123 36171 38898
 38972 41974 45213
 41 98 3088 8522 26252 29602 30009 30138 30948 32190 32428 32498 34273
 34955 45311
 2000 15664 20677 20792 22980 25111 31491 37611 37981 39872 41668
 42336 43602 43828 45329
 23 67 97 5339 8121 8583 20647 25425 32305 37158 40968 41578 43492
 44929 45273
 1643 3496 5121 6546 15643 16423 20602 39950 43178 43252 43683 43992
 44001 44611 45125
 11093 19172 20548 24518 28289 29246 30148 34884 40403 40745 42723
 43064 44448 44723 44812
 12748 12799 28567 41605
 1965 4087 31879
 27178 33638 38344
 9580 13096 45337
 2672 22800 43869
 28287 31407 31975
 2823 5108 9945
 5891 30848 42082
 23 41944 44909

909 2311 45162
 24998 37829 44704
 35339 40087 45019
 16928 26505 35256
 26462 27297 37766
 19656 35067 38586
 6958 17172 41412
 72 26012 37231
 15259 16044 30243
 2879 12148 34601
 36173 39731 42668
 20670 35816 43266
 22570 27213 30404
 40284 44171 45313
 17765 22514 39347
 24711 39892 45132
 13741 34633 44535
 15209 31692 45280
 11189 43771 45303
 28294 31110 32287
 29085 39876 45246
 24285 36009 45347
 6882 28921 34504
 9256 19267 44194
 2132 21404 28687
 23809 34383 44540.

Bảng giá trị khởi tạo ma trận kiểm tra chẵn lẻ với tỷ lệ mã hóa là 10/30 được biểu diễn như sau

867 2733 2978 8947 10214 11810 13566 15922 18838 20543 25845 29179
 30055 31284 33447 34330 35081 35605 36268 39563 42331 43174
 2765 6017 6394 6769 12351 13567 15195 19900 23094 27077 28626 28914
 32219 33106 33662 33905 34878 37861 39749 39862 40976 42690
 2343 4231 7603 7789 8396 8783 15636 16221 20591 21538 24008 25117
 25663 26817 29692 30937 31472 32070 33793 39506 41763 43172

29432

8536 10705 10960 11206 12513 15399 17108 17224 17512 20180 25288
27824 28958 30600 36792 36828 38891 39575 39581 42342 42914 42961
9 107 681 1195 9957 14055 21420 23279 26129 32044 35750 37065 37092
37165 37179 40127 40835 41476 41564 41571 42576 42910
86 1760 6842 8119 8904 12644 17603 18189 20018 22259 22654 25620
27606 27833 28002 31053 31814 31848 35573 36133 40698 41370
28 115 4354 9276 11229 11252 13848 21112 22851 29912 32453 34693 37344
37420 40926 40992 41063 41762 41856 42012 42642 43045
1589 7190 7221 7668 11805 14071 14367 14629 17087 19579 19861 25505
35471 35514 37495 38375 40286 40330 40402 41662 42638 43126
76 99 3237 5137 7982 9598 13470 14045 26680 27058 32025 32235 34601
35658 36841 38408 40517 40987 41400 41861 42691 42772
54 2470 2728 3177 3484 8267 9351 17523 18513 21119 22947 23771 26569
27308 31217 35887 36449 38529 40424 41873 42146 42706
39 80 385 1386 3397 5234 14733 16955 17656 23262 23463 25340 31638
31676 32683 37130 37641 39064 41839 42193 42495 43063
62 573 11847 14616 16033 16064 16302 18776 19434 23845 23873 25937
27741 32244 32612 33554 38445 38480 38610 40933 42386 42520
33 183 968 5477 6173 7363 10358 12597 14468 18025 23369 23387 24723
25254 28299 28989 31675 32776 35077 40241 41572 42035
36 2529 2543 3891 7108 9002 9481 16496 19796 26687 27343 33300 35495
37070 39247 40126 41758 41892 42124 42622 42738 43100
91 6897 8794 9581 12922 15711 18539 19227 21592 22906 26449 29804
30895 31538 31930 33392 38006 38294 38705 38952 39005 42120
64 76 709 1155 3162 7099 8740 9670 12678 21126 29239 29844 31248 32001
35243 36814 38008 42050 42149 42631 42705 43119
17670 40897 42359
17471 20895 32101
5458 5508 30504
17291 19627 27186
14600 41106 43103
18059 28398 40623
23776 30190 32880
4676 13593 21791

19 2832 27959
6193 21762 42854
64 16088 42982
29425 35004 42209
14338 31982 41789
21572 42838 42923
5 87 6639
5529 42541 43173
15512 31740 35801
44 86 43183
26027 26995 36455
16485 30090 34537
22276 40174 42367
10781 18230 18766
9984 42877 43027
11108 20618 41626
8496 42994 43171
10581 25803 42606
4989 14002 29020
35032 39378 41455
109 11667 42914
12471 14022 35477
31761 34625 36228
1228 6013 43110
22355 37905 40784
12740 21805 31648
4202 28639 32213
10697 31674 42998
4092 23877 34360
54 9459 16450
1 56 33675
18163 31951 42528
50 5655 35891
47 35033 40356

29097 32786 35931

9532 27004 43009.

Bảng giá trị khởi tạo ma trận kiểm tra chẵn lẻ với tỷ lệ mã hóa là 11/30
được biểu diễn như sau

3208 6587 9493 9539 12368 12501 14811 15784 17625 18654 18721 19471
19503 20079 20411 20876 21493 22083 22430 27275 29322 32758 33227
33347 33715 34472 34711 38450 39151 39709 39862 40093 40497 40912
42 1118 3086 5466 6379 8483 9051 9330 13250 13898 14055 15033 18094
21429 22652 25251 28709 29909 30233 30472 30635 31367 32603 33614
33708 36404 36530 37039 37782 38115 38307 40225 40597 40822
5939 11990 15027 15162 16503 17171 17806 17902 18031 18077 21216
22134 22660 24170 28558 29364 30003 31128 32674 33103 33361 34196
34435 34626 34991 35974 36022 37459 38170 38709 39774 39960 40571
40858
63 3871 9148 10328 12830 12912 18361 18839 20122 23126 23795 28612
30350 32251 32750 33762 33866 36188 36979 37562 37836 38536 38705
38829 39609 40219 40324 40336 40367 40638 40699 40809 40987 41019
36 70 104 3737 5028 19023 19575 19746 23840 24611 24661 26741 27749
30359 31027 31509 32621 32859 33830 34619 35281 35479 36796 37344
37555 38993 39088 39445 40276 40299 40762 40771 40835 40967
113 2313 4411 5858 9909 10426 18955 21663 21884 24105 24472 26944
27826 28574 28689 29579 30903 32352 33334 36408 36795 36805 37112
37121 38731 39080 39739 40007 40326 40356 40472 40476 40622 40778
54 84 3529 5202 9825 9900 10846 12104 13332 14493 14584 23772 24084
25786 25963 26145 28306 29514 30050 30060 33171 33416 33657 33951
34908 37715 37854 38088 38966 39148 40166 40633 40746 40939
105 8722 10244 12148 13029 16368 18186 19660 19830 21616 22256 22534
23100 23219 25473 26585 29858 32350 33305 34290 34356 34675 35297
37052 37144 37934 38201 39867 40270 40539 40781 40804 40944 40966
53 61 82 96 2665 6552 9517 15693 17214 17588 18347 19039 20679 21962
24255 25861 27117 27919 30691 36195 36379 37031 37309 37535 37793
38198 38212 38595 38808 38911 39474 39677 40135 40935
15 67 723 2962 4991 5285 11583 13398 16301 16338 20996 21510 25697
28214 29143 30539 30573 31108 32500 32506 32727 32755 36134 37226

29432

37655 37799 39219 39626 39980 40093 40105 40628 40634 40816
18854 37884 40104 40772
35209 40379 40447 40508
3049 36078 39403 40402
19118 27981 35730 36649
20465 28570 39076 40910
24047 31275 39790 40126
31041 33526 34162 39092
1152 8976 24071 35698
3 27991 31485 40934
5245 20676 30579 38823
47 11196 38674 38894
14920 15270 16047 40928
23974 30146 39805 40911
8791 16641 25060 31681
1147 4233 34386 37802
58 5354 22265 41018
869 3078 39882 40730
1071 6322 9163 10642
7235 32596 35540 37487
26910 35537 40830 41035
81 11905 16179 19558
29 41 5161 12173
3043 5574 9993 26058
875 36935 39423 40956
3362 19166 20017 39729
12893 16403 33880 37115
9980 27100 28525 36786
3218 12776 40651 40703
7669 25783 32781 34504
25951 34595 39049 40597
11271 35112 35290 40600
5330 38324 40325 40986
58 24777 40560 40835

23895 25427 33552 37472
 2811 4731 11601 39912
 109 39021 40611 40754
 79 15387 30999 40978
 31162 34975 38844 39784
 34891 37007 39433 40102
 42 9072 21526 22610
 20243 20499 24418 29056
 7951 26469 29729 40956
 6 10833 13188 15714
 7910 20652 40574 40874
 14586 24839 37804 40722
 1103 11381 21050 30084
 10 9032 20123 28528
 19477 29966 37702 37766
 131 31352 39069 40971
 34 7368 17799 27467
 16767 27584 32869 34769
 31515 34543 36230 40752
 15098 25451 26402 27629
 149 10388 24558 40709
 6997 7288 23995 29893
 346 12245 13843 40402.

Thiết bị xử lý dữ liệu có thể là thiết bị độc lập và có thể là khối bên trong cấu thành một thiết bị.

Hiệu quả sáng chế

Theo sáng chế, có thể đề xuất mã LDPC có tỷ lệ lỗi tốt.

Mô tả ngắn tắt các hình vẽ

Fig.1 là hình vẽ minh họa về ma trận kiểm tra chẵn lẻ H của mã LDPC.

Fig.2 là lưu đồ minh họa chuỗi mã hóa của mã LDPC.

Fig.3 là hình vẽ minh họa về ví dụ của ma trận kiểm tra chẵn lẻ của mã LDPC.

Fig.4 là hình vẽ minh họa về biểu đồ Tanner của ma trận kiểm tra chẵn lẻ.

Fig.5 là hình vẽ minh họa về nút biến thiên.

Fig.6 là hình vẽ minh họa về nút kiểm tra.

Fig.7 là hình vẽ minh họa về ví dụ cấu hình của phương án của hệ thống truyền mà sáng chế được áp dụng cho.

Fig.8 là sơ đồ khối minh họa ví dụ cấu hình của thiết bị truyền 11.

Fig.9 là sơ đồ khối minh họa ví dụ cấu hình của bộ ghép xen bit 116.

Fig.10 là hình vẽ minh họa về ma trận kiểm tra chẵn lẻ.

Fig.11 là hình vẽ minh họa về ma trận chẵn lẻ.

Fig.12 là hình vẽ minh họa về ma trận kiểm tra chẵn lẻ của mã LDPC được xác định trong tiêu chuẩn của DVB-S.2.

Fig.13 là hình vẽ minh họa về ma trận kiểm tra chẵn lẻ của mã LDPC được xác định trong tiêu chuẩn của DVB-S.2.

Fig.14 là hình vẽ minh họa về cách bố trí điểm tín hiệu của 16QAM.

Fig.15 là hình vẽ minh họa về cách bố trí điểm tín hiệu của 64QAM.

Fig.16 là hình vẽ minh họa về cách bố trí điểm tín hiệu của 64QAM.

Fig.17 là hình vẽ minh họa về cách bố trí điểm tín hiệu của 64QAM.

Fig.18 là hình vẽ minh họa về cách bố trí điểm tín hiệu được định nghĩa theo tiêu chuẩn của DVB-S.2.

Fig.19 là hình vẽ minh họa về cách bố trí điểm tín hiệu được định nghĩa theo tiêu chuẩn của DVB-S.2.

Fig.20 là hình vẽ minh họa về cách bố trí điểm tín hiệu được định nghĩa theo tiêu chuẩn của DVB-S.2.

Fig.21 là hình vẽ minh họa về cách bố trí điểm tín hiệu được định nghĩa theo tiêu chuẩn của DVB-S.2.

Fig.22 là hình vẽ minh họa về quy trình xử lý của bộ giải ghép kênh 25.

Fig.23 là hình vẽ minh họa về quy trình xử lý của bộ giải ghép kênh 25.

Fig.24 là hình vẽ minh họa về biểu đồ Tanner để giải mã mã LDPC.

Fig.25 là hình vẽ minh họa về ma trận chẵn lẻ H_T trở thành cấu hình bậc thang và biểu đồ Tanner tương ứng với ma trận chẵn lẻ H_T .

Fig.26 là hình vẽ minh họa về ma trận chẵn lẻ H_T của ma trận kiểm tra chẵn lẻ H tương ứng với mã LDPC sau khi ghép xen chẵn lẻ.

Fig.27 là hình vẽ minh họa về ma trận kiểm tra chẵn lẻ được biến đổi.

Fig.28 là hình vẽ minh họa về quy trình xử lý của bộ ghép xen xoắn cột 24.

Fig.29 là hình vẽ minh họa về số cột của bộ nhớ 31 cần thiết cho việc

ghép xen xoắn cột và địa chỉ của vị trí bắt đầu ghi.

Fig.30 là hình vẽ minh họa về số cột của bộ nhớ 31 cần thiết cho việc ghép xen xoắn cột và địa chỉ của vị trí bắt đầu ghi.

Fig.31 là lưu đồ minh họa xử lý được thực hiện bởi bộ ghép xen bit 116 và bộ mã hóa QAM 117.

Fig.32 là hình vẽ minh họa về mô hình của đường truyền thông được áp dụng bởi mô phỏng.

Fig.33 là hình vẽ minh họa về tương quan giữa tỷ lệ lõi thu được bởi mô phỏng và tần số Doppler f_d của méo rung.

Fig.34 là hình vẽ minh họa về tương quan giữa tỷ lệ lõi thu được bởi mô phỏng và tần số Doppler f_d của méo rung.

Fig.35 là sơ đồ khối minh họa ví dụ cấu hình của bộ mã hóa LDPC 115.

Fig.36 là lưu đồ minh họa quy trình xử lý của bộ mã hóa LDPC 115.

Fig.37 là hình vẽ minh họa về ví dụ của bảng giá trị khởi tạo ma trận kiểm tra chẵn lẻ trong đó tỷ lệ mã hóa là 1/4 và độ dài mã là 16200.

Fig.38 là hình vẽ minh họa về phương pháp tính toán ma trận kiểm tra chẵn lẻ H từ bảng giá trị khởi tạo ma trận kiểm tra chẵn lẻ.

Fig.39 là hình vẽ minh họa về đặc tính của BER/FER của mã LDPC mà độ dài mã của nó được định nghĩa theo tiêu chuẩn của DVB-S.2 là 64800 bit.

Fig.40 là hình vẽ minh họa về ví dụ của bảng giá trị khởi tạo ma trận kiểm tra chẵn lẻ trong đó tỷ lệ mã hóa là 2/30 và độ dài mã là 64800.

Fig.41 là hình vẽ minh họa về ví dụ của bảng giá trị khởi tạo ma trận kiểm tra chẵn lẻ trong đó tỷ lệ mã hóa là 3/30 và độ dài mã là 64800.

Fig.42 là hình vẽ minh họa về ví dụ của bảng giá trị khởi tạo ma trận kiểm tra chẵn lẻ trong đó tỷ lệ mã hóa là 4/30 và độ dài mã là 64800.

Fig.43 là hình vẽ minh họa về ví dụ của bảng giá trị khởi tạo ma trận kiểm tra chẵn lẻ trong đó tỷ lệ mã hóa là 5/30 và độ dài mã là 64800.

Fig.44 là hình vẽ minh họa về ví dụ của bảng giá trị khởi tạo ma trận kiểm tra chẵn lẻ trong đó tỷ lệ mã hóa là 6/30 và độ dài mã là 64800.

Fig.45 là hình vẽ minh họa về ví dụ của bảng giá trị khởi tạo ma trận kiểm tra chẵn lẻ trong đó tỷ lệ mã hóa là 7/30 và độ dài mã là 64800.

Fig.46 là hình vẽ minh họa về ví dụ của bảng giá trị khởi tạo ma trận kiểm tra chẵn lẻ trong đó tỷ lệ mã hóa là 8/30 và độ dài mã là 64800.

Fig.47 là hình vẽ minh họa về ví dụ của bảng giá trị khởi tạo ma trận

kiểm tra chẵn lẻ trong đó tỷ lệ mã hóa là 27/30 và độ dài mã là 64800.

Fig.99 là hình vẽ minh họa về ví dụ của bảng giá trị khởi tạo ma trận kiểm tra chẵn lẻ trong đó tỷ lệ mã hóa là 28/30 và độ dài mã là 64800.

Fig.100 là hình vẽ minh họa về ví dụ của bảng giá trị khởi tạo ma trận kiểm tra chẵn lẻ trong đó tỷ lệ mã hóa là 28/30 và độ dài mã là 64800.

Fig.101 là hình vẽ minh họa về ví dụ của bảng giá trị khởi tạo ma trận kiểm tra chẵn lẻ trong đó tỷ lệ mã hóa là 28/30 và độ dài mã là 64800.

Fig.102 là hình vẽ minh họa về ví dụ của bảng giá trị khởi tạo ma trận kiểm tra chẵn lẻ trong đó tỷ lệ mã hóa là 28/30 và độ dài mã là 64800.

Fig.103 là hình vẽ minh họa về ví dụ của bảng giá trị khởi tạo ma trận kiểm tra chẵn lẻ trong đó tỷ lệ mã hóa là 29/30 và độ dài mã là 64800.

Fig.104 là hình vẽ minh họa về ví dụ của bảng giá trị khởi tạo ma trận kiểm tra chẵn lẻ trong đó tỷ lệ mã hóa là 29/30 và độ dài mã là 64800.

Fig.105 là hình vẽ minh họa về ví dụ của bảng giá trị khởi tạo ma trận kiểm tra chẵn lẻ trong đó tỷ lệ mã hóa là 29/30 và độ dài mã là 64800.

Fig.106 là hình vẽ minh họa về ví dụ của bảng giá trị khởi tạo ma trận kiểm tra chẵn lẻ trong đó tỷ lệ mã hóa là 29/30 và độ dài mã là 64800.

Fig.107 là hình vẽ minh họa về biểu đồ Tanner của tập hợp của trình tự cấp bậc trong đó trọng số cột là 3 và trọng số hàng là 6.

Fig.108 là hình vẽ minh họa về ví dụ của biểu đồ Tanner của tập hợp của loại đa biến.

Fig.109 là hình vẽ minh họa về độ dài vòng nhỏ nhất và ngưỡng hiệu năng của ma trận kiểm tra chẵn lẻ của mã LDPC với độ dài mã là 64800.

Fig.110 là hình vẽ minh họa về ma trận kiểm tra chẵn lẻ của mã LDPC với độ dài mã là 64800.

Fig.111 là hình vẽ minh họa về ma trận kiểm tra chẵn lẻ của mã LDPC với độ dài mã là 64800.

Fig.112 là hình vẽ minh họa về kết quả mô phỏng của BER/FER của mã LDPC với độ dài mã là 64800.

Fig.113 là hình vẽ minh họa về kết quả mô phỏng của BER/FER của mã LDPC với độ dài mã là 64800.

Fig.114 là hình vẽ minh họa về kết quả mô phỏng của BER/FER của mã LDPC với độ dài mã là 64800.

Fig.115 là hình vẽ minh họa về mã BCH được sử dụng cho mô phỏng

của BER/FER của mã LDPC với độ dài mã là 64800.

Fig.116 là sơ đồ khói minh họa ví dụ cấu hình của thiết bị thu 12.

Fig.117 là sơ đồ khói minh họa ví dụ cấu hình của bộ giải ghép xen bit 165.

Fig.118 là lưu đồ minh họa quy trình xử lý được thực hiện bởi bộ giải mã QAM 164, bộ giải ghép xen bit 165, và bộ giải mã LDPC 166.

Fig.119 là hình vẽ minh họa về ví dụ của ma trận kiểm tra chẵn lẻ của mã LDPC.

Fig.120 là hình vẽ minh họa về ma trận (ma trận kiểm tra chẵn lẻ được biến đổi) thu được bằng cách thực hiện thay thế hàng và thay thế cột đối với ma trận kiểm tra chẵn lẻ.

Fig.121 là hình vẽ minh họa về ma trận kiểm tra chẵn lẻ được biến đổi được phân chia trong đơn vị 5×5 .

Fig.122 là sơ đồ khói minh họa ví dụ cấu hình của thiết bị giải mã mà thực hiện chung P phép toán nút.

Fig.123 là sơ đồ khói minh họa ví dụ cấu hình của bộ giải mã LDPC 166.

Fig.124 là hình vẽ minh họa về quy trình xử lý của bộ ghép kênh 54 cấu thành bộ giải ghép xen bit 165.

Fig.125 là hình vẽ minh họa về quy trình xử lý của bộ giải ghép xen xoắn cột 55.

Fig.126 là sơ đồ khói minh họa ví dụ cấu hình khác của bộ giải ghép xen bit 165.

Fig.127 là sơ đồ khói minh họa ví dụ cấu hình thứ nhất của hệ thống thu mà có thể được áp dụng cho thiết bị thu 12.

Fig.128 là sơ đồ khói minh họa ví dụ cấu hình thứ hai của hệ thống thu mà có thể được áp dụng cho thiết bị thu 12.

Fig.129 là sơ đồ khói minh họa ví dụ cấu hình thứ ba của hệ thống thu mà có thể được áp dụng cho thiết bị thu 12.

Fig.130 là sơ đồ khói minh họa ví dụ cấu hình của phương án của máy tính mà sáng chế được áp dụng cho.

Mô tả chi tiết sáng chế

Ví dụ cấu hình của hệ thống truyền mà sáng chế được áp dụng

Fig.7 minh họa ví dụ cấu hình của phương án của hệ thống truyền (hệ thống nghĩa là việc ghép logic nhiều thiết bị và thiết bị của mỗi cấu hình có thể

được bố trí hoặc không được bố trí trong cùng vỏ) mà sáng chế được áp dụng cho.

Trên Fig.7, hệ thống truyền bao gồm thiết bị truyền 11 và thiết bị thu 12.

Ví dụ, thiết bị truyền 11 truyền (quảng bá) (phát) chương trình của quảng bá truyền hình, và v.v. Tức là, ví dụ, thiết bị truyền 11 mã hóa dữ liệu đích mà là đích truyền như dữ liệu ảnh và dữ liệu audio như là chương trình thành các mã LDPC, và, ví dụ, truyền chúng thông qua đường truyền thông 13 như mạch vệ tinh, sóng mặt đất và cáp (mạch đường dây).

Thiết bị thu 12 thu mã LDPC được truyền từ thiết bị truyền 11 thông qua đường truyền thông 13, giải mã mã LDPC để thu được dữ liệu đích, và xuất ra dữ liệu đích.

Trong trường hợp này, đã biết rằng mã LDPC được sử dụng bởi hệ thống truyền của Fig.7 thể hiện khả năng rất cao trong đường truyền thông AWGN (Additive White Gaussian Noise – Nhiều Gaussian trắng cộng).

Trong khi đó, trong đường truyền thông 13, lỗi cụm hoặc vết xóa có thể được tạo ra. Đặc biệt trong trường hợp mà đường truyền thông 13 là sóng mặt đất, ví dụ, trong hệ thống OFDM (Orthogonal Frequency Division Multiplexing – Ghép kênh phân chia theo tần số trực giao), công suất của ký hiệu cụ thể có thể trở thành 0 (vết xóa) theo trễ của phản hồi (các đường ngoài đường chính), dưới môi trường đa đường trong đó D/U (Desired to Undesired Ratio – Tỷ số mong muốn trên không mong muốn) là 0 dB (Công suất của không mong muốn = phản hồi bằng Công suất của không mong muốn = đường chính).

Trong sự méo rung (đường truyền thông trong đó độ trễ là 0 và phản hồi có tần số Doppler được thêm vào), khi D/U là 0 dB, công suất toàn bộ của ký hiệu OFDM tại thời điểm cụ thể có thể trở thành 0 (vết xóa) bởi tần số Doppler.

Ngoài ra, lỗi cụm có thể được tạo ra do trường hợp của đường nối dây từ bộ thu (không được thể hiện trên hình vẽ) của phía của thiết bị thu 12 như anten thu tín hiệu từ thiết bị truyền 11 tới thiết bị thu 12 hoặc tính không ổn định của nguồn công suất của thiết bị thu 12.

Trong khi đó, trong việc giải mã của mã LDPC, trong nút biến thiên tương ứng với cột của ma trận kiểm tra chẵn lẻ H và bit mã của mã LDPC, như được minh họa trên Fig.5 được mô tả nêu trên, phép toán nút biến thiên của biểu thức (1) với việc thêm vào (giá trị thu u_{0i}) bit mã của mã LDPC được thực hiện. Vì lý do này, nếu lỗi được tạo ra trong các bit mã được sử dụng cho phép toán

nút biến thiên, độ chính xác của tin nhắn được tính toán bị suy giảm.

Trong việc giải mã của mã LDPC, trong nút kiểm tra, phép toán nút kiểm tra của biểu thức (7) được thực hiện nhờ sử dụng tin nhắn được tính toán bởi nút biến thiên được kết nối tới nút kiểm tra. Vì lý do này, nếu số lượng nút kiểm tra trong đó lỗi (bao gồm vết xóa) được tạo ra đồng thời trong (các bit mã của các mã LDPC tương ứng với) các nút biến thiên được kết nối tăng lên, hiệu quả giải mã bị suy giảm.

Tức là, nếu hai nút biến thiên hoặc nhiều hơn của các nút biến thiên được kết nối tới nút kiểm tra đồng thời trở thành vết xóa, nút kiểm tra trả lại tin nhắn trong đó xác suất của giá trị là 0 và xác suất của giá trị là 1 là bằng nhau, tới tất cả các nút biến thiên. Trong trường hợp này, nút kiểm tra mà trả lại tin nhắn có các xác suất bằng nhau không góp phần vào một quy trình xử lý giải mã (một tập hợp của phép toán nút biến thiên và phép toán nút kiểm tra). Kết quả là, cần thiết phải tăng số lần lặp lại về quy trình xử lý giải mã, hiệu quả giải mã bị suy giảm, và công suất tiêu thụ của thiết bị thu 12 mà thực hiện việc giải mã của mã LDPC tăng lên.

Do đó, trong hệ thống truyền của Fig.7, khả năng chống lỗi cụm hoặc vết xóa có thể được cải thiện trong khi hiệu quả trong đường truyền thông AWGN được duy trì.

Ví dụ cấu hình của thiết bị truyền 11

Fig.8 là sơ đồ khối minh họa ví dụ cấu hình của thiết bị truyền 11 của Fig.7.

Trong thiết bị truyền 11, một hoặc nhiều dòng đầu vào tương ứng với dữ liệu đích được cấp tới bộ ghép kênh/áp dụng chế độ 111.

Bộ ghép kênh/áp dụng chế độ 111 thực hiện việc lựa chọn chế độ và các quy trình xử lý như ghép kênh một hoặc nhiều dòng đầu vào được cấp tới đó, nếu cần, và cấp dữ liệu thu được như là kết quả tới bộ đệm 112.

Bộ đệm 112 thực hiện việc đệm zero cần thiết (chèn dữ liệu rỗng) đối với dữ liệu được cấp từ bộ ghép kênh/áp dụng chế độ 111 và cấp dữ liệu thu được như là kết quả tới bộ xáo trộn BB 113.

Bộ xáo trộn BB 113 thực hiện việc xáo trộn bằng gốc (xáo trộn BB) đối với dữ liệu được cấp từ bộ đệm 112 và cấp dữ liệu thu được như là kết quả tới bộ mã hóa BCH 114.

Bộ mã hóa BCH 114 thực hiện việc mã hóa BCH đối với dữ liệu được

cấp từ bộ xáo trộn BB 113 và cấp dữ liệu thu được như là kết quả như dữ liệu đích LDPC là đích mã hóa LDPC tới bộ mã hóa LDPC 115.

Bộ mã hóa LDPC 115 thực hiện việc mã hóa LDPC theo ma trận kiểm tra chẵn lẻ trong đó ma trận chẵn lẻ là phần tương ứng với bit chẵn lẻ của mã LDPC trở thành cấu hình bậc thang đối với dữ liệu đích LDPC được cấp từ bộ mã hóa BCH 114, và xuất ra mã LDPC trong đó dữ liệu đích LDPC là các bit thông tin.

Tức là, bộ mã hóa LDPC 115 thực hiện việc mã hóa LDPC để mã hóa dữ liệu đích LDPC với LDPC như mã LDPC (tương ứng với ma trận kiểm tra chẵn lẻ) được xác định trong tiêu chuẩn định trước của DVB-S.2, DVB-T.2, DVB-C.2 hoặc loại tương tự và xuất ra mã LDPC định trước (tương ứng với ma trận kiểm tra chẵn lẻ) hoặc loại tương tự thu được như là kết quả.

Mã LDPC được định nghĩa theo tiêu chuẩn của DVB-S.2, DVB-T.2, và DVB-C.2 là mã IRA (Irregular Repeat Accumulate – tích lũy lặp lại không đều đặn) và ma trận chẵn lẻ của ma trận kiểm tra chẵn lẻ của mã LDPC trở thành cấu hình bậc thang. Ma trận chẵn lẻ và cấu hình bậc thang sẽ được mô tả sau đây. Mã IRA được mô tả trong "Irregular Repeat-Accumulate Codes", H. Jin, A. Khandekar, and R. J. McEliece, in Proceedings of 2nd International Symposium on Turbo codes and Related Topics, pp. 1-8, tháng 9 năm 2000, chẳng hạn.

Mã LDPC mà được xuất ra bởi bộ mã hóa LDPC 115 được cấp tới bộ ghép xen bit 116.

Bộ ghép xen bit 116 thực hiện việc ghép xen bit được mô tả sau đây đối với mã LDPC được cấp từ bộ mã hóa LDPC 115 và cấp mã LDPC sau khi ghép xen bit tới bộ mã hóa QAM 117.

Bộ mã hóa QAM 117 ánh xạ mã LDPC được cấp từ bộ ghép xen bit 116 tới điểm tín hiệu biểu diễn một ký hiệu của điều biến trực giao trong đơn vị (đơn vị ký hiệu) của các bit mã của một hoặc nhiều bit của mã LDPC và thực hiện điều biến trực giao (điều biến đa mức).

Tức là, bộ mã hóa QAM 117 thực hiện ánh xạ mã LDPC được cấp từ bộ ghép xen bit 116 tới điểm tín hiệu được xác định bởi phương pháp điều biến thực hiện điều biến trực giao của mã LDPC, trên mặt phẳng IQ (chòm sao tín hiệu IQ) được xác định bởi trục I biểu diễn thành phần I của cùng pha như sóng mang và trục Q biểu diễn thành phần Q trực giao với sóng mang, và thực hiện điều biến trực giao.

Trong trường hợp này, như là phương pháp điều biến của điều biến trực giao được thực hiện bởi bộ mã hóa QAM 117, có các phương pháp điều biến bao gồm phương pháp điều biến được định nghĩa theo tiêu chuẩn của DVB-S.2, DVB-T.2, DVB-C.2 hoặc loại tương tự, và phương pháp điều biến khác, tức là, BPSK (Binary Phase Shift Keying – Khóa dịch pha nhị phân), QPSK (Quadrature Phase Shift Keying – Khóa dịch pha cầu phương), 16APSK (Amplitude Phase-Shift Keying – Khóa dịch pha biên độ), 32APSK, 16QAM (Quadrature Amplitude Modulation – Điều biến biên độ cầu phương), 64QAM, 256QAM, 1024QAM, 4096QAM, 4PAM (Pulse Amplitude Modulation – Điều biến biên độ xung), hoặc loại tương tự. Trong bộ mã hóa QAM 117, để thực hiện điều biến trực giao dựa trên phương pháp điều biến nào được thiết lập trước đó theo hoạt động của bộ hoạt động của thiết bị truyền 11.

Dữ liệu (ký hiệu được ánh xạ tới điểm tín hiệu) mà thu được bởi quy trình xử lý trong bộ mã hóa QAM 117 được cấp tới bộ ghép xen thời gian 118.

Bộ ghép xen thời gian 118 thực hiện việc ghép xen thời gian (ghép xen theo chiều thời gian) theo đơn vị của ký hiệu đối với dữ liệu (ký hiệu) được cấp từ bộ mã hóa QAM 117 và cấp dữ liệu thu được như là kết quả tới bộ mã hóa MISO/MIMO (bộ mã hóa MISO/MIMO) 119.

Bộ mã hóa MISO/MIMO 119 thực hiện việc mã hóa theo không gian thời gian đối với dữ liệu (ký hiệu) được cấp từ bộ ghép xen thời gian 118 và cấp dữ liệu tới bộ ghép xen tần số 120.

Bộ ghép xen tần số 120 thực hiện việc ghép xen tần số (ghép xen theo chiều tần số) theo đơn vị của ký hiệu đối với dữ liệu (ký hiệu) được cấp từ bộ mã hóa MISO/MIMO 119 và cấp dữ liệu tới bộ tạo khung/bộ cấp phát tài nguyên 131.

Mặt khác, ví dụ, dữ liệu điều khiển (báo hiệu) để truyền điều khiển như báo hiệu BB (báo hiệu băng gốc) (đoạn đầu BB) được cấp tới bộ mã hóa BCH 121.

Bộ mã hóa BCH 121 thực hiện việc mã hóa BCH đối với báo hiệu được cấp tới đó và cấp dữ liệu thu được như là kết quả tới bộ mã hóa LDPC 122, tương tự bộ mã hóa BCH 114.

Bộ mã hóa LDPC 122 thiết lập dữ liệu được cấp từ bộ mã hóa BCH 121 như là dữ liệu đích LDPC, thực hiện việc mã hóa LDPC đối với dữ liệu này, và cấp mã LDPC thu được như là kết quả tới bộ mã hóa QAM 123, tương tự bộ mã

hóa LDPC 115.

Bộ mã hóa QAM 123 ánh xạ mã LDPC được cấp từ bộ mã hóa LDPC 122 tới điểm tín hiệu biểu diễn một ký hiệu của điều biến trực giao trong đơn vị (đơn vị ký hiệu) của các bit mã của một hoặc nhiều bit của mã LDPC, thực hiện điều biến trực giao, và cấp dữ liệu (ký hiệu) thu được như là kết quả tới bộ ghép xen tần số 124, tương tự bộ mã hóa QAM 117.

Bộ ghép xen tần số 124 thực hiện việc ghép xen tần số theo đơn vị của ký hiệu đối với dữ liệu (ký hiệu) được cấp từ bộ mã hóa QAM 123 và cấp dữ liệu tới bộ tạo khung/bộ cấp phát tài nguyên 131, tương tự bộ ghép xen tần số 120.

Bộ tạo khung/bộ cấp phát tài nguyên 131 chèn các ký hiệu của các hoa tiêu vào các vị trí cần thiết của dữ liệu (ký hiệu) được cấp từ các bộ ghép xen tần số 120 và 124, cấu hình khung (ví dụ, khung lớp vật lý (PL), khung T2, khung C2, và v.v) bao gồm các ký hiệu có số định trước từ dữ liệu (các ký hiệu) thu được như là kết quả, và cấp khung này tới bộ tạo OFDM 132.

Bộ tạo OFDM 132 tạo ra tín hiệu OFDM tương ứng với khung từ khung được cấp từ bộ tạo khung/bộ cấp phát tài nguyên 131 và truyền tín hiệu OFDM thông qua đường truyền thông 13 (Fig.7).

Ở đây, ví dụ, thiết bị truyền 11 có thể có cấu hình mà không bao gồm một phần của các khối được minh họa trên Fig.8 như bộ ghép xen thời gian 118, bộ mã hóa MISO/MIMO 119, bộ ghép xen tần số 120 và bộ ghép xen tần số 124.

Fig.9 minh họa ví dụ cấu hình của bộ ghép xen bit 116 của Fig.8.

Bộ ghép xen bit 116 là thiết bị xử lý dữ liệu mà ghép xen dữ liệu và bao gồm bộ ghép xen chẵn lẻ 23, bộ ghép xen xoắn cột 24, và bộ giải ghép kênh (DEMUX) 25. Ở đây, bộ ghép xen bit 116 có thể có cấu hình mà không bao gồm một trong số hoặc cả hai bộ ghép xen chẵn lẻ 23 và bộ ghép xen xoắn cột 24.

Bộ ghép xen chẵn lẻ 23 thực hiện việc ghép xen chẵn lẻ để ghép xen các bit chẵn lẻ của mã LDPC được cấp từ bộ mã hóa LDPC 115 vào các vị trí của các bit chẵn lẻ khác và cấp mã LDPC sau khi ghép xen chẵn lẻ tới bộ ghép xen xoắn cột 24.

Bộ ghép xen xoắn cột 24 thực hiện việc ghép xen xoắn cột đối với mã LDPC được cấp từ bộ ghép xen chẵn lẻ 23 và cấp mã LDPC sau khi giải ghép xen xoắn cột tới bộ giải ghép kênh 25.

Tức là, trong bộ mã hóa QAM 117 của Fig.8, các bit mã của một hoặc

nhiều bit của mã LDPC được ánh xạ tới điểm tín hiệu biểu diễn một ký hiệu của điều biến trực giao và được truyền.

Trong bộ ghép xen xoắn cột 24, việc ghép xen xoắn cột được mô tả sau đây được thực hiện như là xử lý sắp xếp lại để sắp xếp lại các bit mã của mã LDPC được cấp từ bộ ghép xen chẵn lẻ 23, sao cho các bit mã của mã LDPC tương ứng với 1 trong bất kỳ hàng của ma trận kiểm tra chẵn lẻ được sử dụng bởi bộ mã hóa LDPC 115 không được bao gồm trong một ký hiệu.

Bộ giải ghép kênh 25 thực hiện quy trình xử lý hoán đổi để hoán đổi các vị trí của hai bit mã hoặc nhiều hơn của mã LDPC trở thành ký hiệu, đổi với mã LDPC được cấp từ bộ ghép xen xoắn cột 24, và thu được mã LDPC trong đó sự chống chịu lại AWGN được tăng cường. Ngoài ra, bộ giải ghép kênh 25 cấp hai bit mã hoặc nhiều hơn của mã LDPC thu được bởi quy trình xử lý hoán đổi như là ký hiệu tới bộ mã hóa QAM 117 (Fig.8).

Tiếp theo, Fig.10 minh họa ma trận kiểm tra chẵn lẻ H mà được sử dụng để mã hóa LDPC bởi bộ mã hóa LDPC 115 của Fig.8.

Ma trận kiểm tra chẵn lẻ H trở thành cấu hình LDGM (Low-Density Generation Matrix – ma trận sinh mật độ thấp) và có thể được biểu diễn bởi biểu thức $H = [H_A | H_T]$ (ma trận trong đó các phần tử của ma trận thông tin H_A được thiết lập là các thành phần trái và các thành phần của ma trận chẵn lẻ H_T được thiết lập là các thành phần phải), sử dụng ma trận thông tin H_A của phần tương ứng với các bit thông tin trong số các bit mã của mã LDPC và ma trận chẵn lẻ H_T tương ứng với các bit chẵn lẻ.

Trong trường hợp này, số bit của các bit thông tin trong số các bit mã của một mã LDPC (một từ mã) và số bit của các bit chẵn lẻ được gọi là độ dài thông tin K và độ dài chẵn lẻ M , một cách tương ứng, và số bit của các bit mã của một mã LDPC được gọi là độ dài mã $N (= K + M)$.

Độ dài thông tin K và độ dài chẵn lẻ M của mã LDPC có độ dài mã bất kỳ N được xác định bởi tỷ lệ mã hóa. Ma trận kiểm tra chẵn lẻ H trở thành ma trận trong đó hàng \times cột là $M \times N$. Ma trận thông tin H_A trở thành ma trận của $M \times K$ và ma trận chẵn lẻ H_T trở thành ma trận của $M \times M$.

Fig.11 minh họa ma trận chẵn lẻ H_T của ma trận kiểm tra chẵn lẻ H của mã LDPC mà được định nghĩa theo tiêu chuẩn của DVB-S.2, DVB-T.2, và DVB-C.2.

Ma trận chẵn lẻ H_T của ma trận kiểm tra chẵn lẻ H của mã LDPC mà

được định nghĩa theo tiêu chuẩn của DVB-T.2 hoặc loại tương tự trở thành ma trận cấu hình bậc thang (ma trận đường chéo thấp) trong đó các phần tử 1 được sắp xếp theo dạng bậc thang, như được minh họa trên Fig.11. Trọng số hàng của ma trận chẵn lẻ H_T trở thành 1 đối với hàng thứ nhất và trở thành 2 đối với các hàng còn lại. Trọng số cột trở thành 1 đối với cột cuối cùng và trở thành 2 đối với các cột còn lại.

Như được mô tả nêu trên, mã LDPC của ma trận kiểm tra chẵn lẻ H trong đó ma trận chẵn lẻ H_T trở thành cấu hình bậc thang có thể được tạo ra dễ dàng sử dụng ma trận kiểm tra chẵn lẻ H .

Tức là, mã LDPC (một từ mã) được biểu diễn bởi vectơ hàng c và vectơ cột thu được bằng cách chuyển vị vectơ hàng được biểu diễn bởi C^T . Ngoài ra, phần của các bit thông tin của vectơ hàng c là mã LDPC được biểu diễn bởi vectơ hàng A và phần của các bit chẵn lẻ được biểu diễn bởi vectơ hàng T .

Vectơ hàng c có thể được biểu diễn bởi biểu thức $c = [A|T]$ (vectơ hàng trong đó các phần tử của vectơ hàng A được thiết lập là các phần tử trái và các phần tử của vectơ hàng T được thiết lập là các phần tử phải), sử dụng vectơ hàng A tương ứng với các bit thông tin và vectơ hàng T tương ứng với các bit chẵn lẻ.

Trong ma trận kiểm tra chẵn lẻ H và vectơ hàng $c = [A|T]$ tương ứng với mã LDPC, cần phải thỏa mãn biểu thức $Hc^T = 0$. Vectơ hàng T mà tương ứng với các bit chẵn lẻ cấu thành vectơ hàng $c = [A|T]$ thỏa mãn biểu thức $Hc^T = 0$ có thể được tính toán tuân tự bằng cách thiết lập các phần tử của mỗi hàng là 0, tuân tự (theo thứ tự) từ các phần tử của hàng thứ nhất của vectơ cột Hc^T trong biểu thức $Hc^T = 0$, khi ma trận chẵn lẻ H_T của ma trận kiểm tra chẵn lẻ $H = [H_A|H_T]$ trở thành cấu hình bậc thang được minh họa trên Fig.11.

Fig.12 là hình vẽ minh họa về ma trận kiểm tra chẵn lẻ H của mã LDPC mà được định nghĩa theo tiêu chuẩn của DVB-T.2 hoặc loại tương tự.

Trọng số cột trở thành X đối với các cột KX từ cột thứ nhất của ma trận kiểm tra chẵn lẻ H của mã LDPC được định nghĩa theo tiêu chuẩn của DVB-T.2 hoặc loại tương tự, trở thành 3 đối với $K3$ cột phía sau, trở thành 2 đối với $(M-1)$ cột phía sau, và trở thành 1 đối với cột cuối cùng.

Trong trường hợp này, $KX + K3 + M - 1 + 1$ bằng độ dài mã N .

Fig.13 là hình vẽ minh họa về các số cột KX , $K3$, và M và trọng số cột X , đối với mỗi tỷ lệ mã hóa r của mã LDPC được định nghĩa theo tiêu chuẩn của DVB-T.2 hoặc loại tương tự.

Theo tiêu chuẩn của DVB-T.2 hoặc loại tương tự, các mã LDPC mà có các độ dài mã N là 64800 bit và 16200 bit được xác định.

Đối với mã LDPC có độ dài mã N là 64800 bit, 11 tỷ lệ mã hóa (các tỷ lệ danh định) của $1/4, 1/3, 2/5, 1/2, 3/5, 2/3, 3/4, 4/5, 5/6, 8/9$, và $9/10$ được xác định. Đối với mã LDPC có độ dài mã N là 16200 bit, 10 tỷ lệ mã hóa là $1/4, 1/3, 2/5, 1/2, 3/5, 2/3, 3/4, 4/5, 5/6$, và $8/9$ được xác định.

Sau đây, độ dài mã N là 64800 bit được gọi là 64 kbit và độ dài mã N là 16200 được gọi là 16 kbit.

Đối với mã LDPC, đã biết rằng tỷ lệ lỗi thấp trong bit mã tương ứng với cột mà trọng số cột của ma trận kiểm tra chẵn lẻ H của nó là lớn.

Trong ma trận kiểm tra chẵn lẻ H mà được minh họa trên Fig.12 và Fig.13 và được định nghĩa theo tiêu chuẩn của DVB-T.2 hoặc loại tương tự, trọng số cột của cột của phía đầu (phía trái) có xu hướng lớn. Do đó, đối với mã LDPC tương ứng với ma trận kiểm tra chẵn lẻ H, bit mã của phía đầu có xu hướng là khỏe đối với lỗi (có sức chịu lỗi) và bit mã của phía cuối có xu hướng yếu đối với lỗi.

Tiếp theo, Fig.14 minh họa ví dụ các sắp xếp của (các điểm tín hiệu tương ứng với) 16 ký hiệu trên mặt phẳng IQ, khi 16QAM được thực hiện bởi bộ mã hóa QAM 117 của Fig.8.

Tức là, phần A của Fig.14 minh họa các ký hiệu của 16QAM của DVB-T.2.

Trong 16QAM, một ký hiệu được biểu diễn bởi 4 bit và 16 ký hiệu ($= 2^4$) tồn tại. 16 ký hiệu được sắp xếp sao cho chiều I \times chiều Q trở thành dạng hình vuông 4×4 , trên cơ sở của điểm gốc của mặt phẳng IQ.

Nếu bit thứ $(i + 1)$ từ bit quan trọng nhất của chuỗi bit được biểu diễn bởi một ký hiệu được biểu diễn như là bit y_i , 4 bit được biểu diễn bởi một ký hiệu của 16QAM có thể được biểu diễn như là các bit y_0, y_1, y_2 , và y_3 , một cách tương ứng, tuần tự từ bit quan trọng nhất. Khi phương pháp điều biến là 16QAM, 4 bit của các bit mã của mã LDPC trở thành ký hiệu (giá trị ký hiệu) của 4 bit y_0 tới y_3 (được ký hiệu hóa).

Phần B của Fig.14 minh họa ranh giới bit đối với mỗi 4 bit (sau đây được gọi là các bit ký hiệu) y_0 tới y_3 được biểu diễn bởi ký hiệu của 16QAM.

Trong trường hợp này, ranh giới bit đối với bit ký hiệu y_i (trên Fig.14, $i = 0, 1, 2$, và 3) nghĩa là ranh giới của ký hiệu mà bit ký hiệu y_i của nó trở thành 0

và ký hiệu mà bit ký hiệu y_i của nó trở thành 1.

Như được minh họa bởi phần B của Fig.14, chỉ một vị trí của trục Q của mặt phẳng IQ trở thành ranh giới bit đối với bit ký hiệu quan trọng nhất y_0 của 4 bit ký hiệu y_0 tới y_3 được biểu diễn bởi ký hiệu của 16QAM và chỉ một vị trí của trục I của mặt phẳng IQ trở thành ranh giới bit đối với bit ký hiệu thứ hai y_1 (thứ hai từ bit quan trọng nhất).

Đối với bit ký hiệu thứ ba y_2 , hai vị trí là vị trí giữa các cột thứ nhất và thứ hai từ phía trái và vị trí giữa các cột thứ ba và thứ tư, trong số 4×4 ký hiệu, trở thành các ranh giới bit.

Đối với bit ký hiệu thứ tư y_3 , hai vị trí là vị trí giữa các hàng thứ nhất và thứ hai từ phía trên và vị trí giữa các hàng thứ ba và thứ tư, trong số các ký hiệu 4×4 , trở thành các ranh giới bit.

Trong các bit ký hiệu y_i mà được biểu diễn bởi các ký hiệu, khi số lượng ký hiệu xa từ các ranh giới bit là lớn, lỗi khó được tạo ra (xác suất lỗi là thấp) và khi số lượng ký hiệu gần các ranh giới bit là lớn, lỗi được tạo ra dễ dàng (xác suất lỗi là cao).

Nếu các bit (mạnh đối với lỗi) trong đó lỗi khó được tạo ra được gọi là "các bit mạnh" và các bit (yếu đối với lỗi) trong đó lỗi dễ dàng được tạo ra được gọi là "các bit yếu", đối với 4 bit ký hiệu y_0 tới y_3 của ký hiệu của 16QAM, bit ký hiệu quan trọng nhất y_0 và bit ký hiệu thứ hai y_1 trở thành các bit mạnh và bit ký hiệu thứ ba y_2 và bit ký hiệu thứ tư y_3 trở thành các bit yếu.

Fig.15 đến Fig.17 minh họa ví dụ các sắp xếp của (các điểm tín hiệu tương ứng với) 64 ký hiệu trên mặt phẳng IQ, tức là, các ký hiệu của 16QAM của DVB-T.2, khi 64QAM được thực hiện bởi bộ mã hóa QAM 117 của Fig.8.

Trong 64QAM, một ký hiệu biểu diễn 6 bit và 64 ký hiệu ($= 2^6$) tồn tại. 64 ký hiệu được sắp xếp sao cho chiều I \times chiều Q trở thành dạng hình vuông 8×8 , trên cơ sở của điểm gốc của mặt phẳng IQ.

Các bit ký hiệu của một ký hiệu của 64QAM có thể được biểu diễn như là y_0, y_1, y_2, y_3, y_4 , và y_5 , tuân tự từ bit quan trọng nhất. Khi phương pháp điều biến là 64QAM, 6 bit của các bit mã của mã LDPC trở thành ký hiệu của các bit ký hiệu y_0 tới y_5 của 6 bit.

Trong trường hợp này, Fig.15 minh họa ranh giới bit đối với mỗi bit ký hiệu quan trọng nhất y_0 và bit ký hiệu thứ hai y_1 trong số các bit ký hiệu y_0 tới y_5 của ký hiệu của 64QAM, Fig.16 minh họa ranh giới bit đối với mỗi bit ký hiệu

thứ ba y_2 và bit ký hiệu thứ tư y_3 , và Fig.17 minh họa ranh giới bit đối với mỗi bit ký hiệu thứ năm y_4 và bit ký hiệu thứ sáu y_5 .

Như được minh họa trên Fig.15, ranh giới bit đối với mỗi bit ký hiệu quan trọng nhất y_0 và bit ký hiệu thứ hai y_1 trở thành một vị trí. Như được minh họa trên Fig.16, các ranh giới bit đối với mỗi bit ký hiệu thứ ba y_2 và bit ký hiệu thứ tư y_3 trở thành hai vị trí. Như được minh họa trên Fig.17, các ranh giới bit đối với mỗi bit ký hiệu thứ năm y_4 và bit ký hiệu thứ sáu y_5 trở thành bốn vị trí.

Do đó, đối với các bit ký hiệu y_0 tới y_5 của ký hiệu của 64QAM, bit ký hiệu quan trọng nhất y_0 và bit ký hiệu thứ hai y_1 trở thành các bit mạnh và bit ký hiệu thứ ba y_2 và bit ký hiệu thứ tư y_3 trở thành các bit mạnh tiếp theo. Ngoài ra, bit ký hiệu thứ năm y_4 và bit ký hiệu thứ sáu y_5 trở thành các bit yếu.

Từ các Fig.14 và Fig.15 tới Fig.17, có thể được biết rằng, đối với các bit ký hiệu của ký hiệu của điều biến trực giao, các bit phía trên có xu hướng trở thành các bit mạnh và các bit phía dưới có xu hướng trở thành các bit yếu.

Fig.18 là hình vẽ minh họa về ví dụ của các sắp xếp trên mặt phẳng IQ của (các điểm tín hiệu tương ứng với) 4 ký hiệu trong trường hợp mà mạch vệ tinh được áp dụng như là đường truyền thông 13 (Fig.7) và QPSK được thực hiện trong bộ mã hóa QAM 117 của Fig.8, tức là, ví dụ, minh họa của các ký hiệu của QPSK của DVB-S.2.

Trong QPSK của DVB-S.2, ký hiệu được ánh xạ trên bất kỳ 4 điểm tín hiệu trên chu vi của đường tròn mà bán kính của nó hướng về gốc của mặt phẳng IQ là ρ .

Fig.19 là hình vẽ minh họa về ví dụ của cách bố trí trên mặt phẳng IQ của 8 ký hiệu trong trường hợp mà mạch vệ tinh được áp dụng như là đường truyền thông 13 (Fig.7) và 8PSK được thực hiện trong bộ mã hóa QAM 117 của Fig.8, tức là, ví dụ, minh họa của các ký hiệu của 8PSK của DVB-S.2.

Trong 8PSK của DVB-S.2, ký hiệu được ánh xạ trên bất kỳ 8 điểm tín hiệu trên chu vi của đường tròn mà bán kính của nó hướng về gốc của mặt phẳng IQ là ρ .

Fig.20 là ví dụ của cách bố trí trên mặt phẳng IQ của 16 ký hiệu trong trường hợp mà mạch vệ tinh được áp dụng như là đường truyền thông 13 (Fig.7) và 16APSK được thực hiện trong bộ mã hóa QAM 117 của Fig.8, tức là, ví dụ, minh họa của các ký hiệu 16APSK của DVB-S.2.

Phần A của Fig.20 minh họa cách bố trí của các điểm tín hiệu của

16APSK của DVB-S.2.

Trong 16APSK của DVB-S.2, ký hiệu được ánh xạ trên bất kỳ tổng 16 điểm tín hiệu của 4 điểm tín hiệu trên chu vi của đường tròn mà bán kính của nó hướng về gốc của mặt phẳng IQ là R_1 và 12 điểm tín hiệu trên chu vi của đường tròn mà bán kính của nó là $R_2 (> R_1)$.

Phần B của Fig.20 minh họa $\gamma = R_2/R_1$ mà là tỷ số của các bán kính R_2 và R_1 theo cách bố trí của các điểm tín hiệu của 16APSK của DVB-S.2.

Theo cách bố trí của các điểm tín hiệu của 16APSK của DVB-S.2, tỷ số γ của các bán kính R_2 và R_1 thay đổi phụ thuộc vào mỗi tỷ lệ mã hóa.

Fig.21 là ví dụ của cách bố trí trên mặt phẳng IQ của 32 ký hiệu trong trường hợp mà mạch vệ tinh được áp dụng như là đường truyền thông 13 (Fig.7) và 32APSK được thực hiện trong bộ mã hóa QAM 117 của Fig.8, tức là, ví dụ, minh họa của các ký hiệu của 32APSK của DVB-S.2.

Phần A của Fig.21 minh họa cách bố trí của các điểm tín hiệu của 32APSK của DVB-S.2.

Trong 32APSK của DVB-S.2, ký hiệu được ánh xạ trên bất kỳ trong số tổng 32 điểm tín hiệu của 4 điểm tín hiệu trên chu vi của đường tròn mà bán kính của nó hướng về gốc của mặt phẳng IQ là R_1 , 12 điểm tín hiệu trên chu vi của đường tròn mà bán kính của nó là $R_2 (> R_1)$ và 16 điểm tín hiệu trên chu vi của đường tròn mà bán kính của nó là $R_3 (> R_2)$.

Phần B của Fig.21 minh họa $\gamma_1 = R_2/R_1$ mà là tỷ số của các bán kính R_2 và R_1 theo cách bố trí của các điểm tín hiệu của 32APSK của DVB-S.2 và $\gamma_2 = R_3/R_1$ mà là tỷ số của các bán kính R_3 và R_1 .

Theo cách bố trí của các điểm tín hiệu của 32APSK của DVB-S.2, tỷ số γ_1 của các bán kính R_2 và R_1 và tỷ số γ_2 của các bán kính R_3 và R_1 thay đổi phụ thuộc vào mỗi tỷ lệ mã hóa.

Ngay cả đối với các bit ký hiệu của các ký hiệu của mỗi điều biến cầu phương (QPSK, 8PSK, 16APSK và 32APSK) của DVB-S.2 minh họa cách bố trí của các điểm tín hiệu trên Fig.18 đến Fig.21, tương tự các trường hợp của Fig.14 đến Fig.17, có các bit mạnh và các bit yếu.

Như được mô tả trên Fig.12 và Fig.13, đối với mã LDPC được xuất ra bởi bộ mã hóa LDPC 115 (Fig.8), các bit mã mạnh đối với lỗi và các bit mã yếu đối với lỗi tồn tại.

Như được mô tả trên các Fig.14 tới Fig.21, đối với các bit ký hiệu của ký

hiệu của điều biến trực giao được thực hiện bởi bộ mã hóa QAM 117, các bit mạnh và các bit yếu tồn tại.

Do đó, nếu các bit mã của mã LDPC mạnh đối với lỗi được cấp phát tới các bit ký hiệu yếu của ký hiệu của điều biến trực giao, khả năng chống lỗi bị làm giảm nói chung.

Do đó, bộ ghép xen mà ghép xen các bit mã của mã LDPC theo cách mà các bit mã của mã LDPC yếu đối với lỗi được cấp phát tới các bit mạnh (các bit ký hiệu) của ký hiệu của điều biến trực giao được đề xuất.

Bộ giải ghép kênh 25 của Fig.9 có thể thực hiện quy trình xử lý của bộ ghép xen.

Fig.22 là hình vẽ minh họa về quy trình xử lý của bộ giải ghép kênh 25 của Fig.9.

Tức là, phần A của Fig.18 minh họa ví dụ cấu hình chức năng của bộ giải ghép kênh 25.

Bộ giải ghép kênh 25 bao gồm bộ nhớ 31 và bộ hoán đổi 32.

Mã LDPC được cấp từ bộ mã hóa LDPC 115 tới bộ nhớ 31.

Bộ nhớ 31 có dung lượng lưu trữ để lưu trữ mb bit theo chiều hàng (ngang) và lưu trữ N/(mb) bit theo chiều cột (dọc). Bộ nhớ 31 ghi các bit mã của mã LDPC được cấp tới đó theo chiều cột, đọc các bit mã theo chiều hàng, và cấp các bit mã tới bộ hoán đổi 32.

Trong trường hợp này, $N (= \text{độ dài thông tin } K + \text{độ dài chẵn lẻ } M)$ biểu diễn độ dài mã của mã LDPC, như được mô tả nêu trên.

Ngoài ra, m biểu diễn số bit của các bit mã của mã LDPC mà trở thành một ký hiệu và b biểu diễn bộ mà là số nguyên dương định trước và được sử dụng để thực hiện phép nhân toàn vẹn của m. Như được mô tả nêu trên, bộ giải ghép kênh 25 ký hiệu hóa các bit mã của mã LDPC. Tuy nhiên, bộ b biểu diễn số lượng ký hiệu thu được bằng cách ký hiệu hóa một lần của bộ giải ghép kênh 25.

Phần A của Fig.22 minh họa ví dụ cấu hình của bộ giải ghép kênh 25 trong trường hợp mà phương pháp điều biến là 64QAM hoặc loại tương tự trong đó việc ánh xạ được thực hiện trên bất kỳ 64 điểm tín hiệu, và do đó số bit m của các bit mã của mã LDPC trở thành một ký hiệu là 6 bit.

Trên phần A của Fig.22, bộ b trở thành 1. Do đó, bộ nhớ 31 có dung lượng lưu trữ trong đó chiều cột \times chiều hàng là $N/(6 \times 1) \times (6 \times 1)$ bit.

Trong trường hợp này, vùng lưu trữ của bộ nhớ 31 trong đó chiều hàng là 1 bit và mở rộng theo chiều cột sau đây được gọi một cách thích hợp là cột sau đây. Trên phần A của Fig.22, bộ nhớ 31 bao gồm 6 ($=6 \times 1$) cột.

Trong bộ giải ghép kênh 25, việc ghi của các bit mã của mã LDPC theo chiều hướng xuống dưới (chiều cột) từ phía trên của các cột cấu thành bộ nhớ 31 được thực hiện hướng tới các cột có chiều hướng sang phải từ phía trái.

Nếu việc ghi của các bit mã kết thúc tại đáy của cột ngoài cùng bên phải, các bit mã được đọc theo đơn vị của 6 bit (mb bit) theo chiều hàng từ hàng thứ nhất của tất cả các cột cấu thành bộ nhớ 31 và được cấp tới bộ hoán đổi 32.

Bộ hoán đổi 32 thực hiện quy trình xử lý hoán đổi để hoán đổi các vị trí của các bit mã của 6 bit từ bộ nhớ 31 và xuất ra 6 bit thu được như là kết quả như là 6 bit ký hiệu y_0, y_1, y_2, y_3, y_4 , và y_5 biểu diễn một ký hiệu của 64QAM.

Tức là, các bit mã của mb bit (trong trường hợp này, 6 bit) được đọc từ bộ nhớ 31 theo chiều hàng. Tuy nhiên, nếu bit thứ i ($i = 0, 1, \dots, \text{và } mb - 1$) từ bit quan trọng nhất, của các bit mã của mb bit được đọc từ bộ nhớ 31, được biểu diễn như là bit b_i , các bit mã của 6 bit mà được đọc từ bộ nhớ 31 theo chiều hàng có thể được biểu diễn như là các bit b_0, b_1, b_2, b_3, b_4 , và b_5 , tuân tự từ bit quan trọng nhất.

Liên quan đến các trọng số cột được mô tả trên các Fig.12 và Fig.13, bit mã theo chiều của bit b_0 trở thành bit mã mạnh đối với lõi và bit mã theo chiều của bit b_5 trở thành bit mã yếu đối với lõi.

Trong bộ hoán đổi 32, quy trình xử lý hoán đổi để hoán đổi các vị trí của các bit mã b_0 tới b_5 của 6 bit từ bộ nhớ 31, sao cho các bit mã yếu đối với lõi trong số các bit mã b_0 tới b_5 của 6 bit từ bộ nhớ 31 được cấp phát tới các bit mạnh trong số các bit ký hiệu y_0 tới y_5 của một ký hiệu của 64QAM, có thể được thực hiện.

Trong trường hợp này, như là các phương pháp hoán đổi để hoán đổi các bit mã b_0 tới b_5 của 6 bit từ bộ nhớ 31 và cấp phát các bit mã b_0 tới b_5 của 6 bit tới 6 bit ký hiệu y_0 tới y_5 biểu diễn một ký hiệu của 64QAM, các phương pháp khác nhau được đề xuất từ các công ty riêng biệt.

Phần B của Fig.22 minh họa phương pháp hoán đổi thứ nhất, phần C của Fig.22 minh họa phương pháp hoán đổi thứ hai, và phần D của Fig.22 minh họa phương pháp hoán đổi thứ ba.

Trên phần B của Fig.22 tới phần D của Fig.22 (và Fig.23 được mô tả sau

đây), đoạn thẳng nối các bit b_i và y_j nghĩa là bit mã b_i được cấp phát tới bit ký hiệu y_j của ký hiệu (được hoán đổi với vị trí của bit ký hiệu y_j).

Như là phương pháp hoán đổi thứ nhất của phần B của Fig.22, để áp dụng bất kỳ trong số ba loại của các phương pháp hoán đổi được đề xuất. Như là phương pháp hoán đổi thứ hai của phần C của Fig.22, để áp dụng bất kỳ trong số hai loại của các phương pháp hoán đổi được đề xuất.

Như là phương pháp hoán đổi thứ ba của phần D của Fig.22, để lựa chọn tuân tự sáu loại phương pháp hoán đổi và sử dụng phương pháp hoán đổi được đề xuất.

Fig.23 minh họa ví dụ cấu hình của bộ giải ghép kênh 25 trong trường hợp mà phương pháp điều biến là 64QAM hoặc loại tương tự trong đó việc ánh xạ được thực hiện trên bất kỳ 64 điểm tín hiệu (do đó, số bit m của các bit mã của mã LDPC được ánh xạ trên một ký hiệu là 6 bit cũng như Fig.22) và bội b là 2, và phương pháp hoán đổi thứ tư.

Khi bội b là 2, bộ nhớ 31 có dung lượng lưu trữ trong đó chiều cột \times chiều hàng là $N/(6 \times 2) \times (6 \times 2)$ bit và bao gồm 12 ($= 6 \times 2$) cột.

Phần A của Fig.23 minh họa chuỗi ghi mã LDPC tới bộ nhớ 31.

Trong bộ giải ghép kênh 25, như được mô tả trên Fig.22, việc ghi của các bit mã của mã LDPC theo chiều hướng xuống dưới (chiều cột) từ phía trên của các cột cấu thành bộ nhớ 31 được thực hiện hướng tới các cột có chiều hướng sang phải từ phía trái.

Nếu việc ghi của các bit mã kết thúc tại đáy của cột ngoài cùng bên phải, các bit mã được đọc theo đơn vị của 12 bit (mb bit) theo chiều hàng từ hàng thứ nhất của tất cả các cột cấu thành bộ nhớ 31 và được cấp tới bộ hoán đổi 32.

Bộ hoán đổi 32 thực hiện quy trình xử lý hoán đổi để hoán đổi các vị trí của các bit mã của 12 bit từ bộ nhớ 31 sử dụng phương pháp hoán đổi thứ tư và xuất ra 12 bit thu được như là kết quả khi 12 bit biểu diễn hai ký hiệu (b ký hiệu) của 64QAM, tức là, sáu bit ký hiệu y_0, y_1, y_2, y_3, y_4 , và y_5 biểu diễn một ký hiệu của 64QAM và sáu bit ký hiệu y_0, y_1, y_2, y_3, y_4 , và y_5 biểu diễn một ký hiệu tiếp theo.

Trong trường hợp này, B của Fig.23 minh họa phương pháp hoán đổi thứ tư về quy trình xử lý hoán đổi bởi bộ hoán đổi 32 của phần A của Fig.23.

Khi bội b là 2 (hoặc 3 hoặc nhiều hơn), trong quy trình xử lý hoán đổi,

các bit mã của mb bit được cấp phát tới các bit ký hiệu của mb bit của b ký hiệu liên tiếp. Trong phần giải thích sau đây bao gồm giải thích của Fig.23, bit thứ ($i + 1$) từ bit quan trọng nhất của các bit ký hiệu của mb bit của b ký hiệu liên tiếp được biểu diễn như là bit (bit ký hiệu) y_i , nhằm thuận tiện cho việc giải thích.

Loại của các bit mã là thích hợp để được hoán đổi, tức là, việc cải thiện tỷ lệ lỗi trong đường truyền thông AWGN là khác nhau theo tỷ lệ mã hóa hoặc độ dài mã của mã LDPC và phương pháp điều biến.

Ghép xen chǎn lẻ

Tiếp theo, việc ghép xen chǎn lẻ bởi bộ ghép xen chǎn lẻ 23 của Fig.9 sẽ được mô tả có vien dẫn tới các Fig.24 tới Fig.26.

Fig.24 minh họa (một phần của) biểu đồ Tanner của ma trận kiểm tra chǎn lẻ của mã LDPC.

Như được minh họa trên Fig.24, nếu nhiều, ví dụ, hai nút biến thiên trong số (các bit mã tương ứng với) các nút biến thiên được kết nối tới nút kiểm tra cùng lúc trở thành lỗi như vết xóa, nút kiểm tra trả lại tin nhắn trong đó xác suất của giá trị là 0 và xác suất của giá trị là 1 là bằng nhau, tới tất cả các nút biến thiên được kết nối tới nút kiểm tra. Vì lý do này, nếu các nút biến thiên được kết nối tới cùng nút kiểm tra cùng lúc trở thành vết xóa, hiệu quả giải mã bị suy giảm.

Trong khi đó, mã LDPC mà được xuất ra bởi bộ mã hóa LDPC 115 của Fig.8 và được định nghĩa theo tiêu chuẩn của DVB-S.2 hoặc loại tương tự là mã IRA và ma trận chǎn lẻ H_T của ma trận kiểm tra chǎn lẻ H trở thành cấu hình bậc thang, như được minh họa trên Fig.11.

Fig.25 minh họa ma trận chǎn lẻ H_T trở thành cấu hình bậc thang và biểu đồ Tanner tương ứng với ma trận chǎn lẻ H_T .

Tức là, phần A của Fig.25 minh họa ma trận chǎn lẻ H_T trở thành cấu hình bậc thang và phần B của Fig.25 minh họa biểu đồ Tanner tương ứng với ma trận chǎn lẻ H_T của phần A của Fig.25.

Trong ma trận chǎn lẻ H_T với cấu hình bậc thang, các phần tử 1 là lân cận trong mỗi hàng (ngoại trừ hàng thứ nhất). Do đó, trong biểu đồ Tanner của ma trận chǎn lẻ H_T , hai nút biến thiên lân cận tương ứng với cột của hai phần tử lân cận trong đó giá trị của ma trận chǎn lẻ H_T là 1 được kết nối với cùng nút kiểm tra.

Do đó, khi các bit chǎn lẻ tương ứng với hai nút biến thiên lân cận nêu

trên trở thành lỗi tại cùng thời điểm bởi lỗi cụm và vết xóa, và v.v, nút kiểm tra được kết nối với hai nút biến thiên (các nút biến thiên để tìm kiếm tin nhắn bằng cách sử dụng các bit chẵn lẻ) tương ứng với hai bit chẵn lẻ mà trở thành lỗi trả lại tin nhắn mà xác suất với giá trị là 0 và xác suất với giá trị là 1 là xác suất cân bằng, tới các nút biến thiên được kết nối với nút kiểm tra, và do đó hiệu quả của việc mã hóa bị suy giảm. Ngoài ra, khi độ dài cụm (số bit của các bit chẵn lẻ mà liên tục trở thành lỗi) trở thành lớn, số lượng nút kiểm tra mà trả lại tin nhắn có xác suất cân bằng tăng lên và hiệu quả của việc mã hóa bị suy giảm nhiều hơn.

Do đó, bộ ghép xen chẵn lẻ 23 (Fig.9) thực hiện việc ghép xen chẵn lẻ để ghép xen các bit chẵn lẻ của mã LDPC từ bộ mã hóa LDPC 115 vào các vị trí của các bit chẵn lẻ khác, để ngăn ngừa hiệu quả mã hóa bị suy giảm.

Fig.26 minh họa ma trận chẵn lẻ H_T của ma trận kiểm tra chẵn lẻ H tương ứng với mã LDPC sau khi việc ghép xen chẵn lẻ được thực hiện bởi bộ ghép xen chẵn lẻ 23 của Fig.9.

Trong trường hợp này, ma trận thông tin H_A của ma trận kiểm tra chẵn lẻ H tương ứng với mã LDPC mà được xuất ra bởi bộ mã hóa LDPC 115 và được định nghĩa theo tiêu chuẩn của DVB-S.2 hoặc loại tương tự trở thành cấu hình vòng.

Cấu hình vòng nghĩa là cấu hình trong đó cột bất kỳ được khớp với cột thu được bằng cách dịch vòng cột khác. Ví dụ, cấu hình vòng bao gồm cấu hình trong đó vị trí của 1 của mỗi hàng của P cột trở thành vị trí thu được bằng cách dịch vòng cột thứ nhất của P cột theo chiều cột bởi giá trị tỷ lệ với giá trị q thu được bằng cách chia độ dài chẵn lẻ M, đối với mọi P cột. Sau đây, P cột trong cấu hình vòng được gọi là số cột của đơn vị của cấu hình vòng.

Đối với mã LDPC được định nghĩa theo tiêu chuẩn như DVB-S.2, như được mô tả trên Fig.12 và Fig.13, có hai loại mã LDPC mà độ dài mã N của nó là 64800 bit và 16200 bit, và, đối với cả hai loại mã LDPC, số cột P mà là đơn vị của cấu hình vòng được xác định là 360 mà là một trong các số chia ngoại trừ 1 và M trong số các số chia của độ dài chẵn lẻ M.

Độ dài chẵn lẻ M trở thành giá trị ngoài giá trị gốc được biểu diễn bởi biểu thức $M = q \times P = q \times 360$, sử dụng giá trị q khác nhau theo tỷ lệ mã hóa. Do đó, tương tự số cột P của đơn vị của cấu hình vòng, giá trị q là giá trị khác 1 và M trong số các số chia của độ dài chẵn lẻ M và thu được bằng cách chia độ dài chẵn lẻ M bởi số cột P của đơn vị của cấu hình vòng (tích của P và q là các số

chia của độ dài chẵn lẻ M trở thành độ dài chẵn lẻ M).

Như được mô tả nêu trên, khi độ dài thông tin được giả thiết là K, số nguyên bằng hoặc lớn hơn 0 và nhỏ hơn P được giả thiết là x và số nguyên bằng hoặc lớn hơn 0 và nhỏ hơn q được giả thiết là y, bộ ghép xen chẵn lẻ 23 ghép xen bit mã thứ $K+qx+y+1$ trong số các bit mã của mã LDPC của N bit vào vị trí của bit mã thứ $K+Py+x+1$ như là ghép xen chẵn lẻ.

Do cả bit mã thứ $K+qx+y+1$ và bit mã thứ $K+Py+x+1$ là các bit mã phía sau bit mã thứ $K+1$, chúng là các bit chẵn lẻ, và do đó các vị trí của các bit chẵn lẻ của mã LDPC được di chuyển theo việc ghép xen chẵn lẻ.

Theo việc ghép xen chẵn lẻ, (các bit chẵn lẻ tương ứng với) các nút biến thiên được kết nối tới cùng nút kiểm tra được tách biệt bởi số cột P của đơn vị của cấu hình vòng, tức là, 360 bit trong trường hợp này. Vì lý do này, khi độ dài cụm là nhỏ hơn 360 bit, các nút biến thiên được kết nối tới cùng nút kiểm tra có thể ngăn ngừa việc đồng thời trở thành lỗi. Kết quả là, khả năng chịu lỗi cụm có thể được cải thiện.

Mã LDPC sau khi ghép xen để ghép xen bit mã thứ $(K + qx + y + 1)$ vào vị trí của bit mã thứ $(K + Py + x + 1)$ được khớp với mã LDPC của ma trận kiểm tra chẵn lẻ (sau đây, được gọi là ma trận kiểm tra chẵn lẻ được biến đổi) thu được bằng cách thực hiện thay thế cột để thay thế cột thứ $(K + qx + y + 1)$ của ma trận kiểm tra chẵn lẻ gốc H bằng cột thứ $(K + Py + x + 1)$.

Trong ma trận chẵn lẻ của ma trận kiểm tra chẵn lẻ được biến đổi, như được minh họa trên Fig.26, cấu hình vòng giả mà sử dụng P cột (trên Fig.26, 360 cột) như là đơn vị xuất hiện.

Trong trường hợp này, cấu hình vòng giả nghĩa là cấu hình trong đó cấu hình vòng được tạo thành ngoại trừ một phần của nó. Ma trận kiểm tra chẵn lẻ được biến đổi mà thu được bằng cách thực hiện việc thay thế cột tương ứng với việc ghép xen chẵn lẻ đối với ma trận kiểm tra chẵn lẻ của mã LDPC được định nghĩa theo tiêu chuẩn của DVB-S.2 hoặc loại tương tự trở thành cấu hình vòng giả, không phải cấu hình vòng (hoàn hảo), do số lượng phần tử 1 nhỏ hơn 1 (các phần tử 0 tồn tại) trong phần (ma trận được dịch chuyển được mô tả sau đây) của 360 hàng \times 360 cột của phần góc phải của nó.

Ma trận kiểm tra chẵn lẻ được biến đổi của Fig.26 trở thành ma trận mà thu được bằng cách thực hiện việc thay thế cột tương ứng với việc ghép xen chẵn lẻ và việc thay thế (thay thế hàng) của hàng để cấu hình ma trận kiểm tra

chắn lẻ được biến đổi với ma trận liên tục được mô tả sau đây, đối với ma trận kiểm tra chắn lẻ gốc H.

Ghép xen xoắn cột

Tiếp theo, việc ghép xen xoắn cột tương ứng với quy trình xử lý sắp xếp lại bởi bộ ghép xen xoắn cột 24 của Fig.9 sẽ được mô tả có viền dẫn tới các Fig.27 tới Fig.30.

Trong thiết bị truyền 11 của Fig.8, một hoặc nhiều bit của các bit mã của mã LDPC được truyền như là một ký hiệu. Tức là, khi hai bit của các bit mã được thiết lập như là một ký hiệu, QPSK được sử dụng như là phương pháp điều biến và khi bốn bit của các bit mã được thiết lập như là một ký hiệu, APSK hoặc 16QAM được sử dụng như là phương pháp điều biến.

Như vậy, khi hai bit hoặc nhiều hơn của các bit mã được truyền như là một ký hiệu, nếu vết xóa được tạo ra trong ký hiệu bất kỳ, tất cả các bit mã của ký hiệu trở thành lỗi (vết xóa).

Do đó, cần thiết ngăn ngừa các nút biến thiên tương ứng với các bit mã của một ký hiệu được kết nối tới cùng nút kiểm tra, để làm giảm xác suất của (các bit mã tương ứng với) các nút biến thiên được kết nối tới cùng nút kiểm tra cùng lúc trở thành vết xóa để cải thiện hiệu quả giải mã.

Trong khi đó, như được mô tả nêu trên, trong ma trận kiểm tra chắn lẻ H của mã LDPC mà được xuất ra bởi bộ mã hóa LDPC 115 và được định nghĩa theo tiêu chuẩn của DVB-S.2 hoặc loại tương tự, ma trận thông tin H_A có cấu hình vòng và ma trận chắn lẻ H_T có cấu hình bậc thang. Như được mô tả trên Fig.26, trong ma trận kiểm tra chắn lẻ được biến đổi là ma trận kiểm tra chắn lẻ của mã LDPC sau khi ghép xen chắn lẻ, cấu hình vòng (thực tế, cấu hình vòng giả như được mô tả nêu trên) xuất hiện trong ma trận chắn lẻ.

Fig.27 minh họa ma trận kiểm tra chắn lẻ được biến đổi.

Tức là, A của Fig.27 minh họa ma trận kiểm tra chắn lẻ được biến đổi của ma trận kiểm tra chắn lẻ H của mã LDPC trong đó độ dài mã N là 64800 bit và tỷ lệ mã hóa (r) là $3/4$.

Trên phần A của Fig.27, trong ma trận kiểm tra chắn lẻ được biến đổi, vị trí của phần tử mà giá trị của nó trở thành 1 được thể hiện bởi dấu chấm (·).

Phần B của Fig.27 minh họa quy trình xử lý được thực hiện bởi bộ giải ghép kênh 25 (Fig.9), đối với mã LDPC của ma trận kiểm tra chắn lẻ được biến đổi của phần A của Fig.27, tức là, mã LDPC sau khi ghép xen chắn lẻ.

Trên phần B của Fig.27, với giả thiết rằng phương pháp điều biến là phương pháp trong đó ký hiệu được ánh xạ trên bát kỳ 16 điểm tín hiệu như 16APSK và 16QAM, các bit mã của mã LDPC sau khi ghép xen chăn lẻ được ghi trong bốn cột tạo thành bộ nhớ 31 của bộ giải ghép kênh 25 theo chiều cột.

Các bit mã mà được ghi theo chiều cột trong bốn cột cấu thành bộ nhớ 31 được đọc theo đơn vị của bốn bit theo chiều hàng và trở thành một ký hiệu.

Trong trường hợp này, các bit mã B_0 , B_1 , B_2 , và B_3 của bốn bit mà trở thành một ký hiệu có thể trở thành các bit mã tương ứng với 1 trong hàng bất kỳ của ma trận kiểm tra chăn lẻ được biến đổi của phần A của Fig.27. Trong trường hợp này, các nút biến thiên mà tương ứng với các bit mã B_0 , B_1 , B_2 , và B_3 được kết nối tới cùng nút kiểm tra.

Do đó, khi các bit mã B_0 , B_1 , B_2 , và B_3 của bốn bit của một ký hiệu trở thành các bit mã tương ứng với 1 trong hàng bất kỳ của ma trận kiểm tra chăn lẻ được biến đổi, nếu vết xóa được tạo ra trong ký hiệu, tin nhắn thích hợp có thể không được tính toán trong cùng nút kiểm tra mà các nút biến thiên tương ứng với các bit mã B_0 , B_1 , B_2 , và B_3 được kết nối tới. Kết quả là, hiệu quả giải mã bị suy giảm.

Đối với các tỷ lệ mã hóa ngoài $3/4$, các bit mã tương ứng với các nút biến thiên được kết nối tới cùng nút kiểm tra có thể trở thành một ký hiệu của APSK hoặc 16QAM, tương tự trường hợp nêu trên.

Do đó, bộ ghép xen xoắn cột 24 thực hiện việc ghép xen xoắn cột để ghép xen các bit mã của mã LDPC sau khi ghép xen chăn lẻ từ bộ ghép xen chăn lẻ 23, sao cho các bit mã tương ứng với 1 trong hàng bất kỳ của ma trận kiểm tra chăn lẻ được biến đổi không được bao gồm trong một ký hiệu.

Fig.28 là hình vẽ minh họa về việc ghép xen xoắn cột.

Tức là, Fig.28 minh họa bộ nhớ 31 (các Fig.22 và Fig.23) của bộ giải ghép kênh 25.

Như được mô tả trên Fig.22, bộ nhớ 31 có dung lượng lưu trữ để lưu trữ mb bit theo chiều cột (dọc) và lưu trữ $N/(mb)$ bit theo chiều hàng (ngang) và bao gồm mb cột. Bộ ghép xen xoắn cột 24 ghi các bit mã của mã LDPC theo chiều cột đối với bộ nhớ 31, điều khiển vị trí bắt đầu ghi khi các bit mã được đọc theo chiều hàng, và thực hiện việc ghép xen xoắn cột.

Tức là, trong bộ ghép xen xoắn cột 24, vị trí bắt đầu ghi để bắt đầu việc ghi của các bit mã được thay đổi thích hợp đối với mỗi cột, sao cho các bit mã

được đọc theo chiều hàng và trở thành một ký hiệu không trở thành các bit mã tương ứng với 1 trong hàng bất kỳ của ma trận kiểm tra chẵn lẻ được biến đổi (các bit mã của mã LDPC được sắp xếp lại sao cho các bit mã tương ứng với 1 trong hàng bất kỳ của ma trận kiểm tra chẵn lẻ không được chứa trong cùng ký hiệu).

Trong trường hợp này, Fig.28 minh họa ví dụ cấu hình của bộ nhớ 31 khi phương pháp điều biến là 16 APSK hoặc 16QAM và bộ b được mô tả trên Fig.22 là 1. Do đó, số bit m của các bit mã của mã LDPC trở thành một ký hiệu là 4 bit và bộ nhớ 31 bao gồm 4 (= mb) cột.

Bộ ghép xen xoắn cột 24 thực hiện việc ghi của các bit mã của mã LDPC (thay vì bộ giải ghép kênh 25 của Fig.22) theo chiều hướng xuống dưới (chiều cột) từ phía trên của bốn cột cấu thành bộ nhớ 31, hướng tới các cột của chiều hướng sang phải từ phía trái.

Nếu việc ghi của các bit mã kết thúc tại cột ngoài cùng phía phải, bộ ghép xen xoắn cột 24 đọc các bit mã theo đơn vị của bốn bit (mb bit) theo chiều hàng từ hàng thứ nhất của tất cả các cột cấu thành bộ nhớ 31 và xuất ra các bit mã như là mã LDPC sau khi giải ghép xen xoắn cột tới bộ hoán đổi 32 (các Fig.22 và 23) của bộ giải ghép kênh 25.

Tuy nhiên, trong bộ ghép xen xoắn cột 24, nếu địa chỉ của vị trí của đầu (đỉnh) của mỗi cột được thiết lập là 0 và địa chỉ của mỗi vị trí của chiều cột được biểu diễn bởi số nguyên tăng dần, vị trí bắt đầu ghi được thiết lập thành vị trí mà địa chỉ của nó là 0, đối với cột ngoài cùng phía trái. Vị trí bắt đầu ghi được thiết lập thành vị trí mà địa chỉ của nó là 2, đối với cột thứ hai (từ phía trái). Vị trí bắt đầu ghi được thiết lập thành vị trí mà địa chỉ của nó là 4, đối với cột thứ ba. Vị trí bắt đầu ghi được thiết lập thành vị trí mà địa chỉ của nó là 7, đối với cột thứ tư.

Đối với các cột trong đó các vị trí bắt đầu ghi là các vị trí ngoài vị trí mà địa chỉ của nó là 0, sau khi các bit mã được ghi tới vị trí dưới cùng, vị trí này quay lại phần đầu (vị trí mà địa chỉ của nó là 0) và việc ghi được thực hiện tới vị trí ngay trước vị trí bắt đầu ghi. Sau đó, việc ghi đối với cột tiếp theo (bên phải) được thực hiện.

Bằng cách thực hiện việc ghép xen xoắn cột được mô tả nêu trên, đối với các mã LDPC mà được định nghĩa theo tiêu chuẩn của DVB-T.2 hoặc loại tương tự, các bit mã tương ứng với các nút biến thiên được kết nối tới cùng nút kiểm

tra có thể được ngăn ngừa trở thành một ký hiệu của APSK hoặc 16QAM (được chứa trong cùng ký hiệu). Kết quả là, hiệu quả giải mã trong đường truyền thông trong đó vết xóa tồn tại có thể được cải thiện.

Fig.29 minh họa số cột của bộ nhớ 31 cần thiết cho việc ghép xen xoắn cột và địa chỉ của vị trí bắt đầu ghi đối với mỗi phương pháp điều biến, đối với các mã LDPC có 11 tỷ lệ mã hóa được định nghĩa theo tiêu chuẩn của DVB-T.2 và có độ dài mã N là 64800.

Khi bộ b là 1, QPSK được áp dụng như là phương pháp điều biến, và số bit m của một ký hiệu là 2 bit, theo Fig.29, bộ nhớ 31 có hai cột để lưu trữ 2×1 ($= mb$) bit theo chiều hàng và lưu trữ $64800/(2 \times 1)$ bit theo chiều cột.

Vị trí bắt đầu ghi của cột thứ nhất trong số hai cột của bộ nhớ 31 trở thành vị trí mà địa chỉ của nó là 0 và vị trí bắt đầu ghi của cột thứ hai trở thành vị trí mà địa chỉ của nó là 2.

Ví dụ, khi bất kỳ trong số phương pháp hoán đổi thứ nhất đến thứ ba của Fig.22 được áp dụng như là phương pháp hoán đổi về quy trình xử lý hoán đổi của bộ giải ghép kênh 25 (Fig.9), bộ b trở thành 1.

Khi bộ b là 2, QPSK được áp dụng như là phương pháp điều biến, và số bit m của một ký hiệu là 2 bit, theo Fig.29, bộ nhớ 31 có bốn cột để lưu trữ 2×2 bit theo chiều hàng và lưu trữ $64800/(2 \times 2)$ bit theo chiều cột.

Vị trí bắt đầu ghi của cột thứ nhất trong số bốn cột của bộ nhớ 31 trở thành vị trí mà địa chỉ của nó là 0, vị trí bắt đầu ghi của cột thứ hai trở thành vị trí mà địa chỉ của nó là 2, vị trí bắt đầu ghi của cột thứ ba trở thành vị trí mà địa chỉ của nó là 4, và vị trí bắt đầu ghi của cột thứ tư trở thành vị trí mà địa chỉ của nó là 7.

Ví dụ, khi phương pháp hoán đổi thứ tư của Fig.23 được áp dụng như là phương pháp hoán đổi về quy trình xử lý hoán đổi của bộ giải ghép kênh 25 (Fig.9), bộ b trở thành 2.

Khi bộ b là 1, 16QAM được áp dụng như là phương pháp điều biến, và số bit m của một ký hiệu là 4 bit, theo Fig.29, bộ nhớ 31 có bốn cột để lưu trữ 4×1 bit theo chiều hàng và lưu trữ $64800/(4 \times 1)$ bit theo chiều cột.

Vị trí bắt đầu ghi của cột thứ nhất trong số bốn cột của bộ nhớ 31 trở thành vị trí mà địa chỉ của nó là 0, vị trí bắt đầu ghi của cột thứ hai trở thành vị trí mà địa chỉ của nó là 2, vị trí bắt đầu ghi của cột thứ ba trở thành vị trí mà địa chỉ của nó là 4, và vị trí bắt đầu ghi của cột thứ tư trở thành vị trí mà địa chỉ của

nó là 7.

Khi bộ b là 2, 16QAM được áp dụng như là phương pháp điều biến, và số bit m của một ký hiệu là 4 bit, theo Fig.29, bộ nhớ 31 có tám cột để lưu trữ 4×2 bit theo chiều hàng và lưu trữ $64800/(4 \times 2)$ bit theo chiều cột.

Vị trí bắt đầu ghi của cột thứ nhất của tám cột của bộ nhớ 31 trở thành vị trí mà địa chỉ của nó là 0, vị trí bắt đầu ghi của cột thứ hai trở thành vị trí mà địa chỉ của nó là 0, vị trí bắt đầu ghi của cột thứ ba trở thành vị trí mà địa chỉ của nó là 2, vị trí bắt đầu ghi của cột thứ tư trở thành vị trí mà địa chỉ của nó là 4, vị trí bắt đầu ghi của cột thứ năm trở thành vị trí mà địa chỉ của nó là 4, vị trí bắt đầu ghi của cột thứ sáu trở thành vị trí mà địa chỉ của nó là 5, vị trí bắt đầu ghi của cột thứ bảy trở thành vị trí mà địa chỉ của nó là 7, và vị trí bắt đầu ghi của cột thứ tám trở thành vị trí mà địa chỉ của nó là 7.

Khi bộ b là 1, 64QAM được áp dụng như là phương pháp điều biến, và số bit m của một ký hiệu là 6 bit, theo Fig.29, bộ nhớ 31 có sáu cột để lưu trữ 6×1 bit theo chiều hàng và lưu trữ $64800/(6 \times 1)$ bit theo chiều cột.

Vị trí bắt đầu ghi của cột thứ nhất của sáu cột của bộ nhớ 31 trở thành vị trí mà địa chỉ của nó là 0, vị trí bắt đầu ghi của cột thứ hai trở thành vị trí mà địa chỉ của nó là 2, vị trí bắt đầu ghi của cột thứ ba trở thành vị trí mà địa chỉ của nó là 5, vị trí bắt đầu ghi của cột thứ tư trở thành vị trí mà địa chỉ của nó là 9, vị trí bắt đầu ghi của cột thứ năm trở thành vị trí mà địa chỉ của nó là 10, và vị trí bắt đầu ghi của cột thứ sáu trở thành vị trí mà địa chỉ của nó là 13.

Khi bộ b là 2, 64QAM được áp dụng như là phương pháp điều biến, và số bit m của một ký hiệu là 6 bit, theo Fig.29, bộ nhớ 31 có mười hai cột để lưu trữ 6×2 bit theo chiều hàng và lưu trữ $64800/(6 \times 2)$ bit theo chiều cột.

Vị trí bắt đầu ghi của cột thứ nhất của mươi hai cột của bộ nhớ 31 trở thành vị trí mà địa chỉ của nó là 0, vị trí bắt đầu ghi của cột thứ hai trở thành vị trí mà địa chỉ của nó là 0, vị trí bắt đầu ghi của cột thứ ba trở thành vị trí mà địa chỉ của nó là 2, vị trí bắt đầu ghi của cột thứ tư trở thành vị trí mà địa chỉ của nó là 3, vị trí bắt đầu ghi của cột thứ năm trở thành vị trí mà địa chỉ của nó là 4, vị trí bắt đầu ghi của cột thứ sáu trở thành vị trí mà địa chỉ của nó là 4, vị trí bắt đầu ghi của cột thứ bảy trở thành vị trí mà địa chỉ của nó là 5, vị trí bắt đầu ghi của cột thứ tám trở thành vị trí mà địa chỉ của nó là 5, vị trí bắt đầu ghi của cột thứ chín trở thành vị trí mà địa chỉ của nó là 5, vị trí bắt đầu ghi của cột thứ mười trở thành vị trí mà địa chỉ của nó là 7, vị trí bắt đầu ghi của cột thứ mười một trở

thành vị trí mà địa chỉ của nó là 8, và vị trí bắt đầu ghi của cột thứ mười hai trở thành vị trí mà địa chỉ của nó là 9.

Khi bội b là 1, 256QAM được áp dụng như là phương pháp điều biến, và số bit m của một ký hiệu là 8 bit, theo Fig.29, bộ nhớ 31 có tám cột để lưu trữ 8×1 bit theo chiều hàng và lưu trữ $64800/(8 \times 2)$ bit theo chiều cột.

Vị trí bắt đầu ghi của cột thứ nhất của tám cột của bộ nhớ 31 trở thành vị trí mà địa chỉ của nó là 0, vị trí bắt đầu ghi của cột thứ hai trở thành vị trí mà địa chỉ của nó là 0, vị trí bắt đầu ghi của cột thứ ba trở thành vị trí mà địa chỉ của nó là 2, vị trí bắt đầu ghi của cột thứ tư trở thành vị trí mà địa chỉ của nó là 4, vị trí bắt đầu ghi của cột thứ năm trở thành vị trí mà địa chỉ của nó là 4, vị trí bắt đầu ghi của cột thứ sáu trở thành vị trí mà địa chỉ của nó là 5, vị trí bắt đầu ghi của cột thứ bảy trở thành vị trí mà địa chỉ của nó là 7, và vị trí bắt đầu ghi của cột thứ tám trở thành vị trí mà địa chỉ của nó là 7.

Khi bội b là 2, 256QAM được áp dụng như là phương pháp điều biến, và số bit m của một ký hiệu là 8 bit, theo Fig.29, bộ nhớ 31 có mươi sáu cột để lưu trữ 8×2 bit theo chiều hàng và lưu trữ $64800/(8 \times 2)$ bit theo chiều cột.

Vị trí bắt đầu ghi của cột thứ nhất của mươi sáu cột của bộ nhớ 31 trở thành vị trí mà địa chỉ của nó là 0, vị trí bắt đầu ghi của cột thứ hai trở thành vị trí mà địa chỉ của nó là 2, vị trí bắt đầu ghi của cột thứ ba trở thành vị trí mà địa chỉ của nó là 2, vị trí bắt đầu ghi của cột thứ tư trở thành vị trí mà địa chỉ của nó là 2, vị trí bắt đầu ghi của cột thứ năm trở thành vị trí mà địa chỉ của nó là 2, vị trí bắt đầu ghi của cột thứ sáu trở thành vị trí mà địa chỉ của nó là 3, vị trí bắt đầu ghi của cột thứ bảy trở thành vị trí mà địa chỉ của nó là 7, vị trí bắt đầu ghi của cột thứ tám trở thành vị trí mà địa chỉ của nó là 15, vị trí bắt đầu ghi của cột thứ chín trở thành vị trí mà địa chỉ của nó là 16 vị trí bắt đầu ghi của cột thứ mươi trở thành vị trí mà địa chỉ của nó là 20, vị trí bắt đầu ghi của cột thứ mươi một trở thành vị trí mà địa chỉ của nó là 22, vị trí bắt đầu ghi của cột thứ mươi hai trở thành vị trí mà địa chỉ của nó là 22, vị trí bắt đầu ghi của cột thứ mươi ba trở thành vị trí mà địa chỉ của nó là 27, vị trí bắt đầu ghi của cột thứ mươi bốn trở thành vị trí mà địa chỉ của nó là 27, vị trí bắt đầu ghi của cột thứ mươi lăm trở thành vị trí mà địa chỉ của nó là 28, và vị trí bắt đầu ghi của cột thứ mươi sáu trở thành vị trí mà địa chỉ của nó là 32.

Khi bội b là 1, 1024QAM được áp dụng như là phương pháp điều biến, và số bit m của một ký hiệu là 10 bit, theo Fig.29, bộ nhớ 31 có mươi cột để lưu

trữ 10×1 bit theo chiều hàng và lưu trữ $64800/(10 \times 1)$ bit theo chiều cột.

Vị trí bắt đầu ghi của cột thứ nhất của mươi cột của bộ nhớ 31 trở thành vị trí mà địa chỉ của nó là 0, vị trí bắt đầu ghi của cột thứ hai trở thành vị trí mà địa chỉ của nó là 3, vị trí bắt đầu ghi của cột thứ ba trở thành vị trí mà địa chỉ của nó là 6, vị trí bắt đầu ghi của cột thứ tư trở thành vị trí mà địa chỉ của nó là 8, vị trí bắt đầu ghi của cột thứ năm trở thành vị trí mà địa chỉ của nó là 11, vị trí bắt đầu ghi của cột thứ sáu trở thành vị trí mà địa chỉ của nó là 13, vị trí bắt đầu ghi của cột thứ bảy trở thành vị trí mà địa chỉ của nó là 15, vị trí bắt đầu ghi của cột thứ tám trở thành vị trí mà địa chỉ của nó là 17, vị trí bắt đầu ghi của cột thứ chín trở thành vị trí mà địa chỉ của nó là 18 và vị trí bắt đầu ghi của cột thứ mươi trở thành vị trí mà địa chỉ của nó là 20.

Khi bộ b là 2, 1024QAM được áp dụng như là phương pháp điều biến, và số bit m của một ký hiệu là 10 bit, theo Fig.29, bộ nhớ 31 có hai mươi cột để lưu trữ 10×2 bit theo chiều hàng và lưu trữ $64800/(10 \times 2)$ bit theo chiều cột.

Vị trí bắt đầu ghi của cột thứ nhất của hai mươi cột của bộ nhớ 31 trở thành vị trí mà địa chỉ của nó là 0, vị trí bắt đầu ghi của cột thứ hai trở thành vị trí mà địa chỉ của nó là 1, vị trí bắt đầu ghi của cột thứ ba trở thành vị trí mà địa chỉ của nó là 3, vị trí bắt đầu ghi của cột thứ tư trở thành vị trí mà địa chỉ của nó là 4, vị trí bắt đầu ghi của cột thứ năm trở thành vị trí mà địa chỉ của nó là 5, vị trí bắt đầu ghi của cột thứ sáu trở thành vị trí mà địa chỉ của nó là 6, vị trí bắt đầu ghi của cột thứ bảy trở thành vị trí mà địa chỉ của nó là 6, vị trí bắt đầu ghi của cột thứ tám trở thành vị trí mà địa chỉ của nó là 9, vị trí bắt đầu ghi của cột thứ chín trở thành vị trí mà địa chỉ của nó là 13, vị trí bắt đầu ghi của cột thứ mươi trở thành vị trí mà địa chỉ của nó là 14, vị trí bắt đầu ghi của cột thứ mươi một trở thành vị trí mà địa chỉ của nó là 14, vị trí bắt đầu ghi của cột thứ mươi hai trở thành vị trí mà địa chỉ của nó là 16, vị trí bắt đầu ghi của cột thứ mươi ba trở thành vị trí mà địa chỉ của nó là 21, vị trí bắt đầu ghi của cột thứ mươi bốn trở thành vị trí mà địa chỉ của nó là 21, vị trí bắt đầu ghi của cột thứ mươi lăm trở thành vị trí mà địa chỉ của nó là 23, vị trí bắt đầu ghi của cột thứ mươi sáu trở thành vị trí mà địa chỉ của nó là 25, vị trí bắt đầu ghi của cột thứ mươi bảy trở thành vị trí mà địa chỉ của nó là 25, vị trí bắt đầu ghi của cột thứ mươi tám trở thành vị trí mà địa chỉ của nó là 26, vị trí bắt đầu ghi của cột thứ mươi chín trở thành vị trí mà địa chỉ của nó là 28, và vị trí bắt đầu ghi của cột thứ hai mươi trở thành vị trí mà địa chỉ của nó là 30.

Khi bội b là 1, 4096QAM được áp dụng như là phương pháp điều biến, và số bit m của một ký hiệu là 12 bit, theo Fig.29, bộ nhớ 31 có mười hai cột để lưu trữ 12×1 bit theo chiều hàng và lưu trữ $64800/(12 \times 1)$ bit theo chiều cột.

Vị trí bắt đầu ghi của cột thứ nhất của mười hai cột của bộ nhớ 31 trở thành vị trí mà địa chỉ của nó là 0, vị trí bắt đầu ghi của cột thứ hai trở thành vị trí mà địa chỉ của nó là 0, vị trí bắt đầu ghi của cột thứ ba trở thành vị trí mà địa chỉ của nó là 2, vị trí bắt đầu ghi của cột thứ tư trở thành vị trí mà địa chỉ của nó là 2, vị trí bắt đầu ghi của cột thứ năm trở thành vị trí mà địa chỉ của nó là 3, vị trí bắt đầu ghi của cột thứ sáu trở thành vị trí mà địa chỉ của nó là 4, vị trí bắt đầu ghi của cột thứ bảy trở thành vị trí mà địa chỉ của nó là 4, vị trí bắt đầu ghi của cột thứ tám trở thành vị trí mà địa chỉ của nó là 5, vị trí bắt đầu ghi của cột thứ chín trở thành vị trí mà địa chỉ của nó là 5, vị trí bắt đầu ghi của cột thứ mười trở thành vị trí mà địa chỉ của nó là 7, vị trí bắt đầu ghi của cột thứ mười một trở thành vị trí mà địa chỉ của nó là 8, và vị trí bắt đầu ghi của cột thứ mười hai trở thành vị trí mà địa chỉ của nó là 9.

Khi bội b là 2, 4096QAM được áp dụng như là phương pháp điều biến, và số bit m của một ký hiệu là 12 bit, theo Fig.29, bộ nhớ 31 có hai mươi tư cột để lưu trữ 12×2 bit theo chiều hàng và lưu trữ $64800/(12 \times 2)$ bit theo chiều cột.

Vị trí bắt đầu ghi của cột thứ nhất của hai mươi tư cột của bộ nhớ 31 trở thành vị trí mà địa chỉ của nó là 0, vị trí bắt đầu ghi của cột thứ hai trở thành vị trí mà địa chỉ của nó là 5, vị trí bắt đầu ghi của cột thứ ba trở thành vị trí mà địa chỉ của nó là 8, vị trí bắt đầu ghi của cột thứ tư trở thành vị trí mà địa chỉ của nó là 8, vị trí bắt đầu ghi của cột thứ sáu trở thành vị trí mà địa chỉ của nó là 8, vị trí bắt đầu ghi của cột thứ bảy trở thành vị trí mà địa chỉ của nó là 10, vị trí bắt đầu ghi của cột thứ tám trở thành vị trí mà địa chỉ của nó là 10, vị trí bắt đầu ghi của cột thứ chín trở thành vị trí mà địa chỉ của nó là 10, vị trí bắt đầu ghi của cột thứ mười trở thành vị trí mà địa chỉ của nó là 12, vị trí bắt đầu ghi của cột thứ mười một trở thành vị trí mà địa chỉ của nó là 13, vị trí bắt đầu ghi của cột thứ mười hai trở thành vị trí mà địa chỉ của nó là 16, vị trí bắt đầu ghi của cột thứ mười ba trở thành vị trí mà địa chỉ của nó là 17, vị trí bắt đầu ghi của cột thứ mười bốn trở thành vị trí mà địa chỉ của nó là 19, vị trí bắt đầu ghi của cột thứ mười lăm trở thành vị trí mà địa chỉ của nó là 21, vị trí bắt đầu ghi của cột thứ mười sáu trở thành vị trí mà địa chỉ của nó là 22, vị trí bắt đầu ghi của cột thứ mười bảy

trở thành vị trí mà địa chỉ của nó là 23, vị trí bắt đầu ghi của cột thứ mươi tám trở thành vị trí mà địa chỉ của nó là 26, vị trí bắt đầu ghi của cột thứ mươi chín trở thành vị trí mà địa chỉ của nó là 37, vị trí bắt đầu ghi của cột thứ hai mươi trở thành vị trí mà địa chỉ của nó là 39, vị trí bắt đầu ghi của cột thứ hai mốt trở thành vị trí mà địa chỉ của nó là 40, vị trí bắt đầu ghi của cột thứ hai hai trở thành vị trí mà địa chỉ của nó là 41, vị trí bắt đầu ghi của cột thứ hai ba trở thành vị trí mà địa chỉ của nó là 41, và vị trí bắt đầu ghi của cột thứ hai tư trở thành vị trí mà địa chỉ của nó là 41.

Fig.30 minh họa số cột của bộ nhớ 31 cần thiết cho việc ghép xen xoắn cột và địa chỉ của vị trí bắt đầu ghi đối với mỗi phương pháp điều biến, đối với các mã LDPC có 10 tỷ lệ mã hóa được định nghĩa theo tiêu chuẩn của DVB-T.2 và có độ dài mã N là 16200.

Khi bộ b là 1, QPSK được áp dụng như là phương pháp điều biến, và số bit m của một ký hiệu là 2 bit, theo Fig.30, bộ nhớ 31 có hai cột để lưu trữ 2×1 bit theo chiều hàng và lưu trữ $16200/(2 \times 1)$ bit theo chiều cột.

Vị trí bắt đầu ghi của cột thứ nhất trong số hai cột của bộ nhớ 31 trở thành vị trí mà địa chỉ của nó là 0 và vị trí bắt đầu ghi của cột thứ hai trở thành vị trí mà địa chỉ của nó là 0.

Khi bộ b là 2, QPSK được áp dụng như là phương pháp điều biến, và số bit m của một ký hiệu là 2 bit, theo Fig.30, bộ nhớ 31 có bốn cột để lưu trữ 2×2 ($= mb$) bit theo chiều hàng và lưu trữ $16200/(2 \times 2)$ bit theo chiều cột.

Vị trí bắt đầu ghi của cột thứ nhất của bốn cột của bộ nhớ 31 trở thành vị trí mà địa chỉ của nó là 0, vị trí bắt đầu ghi của cột thứ hai trở thành vị trí mà địa chỉ của nó là 2, vị trí bắt đầu ghi của cột thứ ba trở thành vị trí mà địa chỉ của nó là 3, và vị trí bắt đầu ghi của cột thứ tư trở thành vị trí mà địa chỉ của nó là 3.

Khi bộ b là 1, 16QAM được áp dụng như là phương pháp điều biến, và số bit m của một ký hiệu là 4 bit, theo Fig.30, bộ nhớ 31 có bốn cột để lưu trữ 4×1 bit theo chiều hàng và lưu trữ $16200/(4 \times 1)$ bit theo chiều cột.

Vị trí bắt đầu ghi của cột thứ nhất của bốn cột của bộ nhớ 31 trở thành vị trí mà địa chỉ của nó là 0, vị trí bắt đầu ghi của cột thứ hai trở thành vị trí mà địa chỉ của nó là 2, vị trí bắt đầu ghi của cột thứ ba trở thành vị trí mà địa chỉ của nó là 3, và vị trí bắt đầu ghi của cột thứ tư trở thành vị trí mà địa chỉ của nó là 3.

Khi bộ b là 2, 16QAM được áp dụng như là phương pháp điều biến, và số bit m của một ký hiệu là 4 bit, theo Fig.30, bộ nhớ 31 có tám cột để lưu trữ 4

$\times 2$ bit theo chiều hàng và lưu trữ $16200/(4 \times 2)$ bit theo chiều cột.

Vị trí bắt đầu ghi của cột thứ nhất của tám cột của bộ nhớ 31 trở thành vị trí mà địa chỉ của nó là 0, vị trí bắt đầu ghi của cột thứ hai trở thành vị trí mà địa chỉ của nó là 0, vị trí bắt đầu ghi của cột thứ ba trở thành vị trí mà địa chỉ của nó là 0, vị trí bắt đầu ghi của cột thứ tư trở thành vị trí mà địa chỉ của nó là 1, vị trí bắt đầu ghi của cột thứ năm trở thành vị trí mà địa chỉ của nó là 7, vị trí bắt đầu ghi của cột thứ sáu trở thành vị trí mà địa chỉ của nó là 20, vị trí bắt đầu ghi của cột thứ bảy trở thành vị trí mà địa chỉ của nó là 20, và vị trí bắt đầu ghi của cột thứ tám trở thành vị trí mà địa chỉ của nó là 21.

Khi bộ b là 1, 64QAM được áp dụng như là phương pháp điều biến, và số bit m của một ký hiệu là 6 bit, theo Fig.30, bộ nhớ 31 có sáu cột để lưu trữ 6×1 bit theo chiều hàng và lưu trữ $16200/(6 \times 1)$ bit theo chiều cột.

Vị trí bắt đầu ghi của cột thứ nhất của sáu cột của bộ nhớ 31 trở thành vị trí mà địa chỉ của nó là 0, vị trí bắt đầu ghi của cột thứ hai trở thành vị trí mà địa chỉ của nó là 0, vị trí bắt đầu ghi của cột thứ ba trở thành vị trí mà địa chỉ của nó là 2, vị trí bắt đầu ghi của cột thứ tư trở thành vị trí mà địa chỉ của nó là 3, vị trí bắt đầu ghi của cột thứ năm trở thành vị trí mà địa chỉ của nó là 7, và vị trí bắt đầu ghi của cột thứ sáu trở thành vị trí mà địa chỉ của nó là 7.

Khi bộ b là 2, 64QAM được áp dụng như là phương pháp điều biến, và số bit m của một ký hiệu là 6 bit, theo Fig.30, bộ nhớ 31 có mười hai cột để lưu trữ 6×2 bit theo chiều hàng và lưu trữ $16200/(6 \times 2)$ bit theo chiều cột.

Vị trí bắt đầu ghi của cột thứ nhất của mười hai cột của bộ nhớ 31 trở thành vị trí mà địa chỉ của nó là 0, vị trí bắt đầu ghi của cột thứ hai trở thành vị trí mà địa chỉ của nó là 0, vị trí bắt đầu ghi của cột thứ ba trở thành vị trí mà địa chỉ của nó là 0, vị trí bắt đầu ghi của cột thứ tư trở thành vị trí mà địa chỉ của nó là 2, vị trí bắt đầu ghi của cột thứ năm trở thành vị trí mà địa chỉ của nó là 2, vị trí bắt đầu ghi của cột thứ sáu trở thành vị trí mà địa chỉ của nó là 2, vị trí bắt đầu ghi của cột thứ bảy trở thành vị trí mà địa chỉ của nó là 3, vị trí bắt đầu ghi của cột thứ tám trở thành vị trí mà địa chỉ của nó là 3, vị trí bắt đầu ghi của cột thứ chín trở thành vị trí mà địa chỉ của nó là 3, vị trí bắt đầu ghi của cột thứ mười trở thành vị trí mà địa chỉ của nó là 6, vị trí bắt đầu ghi của cột thứ mười một trở thành vị trí mà địa chỉ của nó là 7, và vị trí bắt đầu ghi của cột thứ mười hai trở thành vị trí mà địa chỉ của nó là 7.

Khi bộ b là 1, 256QAM được áp dụng như là phương pháp điều biến, và

số bit m của một ký hiệu là 8 bit, theo Fig.30, bộ nhớ 31 có tám cột để lưu trữ 8×1 bit theo chiều hàng và lưu trữ $16200/(8 \times 1)$ bit theo chiều cột.

Vị trí bắt đầu ghi của cột thứ nhất của tám cột của bộ nhớ 31 trở thành vị trí mà địa chỉ của nó là 0, vị trí bắt đầu ghi của cột thứ hai trở thành vị trí mà địa chỉ của nó là 0, vị trí bắt đầu ghi của cột thứ ba trở thành vị trí mà địa chỉ của nó là 0, vị trí bắt đầu ghi của cột thứ tư trở thành vị trí mà địa chỉ của nó là 1, vị trí bắt đầu ghi của cột thứ năm trở thành vị trí mà địa chỉ của nó là 7, vị trí bắt đầu ghi của cột thứ sáu trở thành vị trí mà địa chỉ của nó là 20, vị trí bắt đầu ghi của cột thứ bảy trở thành vị trí mà địa chỉ của nó là 20, và vị trí bắt đầu ghi của cột thứ tám trở thành vị trí mà địa chỉ của nó là 21.

Khi bội b là 1, 1024QAM được áp dụng như là phương pháp điều biến, và số bit m của một ký hiệu là 10 bit, theo Fig.30, bộ nhớ 31 có mười cột để lưu trữ 10×1 bit theo chiều hàng và lưu trữ $16200/(10 \times 1)$ bit theo chiều cột.

Vị trí bắt đầu ghi của cột thứ nhất của mười cột của bộ nhớ 31 trở thành vị trí mà địa chỉ của nó là 0, vị trí bắt đầu ghi của cột thứ hai trở thành vị trí mà địa chỉ của nó là 1, vị trí bắt đầu ghi của cột thứ ba trở thành vị trí mà địa chỉ của nó là 2, vị trí bắt đầu ghi của cột thứ tư trở thành vị trí mà địa chỉ của nó là 2, vị trí bắt đầu ghi của cột thứ năm trở thành vị trí mà địa chỉ của nó là 3, vị trí bắt đầu ghi của cột thứ sáu trở thành vị trí mà địa chỉ của nó là 3, vị trí bắt đầu ghi của cột thứ bảy trở thành vị trí mà địa chỉ của nó là 4, vị trí bắt đầu ghi của cột thứ tám trở thành vị trí mà địa chỉ của nó là 4, vị trí bắt đầu ghi của cột thứ chín trở thành vị trí mà địa chỉ của nó là 5, và vị trí bắt đầu ghi của cột thứ mười trở thành vị trí mà địa chỉ của nó là 7.

Khi bội b là 2, 1024QAM được áp dụng như là phương pháp điều biến, và số bit m của một ký hiệu là 10 bit, theo Fig.30, bộ nhớ 31 có hai mươi cột để lưu trữ 10×2 bit theo chiều hàng và lưu trữ $16200/(10 \times 2)$ bit theo chiều cột.

Vị trí bắt đầu ghi của cột thứ nhất của hai mươi cột của bộ nhớ 31 trở thành vị trí mà địa chỉ của nó là 0, vị trí bắt đầu ghi của cột thứ hai trở thành vị trí mà địa chỉ của nó là 0, vị trí bắt đầu ghi của cột thứ ba trở thành vị trí mà địa chỉ của nó là 0, vị trí bắt đầu ghi của cột thứ tư trở thành vị trí mà địa chỉ của nó là 2, vị trí bắt đầu ghi của cột thứ năm trở thành vị trí mà địa chỉ của nó là 2, vị trí bắt đầu ghi của cột thứ sáu trở thành vị trí mà địa chỉ của nó là 2, vị trí bắt đầu ghi của cột thứ bảy trở thành vị trí mà địa chỉ của nó là 2, vị trí bắt đầu ghi của cột thứ tám trở thành vị trí mà địa chỉ của nó là 2, vị trí bắt đầu ghi của cột

thứ chín trở thành vị trí mà địa chỉ của nó là 5 vị trí bắt đầu ghi của cột thứ mươi trở thành vị trí mà địa chỉ của nó là 5, vị trí bắt đầu ghi của cột thứ mươi một trở thành vị trí mà địa chỉ của nó là 5, vị trí bắt đầu ghi của cột thứ mươi hai trở thành vị trí mà địa chỉ của nó là 5, vị trí bắt đầu ghi của cột thứ mươi ba trở thành vị trí mà địa chỉ của nó là 5, vị trí bắt đầu ghi của cột thứ mươi bốn trở thành vị trí mà địa chỉ của nó là 7, vị trí bắt đầu ghi của cột thứ mươi lăm trở thành vị trí mà địa chỉ của nó là 7, vị trí bắt đầu ghi của cột thứ mươi sáu trở thành vị trí mà địa chỉ của nó là 7, vị trí bắt đầu ghi của cột thứ mươi bảy trở thành vị trí mà địa chỉ của nó là 7, vị trí bắt đầu ghi của cột thứ mươi tám trở thành vị trí mà địa chỉ của nó là 8, vị trí bắt đầu ghi của cột thứ mươi chín trở thành vị trí mà địa chỉ của nó là 8, và vị trí bắt đầu ghi của cột thứ hai mươi trở thành vị trí mà địa chỉ của nó là 10.

Khi bộ b là 1, 4096QAM được áp dụng như là phương pháp điều biến, và số bit m của một ký hiệu là 12 bit, theo Fig.30, bộ nhớ 31 có mươi hai cột để lưu trữ 12×1 bit theo chiều hàng và lưu trữ $16200/(12 \times 1)$ bit theo chiều cột.

Vị trí bắt đầu ghi của cột thứ nhất của mươi hai cột của bộ nhớ 31 trở thành vị trí mà địa chỉ của nó là 0, vị trí bắt đầu ghi của cột thứ hai trở thành vị trí mà địa chỉ của nó là 0, vị trí bắt đầu ghi của cột thứ ba trở thành vị trí mà địa chỉ của nó là 0, vị trí bắt đầu ghi của cột thứ tư trở thành vị trí mà địa chỉ của nó là 2, vị trí bắt đầu ghi của cột thứ năm trở thành vị trí mà địa chỉ của nó là 2, vị trí bắt đầu ghi của cột thứ sáu trở thành vị trí mà địa chỉ của nó là 2, vị trí bắt đầu ghi của cột thứ bảy trở thành vị trí mà địa chỉ của nó là 3, vị trí bắt đầu ghi của cột thứ tám trở thành vị trí mà địa chỉ của nó là 3, vị trí bắt đầu ghi của cột thứ chín trở thành vị trí mà địa chỉ của nó là 3 vị trí bắt đầu ghi của cột thứ mươi trở thành vị trí mà địa chỉ của nó là 6, vị trí bắt đầu ghi của cột thứ mươi một trở thành vị trí mà địa chỉ của nó là 7, và vị trí bắt đầu ghi của cột thứ mươi hai trở thành vị trí mà địa chỉ của nó là 7.

Khi bộ b là 2, 4096QAM được áp dụng như là phương pháp điều biến, và số bit m của một ký hiệu là 12 bit, theo Fig.30, bộ nhớ 31 có hai mươi tư cột để lưu trữ 12×2 bit theo chiều hàng và lưu trữ $16200/(12 \times 2)$ bit theo chiều cột.

Vị trí bắt đầu ghi của cột thứ nhất của hai mươi tư cột của bộ nhớ 31 trở thành vị trí mà địa chỉ của nó là 0, vị trí bắt đầu ghi của cột thứ hai trở thành vị trí mà địa chỉ của nó là 0, vị trí bắt đầu ghi của cột thứ ba trở thành vị trí mà địa chỉ của nó là 0, vị trí bắt đầu ghi của cột thứ tư trở thành vị trí mà địa chỉ của nó

là 0, vị trí bắt đầu ghi của cột thứ năm trở thành vị trí mà địa chỉ của nó là 0, vị trí bắt đầu ghi của cột thứ sáu trở thành vị trí mà địa chỉ của nó là 0, vị trí bắt đầu ghi của cột thứ bảy trở thành vị trí mà địa chỉ của nó là 0, vị trí bắt đầu ghi của cột thứ tám trở thành vị trí mà địa chỉ của nó là 1, vị trí bắt đầu ghi của cột thứ chín trở thành vị trí mà địa chỉ của nó là 1 vị trí bắt đầu ghi của cột thứ mười trở thành vị trí mà địa chỉ của nó là 1, vị trí bắt đầu ghi của cột thứ mười một trở thành vị trí mà địa chỉ của nó là 2, vị trí bắt đầu ghi của cột thứ mười hai trở thành vị trí mà địa chỉ của nó là 2, vị trí bắt đầu ghi của cột thứ mười ba trở thành vị trí mà địa chỉ của nó là 2, vị trí bắt đầu ghi của cột thứ mười bốn trở thành vị trí mà địa chỉ của nó là 3, vị trí bắt đầu ghi của cột thứ mười lăm trở thành vị trí mà địa chỉ của nó là 7, vị trí bắt đầu ghi của cột thứ mười sáu trở thành vị trí mà địa chỉ của nó là 9, vị trí bắt đầu ghi của cột thứ mười bảy trở thành vị trí mà địa chỉ của nó là 9, vị trí bắt đầu ghi của cột thứ mười tám trở thành vị trí mà địa chỉ của nó là 9, vị trí bắt đầu ghi của cột thứ mười chín trở thành vị trí mà địa chỉ của nó là 10, vị trí bắt đầu ghi của cột thứ hai mươi trở thành vị trí mà địa chỉ của nó là 10, vị trí bắt đầu ghi của cột thứ hai mươi một trở thành vị trí mà địa chỉ của nó là 10, vị trí bắt đầu ghi của cột thứ hai mươi hai trở thành vị trí mà địa chỉ của nó là 10, vị trí bắt đầu ghi của cột thứ hai mươi ba trở thành vị trí mà địa chỉ của nó là 10, và vị trí bắt đầu ghi của cột thứ hai mươi tư trở thành vị trí mà địa chỉ của nó là 11.

Fig.31 là lưu đồ minh họa quy trình xử lý được thực hiện bởi bộ mã hóa LDPC 115, bộ ghép xen bit 116, và bộ mã hóa QAM 117 của Fig.8.

Bộ mã hóa LDPC 115 đợi việc cấp dữ liệu đích LDPC từ bộ mã hóa BCH 114. Trong bước S101, bộ mã hóa LDPC 115 mã hóa dữ liệu đích LDPC với mã LDPC và cấp mã LDPC tới bộ ghép xen bit 116. Quy trình xử lý chuyển sang bước S102.

Trong bước S102, bộ ghép xen bit 116 thực hiện việc ghép xen bit đối với mã LDPC được cấp từ bộ mã hóa LDPC 115 và cấp ký hiệu thu được bằng cách ký hiệu hóa mã LDPC sau khi ghép xen bit tới bộ mã hóa QAM 117. Quy trình xử lý chuyển sang bước S103.

Tức là, trong bước S102, trong bộ ghép xen bit 116 (Fig.9), bộ ghép xen chẵn lẻ 23 thực hiện việc ghép xen chẵn lẻ đối với mã LDPC được cấp từ bộ mã hóa LDPC 115 và cấp mã LDPC sau khi ghép xen chẵn lẻ tới bộ ghép xen xoắn cột 24.

Bộ ghép xen xoắn cột 24 thực hiện việc ghép xen xoắn cột đối với mã LDPC được cấp từ bộ ghép xen chẵn lẻ 23 và cấp mã LDPC tới bộ giải ghép kênh 25.

Bộ giải ghép kênh 25 thực hiện quy trình xử lý hoán đổi để hoán đổi các bit mã của mã LDPC sau khi giải ghép xen xoắn cột bởi bộ ghép xen xoắn cột 24 và tạo ra các bit mã sau khi hoán đổi trở thành các bit ký hiệu (các bit biểu diễn ký hiệu) của ký hiệu.

Ở đây, quy trình xử lý hoán đổi bởi bộ giải ghép kênh 25 có thể được thực hiện theo các phương pháp hoán đổi thứ nhất hoặc thứ tư được minh họa trên Fig.22 và Fig.23, và, ngoài ra, có thể được thực hiện theo quy tắc cấp phát định trước được xác định trước đó để cấp phát bit ký hiệu thể hiện ký hiệu tới bit mã của mã LDPC.

Ký hiệu mà thu được bởi quy trình xử lý hoán đổi bởi bộ giải ghép kênh 25 được cấp từ bộ giải ghép kênh 25 tới bộ mã hóa QAM 117.

Trong bước S103, bộ mã hóa QAM 117 ánh xạ ký hiệu được cấp từ bộ giải ghép kênh 25 tới điểm tín hiệu được xác định bởi phương pháp điều biến của điều biến trực giao được thực hiện bởi bộ mã hóa QAM 117, thực hiện việc điều biến trực giao, và cấp dữ liệu thu được như là kết quả tới bộ ghép xen thời gian 118.

Như được mô tả nêu trên, việc ghép xen chẵn lẻ hoặc việc ghép xen xoắn cột được thực hiện, để khả năng chống chịu vết xóa hoặc lỗi cụm khi các bit mã của mã LDPC được truyền như là một ký hiệu có thể được cải thiện.

Trên Fig.9, bộ ghép xen chẵn lẻ 23 là khói để thực hiện việc ghép xen chẵn lẻ và bộ ghép xen xoắn cột 24 là khói để thực hiện việc ghép xen xoắn cột có cấu hình riêng biệt nhằm thuận tiện cho việc giải thích. Tuy nhiên, bộ ghép xen chẵn lẻ 23 và bộ ghép xen xoắn cột 24 có thể có cấu hình nguyên khói.

Tức là, cả việc ghép xen chẵn lẻ và việc ghép xen xoắn cột có thể được thực hiện bằng cách ghi và việc đọc của các bit mã đối với bộ nhớ và có thể được biểu diễn bởi ma trận để chuyển đổi địa chỉ (địa chỉ ghi) để thực hiện việc ghi của các bit mã thành địa chỉ (địa chỉ đọc) để thực hiện việc đọc của các bit mã.

Do đó, nếu ma trận thu được bằng cách nhân ma trận biểu diễn việc ghép xen chẵn lẻ và ma trận biểu diễn việc ghép xen xoắn cột được tính toán, các bit mã được chuyển đổi bởi ma trận, việc ghép xen chẵn lẻ được thực hiện, và kết

quả việc xen xoắn cột của mã LDPC sau khi ghép xen chẵn lẻ có thể thu được.

Ngoài bộ ghép xen chẵn lẻ 23 và bộ ghép xen xoắn cột 24, bộ giải ghép kênh 25 có thể có cấu hình nguyên khôi.

Tức là, quy trình xử lý hoán đổi được thực hiện bởi bộ giải ghép kênh 25 có thể được biểu diễn bởi ma trận để chuyển đổi địa chỉ ghi của bộ nhớ 31 lưu trữ mã LDPC thành địa chỉ đọc.

Do đó, nếu ma trận thu được bằng cách nhân ma trận biểu diễn việc ghép xen chẵn lẻ, ma trận biểu diễn việc ghép xen xoắn cột, và ma trận biểu diễn quy trình xử lý hoán đổi được tính toán, việc ghép xen chẵn lẻ, việc ghép xen xoắn cột, và quy trình xử lý hoán đổi có thể được thực hiện chung bởi ma trận.

Chỉ một trong việc ghép xen chẵn lẻ và việc ghép xen xoắn cột có thể được thực hiện hoặc cả việc ghép xen chẵn lẻ và việc ghép xen xoắn cột có thể không được thực hiện. Ví dụ, giống như DVB-S.2, trong trường hợp mà đường truyền thông 13 (Fig.7) là mạch vệ tinh hoặc loại tương tự mà khác với AWGN và đối với trường hợp này lỗi cum và sự méo rung, và v.v, không phải được xem xét quá nhiều, có thể làm cho việc ghép xen chẵn lẻ và việc ghép xen xoắn cột không được thực hiện.

Tiếp theo, mô phỏng để đo lường tỷ lệ lỗi (tỷ lệ lỗi bit) mà được thực hiện đối với thiết bị truyền 11 của Fig.8 sẽ được mô tả có vien dẫn tới các Fig.32 tới 34.

Việc mô phỏng được thực hiện bằng cách áp dụng đường truyền thông trong đó méo rung có D/U là 0 dB tồn tại.

Fig.32 minh họa mô hình của đường truyền thông mà được áp dụng bởi mô phỏng.

Tức là, phần A của Fig.32 minh họa mô hình của méo rung mà được áp dụng bởi mô phỏng.

Ngoài ra, phần B của Fig.32 minh họa mô hình của đường truyền thông trong đó méo rung được biểu diễn bởi mô hình của phần A của Fig.32 tồn tại.

Trên phần B của Fig.32, H biểu diễn mô hình của méo rung của phần A của Fig.32. Trên phần B của Fig.32, N biểu diễn ICI (Inter Carrier Interference – Nhiều liên sóng mang). Theo mô phỏng, giá trị kỳ vọng $E[N^2]$ của công suất được lấy xấp xỉ bởi AWGN.

Các Fig.33 và Fig.34 minh họa quan hệ của tỷ lệ lỗi thu được bởi việc mô phỏng và tần số Doppler f_d của méo rung.

Fig.33 minh họa quan hệ của tỷ lệ lỗi và tần số Doppler f_d khi phương pháp điều biến là 16QAM, tỷ lệ mã hóa (r) là $(3/4)$, và phương pháp hoán đổi là phương pháp hoán đổi thứ nhất. Fig.34 minh họa quan hệ của tỷ lệ lỗi và tần số Doppler f_d khi phương pháp điều biến là 64QAM, tỷ lệ mã hóa (r) là $(5/6)$, và phương pháp hoán đổi là phương pháp hoán đổi thứ nhất.

Trên các Fig.33 và Fig.34, đường dày thể hiện quan hệ của tỷ lệ lỗi và tần số Doppler f_d khi tất cả việc ghép xen chǎn lẻ, việc ghép xen xoắn cột, và quy trình xử lý hoán đổi được thực hiện và đường mỏng thể hiện quan hệ của tỷ lệ lỗi và tần số Doppler f_d khi chỉ quy trình xử lý hoán đổi trong số việc ghép xen chǎn lẻ, việc ghép xen xoắn cột, và quy trình xử lý hoán đổi được thực hiện.

Trên cả các Fig.33 và Fig.34, có thể được biết rằng tỷ lệ lỗi được cải thiện hơn nữa (được làm giảm) khi tất cả việc ghép xen chǎn lẻ, việc ghép xen xoắn cột, và quy trình xử lý hoán đổi được thực hiện, so với khi chỉ quy trình xử lý hoán đổi được thực hiện.

Ví dụ cấu hình của bộ mã hóa LDPC 115

Fig.35 là sơ đồ khối minh họa ví dụ cấu hình của bộ mã hóa LDPC 115 của Fig.8.

Bộ mã hóa LDPC 122 của Fig.8 cũng có cấu hình theo cách tương tự.

Như được mô tả trên các Fig.12 và Fig.13, theo tiêu chuẩn của DVB-S.2 hoặc loại tương tự, các mã LDPC mà có hai độ dài mã N là 64800 bit và 16200 bit được xác định.

Đối với mã LDPC có độ dài mã N là 64800 bit, 11 tỷ lệ mã là $1/4, 1/3, 2/5, 1/2, 3/5, 2/3, 3/4, 4/5, 5/6, 8/9$, và $9/10$ được xác định. Đối với mã LDPC có độ dài mã N là 16200 bit, 10 tỷ lệ mã là $1/4, 1/3, 2/5, 1/2, 3/5, 2/3, 3/4, 4/5, 5/6$, và $8/9$ được xác định (các Fig.12 và 13).

Ví dụ, bộ mã hóa LDPC 115 có thể thực hiện việc mã hóa (mã hóa sửa lỗi) sử dụng mã LDPC của mỗi tỷ lệ mã hóa có độ dài mã N là 64800 bit hoặc 16200 bit, theo ma trận kiểm tra chǎn lẻ H được chuẩn bị đối với mỗi độ dài mã N và mỗi tỷ lệ mã hóa.

Bộ mã hóa LDPC 115 bao gồm bộ xử lý mã hóa 601 và bộ lưu trữ 602.

Bộ xử lý mã hóa 601 bao gồm bộ thiết lập tỷ lệ mã hóa 611, bộ đọc bảng giá trị khởi tạo 612, bộ tạo ma trận kiểm tra chǎn lẻ 613, bộ đọc bit thông tin 614, bộ tính toán chǎn lẻ mã hóa 615, bộ điều khiển 616. Bộ xử lý mã hóa 601 thực hiện việc mã hóa LDPC của dữ liệu đích LDPC được cấp tới bộ mã hóa LDPC

115 và cấp mã LDPC thu được như là kết quả tới bộ ghép xen bit 116 (Fig.8).

Tức là, bộ thiết lập tỷ lệ mã hóa 611 thiết lập độ dài mã N và tỷ lệ mã hóa là mã LDPC, theo hoạt động của bộ hoạt động.

Bộ đọc bảng giá trị khởi tạo 612 đọc bảng giá trị khởi tạo ma trận kiểm tra chẵn lẻ được mô tả sau đây, mà tương ứng với độ dài mã N và tỷ lệ mã hóa được thiết lập bởi bộ thiết lập tỷ lệ mã hóa 611, từ bộ lưu trữ 602.

Bộ tạo ma trận kiểm tra chẵn lẻ 613 tạo ra ma trận kiểm tra chẵn lẻ H bằng cách bố trí các phần tử 1 của ma trận thông tin H_A tương ứng với độ dài thông tin K (= độ dài thông tin N – độ dài chẵn lẻ M) theo độ dài mã N và tỷ lệ mã hóa được thiết lập bởi bộ thiết lập tỷ lệ mã hóa 611 theo chiều cột với chu kỳ của 360 cột (số cột P của đơn vị của cấu hình vòng), trên cơ sở của bảng giá trị khởi tạo ma trận kiểm tra chẵn lẻ được đọc bởi bộ đọc bảng giá trị khởi tạo 612, và lưu trữ ma trận kiểm tra chẵn lẻ H trong bộ lưu trữ 602.

Bộ đọc bit thông tin 614 đọc (tách) các bit thông tin tương ứng với độ dài thông tin K, từ dữ liệu đích LDPC được cấp tới bộ mã hóa LDPC 115.

Bộ tính toán chẵn lẻ mã hóa 615 đọc ma trận kiểm tra chẵn lẻ H được tạo ra bởi bộ tạo ma trận kiểm tra chẵn lẻ 613 từ bộ lưu trữ 602, và tạo ra từ mã (mã LDPC) bằng cách tính toán các bit chẵn lẻ đối với các bit thông tin được đọc bởi bộ đọc bit thông tin 614 trên cơ sở của biểu thức định trước sử dụng ma trận kiểm tra chẵn lẻ H.

Bộ điều khiển 616 điều khiển mỗi khối cấu thành bộ xử lý mã hóa 601.

Trong bộ lưu trữ 602, các bảng giá trị khởi tạo ma trận kiểm tra chẵn lẻ mà tương ứng với các tỷ lệ mã hóa được minh họa trên các Fig.12 và Fig.13, đối với các độ dài mã N như 64800 bit và 16200 bit, được lưu trữ. Ngoài ra, bộ lưu trữ 602 tạm thời lưu trữ dữ liệu mà cần thiết cho quy trình xử lý của bộ xử lý mã hóa 601.

Fig.36 là lưu đồ minh họa quy trình xử lý của bộ mã hóa LDPC 115 của Fig.35.

Trong bước S201, bộ thiết lập tỷ lệ mã hóa 611 xác định (thiết lập) độ dài mã N và tỷ lệ mã hóa r để thực hiện mã hóa LDPC.

Trong bước S202, bộ đọc bảng giá trị khởi tạo 612 đọc bảng giá trị khởi tạo ma trận kiểm tra chẵn lẻ được xác định trước đó tương ứng với độ dài mã N và tỷ lệ mã hóa r được xác định bởi bộ thiết lập tỷ lệ mã hóa 611, từ bộ lưu trữ 602.

Trong bước S203, bộ tạo ma trận kiểm tra chẵn lẻ 613 tính toán (tạo ra) ma trận kiểm tra chẵn lẻ H của mã LDPC của độ dài mã N và tỷ lệ mã hóa r được xác định bởi bộ thiết lập tỷ lệ mã hóa 611, sử dụng bảng giá trị khởi tạo ma trận kiểm tra chẵn lẻ được đọc từ bộ lưu trữ 602 bởi bộ đọc bảng giá trị khởi tạo 612, cấp ma trận kiểm tra chẵn lẻ tới bộ lưu trữ 602, và lưu trữ ma trận kiểm tra chẵn lẻ trong bộ lưu trữ.

Trong bước S204, bộ đọc bit thông tin 614 đọc các bit thông tin của độ dài thông tin K ($= N \times r$) tương ứng với độ dài mã N và tỷ lệ mã hóa r được xác định bởi bộ thiết lập tỷ lệ mã hóa 611, từ dữ liệu đích LDPC được cấp tới bộ mã hóa LDPC 115, đọc ma trận kiểm tra chẵn lẻ H được tính toán bởi bộ tạo ma trận kiểm tra chẵn lẻ 613 từ bộ lưu trữ 602, và cấp các bit thông tin và ma trận kiểm tra chẵn lẻ tới bộ tính toán chẵn lẻ mã hóa 615.

Trong bước S205, bộ tính toán chẵn lẻ mã hóa 615 tuần tự tính toán các bit chẵn lẻ của từ mã c mà thỏa mãn biểu thức (8) sử dụng các bit thông tin và ma trận kiểm tra chẵn lẻ H mà đã được đọc từ bộ đọc bit thông tin 614.

$$Hc^T = 0 \cdots (8)$$

Trong biểu thức (8), c biểu diễn vectơ hàng như là từ mã (mã LDPC) và c^T biểu diễn sự chuyển vị của vectơ hàng c.

Như được mô tả nêu trên, khi một phần của các bit thông tin của vectơ hàng c như là mã LDPC (một từ mã) được biểu diễn bởi vectơ hàng A và một phần của các bit chẵn lẻ được biểu diễn bởi vectơ hàng T, vectơ hàng c có thể được biểu diễn bởi biểu thức $c = [A|T]$, sử dụng vectơ hàng A như là các bit thông tin và vectơ hàng T như là các bit chẵn lẻ.

Trong ma trận kiểm tra chẵn lẻ H và vectơ hàng $c = [A|T]$ tương ứng với mã LDPC, cần phải thỏa mãn biểu thức $Hc^T = 0$. Vectơ hàng T mà tương ứng với các bit chẵn lẻ cấu thành vectơ hàng c = [A|T] thỏa mãn biểu thức $Hc^T = 0$ có thể được tính toán tuần tự bằng cách thiết lập các phần tử của mỗi hàng là 0, tuần tự từ các phần tử của hàng thứ nhất của vectơ cột Hc^T trong biểu thức $Hc^T = 0$, khi ma trận chẵn lẻ H_T của ma trận kiểm tra chẵn lẻ H = $[H_A | H_T]$ trở thành cấu hình bậc thang được minh họa trên Fig.11.

Nếu bộ tính toán chẵn lẻ mã hóa 615 tính toán các bit chẵn lẻ T đối với các bit thông tin A từ bộ đọc bit thông tin 614, bộ tính toán chẵn lẻ mã hóa 615 xuất ra từ mã c = [A|T] được biểu diễn bởi các bit thông tin A và các bit chẵn lẻ T như là kết quả mã hóa LDPC của các bit thông tin A.

Sau đó, trong bước S206, bộ điều khiển 616 xác định rằng việc mã hóa LDPC có kết thúc hay không. Khi được xác định trong bước S206 rằng việc mã hóa LDPC không kết thúc, tức là, khi có dữ liệu đích LDPC để thực hiện mã hóa LDPC, quy trình xử lý quay lại bước S201 (hoặc bước S204). Sau đây, quy trình xử lý của các bước S201 (hoặc bước S204) tới S206 được lặp lại.

Khi được xác định trong bước S206 rằng việc mã hóa LDPC kết thúc, tức là, không có dữ liệu đích LDPC để thực hiện mã hóa LDPC, bộ mã hóa LDPC 115 kết thúc quy trình xử lý.

Như được mô tả nêu trên, bảng giá trị khởi tạo ma trận kiểm tra chẵn lẻ tương ứng với mỗi độ dài mã N và mỗi tỷ lệ mã hóa r được chuẩn bị và bộ mã hóa LDPC 115 thực hiện việc mã hóa LDPC có độ dài mã định trước N và tỷ lệ mã hóa định trước r, sử dụng ma trận kiểm tra chẵn lẻ H được tạo ra từ bảng giá trị khởi tạo ma trận kiểm tra chẵn lẻ tương ứng với độ dài mã định trước N và tỷ lệ mã hóa định trước r.

Ví dụ của bảng giá trị khởi tạo ma trận kiểm tra chẵn lẻ

Bảng giá trị khởi tạo ma trận kiểm tra chẵn lẻ là bảng mà biểu diễn các vị trí của các phần tử 1 của ma trận thông tin H_A (Fig.10) của ma trận kiểm tra chẵn lẻ H tương ứng với độ dài thông tin K theo độ dài mã N và tỷ lệ mã hóa r của mã LDPC (mã LDPC được xác định bởi ma trận kiểm tra chẵn lẻ H) đối với mỗi 360 cột (số cột P của đơn vị của cấu hình vòng) và được tạo ra trước đó đối với mỗi ma trận kiểm tra chẵn lẻ H của mỗi độ dài mã N và mỗi tỷ lệ mã hóa r.

Fig.37 là hình vẽ minh họa về ví dụ của bảng giá trị khởi tạo ma trận kiểm tra chẵn lẻ.

Tức là, Fig.37 minh họa bảng giá trị khởi tạo ma trận kiểm tra chẵn lẻ đối với ma trận kiểm tra chẵn lẻ H mà được định nghĩa theo tiêu chuẩn của DVB-T.2 và có độ dài mã N là 16200 bit và tỷ lệ mã hóa (tỷ lệ mã hóa của giải thích của DVB-T.2) r là 1/4.

Bộ tạo ma trận kiểm tra chẵn lẻ 613 (Fig.35) tính toán ma trận kiểm tra chẵn lẻ H sử dụng bảng giá trị khởi tạo ma trận kiểm tra chẵn lẻ, như sau.

Tức là, Fig.38 minh họa phương pháp tính toán ma trận kiểm tra chẵn lẻ H từ bảng giá trị khởi tạo ma trận kiểm tra chẵn lẻ.

Bảng giá trị khởi tạo ma trận kiểm tra chẵn lẻ trên Fig.38 minh họa bảng giá trị khởi tạo ma trận kiểm tra chẵn lẻ đối với ma trận kiểm tra chẵn lẻ H mà được định nghĩa theo tiêu chuẩn của DVB-T.2 và có độ dài mã N là 16200 bit và

tỷ lệ mã hóa r của 2/3.

Như được mô tả nêu trên, bảng giá trị khởi tạo ma trận kiểm tra chẵn lẻ là bảng mà biểu diễn các vị trí của các phần tử 1 của ma trận thông tin H_A (Fig.10) tương ứng với độ dài thông tin K theo độ dài mã N và tỷ lệ mã hóa r của mã LDPC đối với mỗi 360 cột (số cột P của đơn vị của cấu hình vòng). Trong hàng thứ I của nó, các số hàng (các số hàng khi số hàng của hàng thứ nhất của ma trận kiểm tra chẵn lẻ H được thiết lập là 0) của các phần tử 1 của cột thứ $(1 + 360 \times (i - 1))$ của ma trận kiểm tra chẵn lẻ H được sắp xếp bởi số trọng số cột của cột thứ $(1 + 360 \times (i - 1))$.

Trong trường hợp này, do ma trận chẵn lẻ H_T (Fig.10) của ma trận kiểm tra chẵn lẻ H tương ứng với độ dài chẵn lẻ M được xác định như được minh họa trên Fig.25, theo bảng giá trị khởi tạo ma trận kiểm tra chẵn lẻ, ma trận thông tin H_A (Fig.10) của ma trận kiểm tra chẵn lẻ H tương ứng với độ dài thông tin K được tính toán.

Số hàng $k + 1$ của bảng giá trị khởi tạo ma trận kiểm tra chẵn lẻ là khác nhau theo độ dài thông tin K.

Quan hệ của biểu thức (9) thu được giữa độ dài thông tin K và số hàng $k + 1$ của bảng giá trị khởi tạo ma trận kiểm tra chẵn lẻ.

$$K = (k + 1) \times 360 \cdots (9)$$

Trong trường hợp này, 360 của biểu thức (9) là số cột P của đơn vị của cấu hình vòng được mô tả trên Fig.26.

Trong bảng giá trị khởi tạo ma trận kiểm tra chẵn lẻ của Fig.38, 13 giá trị số được sắp xếp từ hàng thứ nhất tới hàng thứ ba và 3 giá trị số được sắp xếp từ hàng thứ tư tới hàng thứ $(k + 1)$ (trên Fig.38, hàng thứ 30).

Do đó, các trọng số cột của ma trận kiểm tra chẵn lẻ H mà được tính toán từ bảng giá trị khởi tạo ma trận kiểm tra chẵn lẻ của Fig.38 là 13 từ cột thứ nhất tới cột thứ $(1 + 360 \times (3 - 1) - 1)$ và là 3 từ cột thứ $(1 + 360 \times (3 - 1))$ tới cột thứ K.

Hàng thứ nhất của bảng giá trị khởi tạo ma trận kiểm tra chẵn lẻ của Fig.38 trở thành 0, 2084, 1613, 1548, 1286, 1460, 3196, 4297, 2481, 3369, 3451, 4620, và 2622, mà thể hiện rằng các phần tử của các hàng có các số hàng của 0, 2084, 1613, 1548, 1286, 1460, 3196, 4297, 2481, 3369, 3451, 4620, và 2622 là 1 (và các phần tử khác là 0), trong cột thứ nhất của ma trận kiểm tra chẵn lẻ H.

Hàng thứ hai của bảng giá trị khởi tạo ma trận kiểm tra chẵn lẻ của

Fig.38 trở thành 1, 122, 1516, 3448, 2880, 1407, 1847, 3799, 3529, 373, 971, 4358, và 3108, mà thể hiện rằng các phần tử của các hàng có các số hàng của 1, 122, 1516, 3448, 2880, 1407, 1847, 3799, 3529, 373, 971, 4358, và 3108 là 1, trong cột thứ 361 ($= 1 + 360 \times (2 - 1)$) của ma trận kiểm tra chẵn lẻ H.

Như được mô tả nêu trên, bảng giá trị khởi tạo ma trận kiểm tra chẵn lẻ biểu diễn các vị trí của các phần tử 1 của ma trận thông tin H_A của ma trận kiểm tra chẵn lẻ H đối với mỗi 360 cột.

Các cột ngoài cột thứ $(1 + 360 \times (i - 1))$ của ma trận kiểm tra chẵn lẻ H, tức là, các cột riêng biệt từ cột thứ $(2 + 360 \times (i - 1))$ tới cột thứ $(360 \times i)$ được sắp xếp bằng cách dịch vòng các phần tử 1 của cột thứ $(1 + 360 \times (i - 1))$ được xác định bởi bảng giá trị khởi tạo ma trận kiểm tra chẵn lẻ một cách định kỳ theo chiều hướng xuống (chiều hướng xuống dưới của các cột) theo độ dài chẵn lẻ M.

Tức là, cột thứ $(2 + 360 \times (i - 1))$ thu được bằng cách dịch vòng cột thứ $(1 + 360 \times (i - 1))$ theo chiều hướng xuống dưới bởi $M/360 (= q)$ và cột thứ $(3 + 360 \times (i - 1))$ tiếp theo thu được bằng cách dịch vòng cột thứ $(1 + 360 \times (i - 1))$ theo chiều hướng xuống dưới bởi $2 \times M/360 (= 2 \times q)$ (thu được bằng cách dịch vòng cột thứ $(2 + 360 \times (i - 1))$ theo chiều hướng xuống dưới bởi $M/360 (= q)$).

Nếu giá trị số của cột thứ j (cột thứ j từ phía trái) của hàng thứ i (hang thứ i từ phía trên) của bảng giá trị khởi tạo ma trận kiểm tra chẵn lẻ được biểu diễn như là $h_{i,j}$ và số hàng của phần tử 1 thứ j của cột thứ w của ma trận kiểm tra chẵn lẻ H được biểu diễn như là H_{w-j} , số hàng H_{w-j} của phần tử 1 của cột thứ w là cột khác cột thứ $(1 + 360 \times (i - 1))$ của ma trận kiểm tra chẵn lẻ H có thể được tính toán bởi biểu thức (10).

$$H_{w-j} = \text{mod}\{h_{i,j} + \text{mod}((w-1), P) \times q, M\} \quad (10)$$

Trong trường hợp này, $\text{mod}(x, y)$ nghĩa là số dư mà thu được bằng cách chia x cho y.

Ngoài ra, P là số cột của đơn vị của cấu hình vòng được mô tả nêu trên. Ví dụ, theo tiêu chuẩn của DVB-S.2, DVB-T.2, và DVB-C.2, P là 360 như được mô tả nêu trên. Ngoài ra, q là giá trị $M/360$ mà thu được bằng cách chia độ dài chẵn lẻ M bởi số cột P ($= 360$) của đơn vị của cấu hình vòng.

Bộ tạo ma trận kiểm tra chẵn lẻ 613 (Fig.35) chỉ rõ các số hàng của các phần tử 1 của cột thứ $(1 + 360 \times (i - 1))$ của ma trận kiểm tra chẵn lẻ H bởi bảng giá trị khởi tạo ma trận kiểm tra chẵn lẻ.

Bộ tạo ma trận kiểm tra chẵn lẻ 613 (Fig.35) tính toán số hàng H_{w-j} của

phần tử 1 của cột thứ w là cột khác cột thứ ($1 + 360 \times (i - 1)$) của ma trận kiểm tra chẵn lẻ H, theo biểu thức (10), và tạo ra ma trận kiểm tra chẵn lẻ H trong đó phần tử của số hàng thu được được thiết lập là 1.

Mã LDPC mới

Ngoài ra, việc đề xuất tiêu chuẩn mà cải thiện DVB-S.2 (mà có thể được gọi là DVB-Sx dưới đây) được đề xuất.

Trong CfT (Call for Technology – Cuộc gọi kỹ thuật) được đưa tới hội nghị chuẩn hóa của DVB-Sx, số lượng ModCod (kết hợp của phương pháp điều biến (điều biến) và mã LDPC (mã)) định trước được yêu cầu đối với mỗi dải (dải) của C/N (tỷ số sóng mang trên tạp âm) (SNR (tỷ số tín hiệu trên tạp âm)) theo trường hợp sử dụng.

Tức là, trong CfT, như là yêu cầu thứ nhất, có yêu cầu rằng 20 đoạn ModCod được chuẩn bị trong dải 7 dB trong đó C/N là từ 5 dB tới 12 dB, đối với sử dụng của DTH (Direct To Home – Trực tiếp về gia đình).

Ngoài ra, trong CfT, như là yêu cầu thứ hai, có yêu cầu rằng 22 đoạn ModCod được chuẩn bị trong dải 12 dB trong đó C/N là từ 12 dB tới 24 dB, như là yêu cầu thứ ba, có yêu cầu rằng 12 đoạn ModCod được chuẩn bị trong dải 8 dB trong đó C/N là từ -3 dB tới 5 dB, và, như là yêu cầu thứ tư, có yêu cầu rằng 5 đoạn ModCod được chuẩn bị trong dải 7 dB trong đó C/N là từ -10 dB tới -3 dB.

Ngoài ra, trong CfT, có yêu cầu rằng FER (Frame Error Rate – tỷ lệ lỗi khung) của ModCod trong các yêu cầu thứ nhất hoặc thứ tư trở thành khoảng 10^{-5} (hoặc nhỏ hơn).

Ở đây, trong CfT, mức ưu tiên của yêu cầu thứ nhất là "1" mà là mức cao nhất, và mức ưu tiên của bất kỳ trong số các yêu cầu thứ hai đến thứ tư là "2" mà thấp hơn yêu cầu thứ nhất.

Do đó, theo sáng chế, ít nhất trong CfT, (ma trận kiểm tra chẵn lẻ) mã LDPC mà có thể thỏa mãn yêu cầu thứ nhất có mức ưu tiên cao nhất được đề xuất là mã LDPC mới.

Fig.39 minh họa đường cong BER/FER trong trường hợp mà QPSK được áp dụng như là phương pháp điều biến, đối với các mã LDPC có 11 tỷ lệ mã hóa với độ dài mã N là 64k.

Trên Fig.39, trục ngang thể hiện E_s/N_0 (tỷ số công suất tín hiệu trên tạp âm trên ký hiệu) tương ứng với C/N, và trục dọc thể hiện FER/BER. Ở đây, trên

Fig.39, đường liền thể hiện FER và đường chấm thể hiện BER (Bit Error Rate – Tỷ lệ lỗi bit).

Trên Fig.39, có đường cong FER (BER) trong trường hợp mà QPSK được áp dụng như là phương pháp mã hóa, đối với các mã LSPC của 11 tỷ lệ mã hóa với độ dài mã N là 64k được xác định trong DVB-S.2, trong dải trong đó E_s/N_0 là 10dB.

Tức là, trên Fig.39, có 11 đường cong FER của ModCod trong đó phương pháp điều biến được cố định là QPSK, trong dải khoảng 10 dB của E_s/N_0 từ khoảng -3 dB tới khoảng 7 dB.

Do đó, đối với các mã LSPC có 11 tỷ lệ mã hóa với độ dài mã N là 64k được xác định trong DVB-S.2, khoảng cách trung bình của các đường cong FER của ModCod (mà có thể được gọi là khoảng cách trung bình dưới đây) là khoảng 1 dB ($\approx 10 \text{ dB} / (10-1)$)

Trong khi đó, do được yêu cầu phải chuẩn bị 20 đoạn ModCod trong dải trong đó E_s/N_0 (C/N) là 7 dB trong yêu cầu thứ nhất của CfT, khoảng cách trung bình của các đường cong FER của ModCod là khoảng 0,3 dB ($\approx 7 \text{ dB} / (20-1)$).

Trong trường hợp mà phương pháp điều biến được cố định là một loại như QPSK để lấy làm biến, như so với trường hợp của DVB-S.2 trong đó ModCod với khoảng cách trung bình là khoảng 1 dB có thể thu được bởi các mã LDPC có 11 tỷ lệ mã hóa, các mã LDPC có số lượng khoảng gấp ba lần của 11 tỷ lệ mã hóa ($\approx 1 \text{ dB} / 0,3 \text{ dB}$), tức là, các mã LDPC có khoảng 30 tỷ lệ mã hóa chỉ phải được đề xuất để thu được ModCod với khoảng cách trung bình là 0,3 dB để thỏa mãn yêu cầu thứ nhất của CfT.

Do đó, sáng chế chuẩn bị mã LDPC với tỷ lệ mã hóa là $i/30$ (trong đó i ký hiệu số nguyên dương nhỏ hơn 30) và độ dài mã là 64k như là mã LDPC có tỷ lệ mã hóa mà để khoảng 30 tỷ lệ mã hóa được thiết lập dễ dàng, và cấp nó như là mã LDPC mới mà thỏa mãn ít nhất yêu cầu thứ nhất với mức ưu tiên cao nhất trong CfT.

Ở đây, đối với mã LDPC mới, từ quan điểm rằng tính tương tự (tính tương thích) với DVB-S.2 được duy trì nhiều nhất có thể, tương tự mã LDPC được xác định trong DVB-S.2, ma trận chẵn lẻ H_T của ma trận kiểm tra chẵn lẻ H được giả thiết để có cấu hình bậc thang (Fig.11).

Ngoài ra, đối với mã LDPC mới, tương tự mã LDPC được xác định trong DVB-S.2, ma trận thông tin H_A của ma trận kiểm tra chẵn lẻ H được giả

thiết là cấu hình vòng và số cột P mà là đơn vị của cấu hình vòng được giả thiết là 360.

Fig.40 đến Fig.106 là các sơ đồ minh họa các ví dụ của bảng giá trị khởi tạo ma trận kiểm tra chẵn lẻ của mã LDPC mới với độ dài mã N là 64k bit và tỷ lệ mã hóa là $i/30$ như được mô tả nêu trên.

Ở đây, do mã LDPC mới là mã LDPC trong đó tỷ lệ mã hóa được biểu diễn bởi $i/30$, có các mã LDPC với 29 tỷ lệ mã hóa là $1/30, 2/30, 3/30 \dots 28/30$ và $29/30$ tại tối đa.

Tuy nhiên, đối với mã LDPC với tỷ lệ mã hóa là $1/30$, có khả năng rằng việc sử dụng bị hạn chế về mặt hiệu quả. Ngoài ra, đối với mã LDPC với tỷ lệ mã hóa là $29/30$, việc sử dụng có thể bị hạn chế về mặt tỷ lệ lỗi (BER/FER).

Do đó, một trong số hoặc cả hai mã LDPC với tỷ lệ mã hóa là $1/30$ và mã LDPC với tỷ lệ mã hóa là $29/30$ trong số các mã LDPC với 29 tỷ lệ mã hóa trong số các tỷ lệ mã hóa $1/30$ đến $29/30$ có thể được giả thiết không phải là mã LDPC mới.

Ở đây, ví dụ, các mã LDPC với 28 tỷ lệ mã hóa trong số các tỷ lệ mã hóa $2/30$ tới $29/30$ trong số các tỷ lệ mã hóa $1/30$ tới $29/30$ được giả thiết là các mã LDPC mới, và bảng giá trị khởi tạo ma trận kiểm tra chẵn lẻ đối với ma trận kiểm tra chẵn lẻ H của các mã LDPC mới được thể hiện dưới đây.

Fig.40 minh họa bảng giá trị khởi tạo ma trận kiểm tra chẵn lẻ đối với ma trận kiểm tra chẵn lẻ H của mã LDPC với độ dài mã N là 64k bit và tỷ lệ mã hóa là $2/30$.

Fig.41 minh họa bảng giá trị khởi tạo ma trận kiểm tra chẵn lẻ đối với ma trận kiểm tra chẵn lẻ H của mã LDPC với độ dài mã N là 64k bit và tỷ lệ mã hóa là $3/30$.

Fig.42 minh họa bảng giá trị khởi tạo ma trận kiểm tra chẵn lẻ đối với ma trận kiểm tra chẵn lẻ H của mã LDPC với độ dài mã N là 64k bit và tỷ lệ mã hóa là $4/30$.

Fig.43 minh họa bảng giá trị khởi tạo ma trận kiểm tra chẵn lẻ đối với ma trận kiểm tra chẵn lẻ H của mã LDPC với độ dài mã N là 64k bit và tỷ lệ mã hóa là $5/30$.

Fig.44 minh họa bảng giá trị khởi tạo ma trận kiểm tra chẵn lẻ đối với ma trận kiểm tra chẵn lẻ H của mã LDPC với độ dài mã N là 64k bit và tỷ lệ mã hóa là $6/30$.

Fig.45 minh họa bảng giá trị khởi tạo ma trận kiểm tra chẵn lẻ đối với ma trận kiểm tra chẵn lẻ H của mã LDPC với độ dài mã N là 64k bit và tỷ lệ mã hóa là 7/30.

Fig.46 và Fig.47 minh họa bảng giá trị khởi tạo ma trận kiểm tra chẵn lẻ đối với ma trận kiểm tra chẵn lẻ H của mã LDPC với độ dài mã N là 64k bit và tỷ lệ mã hóa là 8/30.

Fig.48 và Fig.49 minh họa bảng giá trị khởi tạo ma trận kiểm tra chẵn lẻ đối với ma trận kiểm tra chẵn lẻ H của mã LDPC với độ dài mã N là 64k bit và tỷ lệ mã hóa là 9/30.

Fig.50 và Fig.51 minh họa bảng giá trị khởi tạo ma trận kiểm tra chẵn lẻ đối với ma trận kiểm tra chẵn lẻ H của mã LDPC với độ dài mã N là 64k bit và tỷ lệ mã hóa là 10/30.

Fig.52 và Fig.53 minh họa bảng giá trị khởi tạo ma trận kiểm tra chẵn lẻ đối với ma trận kiểm tra chẵn lẻ H của mã LDPC với độ dài mã N là 64k bit và tỷ lệ mã hóa là 11/30.

Fig.54 và Fig.55 minh họa bảng giá trị khởi tạo ma trận kiểm tra chẵn lẻ đối với ma trận kiểm tra chẵn lẻ H của mã LDPC với độ dài mã N là 64k bit và tỷ lệ mã hóa là 12/30.

Fig.56 và Fig.57 minh họa bảng giá trị khởi tạo ma trận kiểm tra chẵn lẻ đối với ma trận kiểm tra chẵn lẻ H của mã LDPC với độ dài mã N là 64k bit và tỷ lệ mã hóa là 13/30.

Fig.58 và Fig.59 minh họa bảng giá trị khởi tạo ma trận kiểm tra chẵn lẻ đối với ma trận kiểm tra chẵn lẻ H của mã LDPC với độ dài mã N là 64k bit và tỷ lệ mã hóa là 14/30.

Fig.60 và Fig.61 minh họa bảng giá trị khởi tạo ma trận kiểm tra chẵn lẻ đối với ma trận kiểm tra chẵn lẻ H của mã LDPC với độ dài mã N là 64k bit và tỷ lệ mã hóa là 15/30.

Fig.62, Fig.63, và Fig.64 minh họa bảng giá trị khởi tạo ma trận kiểm tra chẵn lẻ đối với ma trận kiểm tra chẵn lẻ H của mã LDPC với độ dài mã N là 64k bit và tỷ lệ mã hóa là 16/30.

Fig.65, Fig.66, và Fig.67 minh họa bảng giá trị khởi tạo ma trận kiểm tra chẵn lẻ đối với ma trận kiểm tra chẵn lẻ H của mã LDPC với độ dài mã N là 64k bit và tỷ lệ mã hóa là 17/30.

Fig.68, Fig.69, và Fig.70 minh họa bảng giá trị khởi tạo ma trận kiểm tra

chǎn lẻ đối với ma trận kiểm tra chǎn lẻ H của mã LDPC với độ dài mã N là 64k bit và tỷ lệ mã hóa là 18/30.

Fig.71, Fig.72, và Fig.73 minh họa bảng giá trị khởi tạo ma trận kiểm tra chǎn lẻ đối với ma trận kiểm tra chǎn lẻ H của mã LDPC với độ dài mã N là 64k bit và tỷ lệ mã hóa là 19/30.

Fig.74, Fig.75, và Fig.76 minh họa bảng giá trị khởi tạo ma trận kiểm tra chǎn lẻ đối với ma trận kiểm tra chǎn lẻ H của mã LDPC với độ dài mã N là 64k bit và tỷ lệ mã hóa là 20/30.

Fig.77, Fig.78, và Fig.79 minh họa bảng giá trị khởi tạo ma trận kiểm tra chǎn lẻ đối với ma trận kiểm tra chǎn lẻ H của mã LDPC với độ dài mã N là 64k bit và tỷ lệ mã hóa là 21/30.

Fig.80, Fig.81, và Fig.82 minh họa bảng giá trị khởi tạo ma trận kiểm tra chǎn lẻ đối với ma trận kiểm tra chǎn lẻ H của mã LDPC với độ dài mã N là 64k bit và tỷ lệ mã hóa là 22/30.

Fig.83, Fig.84, và Fig.85 minh họa bảng giá trị khởi tạo ma trận kiểm tra chǎn lẻ đối với ma trận kiểm tra chǎn lẻ H của mã LDPC với độ dài mã N là 64k bit và tỷ lệ mã hóa là 23/30.

Fig.86, Fig.87, và Fig.88 minh họa bảng giá trị khởi tạo ma trận kiểm tra chǎn lẻ đối với ma trận kiểm tra chǎn lẻ H của mã LDPC với độ dài mã N là 64k bit và tỷ lệ mã hóa là 24/30.

Fig.89, Fig.90, và Fig.91 minh họa bảng giá trị khởi tạo ma trận kiểm tra chǎn lẻ đối với ma trận kiểm tra chǎn lẻ H của mã LDPC với độ dài mã N là 64k bit và tỷ lệ mã hóa là 25/30.

Fig.92, Fig.93, và Fig.94 minh họa bảng giá trị khởi tạo ma trận kiểm tra chǎn lẻ đối với ma trận kiểm tra chǎn lẻ H của mã LDPC với độ dài mã N là 64k bit và tỷ lệ mã hóa là 26/30.

Fig.95, Fig.96, và Fig.97 minh họa bảng giá trị khởi tạo ma trận kiểm tra chǎn lẻ đối với ma trận kiểm tra chǎn lẻ H của mã LDPC với độ dài mã N là 64k bit và tỷ lệ mã hóa là 27/30.

Fig.99, Fig.100, Fig.101, và Fig.102 minh họa bảng giá trị khởi tạo ma trận kiểm tra chǎn lẻ đối với ma trận kiểm tra chǎn lẻ H của mã LDPC với độ dài mã N là 64k bit và tỷ lệ mã hóa là 28/30.

Fig.103, Fig.104, Fig.105, và Fig.106 minh họa bảng giá trị khởi tạo ma trận kiểm tra chǎn lẻ đối với ma trận kiểm tra chǎn lẻ H của mã LDPC với độ

dài mã N là 64k bit và tỷ lệ mã hóa là 29/30.

Bộ mã hóa LDPC 115 (Fig.8 và Fig.35) có thể thực hiện việc mã hóa thành bất kỳ mã LDPC (mới) với độ dài mã N là 64k trong số 28 loại tỷ lệ mã hóa r của 2/30 tới 29/30, bằng cách sử dụng ma trận kiểm tra chẵn lẻ H được tìm thấy từ các bảng giá trị khởi tạo ma trận kiểm tra chẵn lẻ được minh họa trên Fig.40 đến Fig.106.

Trong trường hợp này, các bảng giá trị khởi tạo ma trận kiểm tra chẵn lẻ được minh họa trên Fig.40 đến Fig.106 được lưu trữ trong bộ lưu trữ 602 của bộ mã hóa LDPC 115 (Fig.8).

Ở đây, tất cả mã LDPC với 28 loại tỷ lệ mã hóa r của 2/30 tới 29/30 (được thấy từ các bảng giá trị khởi tạo ma trận kiểm tra chẵn lẻ) trên Fig.40 đến Fig.106 không cần thiết phải được áp dụng như là LDPC mới. Tức là, đối với các mã LDPC với 28 loại tỷ lệ mã hóa r là 2/30 đến 29/30 trên Fig.40 đến Fig.106, các mã LDPC có một hoặc nhiều tỷ lệ mã hóa bất kỳ trong số chúng có thể được áp dụng như mã LDPC mới.

Mã LDPC thu được bằng cách sử dụng ma trận kiểm tra chẵn lẻ H được thấy từ các bảng giá trị khởi tạo ma trận kiểm tra chẵn lẻ trên Fig.40 đến Fig.106 là mã LDPC có hiệu năng tốt.

Ở đây, mã LDPC có hiệu năng tốt là mã LDPC thu được từ ma trận kiểm tra chẵn lẻ thích hợp H.

Ngoài ra, ma trận kiểm tra chẵn lẻ thích hợp H là ma trận kiểm tra chẵn lẻ mà thỏa mãn điều kiện định trước để làm cho BER (và FER) nhỏ hơn khi mã LDPC thu được từ ma trận kiểm tra chẵn lẻ H được truyền tại E_s/N_0 hoặc E_b/N_0 (tỷ số công suất tín hiệu trên tạp âm trên bit) thấp.

Ví dụ, ma trận kiểm tra chẵn lẻ thích hợp H có thể được tìm thấy bằng cách thực hiện mô phỏng để đo lường BER khi các mã LDPC thu được từ các ma trận kiểm tra chẵn lẻ khác nhau mà thỏa mãn điều kiện định trước được truyền tại E_s/N_0 thấp.

Như là điều kiện định trước cần được thỏa mãn bởi ma trận kiểm tra chẵn lẻ thích hợp H, ví dụ, kết quả phân tích thu được bởi phương pháp phân tích hiệu năng mã được gọi là việc phát triển mật độ (Density Evolution) là tuyệt vời, và vòng của các phần tử 1 không tồn tại, mà được gọi là vòng 4, và v.v.

Ở đây, trong ma trận thông tin H_A , đã biết rằng hiệu quả giải mã của mã LDPC bị suy giảm khi các phần tử 1 là có mật độ dày như vòng 4, và do đó có

yêu cầu rằng vòng 4 không tồn tại, như là điều kiện định trước cần được thỏa mãn bởi ma trận kiểm tra chẵn lẻ thích hợp H.

Ở đây, điều kiện định trước cần được thỏa mãn bởi ma trận kiểm tra chẵn lẻ thích hợp H có thể được xác định tùy ý từ điểm về cải thiện hiệu quả giải mã của mã LDPC và việc thuận tiện (đơn giản) về quy trình xử lý giải mã của mã LDPC, và v.v.

Fig.107 và Fig.108 là các sơ đồ để mô tả việc phát triển mật độ mà có thể thu được kết quả phân tích như là điều kiện định trước cần được thỏa mãn bởi ma trận kiểm tra chẵn lẻ thích hợp H.

Việc phát triển mật độ là phương pháp phân tích mã mà tính toán giá trị kỳ vọng của xác suất lỗi của toàn bộ mã LDPC (tập hợp) với độ dài mã N là ∞ khác biệt bởi trình tự cấp bậc được mô tả sau đây.

Ví dụ, khi giá trị phân tán của tạp âm được tăng đều đặn từ 0 trên kênh AWGN, giá trị kỳ vọng của xác suất lỗi của tập hợp bất kỳ là 0 đầu tiên, nhưng, khi giá trị phân tán của tạp âm trở thành bằng hoặc lớn hơn ngưỡng bất kỳ, nó không phải là 0.

Theo việc phát triển mật độ, bằng việc so sánh ngưỡng của giá trị phân tán của tạp âm (mà cũng có thể được gọi là ngưỡng hiệu năng) trong đó giá trị kỳ vọng của xác suất lỗi không phải là 0, có thể quyết định chất lượng của hiệu năng tập hợp (sự thích hợp của ma trận kiểm tra chẵn lẻ).

Ở đây, đối với mã LDPC cụ thể, khi tập hợp mà mã LDPC thuộc về đó được quyết định và việc phát triển mật độ được thực hiện đối với tập hợp, hiệu năng cao của mã LDPC có thể được kỳ vọng.

Do đó, nếu tập hợp có hiệu năng tốt được tìm thấy, mã LDPC có hiệu năng tốt có thể được tìm thấy từ các mã LDPC thuộc về tập hợp.

Ở đây, trình tự cấp bậc nêu trên thể hiện tai phần trăm nào nút biến thiên hoặc nút kiểm tra có trọng số của của mỗi giá trị tồn tại đối với độ dài mã N của mã LDPC.

Ví dụ, mã LDPC (3,6) đều đặn với tỷ lệ mã hóa là 1/2 thuộc về tập hợp khác biệt bởi trình tự cấp bậc trong đó trọng số (trọng số cột) của tất cả các nút biến thiên là 3 và trọng số (trọng số hàng) của tất cả nút kiểm tra là 6.

Fig.107 minh họa biểu đồ Tanner của tập hợp này.

Trong biểu đồ Tanner của Fig.107, có các nút biến thiên được thể hiện bởi các vòng tròn (ký hiệu O) trong sơ đồ chỉ bởi N đoạn bằng độ dài mã N, và

có các nút kiểm tra được thể hiện bởi các hình tứ giác (ký hiệu \square) chỉ bởi $N/2$ đoạn bằng giá trị phép nhân mà nhân tỷ lệ mã hóa $1/2$ với độ dài mã N .

Ba nhánh (biên) bằng trọng số cột được kết nối với mỗi nút biến thiên, và do đó có tổng $3N$ nhánh được kết nối với N nút biến thiên.

Ngoài ra, sáu nhánh (biên) bằng trọng số hàng được kết nối với mỗi nút kiểm tra, và do đó có tổng $3N$ nhánh được kết nối với $N/2$ nút kiểm tra.

Ngoài ra, có một bộ ghép xen trong biểu đồ Tanner trên Fig.107.

Bộ ghép xen một cách ngẫu nhiên sắp xếp lại $3N$ nhánh được kết nối với N nút biến thiên và kết nối mỗi nhánh được sắp xếp lại với bất kỳ $3N$ nhánh được kết nối với $N/2$ nút kiểm tra.

Có $(3N)! (= (3N) \times (3N-1) \times \dots \times 1)$ mẫu sắp xếp lại để sắp xếp lại $3N$ nhánh được kết nối với N nút biến thiên trong bộ ghép xen. Do đó, tập hợp khác biệt bởi trình tự cấp bậc trong đó trọng số của tất cả các nút biến thiên là 3 và trọng số của tất cả các nút kiểm tra là 6, trở thành kết hợp của $(3N)!$ mã LDPC.

Trong việc mô phỏng để tìm được mã LDPC có hiệu năng tốt (ma trận kiểm tra chẵn lẻ thích hợp), tập hợp của loại đa biên được sử dụng trong việc phát triển mật độ.

Trong loại đa biên, bộ ghép xen mà thông qua đó các nhánh được kết nối với các nút biến thiên và các nhánh được kết nối với các nút kiểm tra đi qua, được chia thành nhiều (đa biên), và, bằng cách này, tập hợp có đặc tính rõ ràng hơn.

Fig.108 minh họa ví dụ của biểu đồ Tanner của tập hợp của loại đa biên.

Trong biểu đồ Tanner của Fig.108, có hai bộ ghép xen là bộ ghép xen thứ nhất và bộ ghép xen thứ hai.

Ngoài ra, trong đồ thị biểu đồ Tanner của Fig.108, v1 nút biến thiên với một nhánh được kết nối với bộ ghép xen thứ nhất và không có nhánh được kết nối với bộ ghép xen thứ hai tồn tại, v2 nút biến thiên với một nhánh được kết nối với bộ ghép xen thứ nhất và hai nhánh được kết nối với bộ ghép xen thứ hai tồn tại, và v3 nút biến thiên với không nhánh được kết nối với bộ ghép xen thứ nhất và hai nhánh được kết nối với bộ ghép xen thứ hai tồn tại, một cách tương ứng.

Ngoài ra, trong đồ thị biểu đồ Tanner của Fig.108, c1 nút kiểm tra với hai nhánh được kết nối với bộ ghép xen thứ nhất và không có nhánh được kết nối với bộ ghép xen thứ hai tồn tại, c2 nút kiểm tra với hai nhánh được kết nối với bộ ghép xen thứ nhất và hai nhánh được kết nối với bộ ghép xen thứ hai tồn

tại, và c3 nút kiểm tra với không nhánh được kết nối với bộ ghép xen thứ nhất và ba nhánh được kết nối với bộ ghép xen thứ hai tồn tại, một cách tương ứng.

Ở đây, ví dụ, phát triển mật độ và việc lắp đặt của nó được mô tả trong "On Design of Low-Density Parity-Check Codes within 0.0045 dB of Shannon Limit", S.Y.Chung, G.D.Forney, T.J.Richardson, R.Urbanke, IEEE Communications Leggers, VOL.5, NO.2, Feb 2001.

Trong việc mô phỏng để tìm được (bảng giá trị khởi tạo ma trận kiểm tra chẵn lẻ) mã LDPC mới, bởi đánh giá mật độ của loại đa biến, tập hợp trong đó ngưỡng hiệu năng mà là E_b/N_0 (tỷ số công suất tín hiệu trên tạp âm trên bit) có suy giảm (làm giảm) BER là bằng hoặc nhỏ hơn giá trị định trước được tìm thấy, và mã LDPC mà làm giảm BER trong các phương pháp điều biến được sử dụng trong DVB-S.2 hoặc loại tương tự như QPSK được lựa chọn từ các mã LDPC thuộc về tập hợp như là mã LDPC có hiệu năng tốt.

Bảng giá trị khởi tạo ma trận kiểm tra chẵn lẻ nêu trên của mã LDPC mới là bảng giá trị khởi tạo ma trận kiểm tra chẵn lẻ của mã LDPC với độ dài mã N là 64k bit được tìm thấy từ mô phỏng nêu trên.

Fig.109 là sơ đồ minh họa độ dài vòng nhỏ nhất và ngưỡng hiệu năng của ma trận kiểm tra chẵn lẻ H được tìm thấy từ các bảng giá trị khởi tạo ma trận kiểm tra chẵn lẻ của các mã LDPC mới với 28 loại tỷ lệ mã hóa là 2/30 tới 29/30 và độ dài mã N là 64k bit trên Fig.40 đến Fig.106.

Ở đây, độ dài vòng lặp nhỏ nhất (girth) nghĩa là giá trị nhỏ nhất của độ dài của vòng lặp (độ dài vòng lặp) được tạo thành với các phần tử 1 trong ma trận kiểm tra chẵn lẻ H.

Trong ma trận kiểm tra chẵn lẻ H được tìm thấy từ bảng giá trị khởi tạo ma trận kiểm tra chẵn lẻ của mã LDPC mới, vòng 4 (vòng lặp của các phần tử 1 với độ dài vòng lặp là 4) không tồn tại.

Ngoài ra, do độ dư thừa của mã LDPC trở nên lớn hơn khi tỷ lệ mã hóa r trở thành nhỏ hơn, ngưỡng hiệu năng có xu hướng cải thiện (giảm) khi tỷ lệ mã hóa r giảm.

Fig.110 là sơ đồ minh họa ma trận kiểm tra chẵn lẻ H (mà có thể được gọi là ma trận kiểm tra chẵn lẻ mã LDPC mới H) của Fig.40 đến Fig.106 (mà được tìm thấy từ bảng giá trị khởi tạo ma trận kiểm tra chẵn lẻ).

Trọng số cột là X đối với cột KX từ cột thứ nhất của ma trận kiểm tra chẵn lẻ mã LDPC mới H, trọng số cột là Y1 đối với cột KY1 tiếp theo, trọng số

cột là Y2 đối với cột KY2 tiếp theo, trọng số cột là 2 đối với cột M-1 tiếp theo, và trọng số cột là 1 đối với cột cuối cùng.

Ở đây, $KX+KY1+KY2+M-1+1$ là băng độ dài mã là $N=64800$ bit.

Fig.111 là sơ đồ minh họa các số cột KX, KY1, KY2 và M và các trọng số cột X, Y1 và Y2 trên Fig.110, đối với mỗi tỷ lệ mã hóa r của mã LDPC mới.

Đối với ma trận kiểm tra chẵn lẻ mã LDPC mới H với độ dài mã N là 64k, tương tự ma trận kiểm tra chẵn lẻ được mô tả trên Fig.12 và Fig.13, trọng số cột có xu hướng lớn hơn trong cột gần về phía đầu (phía trái) hơn, và do đó bit mã gần phần đầu của mã LDPC mới có xu hướng chịu lỗi tốt hơn (có khả năng chịu lỗi).

Ở đây, lượng dịch q của dịch vòng, mà được thực hiện khi ma trận kiểm tra chẵn lẻ được tìm thấy từ bảng giá trị khởi tạo ma trận kiểm tra chẵn lẻ của mã LDPC mới với độ dài mã N là 64k như được mô tả trên Fig.38, được biểu diễn bởi biểu thức $q=M/P=M/360$.

Do đó, các lượng dịch của các mã LDPC mới với các tỷ lệ mã hóa là $2/30, 3/30, 4/30, 5/30, 6/30, 7/30, 8/30, 9/30, 10/30, 11/30, 12/30, 13/30, 14/30, 15/30, 16/30, 17/30, 18/30, 19/30, 20/30, 21/30, 22/30, 23/30, 24/30, 25/30, 26/30, 27/30, 28/30$ và $29/30$ là $168, 162, 156, 150, 144, 138, 132, 126, 120, 114, 108, 102, 96, 90, 84, 78, 72, 66, 60, 54, 48, 42, 36, 30, 24, 18, 12$ và 6, một cách tương ứng.

Fig.112, Fig.113 và Fig.114 là các sơ đồ minh họa kết quả mô phỏng của BER/FER của các mã LDPC mới của Fig.40 đến Fig.106.

Theo mô phỏng, đường (kênh) truyền thông của AWGN được giả thiết, BPSK được áp dụng như là phương pháp điều biến và 50 lần được áp dụng như là số giải mã lặp lại C(it).

Trên Fig.112, Fig.113 và Fig.114, trục ngang thể hiện E_s/N_0 và trục dọc thể hiện BER/FER. Ở đây, đường liền thể hiện BER và đường chấm thể hiện FER.

Đối với các đường cong FER (BER) của các mã LDPC mới tương ứng với 28 loại tỷ lệ mã hóa là $2/30$ tới $29/30$ trên Fig.112 đến Fig.114, FER là bằng hoặc nhỏ hơn 10^{-5} trong dải (khoảng) 15 dB của E_s/N_0 từ (gần) -10 dB đến 5 dB.

Theo việc mô phỏng, do có thể thiết lập 28 đoạn của ModCod trong đó FER là bằng hoặc nhỏ hơn 10^{-5} trong dải 15 dB trong đó E_s/N_0 là từ -10 dB đến 5dB, bằng cách xem xét các phương pháp điều biến khác nhau như QPSK,

8PSK, 16APSK, 32APSK, 16QAM, 32QAM và 64QAM ngoài BPSK được sử dụng trong việc mô phỏng, có mong muốn rằng có thể thiết lập 20 đoạn ModCod hoặc nhiều hơn trong đó FER là bằng hoặc nhỏ hơn 10^{-5} trong dải 7 dB từ 5 dB đến 12 dB.

Do đó, có thể cung cấp mã LDPC có tỷ lệ lỗi tốt, mà thỏa mãn yêu cầu thứ nhất của CfT.

Ngoài ra, theo Fig.112 đến Fig.114, hầu hết tất cả các đường cong FER (BER) được sắp xếp tại các khoảng cách tương đối bằng nhau đối với mỗi nhóm với các tỷ lệ mã hóa là thấp, trung bình và cao tại các khoảng cách nhỏ hơn 1 dB. Do đó, đối với các nhà quảng bá mà quảng bá chương trình bởi thiết bị truyền 11, có ưu điểm rằng mã LDPC mới dễ dàng lựa chọn tỷ lệ mã hóa được sử dụng cho việc quảng bá theo việc mô phỏng của kênh (đường truyền thông 13), và v.v.

Ở đây, theo việc mô phỏng để tìm được các đường cong BER/FER trên Fig.112 đến Fig.114, thông tin được đưa vào mã hóa BCH và mã BCH thu được như là kết quả được đưa vào mã hóa LDPC.

Fig.115 là sơ đồ minh họa việc mã hóa BCH được sử dụng cho việc mô phỏng.

Tức là, phần A của Fig.115 là sơ đồ minh họa các tham số của việc mã hóa BCH được thực hiện trước khi mã hóa LDPC đối với mã LDPC của 64k được xác định trong DVB-S.2.

Trong DVB-S.2, bằng cách gán các bit dư thừa của 192 bit, 160 bit hoặc 128 bit theo tỷ lệ mã hóa của mã LDPC, việc mã hóa BCH mà cho phép sửa lỗi của 12 bit, 10 bit hoặc 8 bit được thực hiện.

Phần B của Fig.115 là sơ đồ minh họa các tham số của việc mã hóa BCH được sử dụng cho việc mô phỏng.

Theo mô phỏng, tương tự như trường hợp của DVB-S.2, bằng cách gán các bit dư thừa của 192 bit, 160 bit hoặc 128 bit theo tỷ lệ mã hóa của mã LDPC, việc mã hóa BCH mà cho phép sửa lỗi của 12 bit, 10 bit hoặc 8 bit được thực hiện.

Ví dụ cấu hình của thiết bị thu 12

Fig.116 là sơ đồ khối minh họa ví dụ cấu hình của thiết bị thu 12 của Fig.7.

Bộ thao tác OFDM 151 thu tín hiệu OFDM từ thiết bị truyền 11 (Fig.7) và thực hiện quy trình xử lý tín hiệu của tín hiệu OFDM. Dữ liệu (ký hiệu) mà

thu được bằng cách thực hiện quy trình xử lý tín hiệu bởi bộ thao tác OFDM 151 được cấp tới bộ quản lý khung 152.

Bộ quản lý khung 152 thực hiện quy trình xử lý (diễn dịch khung) của khung được cấu hình bởi ký hiệu được cấp từ bộ thao tác OFDM 151 và cấp ký hiệu của dữ liệu đích thu được như là kết quả và ký hiệu của báo hiệu tới các bộ giải ghép xen tần số 161 và 153.

Bộ giải ghép xen tần số 153 thực hiện việc giải ghép xen tần số theo đơn vị của ký hiệu, đối với ký hiệu được cấp từ bộ quản lý khung 152, và cấp ký hiệu tới bộ giải mã QAM 154.

Bộ giải mã QAM 154 giải ánh xạ (giải mã sắp xếp điểm tín hiệu) ký hiệu (ký hiệu được sắp xếp trên điểm tín hiệu) được cấp từ bộ giải ghép xen tần số 153, thực hiện giải điều biến trực giao, và cấp dữ liệu (mã LDPC) thu được như là kết quả tới bộ giải mã LDPC 155.

Bộ giải mã LDPC 155 thực hiện giải mã LDPC của mã LDPC được cấp từ bộ giải mã QAM 154 và cấp dữ liệu đích LDPC (trong trường hợp này, mã BCH) thu được như là kết quả tới bộ giải mã BCH 156.

Bộ giải mã BCH 156 thực hiện giải mã BCH của dữ liệu đích LDPC được cấp từ bộ giải mã LDPC 155 và xuất ra dữ liệu điều khiển (báo hiệu) thu được như là kết quả.

Trong khi đó, bộ giải ghép xen tần số 161 thực hiện giải ghép xen tần số theo đơn vị của ký hiệu, đối với ký hiệu được cấp từ bộ quản lý khung 152, và cấp ký hiệu tới bộ giải mã MISO/MIMO 162.

Bộ giải mã MISO/MIMO 162 thực hiện giải mã theo không gian thời gian của dữ liệu (ký hiệu) được cấp từ bộ giải ghép xen tần số 161 và cấp dữ liệu tới bộ giải ghép xen thời gian 163.

Bộ giải ghép xen thời gian 163 thực hiện việc giải ghép xen thời gian theo đơn vị của ký hiệu, đối với dữ liệu (ký hiệu) được cấp từ bộ giải mã MISO/MIMO 162, và cấp dữ liệu tới bộ giải mã QAM 164.

Bộ giải mã QAM 164 giải ánh xạ (giải mã sắp xếp điểm tín hiệu) ký hiệu (ký hiệu được sắp xếp trên điểm tín hiệu) được cấp từ bộ giải ghép xen thời gian 163, thực hiện giải điều biến trực giao, và cấp dữ liệu (ký hiệu) thu được như là kết quả tới bộ giải ghép xen bit 165.

Bộ giải ghép xen bit 165 thực hiện việc giải ghép xen bit của dữ liệu (ký hiệu) được cấp từ bộ giải mã QAM 164 và cấp mã LDPC thu được như là kết

quả tới bộ giải mã LDPC 166.

Bộ giải mã LDPC 166 thực hiện giải mã LDPC của mã LDPC được cấp từ bộ giải ghép xen bit 165 và cấp dữ liệu đích LDPC (trong trường hợp này, mã BCH) thu được như là kết quả tới bộ giải mã BCH 167.

Bộ giải mã BCH 167 thực hiện giải mã BCH của dữ liệu đích LDPC được cấp từ bộ giải mã LDPC 155 và cấp dữ liệu thu được như là kết quả tới bộ giải xáo trộn BB 168.

Bộ giải xáo trộn BB 168 thực hiện giải xáo trộn BB đối với dữ liệu được cấp từ bộ giải mã BCH 167 và cấp dữ liệu thu được như là kết quả tới bộ xóa rỗng 169.

Bộ xóa rỗng 169 xóa dữ liệu rỗng được chèn bởi bộ đệm 112 của Fig.8, từ dữ liệu được cấp từ bộ giải xáo trộn BB 168, và cấp dữ liệu này tới bộ giải ghép kênh 170.

Bộ giải ghép kênh 170 tách biệt một hoặc nhiều dòng (dữ liệu đích) được ghép kênh với dữ liệu được cấp từ bộ xóa rỗng 169, thực hiện quy trình xử lý cần thiết để xuất ra các dòng như là các dòng đầu ra.

Ở đây, thiết bị thu 12 có thể có cấu hình mà không bao gồm một phần của các khối được minh họa trên Fig.116. Tức là, ví dụ, trong trường hợp mà thiết bị truyền 11 (Fig.8) có cấu hình mà không bao gồm bộ ghép xen thời gian 118, bộ mã hóa MISO/MIMO 119, bộ ghép xen tần số 120 và bộ ghép xen tần số 124, thiết bị thu 12 có thể có cấu hình mà không bao gồm bộ giải ghép xen thời gian 163, bộ giải mã MISO/MIMO 162, bộ giải ghép xen tần số 161 và bộ giải ghép xen tần số 153 mà là các khối lần lượt tương ứng với bộ ghép xen thời gian 118, bộ mã hóa MISO/MIMO 119, bộ ghép xen tần số 120 và bộ ghép xen tần số 124 của thiết bị truyền 11.

Fig.117 là sơ đồ khối minh họa ví dụ cấu hình của bộ giải ghép xen bit 165 của Fig.116.

Bộ giải ghép xen bit 165 bao gồm bộ ghép kênh (MUX) 54 và bộ giải ghép xen xoắn cột 55 và thực hiện việc giải ghép xen (bit) của các bit ký hiệu của ký hiệu được cấp từ bộ giải mã QAM 164 (Fig.116).

Tức là, bộ ghép kênh 54 thực hiện quy trình xử lý hoán đổi ngược (quy trình xử lý ngược về quy trình xử lý hoán đổi) tương ứng với quy trình xử lý hoán đổi được thực hiện bởi bộ giải ghép kênh 25 của Fig.9, tức là, quy trình xử lý hoán đổi ngược để trả lại các vị trí của các bit mã (các bit ký hiệu) của các mã

LDPC được hoán đổi bởi quy trình xử lý hoán đổi thành các vị trí gốc, đổi với các bit ký hiệu của ký hiệu được cấp từ bộ giải mã QAM 164, và cấp mã LDPC thu được như là kết quả tới bộ giải ghép xen xoắn cột 55.

Bộ giải ghép xen xoắn cột 55 thực hiện việc giải ghép xen xoắn cột (quy trình xử lý ngược của việc ghép xen xoắn cột) tương ứng với việc ghép xen xoắn cột như là quy trình xử lý sắp xếp lại được thực hiện bởi bộ ghép xen xoắn cột 24 của Fig.9, tức là, việc giải ghép xen xoắn cột như là quy trình xử lý sắp xếp lại ngược để trả lại các bit mã của các mã LDPC mà cách bố trí của nó được thay đổi bởi việc ghép xen xoắn cột như là quy trình xử lý sắp xếp lại thành cách bố trí gốc, đổi với mã LDPC được cấp từ bộ ghép kênh 54.

Cụ thể, bộ giải ghép xen xoắn cột 55 ghi các bit mã của mã LDPC tới bộ nhớ cho việc giải ghép xen có cùng cấu hình như bộ nhớ 31 được minh họa trên Fig.28, đọc các bit mã, và thực hiện việc giải ghép xen xoắn cột.

Tuy nhiên, trong bộ giải ghép xen xoắn cột 55, việc ghi của các bit mã được thực hiện theo chiều hàng của bộ nhớ cho việc giải ghép xen, sử dụng các địa chỉ đọc khi các bit mã được đọc từ bộ nhớ 31 như các địa chỉ ghi. Ngoài ra, việc đọc của các bit mã được thực hiện theo chiều cột của bộ nhớ cho việc giải ghép xen, sử dụng các địa chỉ ghi khi các bit mã được ghi tới bộ nhớ 31 như các địa chỉ đọc.

Mã LDPC mà thu được như là kết quả của việc giải ghép xen xoắn cột được cấp từ bộ giải ghép xen xoắn cột 55 tới bộ giải mã LDPC 166.

Ở đây, trong trường hợp mà việc ghép xen chẵn lẻ, việc ghép xen xoắn cột và quy trình xử lý hoán đổi được thực hiện trên mã LDPC được cấp từ bộ giải mã QAM 164 tới bộ giải ghép xen bit 165, tất cả việc giải ghép xen chẵn lẻ (quy trình xử lý ngược với việc ghép xen chẵn lẻ, tức là, giải ghép xen chẵn lẻ mà trả lại các bit mã của mã LDPC trong đó cách bố trí được thay đổi bởi việc ghép xen chẵn lẻ thành cách bố trí gốc) tương ứng với việc ghép xen chẵn lẻ, quy trình xử lý hoán đổi ngược tương ứng với quy trình xử lý hoán đổi và giải ghép xen xoắn cột tương ứng với việc ghép xen xoắn cột có thể được thực hiện trong bộ giải ghép xen bit 165.

Tuy nhiên, bộ giải ghép xen bit 165 trên Fig.117 bao gồm bộ ghép kênh 54 mà thực hiện quy trình xử lý hoán đổi ngược tương ứng với quy trình xử lý hoán đổi và bộ giải ghép xen xoắn cột 55 mà thực hiện việc giải ghép xen xoắn cột tương ứng với việc ghép xen xoắn cột, nhưng không bao gồm khối mà thực

hiện việc giải ghép xen chǎn lẻ tương ứng với việc ghép xen chǎn lẻ, và việc giải ghép xen chǎn lẻ không được thực hiện.

Do đó, mã LDPC trong đó quy trình xử lý hoán đổi ngược và việc giải ghép xen xoắn cột được thực hiện và việc giải ghép xen chǎn lẻ không được thực hiện được cấp từ (bộ giải ghép xen xoắn cột 55) bộ giải ghép xen bit 165 tới bộ giải mã LDPC 166.

Bộ giải mã LDPC 166 thực hiện giải mã LDPC của mã LDPC được cấp từ bộ giải ghép xen bit 165, sử dụng ma trận kiểm tra chǎn lẻ được biến đổi thu được bằng cách thực hiện ít nhất việc thay thế cột tương ứng với việc ghép xen chǎn lẻ đối với ma trận kiểm tra chǎn lẻ H được sử dụng bởi bộ mã hóa LDPC 115 của Fig.8 để thực hiện mã hóa LDPC, và xuất ra dữ liệu thu được như là kết quả tới kết quả giải mã của dữ liệu đích LDPC.

Fig.118 là lưu đồ minh họa quy trình xử lý mà được thực hiện bởi bộ giải mã QAM 164, bộ giải ghép xen bit 165, và bộ giải mã LDPC 166 của Fig.117.

Trong bước S111, bộ giải mã QAM 164 giải ánh xạ ký hiệu (ký hiệu được ánh xạ tới điểm tín hiệu) được cấp từ bộ giải ghép xen thời gian 163, thực hiện điều biến trực giao, và cấp ký hiệu tới bộ giải ghép xen bit 165, và quy trình xử lý chuyển sang bước S112.

Trong bước S112, bộ giải ghép xen bit 165 thực hiện việc giải ghép xen (giải ghép xen bit) của các bit ký hiệu của ký hiệu được cấp từ bộ giải mã QAM 164 và quy trình xử lý chuyển sang bước S113.

Tức là, trong bước S112, trong bộ giải ghép xen bit 165, bộ ghép kênh 54 thực hiện quy trình xử lý hoán đổi ngược đối với các bit ký hiệu của ký hiệu được cấp từ bộ giải mã QAM 164 và cấp các bit mã của mã LDPC thu được như là kết quả tới bộ giải ghép xen xoắn cột 55.

Bộ giải ghép xen xoắn cột 55 thực hiện việc giải ghép xen xoắn cột đối với mã LDPC được cấp từ bộ ghép kênh 54 và cấp mã LDPC thu được như là kết quả tới bộ giải mã LDPC 166.

Trong bước S113, bộ giải mã LDPC 166 thực hiện giải mã LDPC của mã LDPC được cấp từ bộ giải ghép xen xoắn cột 55, nhờ sử dụng ma trận kiểm tra chǎn lẻ được biến đổi thu được bằng cách thực hiện ít nhất việc thay thế cột tương ứng với việc ghép xen chǎn lẻ đối với ma trận kiểm tra chǎn lẻ H được sử dụng bởi bộ mã hóa LDPC 115 của Fig.8 để thực hiện mã hóa LDPC, và xuất ra dữ liệu thu được như là kết quả, như là kết quả giải mã của dữ liệu đích LDPC,

tới bộ giải mã BCH 167.

Trên Fig.117, nhằm thuận tiện cho việc giải thích, bộ ghép kênh 54 mà thực hiện quy trình xử lý hoán đổi ngược và bộ giải ghép xen xoắn cột 55 mà thực hiện việc giải ghép xen xoắn cột có cấu hình riêng biệt, tương tự như trường hợp của Fig.9. Tuy nhiên, bộ ghép kênh 54 và bộ giải ghép xen xoắn cột 55 có thể có cấu hình nguyên khôi.

Trong bộ ghép xen bit 116 của Fig.9, khi việc ghép xen xoắn cột không được thực hiện, không cần thiết bố trí bộ giải ghép xen xoắn cột 55 trong bộ giải ghép xen bit 165 của Fig.117.

Tiếp theo, việc giải mã LDPC mà được thực hiện bởi bộ giải mã LDPC 166 của Fig.116 sẽ còn được mô tả.

Trong bộ giải mã LDPC 166 của Fig.116, như được mô tả nêu trên, việc giải mã LDPC của mã LDPC từ bộ giải ghép xen xoắn cột 55, trong đó quy trình xử lý hoán đổi ngược và việc giải ghép xen xoắn cột được thực hiện và việc giải ghép xen chẵn lẻ không được thực hiện, được thực hiện sử dụng ma trận kiểm tra chẵn lẻ được biến đổi thu được bằng cách thực hiện ít nhất việc thay thế cột tương ứng với việc ghép xen chẵn lẻ đối với ma trận kiểm tra chẵn lẻ H được sử dụng bởi bộ mã hóa LDPC 115 của Fig.8 để thực hiện mã hóa LDPC.

Trong trường hợp này, việc giải mã LDPC mà có thể làm giảm tần suất thao tác tại dải có thể thực hiện đủ trong khi làm giảm tỷ lệ mạch, bằng cách thực hiện việc giải mã LDPC sử dụng ma trận kiểm tra chẵn lẻ được biến đổi, được đề xuất trước đó (ví dụ, viện dẫn tới JP 4224777B).

Do đó, đầu tiên, việc giải mã LDPC được đề xuất trước đó sử dụng ma trận kiểm tra chẵn lẻ được biến đổi sẽ được mô tả có viện dẫn tới các Fig.119 tới 122.

Fig.119 minh họa ví dụ của ma trận kiểm tra chẵn lẻ H của mã LDPC trong đó độ dài mã N là 90 và tỷ lệ mã hóa là 2/3.

Trên Fig.119 (và Fig.120 và Fig.121 được mô tả sau đây), 0 được biểu diễn bởi đoạn (.).

Trong ma trận kiểm tra chẵn lẻ H của Fig.119, ma trận chẵn lẻ trở thành cấu hình bậc thang.

Fig.120 minh họa ma trận kiểm tra chẵn lẻ H' mà đạt được bằng cách thực hiện thay thế hàng của biểu thức (11) và thay thế cột của biểu thức (12) đối với ma trận kiểm tra chẵn lẻ H của Fig.119.

Thay thế hàng: hàng thứ $(6s + t + 1) \rightarrow$ hàng thứ $(5t + s + 1) \dots (11)$

Thay thế cột: cột thứ $(6x + y + 61) \rightarrow$ cột thứ $(5y + x + 61) \dots (12)$

Trong các biểu thức (11) và (12), s, t, x, y là các số nguyên trong dải $0 \leq s < 5, 0 \leq t < 6, 0 \leq x < 5, 0 \leq y < 6$, một cách tương ứng.

Theo việc thay thế hàng của biểu thức (11), việc thay thế được thực hiện sao cho các hàng thứ 1, 7, 13, 19, và 25 có các số dư là 1 khi được chia cho 6 được thay thế bởi các hàng thứ 1, 2, 3, 4, và 5, và các hàng thứ 2, 8, 14, 20, và 26 có các số dư là 2 khi được chia cho 6 được thay thế bởi các hàng thứ 6, 7, 8, 9, và 10, một cách tương ứng.

Theo việc thay thế cột của biểu thức (12), việc thay thế được thực hiện sao cho các cột thứ 61, 67, 73, 79, và 85 có các số dư là 1 khi được chia cho 6 được thay thế bởi các cột thứ 61, 62, 63, 64, và 65, một cách tương ứng, và các cột thứ 62, 68, 74, 80, và 86 có các số dư là 2 khi được chia cho 6 được thay thế bởi các cột thứ 66, 67, 68, 69, và 70, một cách tương ứng, đối với các cột thứ 61 và sau đó (ma trận chẵn lẻ).

Theo cách này, ma trận mà thu được bằng cách thực hiện các thay thế của các hàng và các cột đối với ma trận kiểm tra chẵn lẻ H của Fig.119 là ma trận kiểm tra chẵn lẻ H' của Fig.120.

Trong trường hợp này, ngay cả khi việc thay thế hàng của ma trận kiểm tra chẵn lẻ H được thực hiện, cách bố trí của các bit mã của mã LDPC không bị ảnh hưởng.

Việc thay thế cột của biểu thức (12) tương ứng với việc ghép xen chẵn lẻ để ghép xen bit mã thứ $(K + qx + y + 1)$ vào vị trí của bit mã thứ $(K + Py + x + 1)$, khi độ dài thông tin K là 60, số cột P của đơn vị của cấu hình vòng là 5, và số chia $q (= M/P)$ của độ dài chẵn lẻ M (trong trường hợp này, 30) là 6.

Do đó, ma trận kiểm tra chẵn lẻ H' trên Fig.120 là ma trận kiểm tra chẵn lẻ được biến đổi thu được bằng cách thực hiện ít nhất việc thay thế cột mà thay thế cột thứ $K+qx+y+1$ của ma trận kiểm tra chẵn lẻ H trên Fig.119 (mà có thể được gọi tùy ý là ma trận kiểm tra chẵn lẻ gốc dưới đây) bằng cột thứ $K+Py+x+1$.

Nếu ma trận kiểm tra chẵn lẻ H' của Fig.120 được nhân với kết quả thu được bằng cách thực hiện cùng việc thay thế như biểu thức (12) đối với mã LDPC của ma trận kiểm tra chẵn lẻ H của Fig.119, vectơ zero được xuất ra. Tức là, nếu vectơ hàng thu được bằng cách thực hiện việc thay thế cột của biểu thức

(12) đối với vectơ hàng c như là mã LDPC (một từ mã) của ma trận kiểm tra chẵn lẻ gốc H được biểu diễn như là c' , HcT trở thành vectơ zero từ đặc tính của ma trận kiểm tra chẵn lẻ. Do đó, $H'c'T$ một cách tự nhiên trở thành vectơ zero.

Do đó, ma trận kiểm tra chẵn lẻ được biến đổi H' của Fig.120 trở thành ma trận kiểm tra chẵn lẻ của mã LDPC c' mà thu được bằng cách thực hiện việc thay thế cột của biểu thức (12) đối với mã LDPC c của ma trận kiểm tra chẵn lẻ gốc H .

Do đó, việc thay thế cột của biểu thức (12) được thực hiện đổi với mã LDPC của ma trận kiểm tra chẵn lẻ gốc H , mã LDPC c' sau khi thay thế cột được giải mã (giải mã LDPC) sử dụng ma trận kiểm tra chẵn lẻ được biến đổi H' của Fig.120, việc thay thế ngược của việc thay thế cột của biểu thức (12) được thực hiện đổi với kết quả giải mã, và kết quả giải mã tương tự như trường hợp trong đó mã LDPC của ma trận kiểm tra chẵn lẻ gốc H được giải mã sử dụng ma trận kiểm tra chẵn lẻ H có thể thu được.

Fig.121 minh họa ma trận kiểm tra chẵn lẻ được biến đổi H' của Fig.120 được cách nhau theo các đơn vị của các ma trận 5×5 .

Trên Fig.121, ma trận kiểm tra chẵn lẻ được biến đổi H' được biểu diễn bởi kết hợp của ma trận đơn vị 5×5 ($= p \times p$), ma trận (sau đây, được gọi là ma trận cận đơn vị) thu được bằng cách thiết lập một hoặc nhiều 1 của ma trận đơn vị thành zero, ma trận (sau đây, được gọi là ma trận được dịch chuyển) thu được bằng cách dịch vòng ma trận đơn vị hoặc ma trận cận đơn vị, tổng (sau đây, được gọi là ma trận tổng) của hai hoặc nhiều hơn các ma trận của ma trận đơn vị, ma trận cận đơn vị, và ma trận được dịch chuyển, và ma trận zero 5×5 .

Ma trận kiểm tra chẵn lẻ được biến đổi H' của Fig.121 có thể được cấu hình nhờ sử dụng ma trận đơn vị 5×5 , ma trận cận đơn vị, ma trận được dịch chuyển, ma trận tổng, và ma trận zero. Do đó, các ma trận 5×5 (ma trận đơn vị, ma trận cận đơn vị, ma trận được dịch chuyển, ma trận tổng, và ma trận zero) mà cấu thành ma trận kiểm tra chẵn lẻ được biến đổi H' sau đây gọi là các ma trận liên tục sau đây.

Khi mã LDPC được biểu diễn bởi ma trận kiểm tra chẵn lẻ được biểu diễn bởi các ma trận liên tục $P \times P$ được giải mã, cấu hình trong đó P phép toán nút kiểm tra và phép toán nút biến thiên được thực hiện đồng thời có thể được sử dụng.

Fig.122 là sơ đồ khối minh họa ví dụ cấu hình của thiết bị giải mã mà

thực hiện việc giải mã.

Tức là, Fig.122 minh họa ví dụ cấu hình của thiết bị giải mã mà thực hiện việc giải mã của mã LDPC, sử dụng ma trận kiểm tra chẵn lẻ được biến đổi H' của Fig.119 thu được bằng cách thực hiện ít nhất việc thay thế cột của biểu thức (12) đối với ma trận kiểm tra chẵn lẻ gốc H của Fig.121.

Thiết bị giải mã của Fig.122 bao gồm bộ nhớ lưu trữ dữ liệu nhánh 300 mà bao gồm 6 FIFO 300₁ tới 300₆, bộ lựa chọn 301 mà lựa chọn các FIFO 300₁ tới 300₆, bộ tính toán nút kiểm tra 302, hai mạch dịch vòng 303 và 308, bộ nhớ lưu trữ dữ liệu nhánh 304 mà bao gồm 18 FIFO 304₁ tới 304₁₈, bộ lựa chọn 305 mà lựa chọn các FIFO 304₁ tới 304₁₈, bộ nhớ dữ liệu thu 306 mà lưu trữ dữ liệu thu, bộ tính toán nút biến thiên 307, bộ tính toán từ giải mã 309, bộ sắp xếp lại dữ liệu thu 310, và bộ sắp xếp lại dữ liệu được giải mã 311.

Đầu tiên, phương pháp lưu trữ dữ liệu trong các bộ nhớ lưu trữ dữ liệu nhánh 300 và 304 sẽ được mô tả.

Bộ nhớ lưu trữ dữ liệu nhánh 300 bao gồm 6 FIFO 300₁ tới 300₆ mà tương ứng với số thu được bằng cách chia số hàng 30 của ma trận kiểm tra chẵn lẻ được biến đổi H' của Fig.121 bởi số hàng 5 của ma trận liên tục (số cột P của đơn vị của cấu hình vòng). FIFO 300_y ($y = 1, 2, \dots, 6$) bao gồm các bước của các vùng lưu trữ. Trong vùng lưu trữ của mỗi bước, các tin nhắn tương ứng với năm nhánh là số hàng và số cột của ma trận liên tục (số cột P của đơn vị của cấu hình vòng) có thể được đọc hoặc ghi cùng lúc. Số lượng các bước của các vùng lưu trữ của FIFO 300_y trở thành 9 là số lớn nhất của số (trọng số Hamming) của 1 của chiều hàng của ma trận kiểm tra chẵn lẻ được biến đổi của Fig.121.

Trong FIFO 300₁, dữ liệu (các tin nhắn v_i từ các nút biến thiên) tương ứng với các vị trí của 1 trong các hàng thứ nhất đến thứ năm của ma trận kiểm tra chẵn lẻ được biến đổi H' của Fig.121 được lưu trữ dưới dạng điền đầy mỗi hàng theo chiều ngang (dạng trong đó 0 được bỏ qua). Tức là, nếu hàng thứ j và cột thứ i được biểu diễn là (j, i) , dữ liệu tương ứng với các vị trí của 1 của ma trận đơn vị 5×5 của $(1, 1)$ đến $(5, 5)$ của ma trận kiểm tra chẵn lẻ được biến đổi H' được lưu trữ trong vùng lưu trữ của bước thứ nhất của FIFO 300₁. Trong vùng lưu trữ của bước thứ hai, dữ liệu tương ứng với các vị trí của 1 của ma trận được dịch chuyển (ma trận được dịch chuyển thu được bằng cách dịch vòng ma trận đơn vị 5×5 sang phía phải bởi 3) của $(1, 21)$ đến $(5, 25)$ của ma trận kiểm tra chẵn lẻ được biến đổi H' được lưu trữ. Tương tự trường hợp nêu trên, trong

các vùng lưu trữ của các bước thứ ba đến thứ tám, dữ liệu được lưu trữ kết hợp với ma trận kiểm tra chẵn lẻ được biến đổi H' . Trong vùng lưu trữ của bước thứ chín, dữ liệu tương ứng với các vị trí của 1 của ma trận được dịch chuyển (ma trận được dịch chuyển thu được bằng cách thay thế 1 của hàng thứ nhất của ma trận đơn vị 5×5 bằng 0 và dịch vòng ma trận đơn vị sang phía trái bởi 1) của (1, 86) tới (5, 90) của ma trận kiểm tra chẵn lẻ được biến đổi H' được lưu trữ.

Trong FIFO 300₂, dữ liệu tương ứng với các vị trí của 1 trong các hàng thứ sáu đến thứ mười của ma trận kiểm tra chẵn lẻ được biến đổi H' của Fig.121 được lưu trữ. Tức là, trong vùng lưu trữ của bước thứ nhất của FIFO 300₂, dữ liệu tương ứng với các vị trí của 1 của ma trận được dịch chuyển thứ nhất cấu thành ma trận tổng (ma trận tổng là tổng của ma trận được dịch chuyển thứ nhất thu được bằng cách dịch vòng ma trận đơn vị 5×5 sang phía phải bởi 1 và ma trận được dịch chuyển thứ hai thu được bằng cách dịch vòng ma trận đơn vị 5×5 sang phía phải bởi 2) của (6, 1) tới (10, 5) của ma trận kiểm tra chẵn lẻ được biến đổi H' được lưu trữ. Ngoài ra, trong vùng lưu trữ của bước thứ hai, dữ liệu tương ứng với các vị trí của 1 của ma trận được dịch chuyển thứ hai cấu thành ma trận tổng của (6, 1) tới (10, 5) của ma trận kiểm tra chẵn lẻ được biến đổi H' được lưu trữ.

Tức là, đối với ma trận liên tục mà trọng số của nó là hai hoặc lớn hơn, khi ma trận liên tục được biểu diễn bởi tổng của nhiều phần của ma trận đơn vị $P \times P$ mà trọng số của nó là 1, ma trận cận đơn vị trong đó một hoặc nhiều phần từ 1 trong ma trận đơn vị trở thành 0, hoặc ma trận được dịch chuyển thu được bằng cách dịch vòng ma trận đơn vị hoặc ma trận cận đơn vị, dữ liệu (các tin nhắn tương ứng với các nhánh thuộc về ma trận đơn vị, ma trận cận đơn vị, hoặc ma trận được dịch chuyển) tương ứng với các vị trí của 1 trong ma trận đơn vị có trọng số là 1, ma trận cận đơn vị, hoặc ma trận được dịch chuyển được lưu trữ tại cùng địa chỉ (cùng FIFO trong số các FIFO 300₁ tới 300₆).

Sau đó, trong các vùng lưu trữ của các bước thứ ba đến thứ chín, dữ liệu được lưu trữ kết hợp với ma trận kiểm tra chẵn lẻ được biến đổi H' , tương tự trường hợp nêu trên.

Trong các FIFO 300₃ tới 300₆, dữ liệu được lưu trữ kết hợp với ma trận kiểm tra chẵn lẻ được biến đổi H' , tương tự trường hợp nêu trên.

Bộ nhớ lưu trữ dữ liệu nhánh 304 bao gồm 18 FIFO 304₁ tới 304₁₈ mà tương ứng với số thu được bằng cách chia số cột 90 của ma trận kiểm tra chẵn lẻ

được biến đổi H' bởi 5 là số cột của ma trận liên tục (số cột P của đơn vị của cấu hình vòng). FIFO 304_x ($x = 1, 2, \dots, 18$) bao gồm các bước của các vùng lưu trữ. Trong vùng lưu trữ của mỗi bước, các tin nhắn tương ứng với năm nhánh tương ứng với số hàng và số cột của ma trận liên tục (số cột P của đơn vị của cấu hình vòng) có thể được đọc hoặc ghi cùng lúc.

Trong FIFO 304_1 , dữ liệu (các tin nhắn từ các nút kiểm tra) tương ứng với các vị trí 1 trong các cột thứ nhất đến thứ năm của ma trận kiểm tra chẵn lẻ được biến đổi H' của Fig.121 được lưu trữ dưới dạng điền đầy mỗi cột theo chiều dọc (dạng trong đó 0 được bỏ qua). Tức là, nếu hàng thứ j và cột thứ i được biểu diễn là (j, i) , dữ liệu tương ứng với các vị trí của 1 của ma trận đơn vị 5×5 của $(1, 1)$ tới $(5, 5)$ của ma trận kiểm tra chẵn lẻ được biến đổi H' được lưu trữ trong vùng lưu trữ của bước thứ nhất của FIFO 304_1 . Trong vùng lưu trữ của bước thứ hai, dữ liệu tương ứng với các vị trí của 1 của ma trận được dịch chuyển thứ nhất cấu thành ma trận tổng (ma trận tổng là tổng của ma trận được dịch chuyển thứ nhất thu được bằng cách dịch vòng ma trận đơn vị 5×5 sang phía phải bởi 1 và ma trận được dịch chuyển thứ hai thu được bằng cách dịch vòng ma trận đơn vị 5×5 sang phía phải bởi 2) của $(6, 1)$ tới $(10, 5)$ của ma trận kiểm tra chẵn lẻ được biến đổi H' được lưu trữ. Ngoài ra, trong vùng lưu trữ của bước thứ ba, dữ liệu tương ứng với các vị trí của 1 của ma trận được dịch chuyển thứ hai cấu thành ma trận tổng của $(6, 1)$ tới $(10, 5)$ của ma trận kiểm tra chẵn lẻ được biến đổi H' được lưu trữ.

Tức là, đối với ma trận liên tục mà trọng số của nó là hai hoặc lớn hơn, khi ma trận liên tục được biểu diễn bởi tổng của nhiều phần của ma trận đơn vị $P \times P$ mà trọng số của nó là 1, ma trận cận đơn vị trong đó một hoặc nhiều phần tử 1 trong ma trận đơn vị trở thành 0, hoặc ma trận được dịch chuyển thu được bằng cách dịch vòng ma trận đơn vị hoặc ma trận cận đơn vị, dữ liệu (các tin nhắn tương ứng với các nhánh thuộc về ma trận đơn vị, ma trận cận đơn vị, hoặc ma trận được dịch chuyển) tương ứng với các vị trí của 1 trong ma trận đơn vị có trọng số của 1, ma trận cận đơn vị, hoặc ma trận được dịch chuyển được lưu trữ tại cùng địa chỉ (cùng FIFO trong số các FIFO 304_1 tới 304_{18}).

Sau đó, trong các vùng lưu trữ của các bước thứ tư và thứ năm, dữ liệu được lưu trữ kết hợp với ma trận kiểm tra chẵn lẻ được biến đổi H' , tương tự trường hợp nêu trên. Số lượng các bước của các vùng lưu trữ của FIFO 304_1 trở thành 5 là số lớn nhất của số (trọng số Hamming) của 1 của chiều hàng trong các

cột thứ nhất đến thứ năm của ma trận kiểm tra chẵn lẻ được biến đổi H'.

Trong các FIFO 304₂ và 304₃, dữ liệu được lưu trữ kết hợp với ma trận kiểm tra chẵn lẻ được biến đổi H', tương tự trường hợp nêu trên, và mỗi độ dài (số lượng các bước) là 5. Trong các FIFO 304₄ tới 304₁₂, dữ liệu được lưu trữ kết hợp với ma trận kiểm tra chẵn lẻ được biến đổi H', tương tự trường hợp nêu trên, và mỗi độ dài là 3. Trong các FIFO 304₁₃ tới 304₁₈, dữ liệu được lưu trữ kết hợp với ma trận kiểm tra chẵn lẻ được biến đổi H', tương tự trường hợp nêu trên, và mỗi độ dài là 2.

Tiếp theo, hoạt động của thiết bị giải mã của Fig.122 sẽ được mô tả.

Bộ nhớ lưu trữ dữ liệu nhánh 300 bao gồm 6 FIFO 300₁ tới 300₆. Theo thông tin (dữ liệu ma trận) D312 mà trên đó hàng của ma trận kiểm tra chẵn lẻ được biến đổi H' trên Fig.121, năm tin nhắn D311 được cấp từ mạch dịch vòng 308 của bước trước đó thuộc về, FIFO lưu trữ dữ liệu được lựa chọn từ các FIFO 300₁ đến 300₆ và năm tin nhắn D311 được lưu trữ chung tuần tự trong FIFO được lựa chọn. Khi dữ liệu được đọc, bộ nhớ lưu trữ dữ liệu nhánh 300 tuần tự đọc năm tin nhắn D300₁ từ FIFO 300₁ và cấp các tin nhắn tới bộ lựa chọn 301 của bước tiếp theo. Sau khi đọc các tin nhắn từ FIFO 300₁ kết thúc, bộ nhớ lưu trữ dữ liệu nhánh 300 đọc các tin nhắn tuần tự từ các FIFO 300₂ tới 300₆ và cấp các tin nhắn tới bộ lựa chọn 301.

Bộ lựa chọn 301 lựa chọn năm tin nhắn từ FIFO mà từ đó dữ liệu được đọc hiện tại, trong số các FIFO 300₁ tới 300₆, theo tín hiệu lựa chọn D301, và cấp các tin nhắn được lựa chọn như là các tin nhắn D302 tới bộ tính toán nút kiểm tra 302.

Bộ tính toán nút kiểm tra 302 bao gồm năm bộ tính toán nút kiểm tra 302₁ tới 302₅. Bộ tính toán nút kiểm tra 302 thực hiện phép toán nút kiểm tra theo biểu thức (7), nhờ sử dụng các tin nhắn D302 (D302₁ tới D302₅) (các tin nhắn vi của biểu thức 7) được cấp thông qua bộ lựa chọn 301, và cấp năm tin nhắn D303 (D303₁ tới D303₅) (các tin nhắn uj của biểu thức (7)) thu được như là kết quả của phép toán nút kiểm tra tới mạch dịch vòng 303.

Mạch dịch vòng 303 dịch vòng năm tin nhắn D303₁ tới D303₅ được tính toán bởi bộ tính toán nút kiểm tra 302, trên cơ sở của thông tin (dữ liệu ma trận) D305 về có bao nhiêu ma trận đơn vị (hoặc ma trận cận đơn vị) trở thành gốc trong ma trận kiểm tra chẵn lẻ được biến đổi H' được dịch vòng để thu được các nhánh tương ứng, và cấp kết quả như là các tin nhắn D304 tới bộ nhớ lưu trữ dữ

liệu nhánh 304.

Bộ nhớ lưu trữ dữ liệu nhánh 304 bao gồm mười tám FIFO 304₁ tới 304₁₈. Theo thông tin D305 mà trên đó hàng của ma trận kiểm tra chẵn lẻ được biến đổi H' năm tin nhắn D304 được cấp từ mạch dịch vòng 303 của bước trước đó thuộc về, FIFO lưu trữ dữ liệu được lựa chọn từ các FIFO 304₁ tới 304₁₈ và năm tin nhắn D304 được lưu trữ chung tuần tự trong FIFO được lựa chọn. Khi dữ liệu được đọc, bộ nhớ lưu trữ dữ liệu nhánh 304 tuần tự đọc năm tin nhắn D304₁ từ FIFO 304₁ và cấp các tin nhắn tới bộ lựa chọn 305 của bước tiếp theo. Sau khi việc đọc các tin nhắn từ FIFO 304₁ kết thúc, bộ nhớ lưu trữ dữ liệu nhánh 304 đọc các tin nhắn một cách tuần tự từ các FIFO 304₂ tới 304₁₈ và cấp các tin nhắn tới bộ lựa chọn 305.

Bộ lựa chọn 305 lựa chọn năm tin nhắn từ FIFO mà từ đó dữ liệu được đọc hiện tại, trong số các FIFO 304₁ tới 304₁₈, theo tín hiệu lựa chọn D307, và cấp các tin nhắn được lựa chọn như là các tin nhắn D308 tới bộ tính toán nút biến thiên 307 và bộ tính toán từ giải mã 309.

Trong khi đó, bộ sắp xếp lại dữ liệu thu 310 sắp xếp lại mã LDPC D313, mà tương ứng với ma trận kiểm tra chẵn lẻ H trên Fig.119, thu được thông qua đường truyền thông 13 bằng cách thực hiện việc thay thế cột của biểu thức (12) và cấp mã LDPC như là dữ liệu thu D314 tới bộ nhớ dữ liệu thu 306. Bộ nhớ dữ liệu thu 306 tính toán LLR (Log Likelihood Ratio – tỷ lệ hợp lẽ logarit) thu từ dữ liệu thu D314 được cấp từ bộ sắp xếp lại dữ liệu thu 310, lưu trữ LLR thu, tập hợp năm LLR thu, và cấp các LLR thu như là các giá trị thu D309 tới bộ tính toán nút biến thiên 307 và bộ tính toán từ giải mã 309.

Bộ tính toán nút biến thiên 307 bao gồm năm bộ tính toán nút biến thiên 307₁ tới 307₅. Bộ tính toán nút biến thiên 307 thực hiện phép toán nút biến thiên theo biểu thức (1), nhờ sử dụng các tin nhắn D308 (D308₁ tới D308₅) (các tin nhắn u_j của biểu thức (1)) được cấp thông qua bộ lựa chọn 305 và năm giá trị thu D309 (các giá trị thu u_{0i} của biểu thức (1)) được cấp từ bộ nhớ dữ liệu thu 306, và cấp các tin nhắn D310 (D310₁ tới D310₅) (tin nhắn v_i của biểu thức (1)) thu được như là kết quả tính toán tới mạch dịch vòng 308.

Mạch dịch vòng 308 dịch vòng các tin nhắn D310₁ tới D310₅ được tính toán bởi bộ tính toán nút biến thiên 307, trên cơ sở của thông tin về có bao nhiêu các ma trận đơn vị (hoặc ma trận cận đơn vị) trở thành gốc trong ma trận kiểm tra chẵn lẻ được biến đổi H' được dịch vòng để thu được các nhánh tương ứng,

và cấp kết quả là các tin nhắn D311 tới bộ nhớ lưu trữ dữ liệu nhánh 300.

Bằng cách tuần hoàn phép toán nêu trên trong một vòng, việc giải mã (phép toán nút biến thiên và phép toán nút kiểm tra) của mã LDPC có thể được thực hiện một lần. Sau khi giải mã mã LDPC bởi số lần định trước, thiết bị giải mã của Fig.122 tính toán kết quả giải mã cuối cùng và xuất ra kết quả giải mã cuối cùng, trong bộ tính toán từ giải mã 309 và bộ sắp xếp lại dữ liệu được giải mã 311.

Tức là, bộ tính toán từ giải mã 309 bao gồm năm bộ tính toán từ giải mã 309_1 tới 309_5 . Bộ tính toán từ giải mã 309 tính toán kết quả giải mã (từ giải mã) trên cơ sở của biểu thức (5), như là bước cuối cùng của việc giải mã, sử dụng năm tin nhắn D308 ($D308_1$ tới $D308_5$) (các tin nhắn u_j của biểu thức) được xuất ra bởi bộ lựa chọn 305 và năm giá trị thu D309 (các giá trị thu u_{0j} của biểu thức (5)) được cấp từ bộ nhớ dữ liệu thu 306, và cấp dữ liệu được giải mã D315 thu được như là kết quả tới bộ sắp xếp lại dữ liệu được giải mã 311.

Bộ sắp xếp lại dữ liệu được giải mã 311 thực hiện việc thay thế ngược của việc thay thế cột của biểu thức (12) đối với dữ liệu được giải mã D315 được cấp từ bộ tính toán từ giải mã 309, sắp xếp lại thứ tự của nó, và xuất ra dữ liệu được giải mã như là kết quả giải mã cuối cùng D316.

Như được đề cập nêu trên, bằng cách thực hiện một hoặc cả hai việc thay thế hàng và thay thế cột trên ma trận kiểm tra chẵn lẻ (ma trận kiểm tra chẵn lẻ gốc) và chuyển đổi nó thành ma trận kiểm tra chẵn lẻ (ma trận kiểm tra chẵn lẻ được biến đổi) mà có thể được thể hiện bởi kết hợp của ma trận đơn vị $p \times p$, ma trận cận đơn vị trong đó một hoặc nhiều phần tử 1 của nó trở thành 0, ma trận được dịch chuyển mà dịch vòng ma trận đơn vị hoặc ma trận cận đơn vị, ma trận tổng mà là tổng của hai hoặc nhiều hơn hai ma trận đơn vị, ma trận cận đơn vị và ma trận được dịch chuyển, và ma trận $0 \times p$, tức là, kết hợp của các ma trận liên tục, đối với việc giải mã mã LDPC, có thể áp dụng cấu hình mà thực hiện đồng thời tính toán nút kiểm tra và tính toán nút biến thiên bởi P mà là số nhỏ hơn số hàng và số cột của ma trận kiểm tra chẵn lẻ. Trong trường hợp áp dụng cấu hình mà thực hiện đồng thời tính toán nút (tính toán nút kiểm tra và tính toán nút biến thiên) bởi P mà là số nhỏ hơn số hàng và số cột của ma trận kiểm tra chẵn lẻ, so với trường hợp mà tính toán nút được thực hiện đồng thời bởi số bằng số hàng và số cột của ma trận kiểm tra chẵn lẻ, có thể làm giảm tần suất thao tác trong dải có thể sử dụng và thực hiện nhiều mục giải mã lặp lại.

Bộ giải mã LDPC 166 mà cấu thành thiết bị thu 12 của Fig.116 thực hiện giải mã LDPC bằng thực hiện đồng thời P phép toán nút kiểm tra và phép toán nút biến thiên, tương tự thiết bị giải mã của Fig.122.

Tức là, nhằm đơn giản việc giải thích, nếu ma trận kiểm tra chẵn lẻ của mã LDPC được xuất ra bởi bộ mã hóa LDPC 115 cấu thành thiết bị truyền 11 của Fig.8 được xem là ma trận kiểm tra chẵn lẻ H được minh họa trên Fig.119 trong đó ma trận chẵn lẻ trở thành cấu hình bậc thang, trong bộ ghép xen chẵn lẻ 23 của thiết bị truyền 11, việc ghép xen chẵn lẻ để ghép xen bit mã thứ $(K + qx + y + 1)$ vào vị trí của bit mã thứ $(K + Py + x + 1)$ được thực hiện trong trạng thái trong đó thông tin K được thiết lập là 60, số cột P của đơn vị của cấu hình vòng được thiết lập là 5, và số chia q ($= M/P$) của độ dài chẵn lẻ M được thiết lập là 6.

Do việc ghép xen chẵn lẻ tương ứng với việc thay thế cột của biểu thức (12) như được mô tả nêu trên, không cần thiết phải thực hiện việc thay thế cột của biểu thức (12) trong bộ giải mã LDPC 166.

Vì lý do này, trong thiết bị thu 12 của Fig.116, như được mô tả nêu trên, mã LDPC trong đó việc giải ghép xen chẵn lẻ không được thực hiện, tức là, mã LDPC trong trạng thái trong đó việc thay thế cột của biểu thức (12) được thực hiện được cấp từ bộ giải ghép xen xoắn cột 55 tới bộ giải mã LDPC 166. Trong bộ giải mã LDPC 166, quy trình xử lý tương tự như thiết bị giải mã của Fig.122, ngoại trừ việc thay thế cột của biểu thức (12) không được thực hiện, được thực hiện.

Tức là, Fig.123 minh họa ví dụ cấu hình của bộ giải mã LDPC 166 của Fig.116.

Trên Fig.123, bộ giải mã LDPC 166 có cùng cấu hình như thiết bị giải mã của Fig.122, ngoại trừ bộ sắp xếp lại dữ liệu thu 310 của Fig.122 không được bố trí, và thực hiện quy trình xử lý tương tự như thiết bị giải mã của Fig.122, ngoại trừ việc thay thế cột của biểu thức (12) không được thực hiện. Do đó, phần giải thích của bộ giải mã LDPC được bỏ qua.

Như được mô tả nêu trên, do bộ giải mã LDPC 166 có thể có cấu hình mà không bố trí bộ sắp xếp lại dữ liệu thu 310, tỷ lệ có thể được làm giảm so với thiết bị giải mã của Fig.122.

Trên các Fig.119 tới Fig.123, nhằm đơn giản việc giải thích, độ dài mã N của mã LDPC được thiết lập là 90, độ dài thông tin K được thiết lập là 60, số cột

(số hàng và số cột của ma trận liên tục) P của đơn vị của cấu hình vòng được thiết lập là 5, và số chia q ($= M/P$) của độ dài chẵn lẻ M được thiết lập là 6. Tuy nhiên, độ dài mã N, độ dài thông tin K, số cột P của đơn vị của cấu hình vòng, và số chia q ($= M/P$) không bị giới hạn ở các giá trị nêu trên.

Tức là, trong thiết bị truyền 11 của Fig.8, bộ mã hóa LDPC 115 xuất ra mã LDPC trong đó độ dài mã N được thiết lập là 64800 hoặc 16200, độ dài thông tin K được thiết lập là $N - Pq$ ($= N - M$), số cột P của đơn vị của cấu hình vòng được thiết lập là 360, và số chia q được thiết lập là M/P . Tuy nhiên, bộ giải mã LDPC 166 của Fig.123 có thể được áp dụng cho trường hợp trong đó P phép toán nút kiểm tra và phép toán nút biến thiên được thực hiện đồng thời đối với mã LDPC và việc giải mã LDPC được thực hiện.

Fig.124 là hình vẽ minh họa về quy trình xử lý của bộ ghép kênh 54 cấu thành bộ giải ghép xen bit 165 của Fig.117.

Tức là, A của Fig.124 minh họa ví dụ cấu hình chức năng của bộ ghép kênh 54.

Bộ ghép kênh 54 bao gồm bộ hoán đổi ngược 1001 và bộ nhớ 1002.

Bộ ghép kênh 54 thực hiện quy trình xử lý hoán đổi ngược (quy trình xử lý ngược về quy trình xử lý hoán đổi) tương ứng với quy trình xử lý hoán đổi được thực hiện bởi bộ giải ghép kênh 25 của thiết bị truyền 11, tức là, quy trình xử lý hoán đổi ngược để trả lại các vị trí của các bit mã (các bit ký hiệu) của các mã LDPC được hoán đổi bởi quy trình xử lý hoán đổi thành các vị trí gốc, đối với các bit ký hiệu của ký hiệu được cấp từ bộ giải mã QAM 164 của bước trước đó, và cấp mã LDPC thu được như là kết quả tới bộ giải ghép xen xoắn cột 55 của bước sau đây.

Tức là, trong bộ ghép kênh 54, các bit ký hiệu $y_0, y_1, \dots, y_{mb-1}$ của mb bit của b ký hiệu được cấp tới bộ hoán đổi ngược 1001 theo đơn vị của b ký hiệu (liên tiếp).

Bộ hoán đổi ngược 1001 thực hiện việc hoán đổi ngược để trả lại các bit ký hiệu $y_0, y_1, \dots, y_{mb-1}$ của mb bit thành cách bố trí của các bit mã $b_0, b_1, \dots, b_{mb-1}$ của mb bit gốc (cách bố trí của các bit mã b_0 tới b_{mb-1} trước khi hoán đổi được thực hiện trong bộ hoán đổi 32 cấu thành bộ giải ghép kênh 25 của phía của thiết bị truyền 11) và xuất ra các bit mã b_0 tới b_{mb-1} của mb bit thu được như là kết quả.

Bộ nhớ 1002 có dung lượng lưu trữ để lưu trữ mb bit theo chiều hàng

(ngang) và lưu trữ $N/(mb)$ bit theo chiều cột (dọc), tương tự bộ nhớ 31 cấu thành bộ giải ghép kênh 25 của phía của thiết bị truyền 11. Tức là, bộ nhớ 1002 bao gồm mb cột mà lưu trữ $N/(mb)$ bit.

Tuy nhiên, trong bộ nhớ 1002, việc ghi của các bit mã của mã LDPC được xuất ra bởi bộ hoán đổi ngược 1001 được thực hiện theo chiều trong đó việc đọc của các bit mã từ bộ nhớ 31 của bộ giải ghép kênh 25 của thiết bị truyền 11 được thực hiện và việc đọc của các bit mã được ghi tới bộ nhớ 1002 được thực hiện theo chiều trong đó việc ghi của các bit mã tới bộ nhớ 31 được thực hiện.

Tức là, trong bộ ghép kênh 54 của thiết bị thu 12, như được minh họa bởi phần A của Fig.124, việc ghi của các bit mã của mã LDPC được xuất ra bởi bộ hoán đổi ngược 1001 theo chiều hàng theo đơn vị của mb bit được thực hiện tuần tự hướng tới các hàng thấp hơn từ hàng thứ nhất của bộ nhớ 1002.

Nếu việc ghi của các bit mã tương ứng với một độ dài mã kết thúc, bộ ghép kênh 54 đọc các bit mã từ bộ nhớ 1002 theo chiều cột và cấp các bit mã tới bộ giải ghép xen xoắn cột 55 của bước sau đây.

Trong trường hợp này, phần B của Fig.124 là hình vẽ minh họa về việc đọc của các bit mã từ bộ nhớ 1002.

Trong bộ ghép kênh 54, việc đọc của các bit mã của mã LDPC theo chiều hướng xuống dưới (chiều cột) từ phía trên của các cột cấu thành bộ nhớ 1002 được thực hiện hướng tới các cột của chiều hướng sang phải từ phía trái.

Fig.125 là hình vẽ minh họa về quy trình xử lý của bộ giải ghép xen xoắn cột 55 cấu thành bộ giải ghép xen bit 165 của Fig.117.

Tức là, Fig.125 minh họa ví dụ cấu hình của bộ nhớ 1002 của bộ ghép kênh 54.

Bộ nhớ 1002 có dung lượng lưu trữ để lưu trữ mb bit theo chiều cột (dọc) và lưu trữ $N/(mb)$ bit theo chiều hàng (ngang) và bao gồm mb cột.

Bộ giải ghép xen xoắn cột 55 ghi các bit mã của mã LDPC tới bộ nhớ 1002 theo chiều hàng, điều khiển vị trí bắt đầu đọc khi các bit mã được đọc theo chiều cột, và thực hiện việc giải ghép xen xoắn cột.

Tức là, trong bộ giải ghép xen xoắn cột 55, vị trí bắt đầu đọc để bắt đầu việc đọc của các bit mã được thay đổi thích hợp đối với mỗi cột và quy trình xử lý sắp xếp lại ngược để trả lại cách bố trí của các bit mã được sắp xếp lại bởi việc ghép xen xoắn cột thành cách bố trí gốc được thực hiện.

Trong trường hợp này, Fig.125 minh họa ví dụ cấu hình của bộ nhớ 1002 khi phương pháp điều biến là 16APSK, 16QAM hoặc loại tương tự và bội b là 1, được mô tả trên Fig.28. Trong trường hợp này, số bit m của một ký hiệu là 4 bit và bộ nhớ 1002 bao gồm bốn (= mb) cột.

Bộ giải ghép xen xoắn cột 55, (thay vì bộ ghép kênh 54), tuân tú thực hiện việc ghi của các bit mã của mã LDPC được xuất ra bởi bộ hoán đổi ngược 1001 theo chiều hàng, hướng tới các hàng thấp hơn từ hàng thứ nhất của bộ nhớ 1002.

Nếu việc ghi của các bit mã tương ứng với một độ dài mã kết thúc, bộ giải ghép xen xoắn cột 55 thực hiện việc đọc của các bit mã theo chiều hướng xuống dưới (chiều cột) từ phía trên của bộ nhớ 1002, hướng tới các cột của chiều hướng sang phải từ phía trái.

Tuy nhiên, bộ giải ghép xen xoắn cột 55 thực hiện việc đọc của các bit mã từ bộ nhớ 1002, sử dụng vị trí bắt đầu ghi để ghi các bit mã bởi bộ ghép xen xoắn cột 24 của phía của thiết bị truyền 11 như là vị trí bắt đầu đọc của các bit mã.

Tức là, nếu địa chỉ của vị trí của đầu (đỉnh) của mỗi cột được thiết lập là 0 và địa chỉ của mỗi vị trí của chiều cột được biểu diễn bởi số nguyên có thứ tự tăng dần, khi phương pháp điều biến là 16APSK hoặc 16QAM và bội b là 1, trong bộ giải ghép xen xoắn cột 55, vị trí bắt đầu đọc được thiết lập là vị trí mà địa chỉ của nó là 0, đối với cột ngoài cùng phía trái. Đối với cột thứ hai (từ phía trái), vị trí bắt đầu đọc được thiết lập là vị trí mà địa chỉ của nó là 2. Đối với cột thứ ba, vị trí bắt đầu đọc được thiết lập là vị trí mà địa chỉ của nó là 4. Đối với cột thứ tư, vị trí bắt đầu đọc được thiết lập là vị trí mà địa chỉ của nó là 7.

Đối với các cột trong đó các vị trí bắt đầu đọc là các vị trí ngoài vị trí mà địa chỉ của nó là 0, sau khi việc đọc của các bit mã được thực hiện tới vị trí thấp nhất, vị trí quay trở lại phần đầu (vị trí mà địa chỉ của nó là 0), và việc đọc tới vị trí ngay trước vị trí bắt đầu đọc được thực hiện. Sau đó, việc đọc từ cột (phải) tiếp theo được thực hiện.

Bằng cách thực hiện việc giải ghép xen xoắn cột được mô tả nêu trên, cách bố trí của các bit mã mà được sắp xếp lại bởi việc ghép xen xoắn cột trở lại cách bố trí gốc.

Fig.126 là sơ đồ khối minh họa ví dụ cấu hình khác của bộ giải ghép xen bit 165 của Fig.116.

Trên hình vẽ, các phần mà tương ứng với trường hợp của Fig.117 được ký hiệu với cùng số chỉ dẫn và phần giải thích của nó được bỏ qua một cách thích hợp sau đây.

Tức là, bộ giải ghép xen bit 165 của Fig.126 có cùng cấu hình như trường hợp của Fig.117, ngoại trừ bộ giải ghép xen chẵn lẻ 1011 được bố trí mới.

Trên Fig.126, bộ giải ghép xen bit 165 bao gồm bộ ghép kênh (MUX) 54, bộ giải ghép xen xoắn cột 55, và bộ giải ghép xen chẵn lẻ 1011 và thực hiện việc giải ghép xen bit của các bit mã của mã LDPC được cấp từ bộ giải mã QAM 164.

Tức là, bộ ghép kênh 54 thực hiện quy trình xử lý hoán đổi ngược (quy trình xử lý ngược về quy trình xử lý hoán đổi) tương ứng với quy trình xử lý hoán đổi được thực hiện bởi bộ giải ghép kênh 25 của thiết bị truyền 11, tức là, quy trình xử lý hoán đổi ngược để trả lại các vị trí của các bit mã được hoán đổi bởi quy trình xử lý hoán đổi thành các vị trí gốc, đối với mã LDPC được cấp từ bộ giải mã QAM 164, và cấp mã LDPC thu được như là kết quả tới bộ giải ghép xen xoắn cột 55.

Bộ giải ghép xen xoắn cột 55 thực hiện việc giải ghép xen xoắn cột tương ứng với việc ghép xen xoắn cột như là quy trình xử lý sắp xếp lại được thực hiện bởi bộ ghép xen xoắn cột 24 của thiết bị truyền 11, đối với mã LDPC được cấp từ bộ ghép kênh 54.

Mã LDPC mà thu được như là kết quả của việc giải ghép xen xoắn cột được cấp từ bộ giải ghép xen xoắn cột 55 tới bộ giải ghép xen chẵn lẻ 1011.

Bộ giải ghép xen chẵn lẻ 1011 thực hiện việc giải ghép xen chẵn lẻ (quy trình xử lý ngược của việc ghép xen chẵn lẻ) tương ứng với việc ghép xen chẵn lẻ được thực hiện bởi bộ ghép xen chẵn lẻ 23 của thiết bị truyền 11, tức là, việc giải ghép xen chẵn lẻ để trả lại cách bố trí của các bit mã của mã LDPC mà cách bố trí của nó được thay đổi bởi việc ghép xen chẵn lẻ thành cách bố trí gốc, đối với các bit mã sau khi giải ghép xen xoắn cột trong bộ giải ghép xen xoắn cột 55.

Mã LDPC mà thu được như là kết quả của việc giải ghép xen chẵn lẻ được cấp từ bộ giải ghép xen chẵn lẻ 1011 tới bộ giải mã LDPC 166.

Do đó, trong bộ giải ghép xen bit 165 của Fig.126, mã LDPC trong đó quy trình xử lý hoán đổi ngược, việc giải ghép xen xoắn cột, và việc giải ghép xen chẵn lẻ được thực hiện, tức là, mã LDPC mà thu được bởi việc mã hóa LDPC theo ma trận kiểm tra chẵn lẻ H được cấp tới bộ giải mã LDPC 166.

Bộ giải mã LDPC 166 thực hiện giải mã LDPC của mã LDPC từ bộ giải

ghép xen bit 165 bằng cách sử dụng ma trận kiểm tra chẵn lẻ H được sử dụng cho việc mã hóa LDPC bởi bộ mã hóa LDPC 115 của thiết bị truyền 11. Tức là, bộ giải mã LDPC 166 thực hiện giải mã LDPC của mã LDPC từ bộ giải ghép xen bit 165 bằng cách sử dụng ma trận kiểm tra chẵn lẻ H bản thân nó được sử dụng cho mã hóa LDPC bởi bộ mã hóa LDPC 115 của thiết bị truyền 11 hoặc bằng cách sử dụng ma trận kiểm tra chẵn lẻ được biến đổi thu được bằng cách thực hiện ít nhất việc thay thế cột tương ứng với ghép xen chẵn lẻ đối với ma trận kiểm tra chẵn lẻ H.

Trên Fig.126, mã LDPC mà thu được bởi việc mã hóa LDPC theo ma trận kiểm tra chẵn lẻ H được cấp từ (bộ giải ghép xen chẵn lẻ 1011) bộ giải ghép xen bit 165 tới bộ giải mã LDPC 166. Vì lý do này, khi việc giải mã LDPC của mã LDPC được thực hiện sử dụng ma trận kiểm tra chẵn lẻ H được sử dụng bởi bộ mã hóa LDPC 115 của thiết bị truyền 11 để thực hiện mã hóa LDPC, bộ giải mã LDPC 166 có thể được cấu hình bởi thiết bị giải mã thực hiện việc giải mã LDPC theo phương pháp giải mã tuần tự toàn phần để tuần tự thực hiện các phép toán của các tin nhắn (tin nhắn nút kiểm tra và tin nhắn nút biến thiên) đối với mỗi nút hoặc thiết bị giải mã thực hiện việc giải mã LDPC theo phương pháp giải mã song song toàn phần để thực hiện đồng thời (song song) các phép toán của các tin nhắn đối với tất cả các nút.

Trong bộ giải mã LDPC 166, khi việc giải mã LDPC của mã LDPC được thực hiện sử dụng ma trận kiểm tra chẵn lẻ được biến đổi thu được bằng cách thực hiện ít nhất việc thay thế cột tương ứng với việc ghép xen chẵn lẻ đối với ma trận kiểm tra chẵn lẻ H được sử dụng bởi bộ mã hóa LDPC 115 của thiết bị truyền 11 để thực hiện mã hóa LDPC, bộ giải mã LDPC 166 có thể được cấu hình bởi thiết bị giải mã (Fig.122) mà là thiết bị giải mã có cấu hình thực hiện đồng thời P (hoặc số chia của P khác 1) phép toán nút kiểm tra và phép toán nút biến thiên và có bộ sắp xếp lại dữ liệu thu 310 để thực hiện cùng việc thay thế cột như việc thay thế cột để thu được ma trận kiểm tra chẵn lẻ được biến đổi đối với mã LDPC và sắp xếp lại các bit mã của mã LDPC.

Trên Fig.126, nhằm thuận tiện cho việc giải thích, bộ ghép kênh 54 thực hiện quy trình xử lý hoán đổi ngược, bộ giải ghép xen xoắn cột 55 thực hiện việc giải ghép xen xoắn cột, và bộ giải ghép xen chẵn lẻ 1011 thực hiện việc giải ghép xen chẵn lẻ có cấu hình riêng biệt. Tuy nhiên, hai thành phần hoặc nhiều hơn của bộ ghép kênh 54, bộ giải ghép xen xoắn cột 55, và bộ giải ghép xen

chẵn lẻ 1011 có thể có cấu hình nguyên khối, tương tự bộ ghép xen chẵn lẻ 23, bộ ghép xen xoắn cột 24, và bộ giải ghép kênh 25 của thiết bị truyền 11.

Ngoài ra, trong trường hợp mà bộ ghép xen bit 116 (Fig.8) của thiết bị truyền 11 có cấu hình mà không bao gồm bộ ghép xen chẵn lẻ 23 và bộ ghép xen xoắn cột 24, trên Fig.126, bộ giải ghép xen bit 165 có thể có cấu hình mà không bao gồm bộ giải ghép xen xoắn cột 55 và bộ giải ghép xen chẵn lẻ 1011.

Ngay cả trong trường hợp này, bộ giải mã LDPC 166 có thể được cấu hình với thiết bị giải mã có phương pháp giải mã tuần tự toàn phần để thực hiện giải mã LDPC bằng cách sử dụng chính ma trận kiểm tra chẵn lẻ H , thiết bị giải mã có phương pháp giải mã song song toàn phần để thực hiện giải mã LDPC bằng cách sử dụng chính ma trận kiểm tra chẵn lẻ H , và thiết bị giải mã (Fig.122) có bộ sắp xếp lại dữ liệu thu 310 mà thực hiện giải mã LDPC bởi P tính toán nút kiểm tra và tính toán nút biến thiên cùng lúc bằng cách sử dụng ma trận kiểm tra chẵn lẻ được biến đổi H' .

Ví dụ cấu hình của hệ thống thu

Fig.127 là sơ đồ khối minh họa ví dụ cấu hình thứ nhất của hệ thống thu mà có thể được áp dụng cho thiết bị thu 12.

Trên Fig.127, hệ thống thu bao gồm bộ thu nhận 1101, bộ xử lý giải mã đường truyền 1102, và bộ xử lý giải mã nguồn thông tin 1103.

Bộ thu nhận 1101 thu được tín hiệu bao gồm mã LDPC thu được bằng cách thực hiện ít nhất mã hóa LDPC đối với dữ liệu đích LDPC như dữ liệu ảnh hoặc dữ liệu âm thanh của chương trình, thông qua đường truyền (đường truyền thông) không được minh họa trên các hình vẽ, như quảng bá số mặt đất, quảng bá số vệ tinh, mạng CATV, Internet, hoặc các mạng khác, và cấp tín hiệu này tới bộ xử lý giải mã đường truyền 1102.

Trong trường hợp này, khi tín hiệu thu được bởi bộ thu nhận 1101 được quảng bá từ trạm quảng bá thông qua sóng mặt đất, sóng vệ tinh, hoặc mạng CATV (Cable Television – truyền hình cáp), bộ thu nhận 1101 được cấu hình sử dụng bộ điều hướng và STB (Set Top Box – Hộp giải mã). Khi tín hiệu thu được bởi bộ thu nhận 1101 được truyền từ máy chủ mạng bằng cách truyền đa hướng như IPTV (Internet Protocol Television – truyền hình giao thức internet), bộ thu nhận 1101 được cấu hình sử dụng I/F (Giao diện) mạng như NIC (Network Interface Card – Thẻ giao diện mạng).

Bộ xử lý giải mã đường truyền 1102 tương ứng với thiết bị thu 12. Bộ xử

lý giải mã đường truyền 1102 thực hiện quy trình xử lý lý giải mã đường truyền bao gồm ít nhất quy trình xử lý để sửa lỗi được tạo ra trong đường truyền, đối với tín hiệu thu được bởi bộ thu nhận 1101 thông qua đường truyền, và cấp tín hiệu thu được như là kết quả tới bộ xử lý lý giải mã nguồn thông tin 1103.

Tức là, tín hiệu mà thu được bởi bộ thu nhận 1101 thông qua đường truyền là tín hiệu mà thu được bằng cách thực hiện ít nhất mã hóa sửa lỗi để sửa lỗi được tạo ra trên đường truyền. Bộ xử lý lý giải mã đường truyền 1102 thực hiện quy trình xử lý lý giải mã đường truyền như quy trình xử lý sửa lỗi, đối với tín hiệu.

Như là mã hóa sửa lỗi, ví dụ, mã hóa LDPC hoặc mã hóa BCH tồn tại. Trong trường hợp này, như là mã hóa sửa lỗi, ít nhất việc mã hóa LDPC được thực hiện.

Quy trình xử lý lý giải mã đường truyền bao gồm việc giải điều biến tín hiệu điều biến.

Bộ xử lý lý giải mã nguồn thông tin 1103 thực hiện quy trình xử lý lý giải mã nguồn thông tin bao gồm ít nhất quy trình xử lý để mở rộng thông tin được nén thành thông tin gốc, đối với tín hiệu mà trên đó quy trình xử lý lý giải mã đường truyền được thực hiện.

Tức là, việc mã hóa nén mà nén thông tin có thể được thực hiện đối với tín hiệu thu được bởi bộ thu nhận 1101 thông qua đường truyền để làm giảm lượng dữ liệu của ảnh hoặc âm thanh tương ứng với thông tin. Trong trường hợp này, bộ xử lý lý giải mã nguồn thông tin 1103 thực hiện quy trình xử lý lý giải mã nguồn thông tin như quy trình xử lý (quy trình xử lý mở rộng) để mở rộng thông tin được nén thành thông tin gốc, đối với tín hiệu mà trên đó quy trình xử lý lý giải mã đường truyền được thực hiện.

Khi việc mã hóa nén không được thực hiện đối với tín hiệu thu được bởi bộ thu nhận 1101 thông qua đường truyền, quy trình xử lý để mở rộng thông tin được nén thành thông tin gốc không được thực hiện trong bộ xử lý lý giải mã nguồn thông tin 1103.

Trong trường hợp này, đối với quy trình xử lý mở rộng, ví dụ, giải mã MPEG tồn tại. Trong quy trình xử lý lý giải mã đường truyền, ngoài quy trình xử lý mở rộng, việc giải xáo trộn có thể được bao gồm.

Trong hệ thống thu mà có cấu hình như được mô tả nêu trên, trong bộ thu nhận 1101, tín hiệu trong đó việc mã hóa nén như mã hóa MPEG và mã hóa sửa lỗi như việc mã hóa LDPC được thực hiện đối với dữ liệu như ảnh hoặc âm

thanh thu được thông qua đường truyền và được cấp tới bộ xử lý giải mã đường truyền 1102.

Trong bộ xử lý giải mã đường truyền 1102, quy trình xử lý tương tự như thiết bị thu 12 thực hiện như là quy trình xử lý giải mã đường truyền đối với tín hiệu được cấp từ bộ thu nhận 1101 và tín hiệu thu được như là kết quả được cấp tới bộ xử lý giải mã nguồn thông tin 1103.

Trong bộ xử lý giải mã nguồn thông tin 1103, quy trình xử lý giải mã nguồn thông tin như giải mã MPEG được thực hiện đối với tín hiệu được cấp từ bộ xử lý giải mã đường truyền 1102 và ảnh hoặc âm thanh thu được như là kết quả được xuất ra.

Hệ thống thu của Fig.127 được mô tả nêu trên có thể được áp dụng cho bộ điều hướng truyền hình để thu quảng bá truyền hình tương ứng với quảng bá số.

Mỗi bộ thu nhận 1101, bộ xử lý giải mã đường truyền 1102, và bộ xử lý giải mã nguồn thông tin 1103 có thể có cấu hình như một thiết bị độc lập (phần cứng (IC (Integrated Circuit – mạch tích hợp) và loại tương tự) hoặc module phần mềm).

Đối với bộ thu nhận 1101, bộ xử lý giải mã đường truyền 1102, và bộ xử lý giải mã nguồn thông tin 1103, mỗi tập hợp của bộ thu nhận 1101 và bộ xử lý giải mã đường truyền 1102, tập hợp của bộ xử lý giải mã đường truyền 1102 và bộ xử lý giải mã nguồn thông tin 1103, và tập hợp của bộ thu nhận 1101, bộ xử lý giải mã đường truyền 1102, và bộ xử lý giải mã nguồn thông tin 1103 có thể có cấu hình như là một thiết bị độc lập.

Fig.128 là sơ đồ khối minh họa ví dụ cấu hình thứ hai của hệ thống thu mà có thể được áp dụng cho thiết bị thu 12.

Trên hình vẽ, các thành phần mà tương ứng với trường hợp của Fig.127 được ký hiệu với cùng số chỉ dẫn và phần giải thích của nó được bỏ qua một cách thích hợp sau đây.

Hệ thống thu của Fig.128 là chung đối với trường hợp của Fig.127 ở chỗ bộ thu nhận 1101, bộ xử lý giải mã đường truyền 1102, và bộ xử lý giải mã nguồn thông tin 1103 được bố trí và khác với trường hợp của Fig.127 ở chỗ bộ đầu ra 1111 được bố trí mới.

Bộ đầu ra 1111 là thiết bị hiển thị để hiển thị ảnh hoặc loa để xuất ra âm thanh và xuất ra ảnh hoặc âm thanh tương ứng với tín hiệu được xuất ra từ bộ xử

lý giải mã nguồn thông tin 1103. Tức là, bộ đầu ra 1111 hiển thị ảnh hoặc xuất ra âm thanh.

Hệ thống thu của Fig.128 được mô tả nêu trên có thể được áp dụng cho TV (bộ thu truyền hình) thu quảng bá truyền hình tương ứng với quảng bá số hoặc bộ thu vô tuyến thu quảng bá vô tuyến.

Khi việc mã hóa nén không được thực hiện đối với tín hiệu thu được trong bộ thu nhận 1101, tín hiệu mà được xuất ra bởi bộ xử lý giải mã đường truyền 1102 được cấp tới bộ đầu ra 1111.

Fig.129 là sơ đồ khái minh họa ví dụ cấu hình thứ ba của hệ thống thu mà có thể được áp dụng cho thiết bị thu 12.

Trên hình vẽ, các thành phần mà tương ứng với trường hợp của Fig.127 được ký hiệu với cùng số chỉ dẫn và phần giải thích của nó được bỏ qua một cách thích hợp sau đây.

Hệ thống thu của Fig.129 là chung đối với trường hợp của Fig.127 ở chỗ bộ thu nhận 1101 và bộ xử lý giải mã đường truyền 1102 được bố trí.

Tuy nhiên, hệ thống thu của Fig.129 khác với trường hợp của Fig.127 ở chỗ bộ xử lý giải mã nguồn thông tin 1103 không được bố trí và bộ ghi 1121 được bố trí mới.

Bộ ghi 1121 ghi (lưu trữ) tín hiệu (ví dụ, các gói tin TS của TS của MPEG) được xuất ra bởi bộ xử lý giải mã đường truyền 1102 trên phương tiện ghi (lưu trữ) như đĩa quang, đĩa cứng (đĩa từ), và bộ nhớ chớp.

Hệ thống thu của Fig.129 được mô tả nêu trên có thể được áp dụng cho bộ ghi mà ghi quảng bá truyền hình.

Trên Fig.129, hệ thống thu được cấu hình bằng cách bố trí bộ xử lý giải mã nguồn thông tin 1103 và có thể ghi tín hiệu thu được bằng cách thực hiện xử lý giải mã nguồn thông tin bởi bộ xử lý giải mã nguồn thông tin 1103, tức là, ảnh hoặc âm thanh thu được bằng việc giải mã, bởi bộ ghi 1121.

Phương án máy tính

Tiếp theo, chuỗi xử lý được mô tả nêu trên có thể được thực hiện bởi phần cứng hoặc có thể được thực hiện bởi phần mềm. Trong trường hợp trong đó chuỗi xử lý được thực hiện bởi phần mềm, chương trình cấu hình phần mềm được cài đặt trong máy tính mục đích chung.

Do đó, Fig.130 minh họa ví dụ cấu hình của phương án về máy tính trong đó chương trình thực hiện chuỗi xử lý được cài đặt.

Chương trình có thể được ghi trước trên đĩa cứng 705 và ROM 703 tương ứng với phương tiện ghi được gắn trong máy tính.

Ngoài ra, chương trình có thể lưu trữ (được ghi) tạm thời hoặc cố định trên phương tiện ghi tháo rời 711 như đĩa mềm, CD-ROM (Compact Disc Read Only Memory – Bộ nhớ chỉ đọc đĩa compact), đĩa MO (Magneto Optical – Quang từ), DVD (Digital Versatile Disc – Đĩa đa năng số), đĩa từ, và bộ nhớ bán dẫn. Phương tiện ghi tháo rời 711 có thể được đưa ra như là phần mềm đóng gói.

Chương trình được cài đặt từ phương tiện ghi tháo rời 711 vào máy tính. Ngoài ra, chương trình có thể được truyền từ vùng tải xuống tới máy tính bằng không dây thông qua vệ tinh nhân tạo dùng cho quảng bá vệ tinh số hoặc có thể được truyền tới máy tính bằng có dây thông qua mạng như LAN (Local Area Network – mạng cục bộ) hoặc Internet. Máy tính có thể thu chương trình được truyền như được mô tả nêu trên bởi bộ truyền thông 708 và cài đặt chương trình trong đĩa cứng gắn trong 705.

Máy tính bao gồm CPU (Central Processing Unit – Bộ xử lý trung tâm) 702 được gắn trong đó. Giao diện vào/ra 710 được kết nối tới CPU 702 thông qua bus 701. Nếu người dùng thao tác bộ đầu vào 707 có cấu hình sử dụng bàn phím, chuột, và micrô và lệnh được đưa vào thông qua giao diện vào/ra 710, CPU 702 thực hiện chương trình được lưu trữ trong ROM (Read Only Memory – Bộ nhớ chỉ đọc) 703 theo lệnh này. Ngoài ra, CPU 702 tải chương trình được lưu trữ trong đĩa cứng 705, chương trình được truyền từ vệ tinh hoặc mạng, được thu bởi bộ truyền thông 708, và được cài đặt trong đĩa cứng 705, hoặc chương trình được đọc từ phương tiện ghi tháo rời 711 được lắp vào ổ đĩa 709 và được cài đặt trong đĩa cứng 705 tới RAM (Random Access Memory – Bộ nhớ truy nhập ngẫu nhiên) 704 và thực hiện chương trình. Nhờ đó, CPU 702 thực hiện quy trình xử lý theo các lưu đồ được mô tả nêu trên hoặc quy trình xử lý được thực hiện bởi các cấu hình của các sơ đồ khối được mô tả nêu trên. Ngoài ra, CPU 702 xuất ra kết quả xử lý từ bộ đầu ra 706 có cấu hình sử dụng LCD (Liquid Crystal Display – Màn hình tinh thể lỏng) hoặc loa, truyền kết quả xử lý từ bộ truyền thông 708, và ghi kết quả xử lý trên đĩa cứng 705, thông qua giao diện vào/ra 710, nếu cần thiết.

Trong bản mô tả này, không cần thiết xử lý các bước xử lý mô tả chương trình để làm cho máy tính thực hiện quy trình xử lý khác nhau theo trình tự thời gian theo thứ tự được mô tả như các lưu đồ và quy trình xử lý được thực hiện

song song hoặc riêng biệt (ví dụ, quy trình xử lý song song hoặc quy trình xử lý sử dụng đối tượng) cũng được bao gồm.

Chương trình có thể được xử lý bởi một máy tính hoặc có thể được xử lý bởi nhiều máy tính theo cách phân phối. Chương trình có thể được truyền tới máy tính đầu xa và có thể được thực hiện.

Phương án của sáng chế không bị giới hạn ở các phương án được mô tả nêu trên, và các thay đổi hoặc cải biến khác nhau có thể được thực hiện mà không chêch khỏi phạm vi của sáng chế.

Tức là, ví dụ, (bảng giá trị khởi tạo ma trận kiểm tra chẵn lẻ) mã LDPC mới được mô tả nêu trên có thể được sử dụng ngay cả nếu đường truyền thông 13 (Fig.7) là bất kỳ trong số mạch vệ tinh, sóng mặt đất, cáp (mạch có dây) và các đường truyền khác. Ngoài ra, mã LDPC mới cũng có thể được sử dụng cho việc truyền dữ liệu ngoài quảng bá số.

Danh sách số chỉ dẫn

- 11 thiết bị truyền
- 12 thiết bị thu
- 23 bộ ghép xen chẵn lẻ
- 24 bộ ghép xen xoắn cột
- 25 bộ giải ghép kênh
- 31 bộ nhớ
- 32 bộ hoán đổi
- 54 bộ ghép kênh
- 55 bộ ghép xen xoắn cột
- 111 bộ ghép kênh/áp dụng chế độ
- 112 bộ đệm
- 113 bộ xáo trộn BB
- 114 bộ mã hóa BCH
- 115 bộ mã hóa LDPC
- 116 bộ ghép xen bit
- 117 bộ mã hóa QAM
- 118 bộ ghép xen thời gian
- 119 bộ mã hóa MISO/MIMO
- 120 bộ ghép xen tần số
- 121 bộ mã hóa BCH

- 122 bộ mã hóa LDPC
- 123 bộ mã hóa QAM
- 124 bộ ghép xen tần số
- 131 bộ tạo khung/bộ cấp phát tài nguyên
- 132 bộ tạo OFDM
- 151 bộ thao tác OFDM
- 152 bộ quản lý khung
- 153 bộ giải ghép xen tần số
- 154 bộ giải mã QAM
- 155 bộ giải mã LDPC
- 156 bộ giải mã BCH
- 161 bộ giải ghép xen tần số
- 162 bộ giải mã MISO/MIMO
- 163 bộ giải ghép xen thời gian
- 164 bộ giải mã QAM
- 165 bộ giải ghép xen bit
- 166 bộ giải mã LDPC
- 167 bộ giải mã BCH
- 168 bộ giải xáo trộn BB
- 169 bộ xóa rỗng
- 170 bộ giải ghép kênh
- 300 bộ nhớ lưu trữ dữ liệu nhánh
- 301 bộ lựa chọn
- 302 bộ tính toán nút kiểm tra
- 303 mạch dịch vòng
- 304 bộ nhớ lưu trữ dữ liệu nhánh
- 305 bộ lựa chọn
- 306 bộ nhớ dữ liệu thu
- 307 bộ tính toán nút biến thiên
- 308 mạch dịch vòng
- 309 bộ tính toán từ giải mã
- 310 bộ sắp xếp lại dữ liệu thu
- 311 bộ sắp xếp lại dữ liệu được giải mã
- 601 bộ xử lý mã hóa

- 602 bộ lưu trữ
- 611 bộ thiết lập tỷ lệ mã hóa
- 612 bộ đọc bảng giá trị khởi tạo
- 613 bộ tạo ma trận kiểm tra chẵn lẻ
- 614 bộ đọc bit thông tin
- 615 bộ tính toán chẵn lẻ mã hóa
- 616 bộ điều khiển
- 701 bus
- 702 CPU
- 703 ROM
- 704 RAM
- 705 đĩa cứng
- 706 bộ đầu ra
- 707 bộ đầu vào
- 708 bộ truyền thông
- 709 ổ đĩa
- 710 giao diện vào/ra
- 711 phương tiện ghi tháo rời
- 1001 bộ hoán đổi ngược
- 1002 bộ nhớ
- 1011 bộ giải ghép xen chẵn lẻ
- 1101 bộ thu nhận
- 1101 bộ xử lý giải mã đường truyền
- 1103 bộ xử lý giải mã nguồn thông tin
- 1111 bộ đầu ra
- 1121 bộ ghi

YÊU CẦU BẢO HỘ

1. Thiết bị xử lý dữ liệu bao gồm:

bộ mã hóa được tạo cấu hình để mã hóa các bit thông tin vào trong mã LDPC (Low Density Parity Check – kiểm tra chẵn lẻ mật độ thấp) có độ dài mã, N, là 64800 bit và tỷ lệ mã, r, là 18/30 trên cơ sở ma trận kiểm tra chẵn lẻ của mã LDPC, trong đó:

mã LDPC bao gồm các bit thông tin và các bit chẵn lẻ,

các bit thông tin bao gồm dữ liệu hình ảnh và dữ liệu audio,

ma trận kiểm tra chẵn lẻ bao gồm phần ma trận thông tin có kích thước MxK tương ứng với các bit thông tin và phần ma trận chẵn lẻ có kích thước MxM tương ứng với các bit chẵn lẻ, K là độ dài thông tin và M là độ dài chẵn lẻ, trong đó $N = K + M$ và $K = N \times r$,

phần ma trận chẵn lẻ có cấu hình bậc thang, trong đó các phần tử “1” được bố trí theo kiểu từng bậc, trong đó trọng số hàng là 1 tại hàng thứ nhất và 2 tại các hàng còn lại và trong đó trọng số cột là 1 tại cột cuối cùng và 2 tại các cột còn lại,

phần ma trận thông tin được thể hiện bởi bảng giá trị ban đầu ma trận kiểm tra chẵn lẻ, trong đó bảng giá trị ban đầu ma trận kiểm tra chẵn lẻ là bảng thể hiện tại hàng thứ i của nó, $1 \leq i \leq K/360$, các vị trí của các phần tử “1” tại cột thứ $(1 + 360 \times (i-1))$ của ma trận thông tin, và trong đó dựa trên mỗi cột thứ $(1 + 360 \times (i-1))$, $1 \leq i \leq K/360$, các cột $(2 + 360 \times (i-1))$ đến $(360 \times i)$ của ma trận thông tin được xác định bằng cách dịch chuyển xuống theo chu kỳ cột phía trước đó tương ứng theo $M/360$, và

bảng giá trị ban đầu ma trận kiểm tra chẵn lẻ bao gồm:

113	1557	3316	5680	6241	10407	13404	13947	14040	14353	15522
15698	16079	17363	19374	19543	20530	22833	24339			
271	1361	6236	7006	7307	7333	12768	15441	15568	17923	18341
21502	22023	23938	25351	25590	25876	25910				

29432

73 605 872 4008 6279 7653 10346 10799 12482 12935 13604 15909
16526 19782 20506 22804 23629 24859 25600
1445 1690 4304 4851 8919 9176 9252 13783 16076 16675 17274 18806
18882 20819 21958 22451 23869 23999 24177
1290 2337 5661 6371 8996 10102 10941 11360 12242 14918 16808
20571 23374 24046 25045 25060 25662 25783 25913
28 42 1926 3421 3503 8558 9453 10168 15820 17473 19571 19685
22790 23336 23367 23890 24061 25657 25680
0 1709 4041 4932 5968 7123 8430 9564 10596 11026 14761 19484
20762 20858 23803 24016 24795 25853 25863
29 1625 6500 6609 16831 18517 18568 18738 19387 20159 20544
21603 21941 24137 24269 24416 24803 25154 25395
55 66 871 3700 11426 13221 15001 16367 17601 18380 22796 23488
23938 25476 25635 25678 25807 25857 25872
1 19 5958 8548 8860 11489 16845 18450 18469 19496 20190 23173
25262 25566 25668 25679 25858 25888 25915
7520 7690 8855 9183 14654 16695 17121 17854 18083 18428 19633
20470 20736 21720 22335 23273 25083 25293 25403
48 58 410 1299 3786 10668 18523 18963 20864 22106 22308 23033
23107 23128 23990 24286 24409 24595 25802
12 51 3894 6539 8276 10885 11644 12777 13427 14039 15954 17078
19053 20537 22863 24521 25087 25463 25838
3509 8748 9581 11509 15884 16230 17583 19264 20900 21001 21310
22547 22756 22959 24768 24814 25594 25626 25880
21 29 69 1448 2386 4601 6626 6667 10242 13141 13852 14137 18640
19951 22449 23454 24431 25512 25814
18 53 7890 9934 10063 16728 19040 19809 20825 21522 21800 23582
24556 25031 25547 25562 25733 25789 25906

4096 4582 5766 5894 6517 10027 12182 13247 15207 17041 18958
20133 20503 22228 24332 24613 25689 25855 25883
0 25 819 5539 7076 7536 7695 9532 13668 15051 17683 19665 20253
21996 24136 24890 25758 25784 25807
34 40 44 4215 6076 7427 7965 8777 11017 15593 19542 22202 22973
23397 23423 24418 24873 25107 25644
1595 6216 22850 25439
1562 15172 19517 22362
7508 12879 24324 24496
6298 15819 16757 18721
11173 15175 19966 21195
59 13505 16941 23793
2267 4830 12023 20587
8827 9278 13072 16664
14419 17463 23398 25348
6112 16534 20423 22698
493 8914 21103 24799
6896 12761 13206 25873
2 1380 12322 21701
11600 21306 25753 25790
8421 13076 14271 15401
9630 14112 19017 20955
212 13932 21781 25824
5961 9110 16654 19636
58 5434 9936 12770
6575 11433 19798
2731 7338 20926
14253 18463 25404
21791 24805 25869

2 11646 15850
6075 8586 23819
18435 22093 24852
2103 2368 11704
10925 17402 18232
9062 25061 25674
18497 20853 23404
18606 19364 19551
7 1022 25543
6744 15481 25868
9081 17305 25164
8 23701 25883
9680 19955 22848
56 4564 19121
5595 15086 25892
3174 17127 23183
19397 19817 20275
12561 24571 25825
7111 9889 25865
19104 20189 21851
549 9686 25548
6586 20325 25906
3224 20710 21637
641 15215 25754
13484 23729 25818
2043 7493 24246
16860 25230 25768
22047 24200 24902
9391 18040 19499

7855 24336 25069
23834 25570 25852
1977 8800 25756
6671 21772 25859
3279 6710 24444
24099 25117 25820
5553 12306 25915
48 11107 23907
10832 11974 25773
2223 17905 25484
16782 17135 20446
475 2861 3457
16218 22449 24362
11716 22200 25897
8315 15009 22633
13 20480 25852
12352 18658 25687
3681 14794 23703
30 24531 25846
4103 22077 24107
23837 25622 25812
3627 13387 25839
908 5367 19388
0 6894 25795
20322 23546 25181
8178 25260 25437
2449 13244 22565
31 18928 22741
1312 5134 14838

6085 13937 24220

66 14633 25670

47 22512 25472

8867 24704 25279

6742 21623 22745

147 9948 24178

8522 24261 24307

19202 22406 24609.

2. Thiết bị xử lý dữ liệu theo điểm 1, trong đó các bit thông tin bao gồm dữ liệu chương trình phát sóng truyền hình.

3. Thiết bị xử lý dữ liệu theo điểm 1, trong đó thiết bị được tạo cấu hình để truyền mã LDPC qua liên kết mặt đất.

4. Thiết bị xử lý dữ liệu theo điểm 1, trong đó thiết bị được tạo cấu hình để truyền mã LDPC qua liên kết vệ tinh.

5. Phương pháp xử lý dữ liệu bao gồm:

bước mã hóa mã hóa các bit thông tin thành mã LDPC (Low Density Parity Check – kiểm tra chẵn lẻ mật độ thấp) có độ dài mã, N, là 64800 bit và tỷ lệ mã, r, là 18/30 trên cơ sở ma trận kiểm tra chẵn lẻ của mã LDPC, trong đó:

mã LDPC bao gồm các bit thông tin và các bit chẵn lẻ,

các bit thông tin bao gồm dữ liệu hình ảnh và dữ liệu audio,

ma trận kiểm tra chẵn lẻ bao gồm phần ma trận thông tin có kích thước MxK tương ứng với các bit thông tin và phần ma trận chẵn lẻ có kích thước MxM tương ứng với các bit chẵn lẻ, K là độ dài thông tin và M là độ dài chẵn lẻ, trong đó $N = K + M$ và $K = N \times r$,

phần ma trận chẵn lẻ có cấu hình bậc thang, trong đó các phần tử “1” được bố trí theo kiểu từng bậc, trong đó trọng số hàng là 1 tại hàng thứ nhất và 2 tại các hàng còn lại và trong đó trọng số cột là 1 tại cột cuối cùng và 2 tại các cột còn lại,

phần ma trận thông tin được thể hiện bởi bảng giá trị ban đầu ma trận

kiểm tra chẵn lẻ, trong đó bảng giá trị ban đầu ma trận kiểm tra chẵn lẻ là bảng thể hiện tại hàng thứ i của nó, $1 \leq i \leq K/360$, các vị trí của các phần tử “1” trong cột thứ $(l + 360 \times (i-1))$ của ma trận thông tin, và trong đó dựa trên mỗi cột thứ $(l + 360 \times (i-1))$, $1 \leq i \leq K/360$, các cột $(2 + 360 \times (i-1))$ đến $(360 \times i)$ của ma trận thông tin được xác định bằng cách dịch chuyển xuống theo chu kỳ cột trước đó tương ứng theo $M/360$, và

bảng giá trị ban đầu ma trận kiểm tra chẵn lẻ bao gồm:

113	1557	3316	5680	6241	10407	13404	13947	14040	14353	15522
15698	16079	17363	19374	19543	20530	22833	24339			
271	1361	6236	7006	7307	7333	12768	15441	15568	17923	18341
21502	22023	23938	25351	25590	25876	25910				
73	605	872	4008	6279	7653	10346	10799	12482	12935	13604
16526	19782	20506	22804	23629	24859	25600				
1445	1690	4304	4851	8919	9176	9252	13783	16076	16675	17274
18882	20819	21958	22451	23869	23999	24177				
1290	2337	5661	6371	8996	10102	10941	11360	12242	14918	16808
20571	23374	24046	25045	25060	25662	25783	25913			
28	42	1926	3421	3503	8558	9453	10168	15820	17473	19571
22790	23336	23367	23890	24061	25657	25680				
0	1709	4041	4932	5968	7123	8430	9564	10596	11026	14761
20762	20858	23803	24016	24795	25853	25863				
29	1625	6500	6609	16831	18517	18568	18738	19387	20159	20544
21603	21941	24137	24269	24416	24803	25154	25395			
55	66	871	3700	11426	13221	15001	16367	17601	18380	22796
23938	25476	25635	25678	25807	25857	25872				
1	19	5958	8548	8860	11489	16845	18450	18469	19496	20190
25262	25566	25668	25679	25858	25888	25915				
7520	7690	8855	9183	14654	16695	17121	17854	18083	18428	19633
20470	20736	21720	22335	23273	25083	25293	25403			

48 58 410 1299 3786 10668 18523 18963 20864 22106 22308 23033
23107 23128 23990 24286 24409 24595 25802
12 51 3894 6539 8276 10885 11644 12777 13427 14039 15954 17078
19053 20537 22863 24521 25087 25463 25838
3509 8748 9581 11509 15884 16230 17583 19264 20900 21001 21310
22547 22756 22959 24768 24814 25594 25626 25880
21 29 69 1448 2386 4601 6626 6667 10242 13141 13852 14137 18640
19951 22449 23454 24431 25512 25814
18 53 7890 9934 10063 16728 19040 19809 20825 21522 21800 23582
24556 25031 25547 25562 25733 25789 25906
4096 4582 5766 5894 6517 10027 12182 13247 15207 17041 18958
20133 20503 22228 24332 24613 25689 25855 25883
0 25 819 5539 7076 7536 7695 9532 13668 15051 17683 19665 20253
21996 24136 24890 25758 25784 25807
34 40 44 4215 6076 7427 7965 8777 11017 15593 19542 22202 22973
23397 23423 24418 24873 25107 25644
1595 6216 22850 25439
1562 15172 19517 22362
7508 12879 24324 24496
6298 15819 16757 18721
11173 15175 19966 21195
59 13505 16941 23793
2267 4830 12023 20587
8827 9278 13072 16664
14419 17463 23398 25348
6112 16534 20423 22698
493 8914 21103 24799
6896 12761 13206 25873
2 1380 12322 21701

11600 21306 25753 25790
8421 13076 14271 15401
9630 14112 19017 20955
212 13932 21781 25824
5961 9110 16654 19636
58 5434 9936 12770
6575 11433 19798
2731 7338 20926
14253 18463 25404
21791 24805 25869
2 11646 15850
6075 8586 23819
18435 22093 24852
2103 2368 11704
10925 17402 18232
9062 25061 25674
18497 20853 23404
18606 19364 19551
7 1022 25543
6744 15481 25868
9081 17305 25164
8 23701 25883
9680 19955 22848
56 4564 19121
5595 15086 25892
3174 17127 23183
19397 19817 20275
12561 24571 25825
7111 9889 25865

19104 20189 21851
549 9686 25548
6586 20325 25906
3224 20710 21637
641 15215 25754
13484 23729 25818
2043 7493 24246
16860 25230 25768
22047 24200 24902
9391 18040 19499
7855 24336 25069
23834 25570 25852
1977 8800 25756
6671 21772 25859
3279 6710 24444
24099 25117 25820
5553 12306 25915
48 11107 23907
10832 11974 25773
2223 17905 25484
16782 17135 20446
475 2861 3457
16218 22449 24362
11716 22200 25897
8315 15009 22633
13 20480 25852
12352 18658 25687
3681 14794 23703
30 24531 25846

4103 22077 24107
 23837 25622 25812
 3627 13387 25839
 908 5367 19388
 0 6894 25795
 20322 23546 25181
 8178 25260 25437
 2449 13244 22565
 31 18928 22741
 1312 5134 14838
 6085 13937 24220
 66 14633 25670
 47 22512 25472
 8867 24704 25279
 6742 21623 22745
 147 9948 24178
 8522 24261 24307
 19202 22406 24609.

6. Phương pháp xử lý dữ liệu theo điểm 5, trong đó các bit thông tin bao gồm dữ liệu chương trình phát sóng truyền hình.

7. Phương pháp xử lý dữ liệu theo điểm 5, trong đó phương pháp bao gồm sự truyền của mã LDPC qua liên kết mặt đất.

8. Phương pháp xử lý dữ liệu theo điểm 5, trong đó phương pháp bao gồm sự truyền của mã LDPC qua liên kết vệ tinh.

9. Thiết bị xử lý dữ liệu bao gồm:

bộ giải mã được tạo cấu hình để giải mã mã LDPC (Low Density Parity Check – kiểm tra chẵn lẻ mật độ thấp) có độ dài mã, N, là 64800 bit và tỷ lệ mã, r, là 18/30 trên cơ sở ma trận kiểm tra chẵn lẻ của mã LDPC, trong đó:

mã LDPC bao gồm các bit thông tin và các bit chẵn lẻ,

các bit thông tin bao gồm dữ liệu hình ảnh và dữ liệu audio, ma trận kiểm tra chẵn lẻ bao gồm phần ma trận thông tin có kích thước $M \times K$ tương ứng với các bit thông tin và phần ma trận chẵn lẻ có kích thước $M \times M$ tương ứng với các bit chẵn lẻ, K là độ dài thông tin và M là độ dài chẵn lẻ, trong đó $N = K + M$ và $K = N \times r$,

phần ma trận chẵn lẻ có cấu hình bậc thang, trong đó các phần tử “1” được bố trí theo kiểu từng bậc, trong đó trọng số hàng là 1 tại hàng thứ nhất và 2 tại các hàng còn lại và trong đó trọng số cột là 1 tại cột cuối cùng và 2 tại các cột còn lại,

phần ma trận thông tin được thể hiện bởi bảng giá trị ban đầu ma trận kiểm tra chẵn lẻ, trong đó bảng giá trị ban đầu ma trận kiểm tra chẵn lẻ là bảng thể hiện tại hàng thứ i của nó, $1 \leq i \leq K/360$, các vị trí của các phần tử “1” tại cột thứ $(l + 360 \times (i-1))$ của ma trận thông tin, và trong đó dựa trên mỗi cột thứ $(l + 360 \times (i-1))$, $1 \leq i \leq K/360$, các cột $(2 + 360 \times (i-1))$ đến $(360 \times i)$ của ma trận thông tin được xác định bằng cách dịch chuyển xuống theo chu kỳ cột trước đó tương ứng theo $M/360$, và

bảng giá trị ban đầu ma trận kiểm tra chẵn lẻ bao gồm:

113	1557	3316	5680	6241	10407	13404	13947	14040	14353	15522
15698	16079	17363	19374	19543	20530	22833	24339			
271	1361	6236	7006	7307	7333	12768	15441	15568	17923	18341
21502	22023	23938	25351	25590	25876	25910				
73	605	872	4008	6279	7653	10346	10799	12482	12935	13604
16526	19782	20506	22804	23629	24859	25600				
1445	1690	4304	4851	8919	9176	9252	13783	16076	16675	17274
18882	20819	21958	22451	23869	23999	24177				
1290	2337	5661	6371	8996	10102	10941	11360	12242	14918	16808
20571	23374	24046	25045	25060	25662	25783	25913			
28	42	1926	3421	3503	8558	9453	10168	15820	17473	19571
22790	23336	23367	23890	24061	25657	25680				

29432

0 1709 4041 4932 5968 7123 8430 9564 10596 11026 14761 19484
20762 20858 23803 24016 24795 25853 25863
29 1625 6500 6609 16831 18517 18568 18738 19387 20159 20544
21603 21941 24137 24269 24416 24803 25154 25395
55 66 871 3700 11426 13221 15001 16367 17601 18380 22796 23488
23938 25476 25635 25678 25807 25857 25872
1 19 5958 8548 8860 11489 16845 18450 18469 19496 20190 23173
25262 25566 25668 25679 25858 25888 25915
7520 7690 8855 9183 14654 16695 17121 17854 18083 18428 19633
20470 20736 21720 22335 23273 25083 25293 25403
48 58 410 1299 3786 10668 18523 18963 20864 22106 22308 23033
23107 23128 23990 24286 24409 24595 25802
12 51 3894 6539 8276 10885 11644 12777 13427 14039 15954 17078
19053 20537 22863 24521 25087 25463 25838
3509 8748 9581 11509 15884 16230 17583 19264 20900 21001 21310
22547 22756 22959 24768 24814 25594 25626 25880
21 29 69 1448 2386 4601 6626 6667 10242 13141 13852 14137 18640
19951 22449 23454 24431 25512 25814
18 53 7890 9934 10063 16728 19040 19809 20825 21522 21800 23582
24556 25031 25547 25562 25733 25789 25906
4096 4582 5766 5894 6517 10027 12182 13247 15207 17041 18958
20133 20503 22228 24332 24613 25689 25855 25883
0 25 819 5539 7076 7536 7695 9532 13668 15051 17683 19665 20253
21996 24136 24890 25758 25784 25807
34 40 44 4215 6076 7427 7965 8777 11017 15593 19542 22202 22973
23397 23423 24418 24873 25107 25644
1595 6216 22850 25439
1562 15172 19517 22362
7508 12879 24324 24496

6298 15819 16757 18721
11173 15175 19966 21195
59 13505 16941 23793
2267 4830 12023 20587
8827 9278 13072 16664
14419 17463 23398 25348
6112 16534 20423 22698
493 8914 21103 24799
6896 12761 13206 25873
2 1380 12322 21701
11600 21306 25753 25790
8421 13076 14271 15401
9630 14112 19017 20955
212 13932 21781 25824
5961 9110 16654 19636
58 5434 9936 12770
6575 11433 19798
2731 7338 20926
14253 18463 25404
21791 24805 25869
2 11646 15850
6075 8586 23819
18435 22093 24852
2103 2368 11704
10925 17402 18232
9062 25061 25674
18497 20853 23404
18606 19364 19551
7 1022 25543

6744 15481 25868
9081 17305 25164
8 23701 25883
9680 19955 22848
56 4564 19121
5595 15086 25892
3174 17127 23183
19397 19817 20275
12561 24571 25825
7111 9889 25865
19104 20189 21851
549 9686 25548
6586 20325 25906
3224 20710 21637
641 15215 25754
13484 23729 25818
2043 7493 24246
16860 25230 25768
22047 24200 24902
9391 18040 19499
7855 24336 25069
23834 25570 25852
1977 8800 25756
6671 21772 25859
3279 6710 24444
24099 25117 25820
5553 12306 25915
48 11107 23907
10832 11974 25773

2223 17905 25484
16782 17135 20446
475 2861 3457
16218 22449 24362
11716 22200 25897
8315 15009 22633
13 20480 25852
12352 18658 25687
3681 14794 23703
30 24531 25846
4103 22077 24107
23837 25622 25812
3627 13387 25839
908 5367 19388
0 6894 25795
20322 23546 25181
8178 25260 25437
2449 13244 22565
31 18928 22741
1312 5134 14838
6085 13937 24220
66 14633 25670
47 22512 25472
8867 24704 25279
6742 21623 22745
147 9948 24178
8522 24261 24307
19202 22406 24609.

10. Thiết bị xử lý dữ liệu theo điểm 9, trong đó các bit thông tin bao gồm dữ liệu

chương trình phát sóng truyền hình.

11. Thiết bị xử lý dữ liệu theo điểm 9, trong đó thiết bị bao gồm việc thu mã LDPC qua liên kết mặt đất.

12. Thiết bị xử lý dữ liệu theo điểm 10, trong đó thiết bị bao gồm việc thu mã LDPC qua liên kết vệ tinh.

13. Bộ thu truyền hình bao gồm thiết bị xử lý dữ liệu theo điểm bất kỳ trong số các điểm 9 đến 12.

14. Phương pháp xử lý dữ liệu bao gồm:

bước giải mã giải mã mã LDPC (Low Density Parity Check – kiểm tra chẵn lẻ mật độ thấp) có độ dài mã, N, là 64800 bit và tỷ lệ mã, r, là 18/30 trên cơ sở ma trận kiểm tra chẵn lẻ của mã LDPC, trong đó

mã LDPC bao gồm các bit thông tin và các bit chẵn lẻ,

các bit thông tin bao gồm dữ liệu hình ảnh và dữ liệu audio,

ma trận kiểm tra chẵn lẻ bao gồm phần ma trận thông tin có kích thước MxK tương ứng với các bit thông tin và phần ma trận chẵn lẻ có kích thước MxM tương ứng với các bit chẵn lẻ, K là độ dài thông tin và M là độ dài chẵn lẻ, trong đó $N = K + M$ và $K = N \times r$,

phần ma trận chẵn lẻ có cấu hình bậc thang, trong đó các phần tử “1” được bố trí theo kiểu từng bậc, trong đó trọng số hàng là 1 tại hàng thứ nhất và 2 tại các hàng còn lại và trong đó trọng số cột là 1 tại cột cuối cùng và 2 tại các cột còn lại,

phần ma trận thông tin được thể hiện bởi bảng giá trị ban đầu ma trận kiểm tra chẵn lẻ, trong đó bảng giá trị ban đầu ma trận kiểm tra chẵn lẻ là bảng thể hiện tại hàng thứ i của nó, $1 \leq i \leq K/360$, các vị trí của các phần tử “1” tại cột thứ $(l + 360 \times (i-1))$ của ma trận thông tin, và trong đó dựa trên mỗi cột thứ $(l + 360 \times (i-1))$, $1 \leq i \leq K/360$, các cột $(2 + 360 \times (i-1))$ đến $(360 \times i)$ của ma trận thông tin được xác định bằng cách dịch chuyển xuống theo chu kỳ cột trước đó tương ứng theo $M/360$, và

bảng giá trị ban đầu ma trận kiểm tra chẵn lẻ bao gồm:

113 1557 3316 5680 6241 10407 13404 13947 14040 14353 15522
 15698 16079 17363 19374 19543 20530 22833 24339
 271 1361 6236 7006 7307 7333 12768 15441 15568 17923 18341 20321
 21502 22023 23938 25351 25590 25876 25910
 73 605 872 4008 6279 7653 10346 10799 12482 12935 13604 15909
 16526 19782 20506 22804 23629 24859 25600
 1445 1690 4304 4851 8919 9176 9252 13783 16076 16675 17274 18806
 18882 20819 21958 22451 23869 23999 24177
 1290 2337 5661 6371 8996 10102 10941 11360 12242 14918 16808
 20571 23374 24046 25045 25060 25662 25783 25913
 28 42 1926 3421 3503 8558 9453 10168 15820 17473 19571 19685
 22790 23336 23367 23890 24061 25657 25680
 0 1709 4041 4932 5968 7123 8430 9564 10596 11026 14761 19484
 20762 20858 23803 24016 24795 25853 25863
 29 1625 6500 6609 16831 18517 18568 18738 19387 20159 20544
 21603 21941 24137 24269 24416 24803 25154 25395
 55 66 871 3700 11426 13221 15001 16367 17601 18380 22796 23488
 23938 25476 25635 25678 25807 25857 25872
 1 19 5958 8548 8860 11489 16845 18450 18469 19496 20190 23173
 25262 25566 25668 25679 25858 25888 25915
 7520 7690 8855 9183 14654 16695 17121 17854 18083 18428 19633
 20470 20736 21720 22335 23273 25083 25293 25403
 48 58 410 1299 3786 10668 18523 18963 20864 22106 22308 23033
 23107 23128 23990 24286 24409 24595 25802
 12 51 3894 6539 8276 10885 11644 12777 13427 14039 15954 17078
 19053 20537 22863 24521 25087 25463 25838
 3509 8748 9581 11509 15884 16230 17583 19264 20900 21001 21310
 22547 22756 22959 24768 24814 25594 25626 25880

29432

21 29 69 1448 2386 4601 6626 6667 10242 13141 13852 14137 18640
19951 22449 23454 24431 25512 25814
18 53 7890 9934 10063 16728 19040 19809 20825 21522 21800 23582
24556 25031 25547 25562 25733 25789 25906
4096 4582 5766 5894 6517 10027 12182 13247 15207 17041 18958
20133 20503 22228 24332 24613 25689 25855 25883
0 25 819 5539 7076 7536 7695 9532 13668 15051 17683 19665 20253
21996 24136 24890 25758 25784 25807
34 40 44 4215 6076 7427 7965 8777 11017 15593 19542 22202 22973
23397 23423 24418 24873 25107 25644
1595 6216 22850 25439
1562 15172 19517 22362
7508 12879 24324 24496
6298 15819 16757 18721
11173 15175 19966 21195
59 13505 16941 23793
2267 4830 12023 20587
8827 9278 13072 16664
14419 17463 23398 25348
6112 16534 20423 22698
493 8914 21103 24799
6896 12761 13206 25873
2 1380 12322 21701
11600 21306 25753 25790
8421 13076 14271 15401
9630 14112 19017 20955
212 13932 21781 25824
5961 9110 16654 19636
58 5434 9936 12770

6575 11433 19798
2731 7338 20926
14253 18463 25404
21791 24805 25869
2 11646 15850
6075 8586 23819
18435 22093 24852
2103 2368 11704
10925 17402 18232
9062 25061 25674
18497 20853 23404
18606 19364 19551
7 1022 25543
6744 15481 25868
9081 17305 25164
8 23701 25883
9680 19955 22848
56 4564 19121
5595 15086 25892
3174 17127 23183
19397 19817 20275
12561 24571 25825
7111 9889 25865
19104 20189 21851
549 9686 25548
6586 20325 25906
3224 20710 21637
641 15215 25754
13484 23729 25818

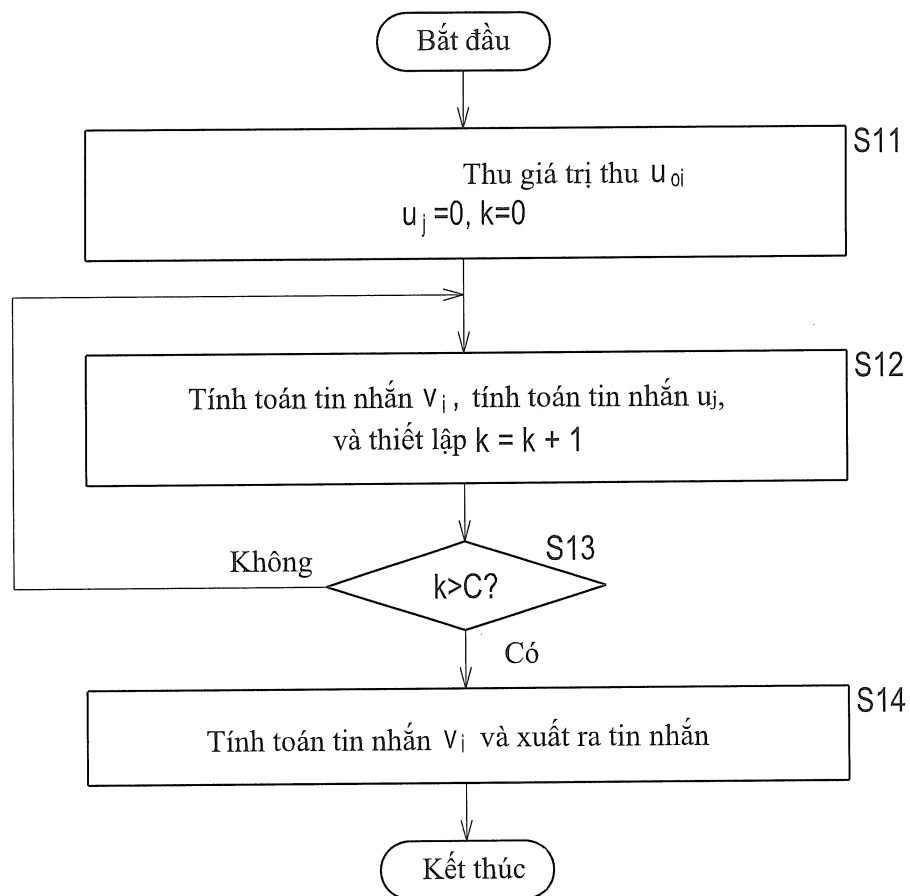
2043 7493 24246
16860 25230 25768
22047 24200 24902
9391 18040 19499
7855 24336 25069
23834 25570 25852
1977 8800 25756
6671 21772 25859
3279 6710 24444
24099 25117 25820
5553 12306 25915
48 11107 23907
10832 11974 25773
2223 17905 25484
16782 17135 20446
475 2861 3457
16218 22449 24362
11716 22200 25897
8315 15009 22633
13 20480 25852
12352 18658 25687
3681 14794 23703
30 24531 25846
4103 22077 24107
23837 25622 25812
3627 13387 25839
908 5367 19388
0 6894 25795
20322 23546 25181

8178 25260 25437
 2449 13244 22565
 31 18928 22741
 1312 5134 14838
 6085 13937 24220
 66 14633 25670
 47 22512 25472
 8867 24704 25279
 6742 21623 22745
 147 9948 24178
 8522 24261 24307
 19202 22406 24609.

15. Phương pháp xử lý dữ liệu theo điểm 14, trong đó các bit thông tin bao gồm dữ liệu chương trình phát sóng truyền hình.
16. Phương pháp xử lý dữ liệu theo điểm 14, trong đó phương pháp bao gồm việc thu mã LDPC qua liên kết mặt đất.
17. Phương pháp xử lý dữ liệu theo điểm 14, trong đó phương pháp bao gồm việc thu mã LDPC qua liên kết vệ tinh.
18. Phương tiện ghi lưu trữ các lệnh mà khi được thực hiện bởi máy tính khiến máy tính thực hiện phương pháp xử lý dữ liệu theo điểm bất kỳ trong số các điểm từ 5 đến 8.
19. Phương tiện ghi lưu trữ các lệnh mà khi được thực hiện bởi máy tính khiến máy tính thực hiện phương pháp xử lý dữ liệu theo điểm bất kỳ trong số các điểm từ 14 đến 17.

FIG. 1

$$H = \begin{bmatrix} & & & & & \\ & \ddots & \ddots & \ddots & \ddots & \\ & \ddots & 1 & \cdots & 1 & \cdots \\ & & \boxed{\cdots \cdots 1 \cdots \cdots 1 \cdots 1 \cdots \cdots \cdots 1 \cdots \cdots 1 \cdots \cdots 1} & & \\ & & & \ddots & \ddots & \ddots \\ & & & & \ddots & \ddots \\ & & & & & \ddots \end{bmatrix}$$

FIG. 2

3/130

FIG.3

$$H = \begin{bmatrix} 1 & 1 & 1 & 0 & 0 & 0 & 1 & 0 & 1 & 1 & 0 & 0 \\ 1 & 1 & 0 & 1 & 1 & 0 & 0 & 0 & 0 & 0 & 1 & 1 \\ 0 & 0 & 1 & 1 & 1 & 1 & 1 & 0 & 0 & 1 & 0 & 0 \\ 0 & 0 & 0 & 1 & 1 & 1 & 0 & 1 & 1 & 0 & 0 & 1 \\ 1 & 1 & 0 & 0 & 0 & 1 & 0 & 1 & 0 & 1 & 1 & 0 \\ 0 & 0 & 1 & 0 & 0 & 0 & 1 & 1 & 1 & 0 & 1 & 1 \end{bmatrix}$$

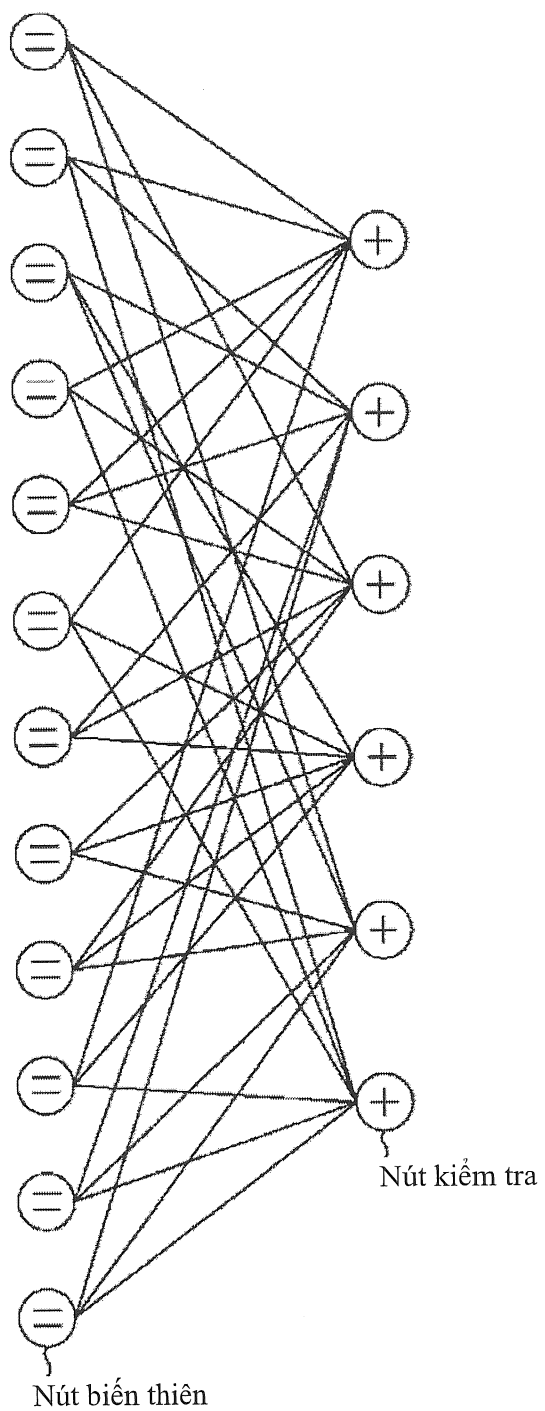
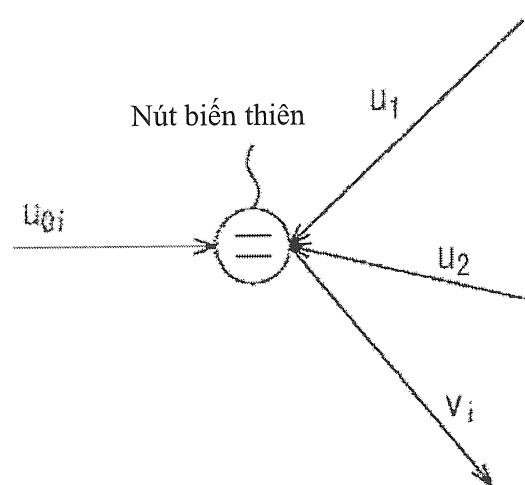
FIG. 4

FIG. 5

6/130

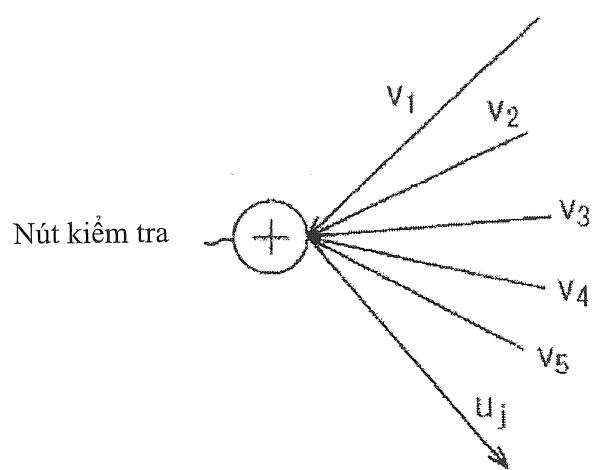
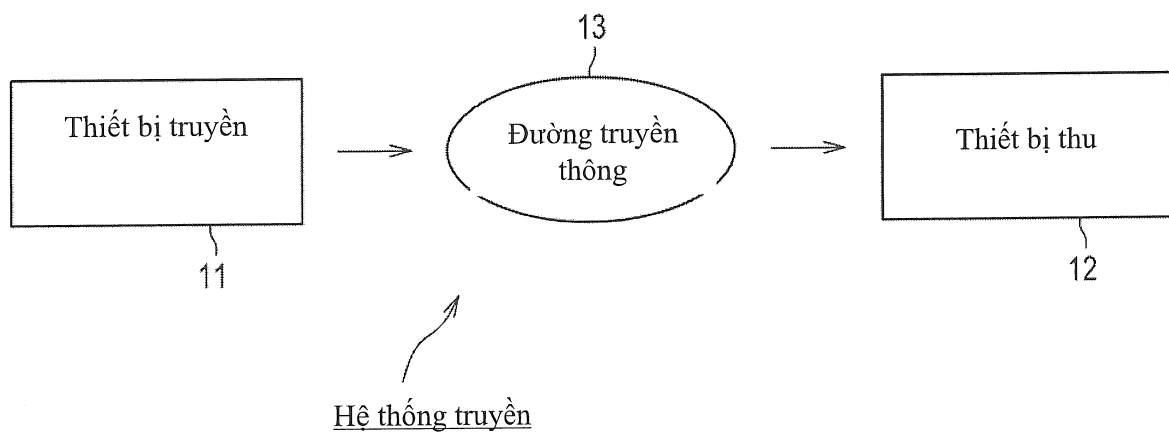
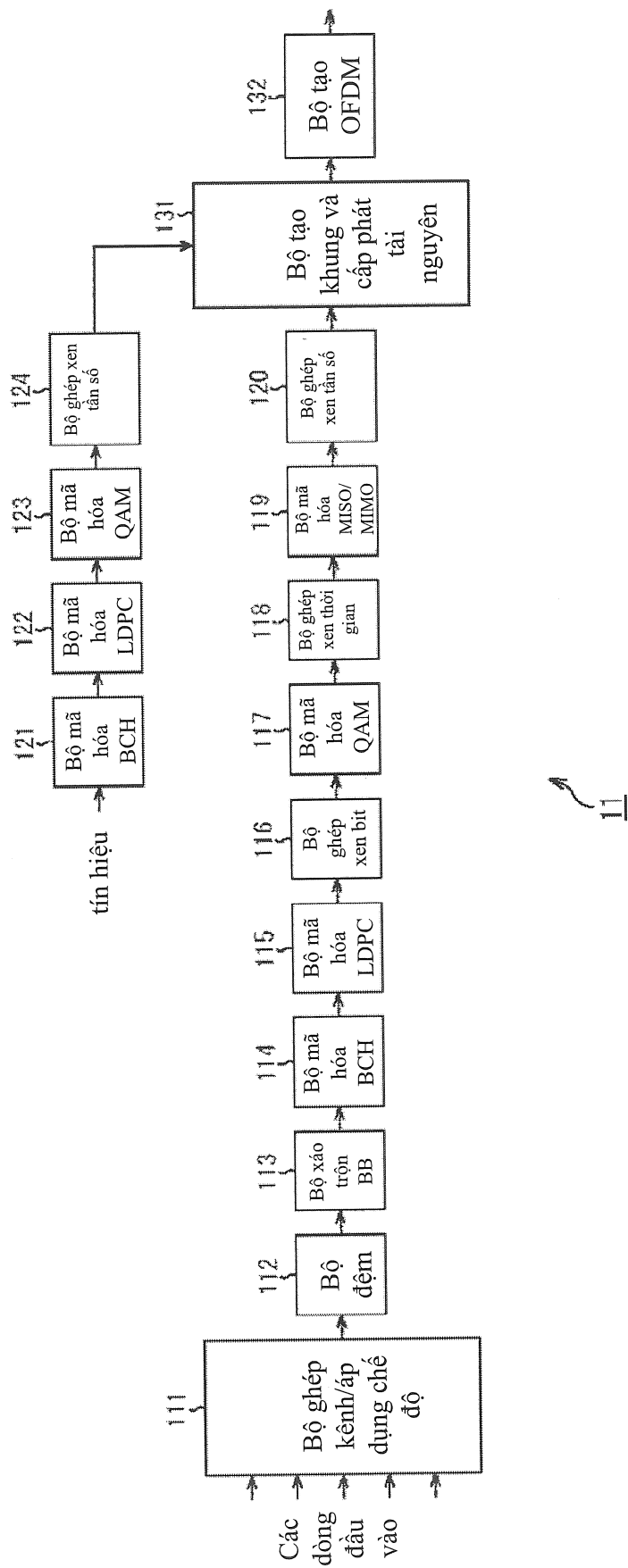
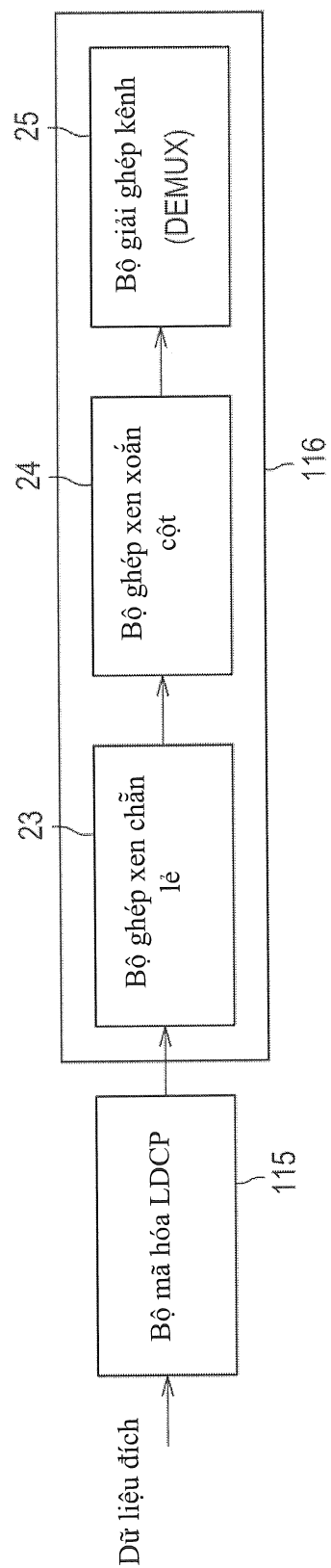
FIG. 6

FIG. 7

8/130

FIG. 8

9/130

FIG. 9

A handwritten mark 'A' is written above the connection between the 'Bộ giải ghép kênh (DEMUX)' and the empty box 'F'. Below the empty box 'F', there is a handwritten mark '11' under a horizontal line.

10/130

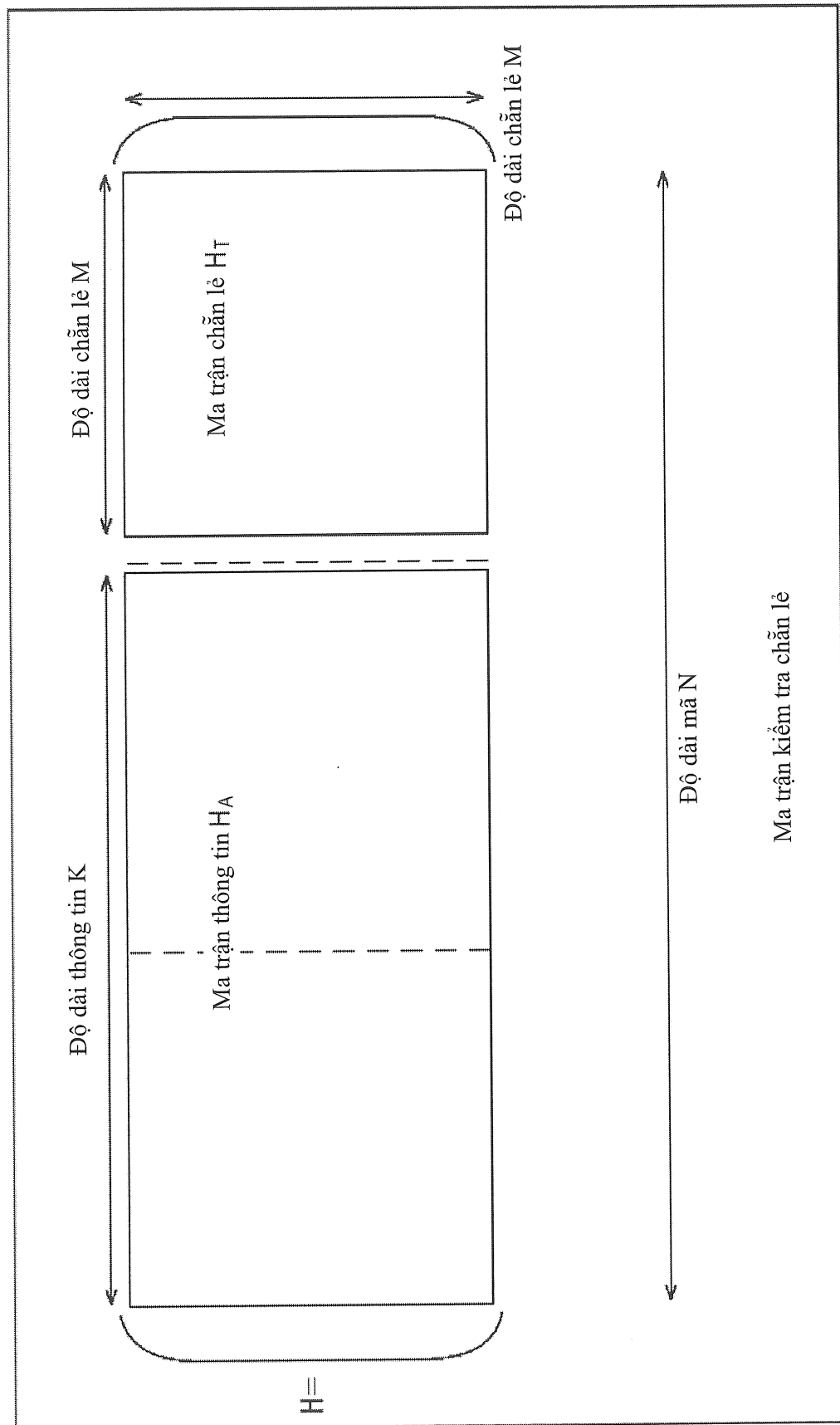
FIG. 10

FIG. 11

$$H_T = \begin{pmatrix} 1 & & & \\ 11 & 0 & & \\ 11 & & 11 & \\ 11 & & & 11 \end{pmatrix}$$

MA TRẬN CHĂN LẺ H_T

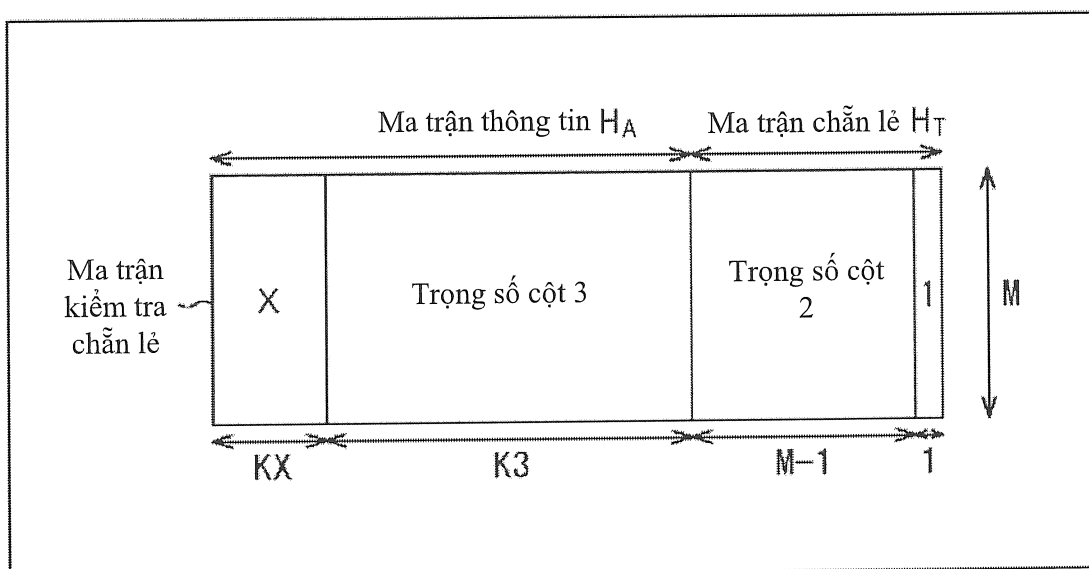
FIG. 12

FIG. 13

Các tỷ lệ mã hóa danh định	N=64800			N=16200		
	X	KX	K3	M	X	KX
1/4	12	5400	10800	48600	12	1440
1/3	12	7200	14400	43200	12	1800
2/5	12	8640	17280	38880	12	2160
1/2	8	12960	19440	32400	8	1800
3/5	12	12960	25920	25920	12	3240
2/3	13	4320	38880	21600	13	1080
3/4	12	5400	43200	16200	12	360
4/5	11	6480	45360	12960	-	0
5/6	13	5400	48600	10800	13	360
8/9	4	7200	50400	7200	4	1800
9/10	4	6480	51840	6480	-----	-----

Số lượng cột
của mỗi trọng
số cột

14/130

FIG. 14

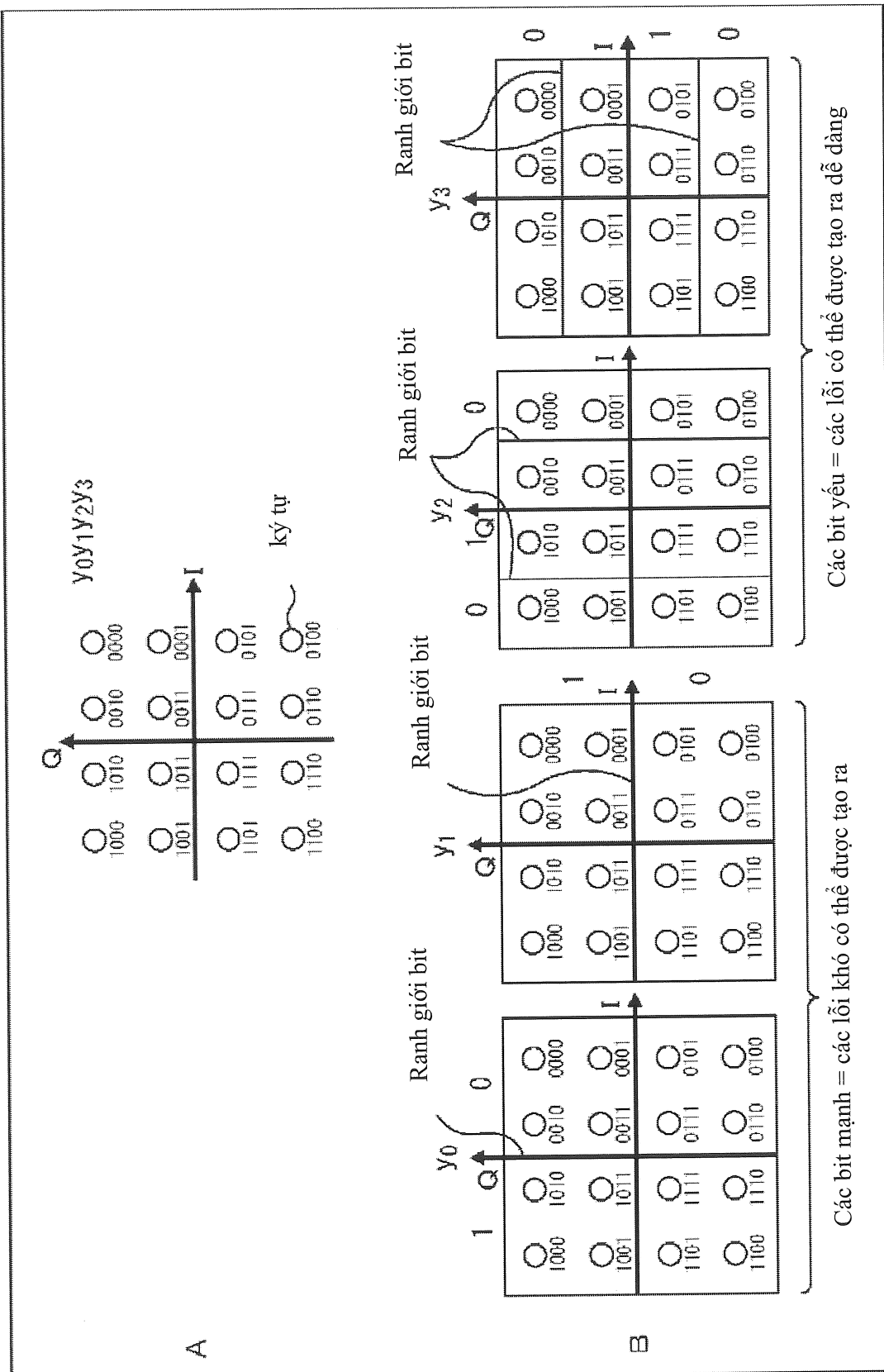
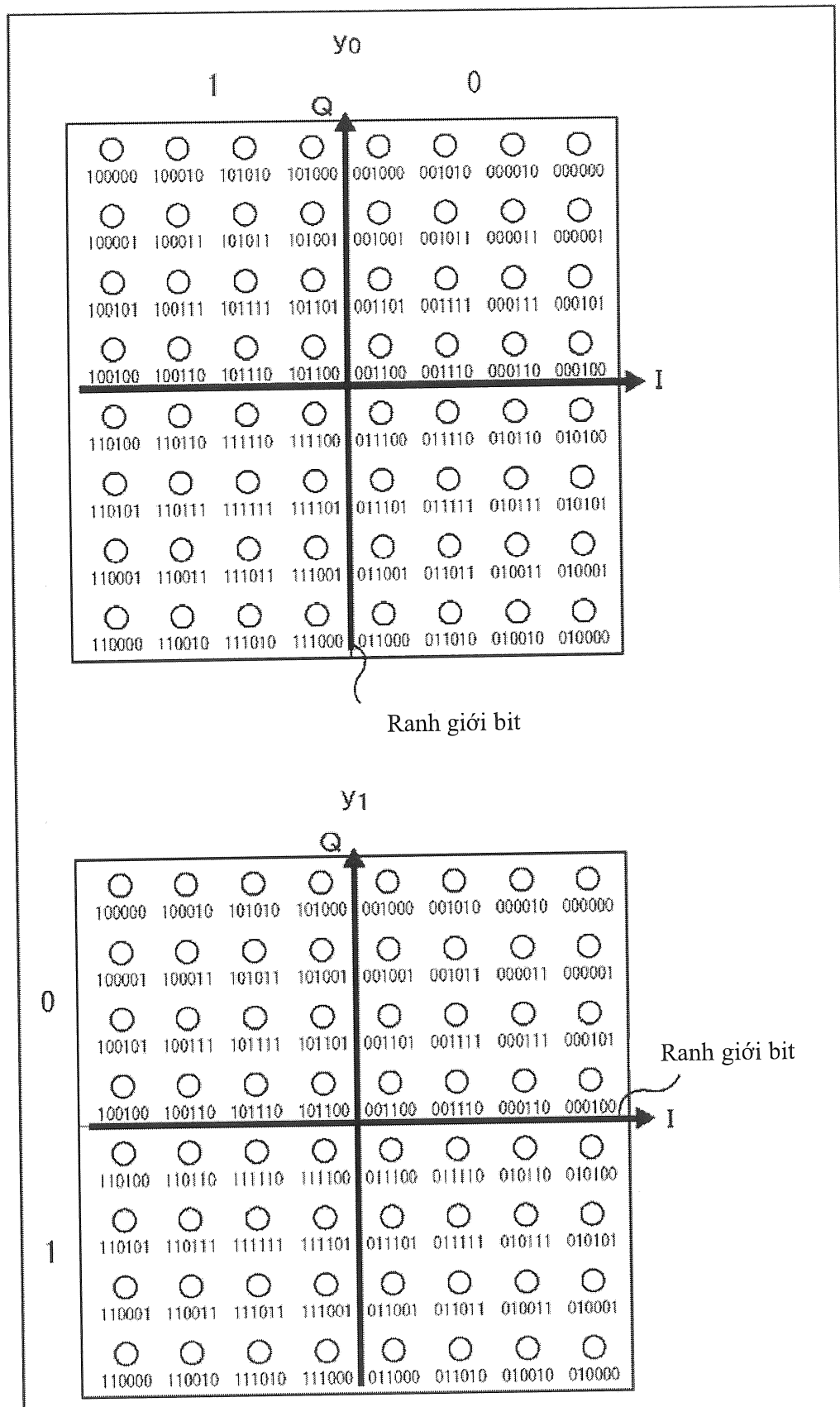
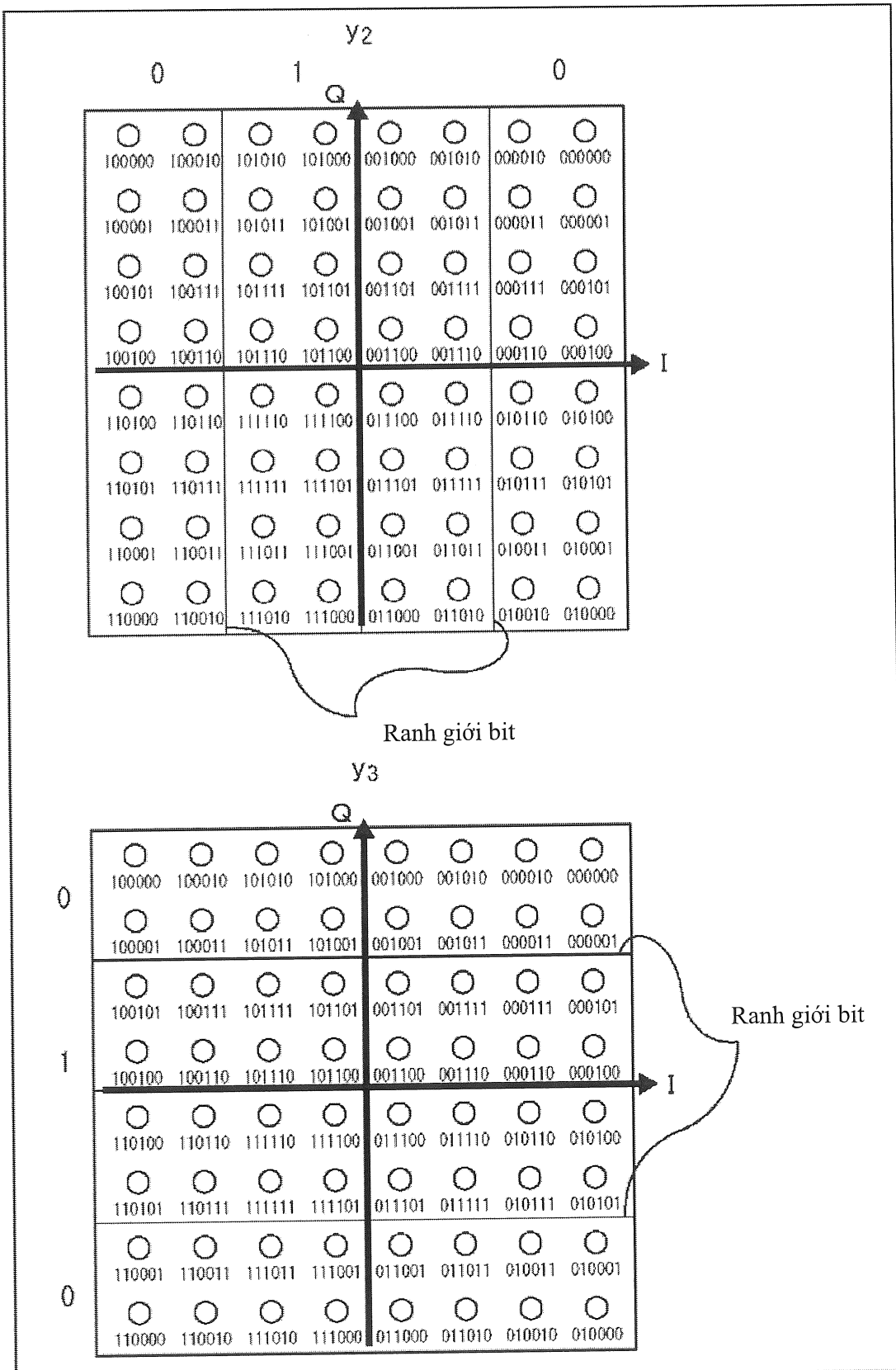
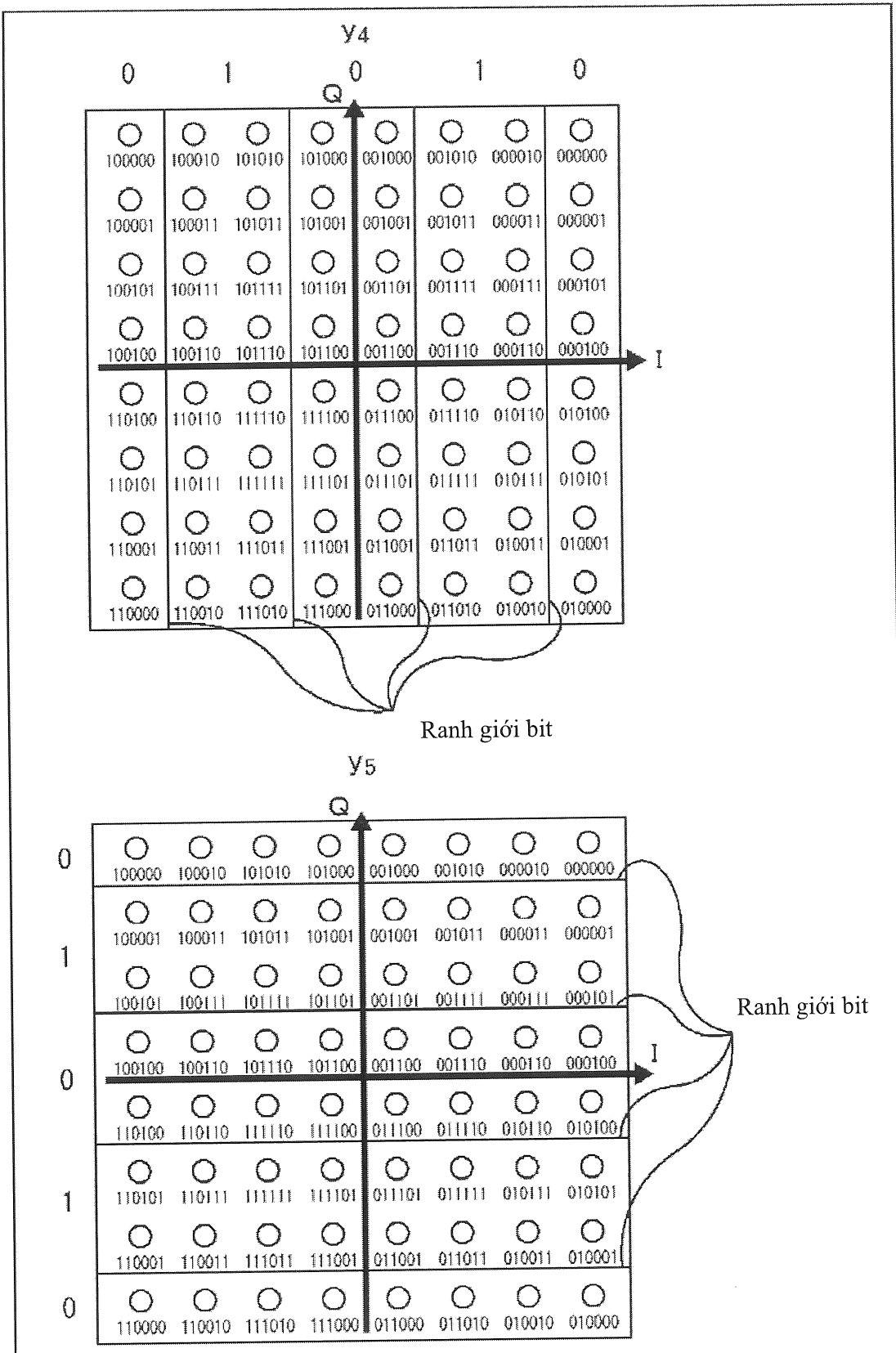


FIG. 15

16/130

FIG. 16

17/130

FIG. 17

18/130

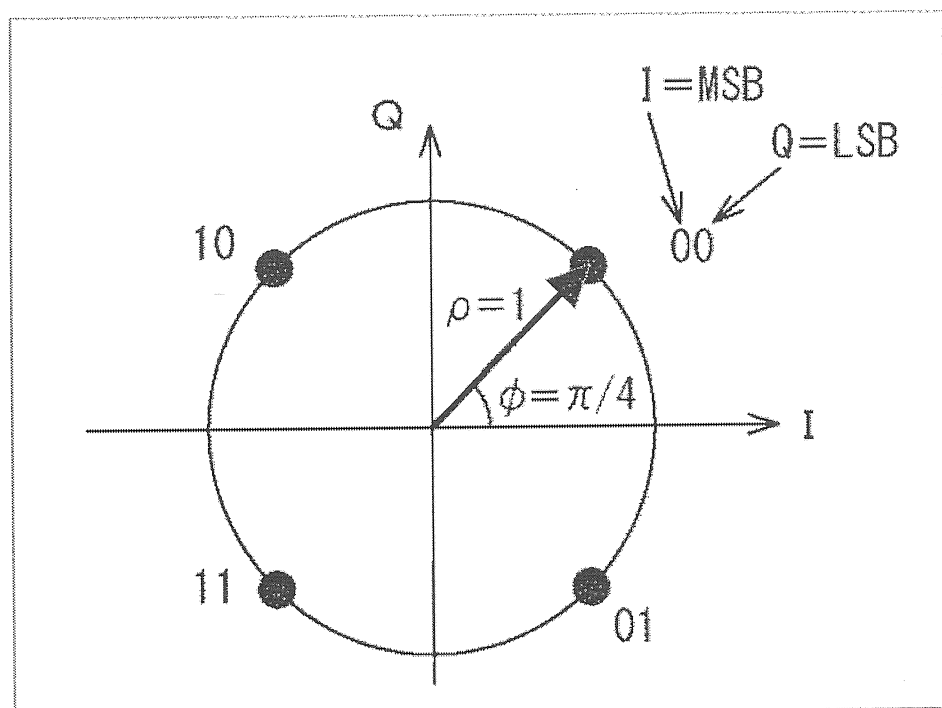
FIG. 18

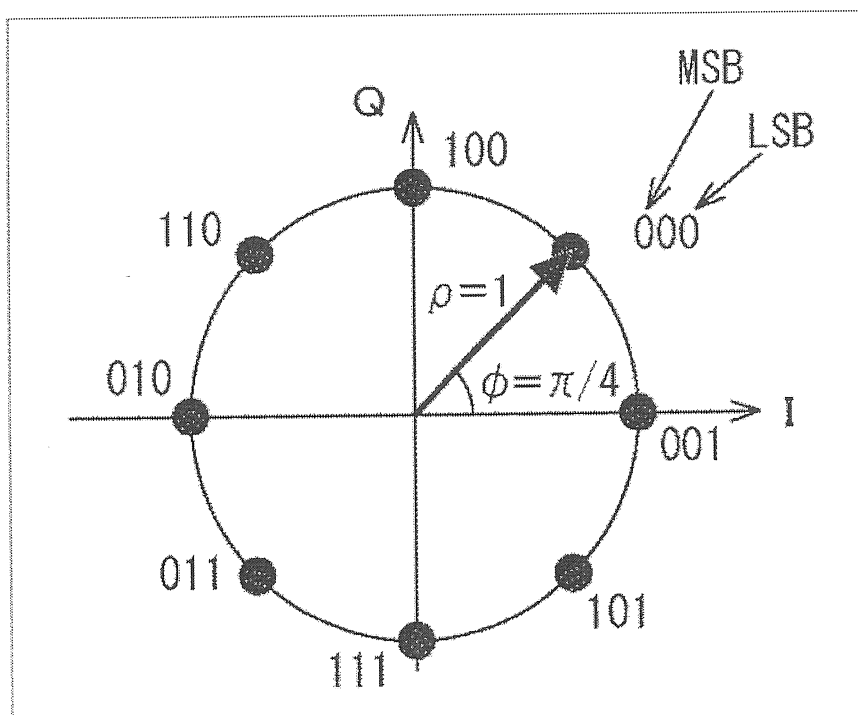
FIG. 19

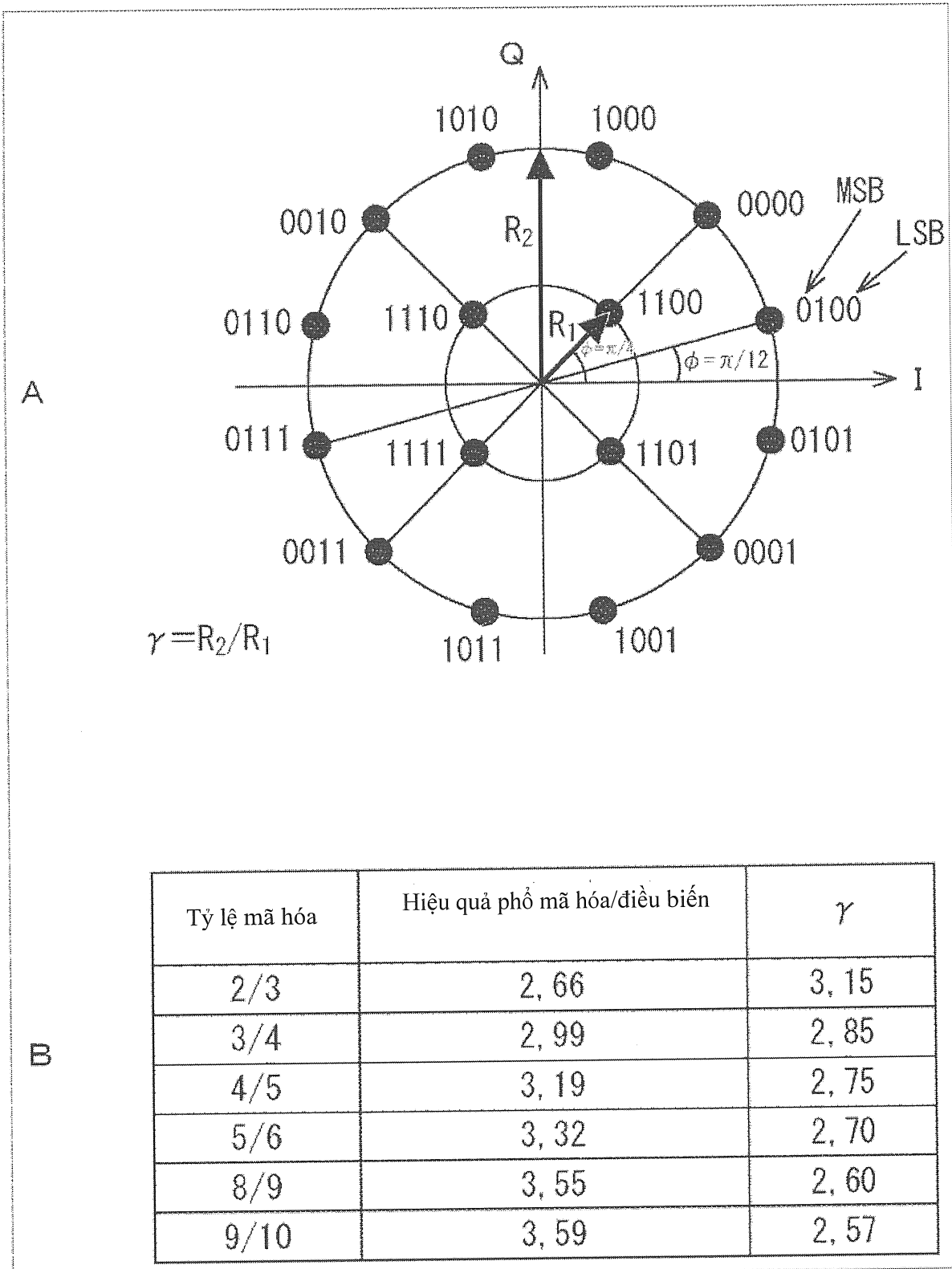
FIG. 20

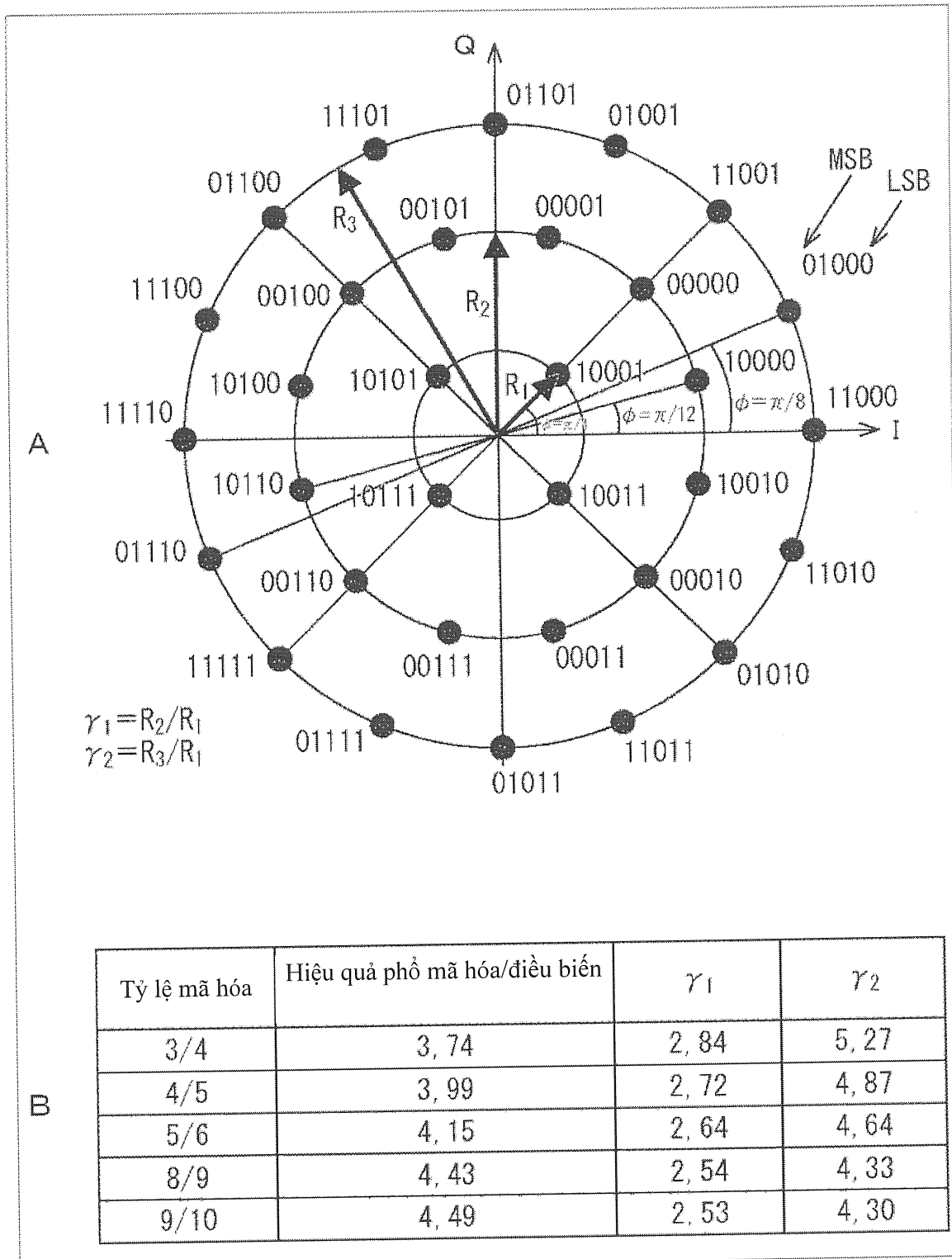
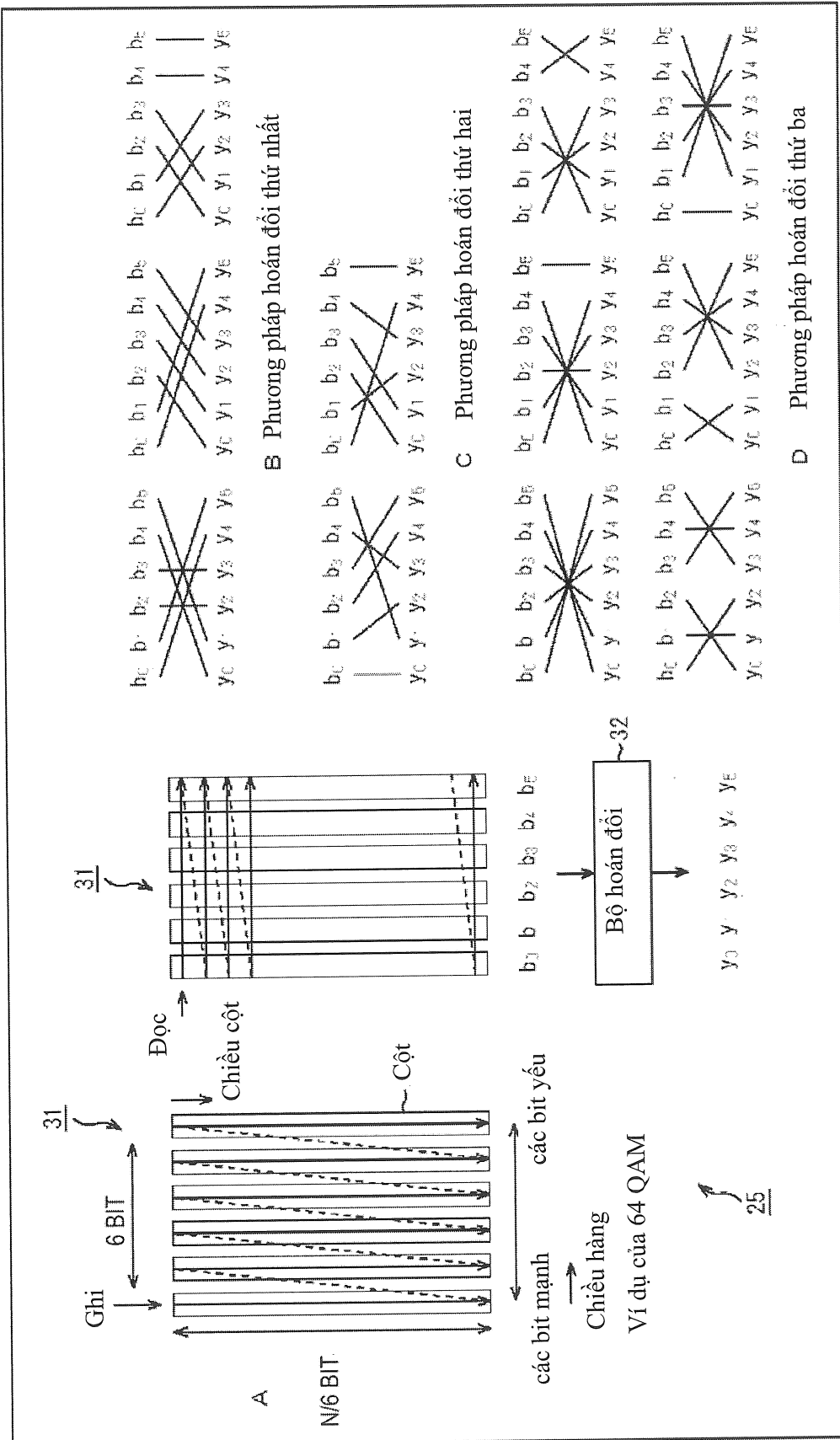
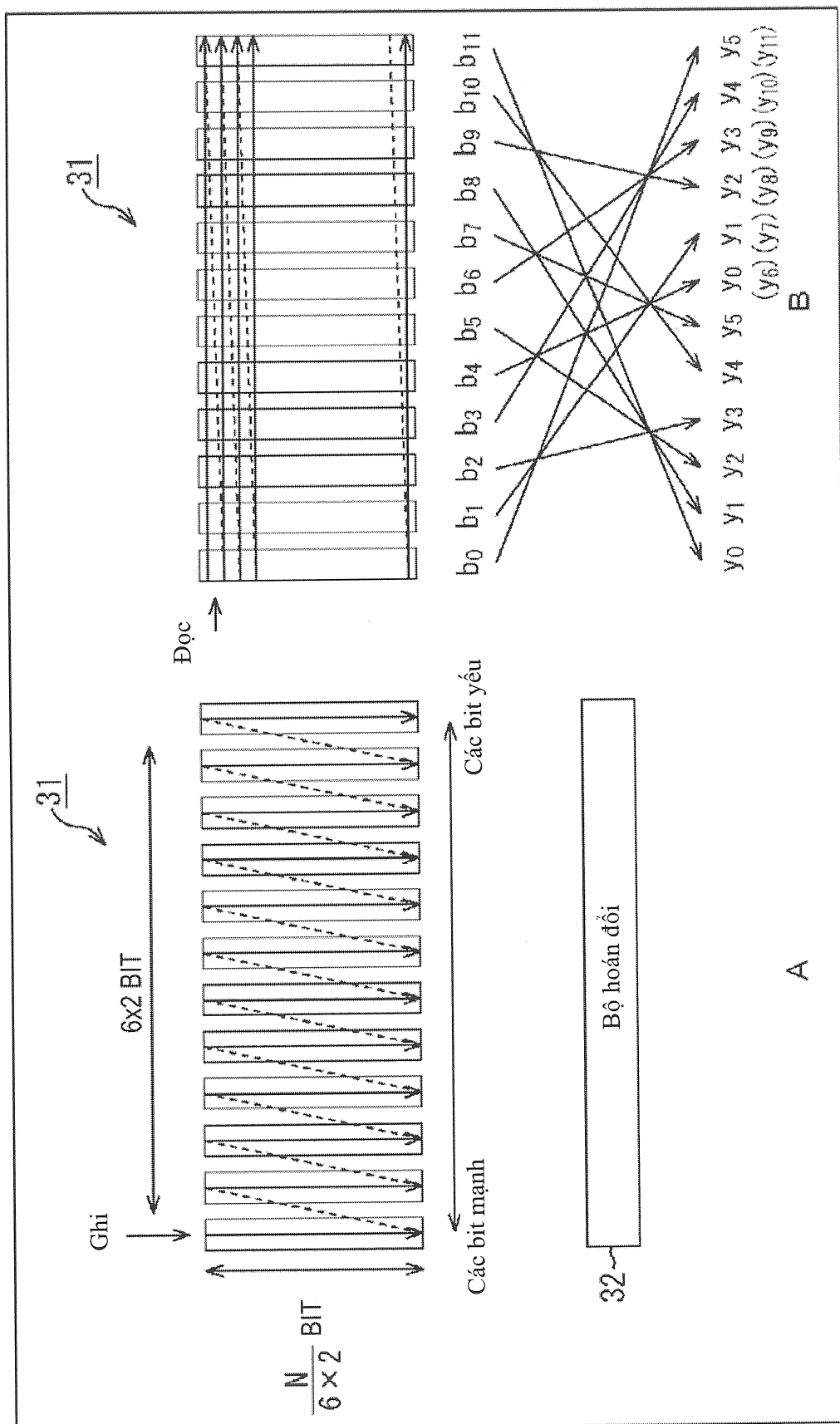
FIG. 21

FIG. 22



23/130

FIG. 23

24/130

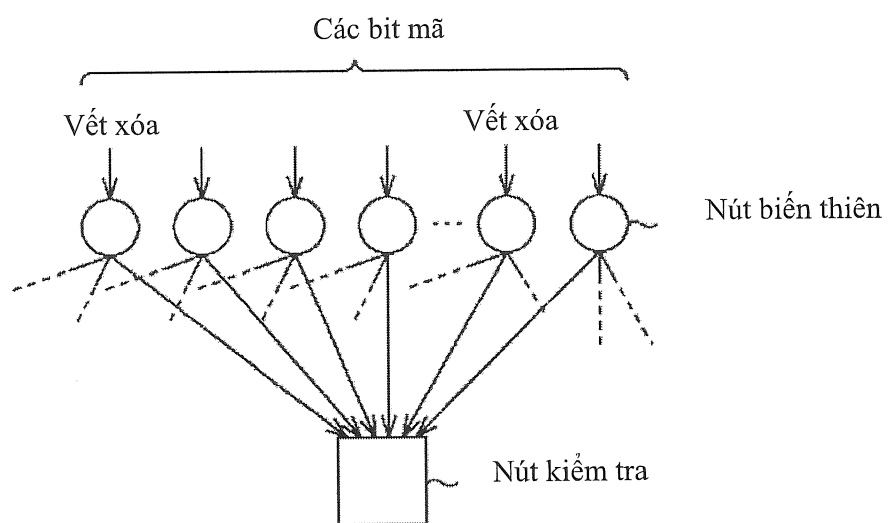
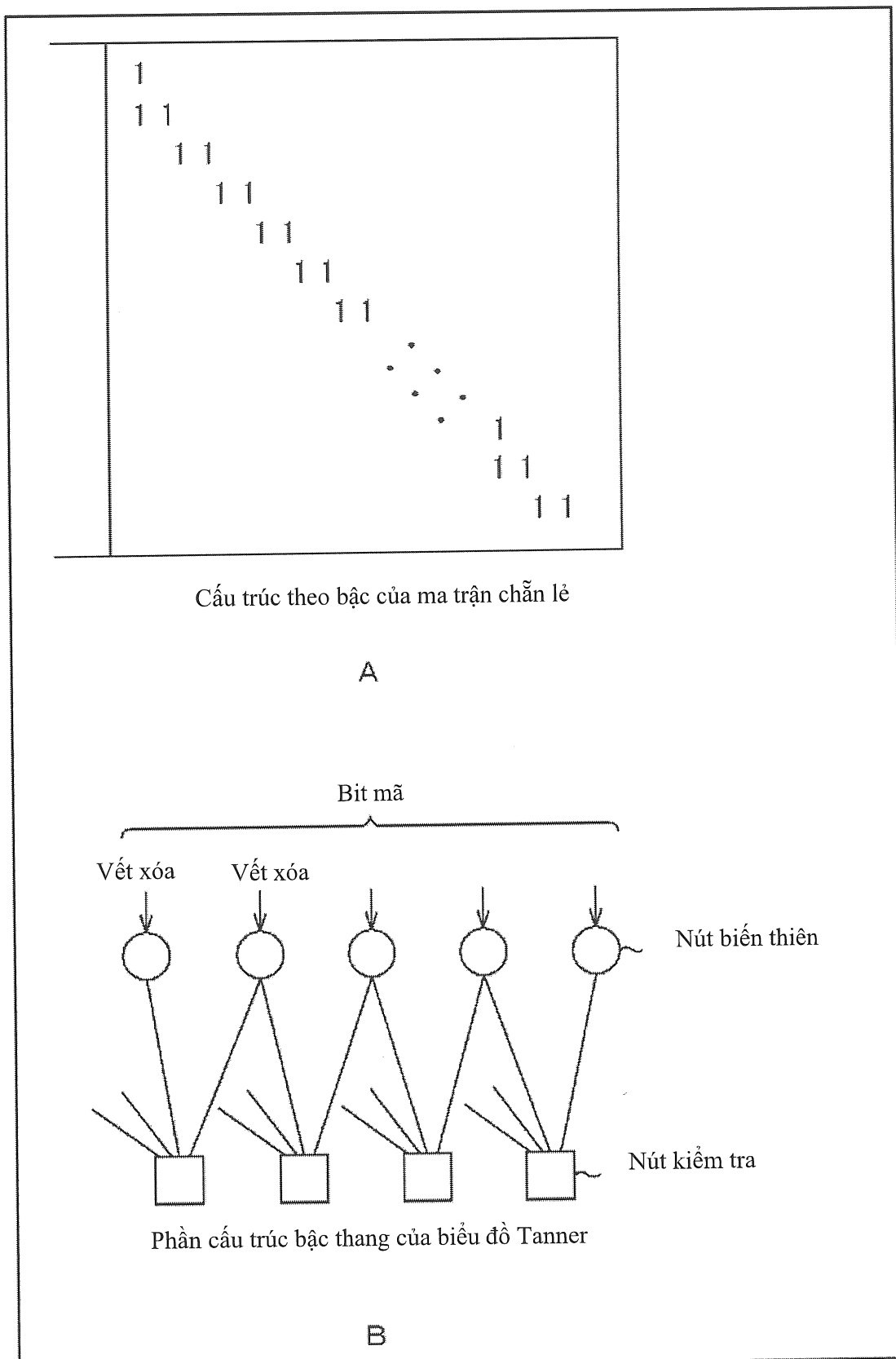
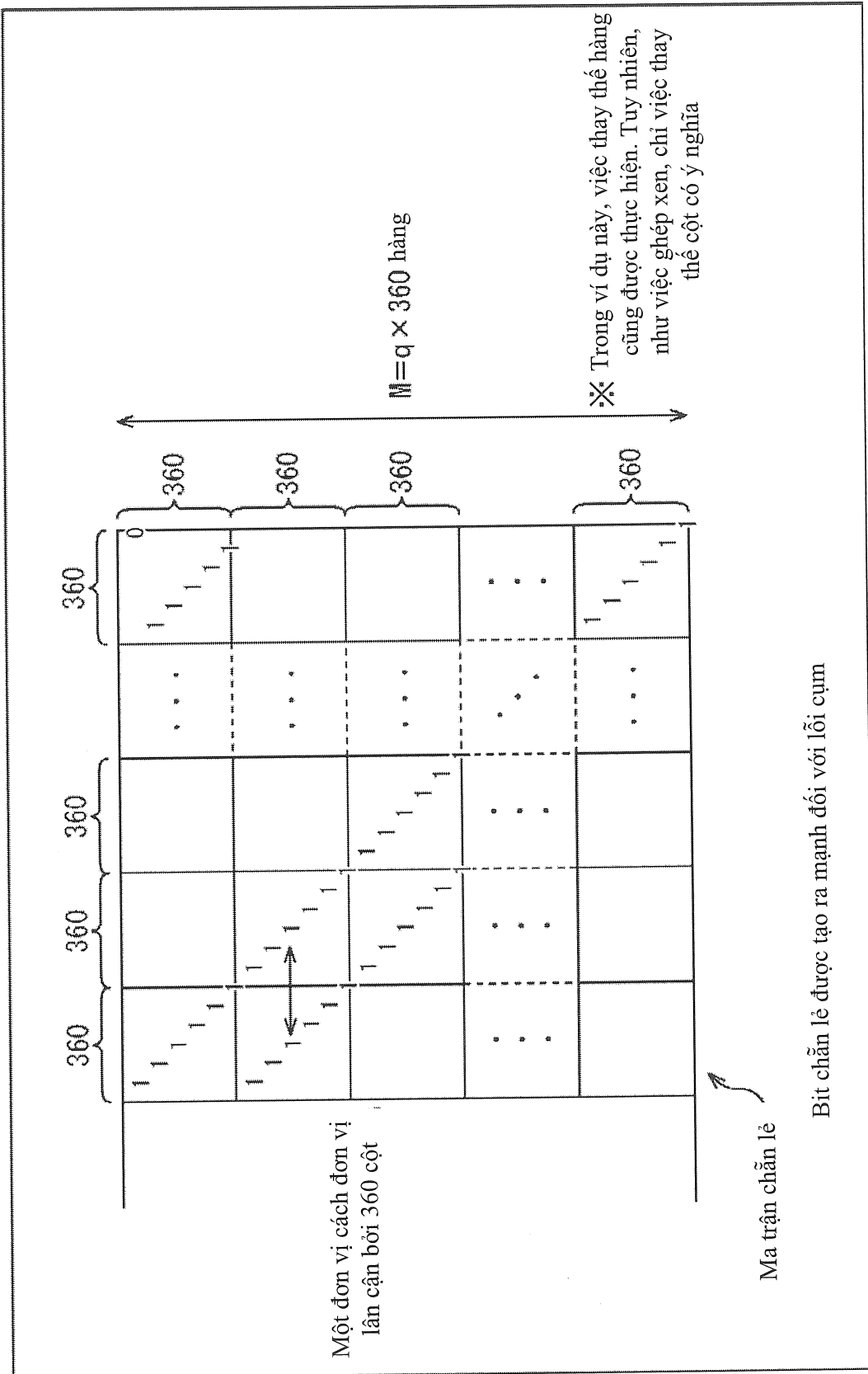
FIG. 24

FIG. 25

26/130

FIG. 26

27/130

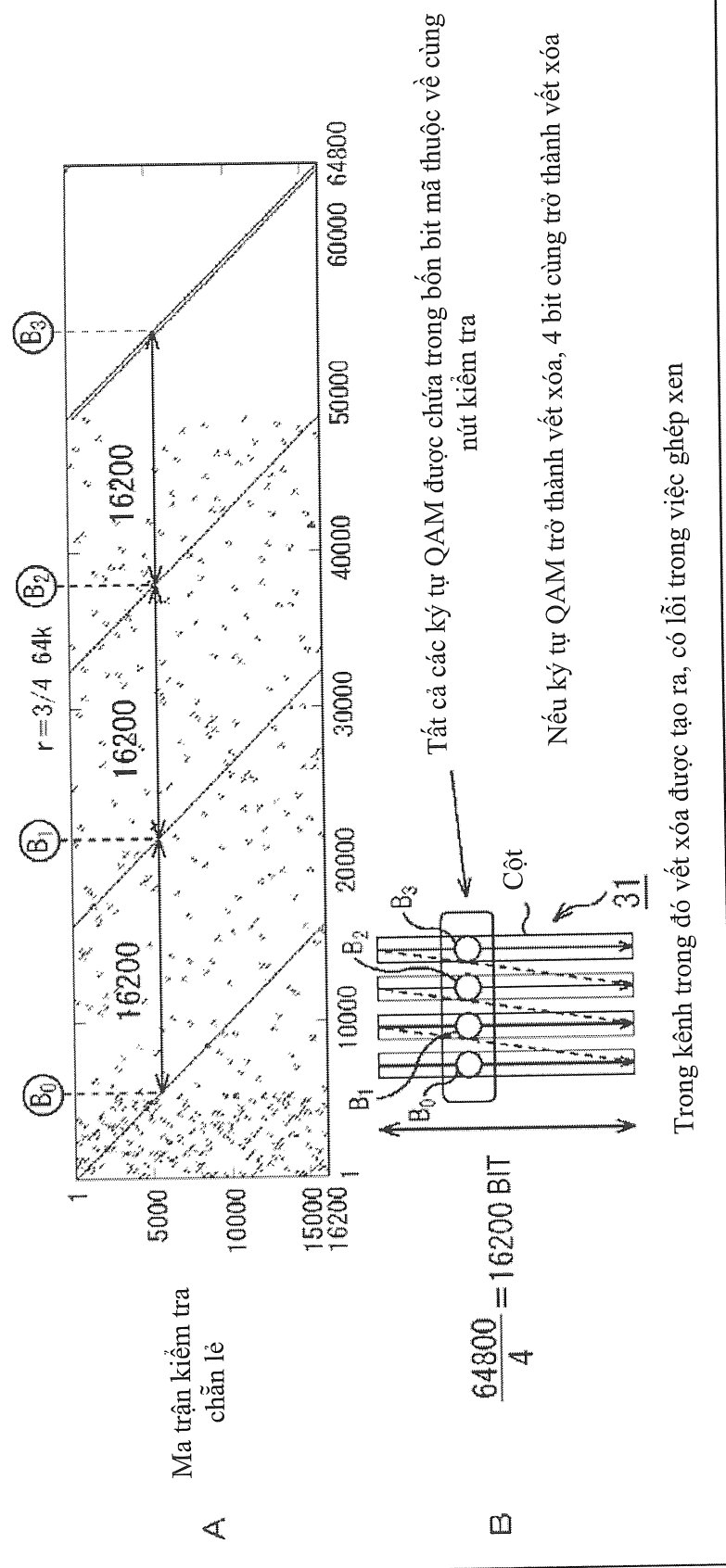
FIG.2716QAM, $r = 3/4$ (sau khi ghép xen chẵn lẻ)

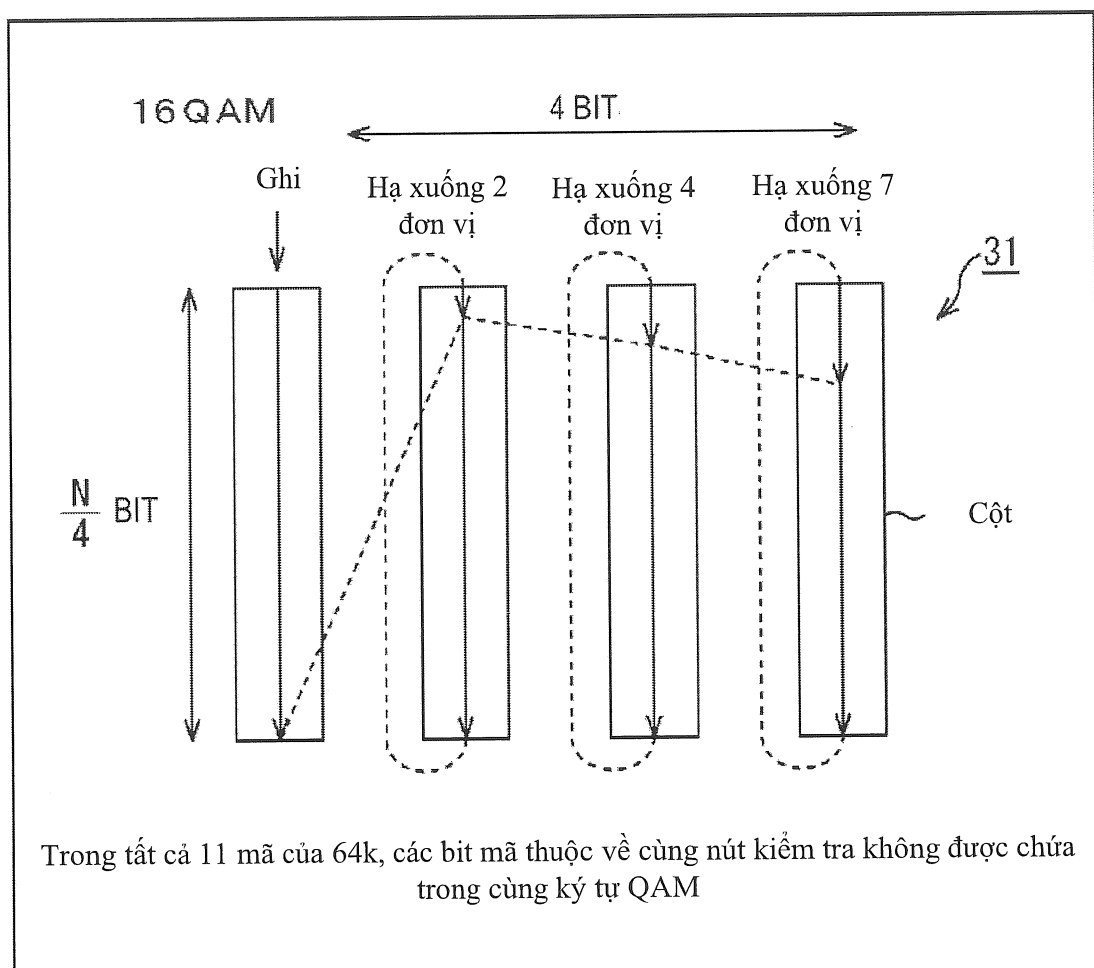
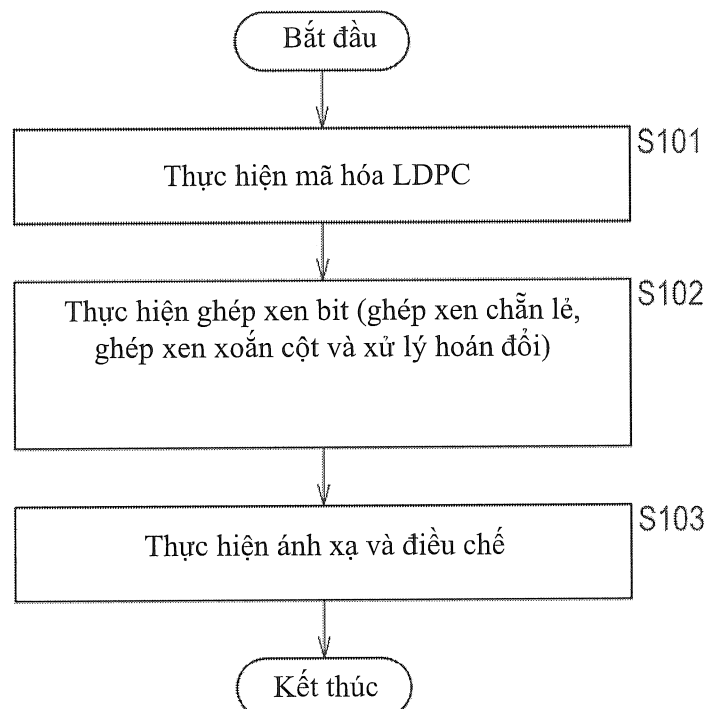
FIG. 28

FIG. 29

Số lượng cột nhỡ cần thiết	(Các phuong pháp hoán đổi thứ nhất đến thứ ba)	(Phuong pháp hoán đổi thứ tu	Vị trí bắt đầu ghi của mỗi mb cột																								
			b = 2	b = 1	1	2	3	4	5	6	7	8	9	10	11	12	13	14	15	16	17	18	19	20	21	22	23
2	QPSK		0	2																							
4	16QAM	QPSK	0	2	4	7																					
6	64QAM		0	2	5	9	10	13																			
8	256QAM	16QAM	0	0	2	4	4	5	7	7																	
10	1024QAM		0	3	6	8	11	13	15	17	18	20															
12	4096QAM	64QAM	0	0	2	2	3	4	4	5	5	7	8	9													
16		256QAM	0	2	2	2	3	7	15	16	20	22	22	27	27	28	32										
20		1024QAM	0	1	3	4	5	6	6	9	13	14	14	16	21	21	23	25	26	28	30						
24		4096QAM	0	5	8	8	8	10	10	12	13	16	17	19	21	22	23	26	37	39	40	41	41	41	41	41	

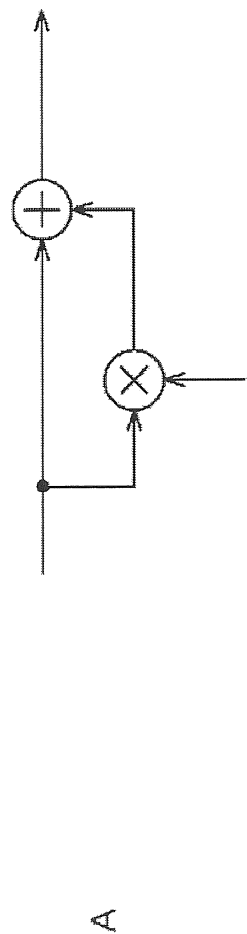
FIG. 30

Số lượng cột nhỠ cần thiết	$b = 1$ (Các phương pháp hoán đổi thứ nhất đến thứ ba)	$b = 2$ (Phuong pháp hoán đổi thứ tư)	Vị trí bắt đầu ghi của mỗi mảng cột																							
			1	2	3	4	5	6	7	8	9	10	11	12	13	14	15	16	17	18	19	20	21	22	23	24
2	QPSK		0	0																						
4	16QAM	QPSK	0	2	3	3																				
6	64QAM		0	0	2	3	7	7																		
8	256QAM	16QAM	0	0	0	1	7	20	20	21																
10	1024QAM		0	1	2	2	3	3	4	4	5	7														
12	4096QAM	64QAM	0	0	0	2	2	2	3	3	3	6	7	7												
20		1024QAM	0	0	0	2	2	2	2	5	5	5	5	7	7	7	8	8	10							
24		4096QAM	0	0	0	0	0	0	1	1	1	2	2	3	7	9	9	9	10	10	10	10	10	10	10	11

FIG. 31

32/130
FIG. 32

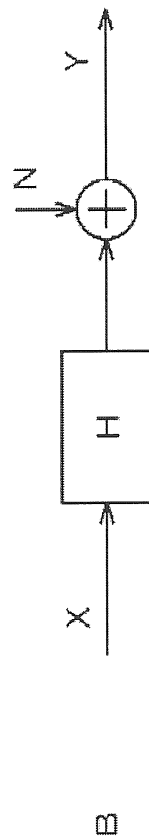
Mô hình suy giảm tương đương của méo rung



$$\begin{aligned} 1/\alpha^2 &= D/U \\ f_d &: \text{tần số Doppler} \\ t &: \text{Thời gian} \end{aligned}$$

$$\alpha \cdot e^{j(2\pi \cdot f_d \cdot t)}$$

Ký tự OFDM được truyền bởi kênh và mô phỏng được thực hiện bởi mô hình được tách bởi một sóng mang sau khi FFT tại phía thu



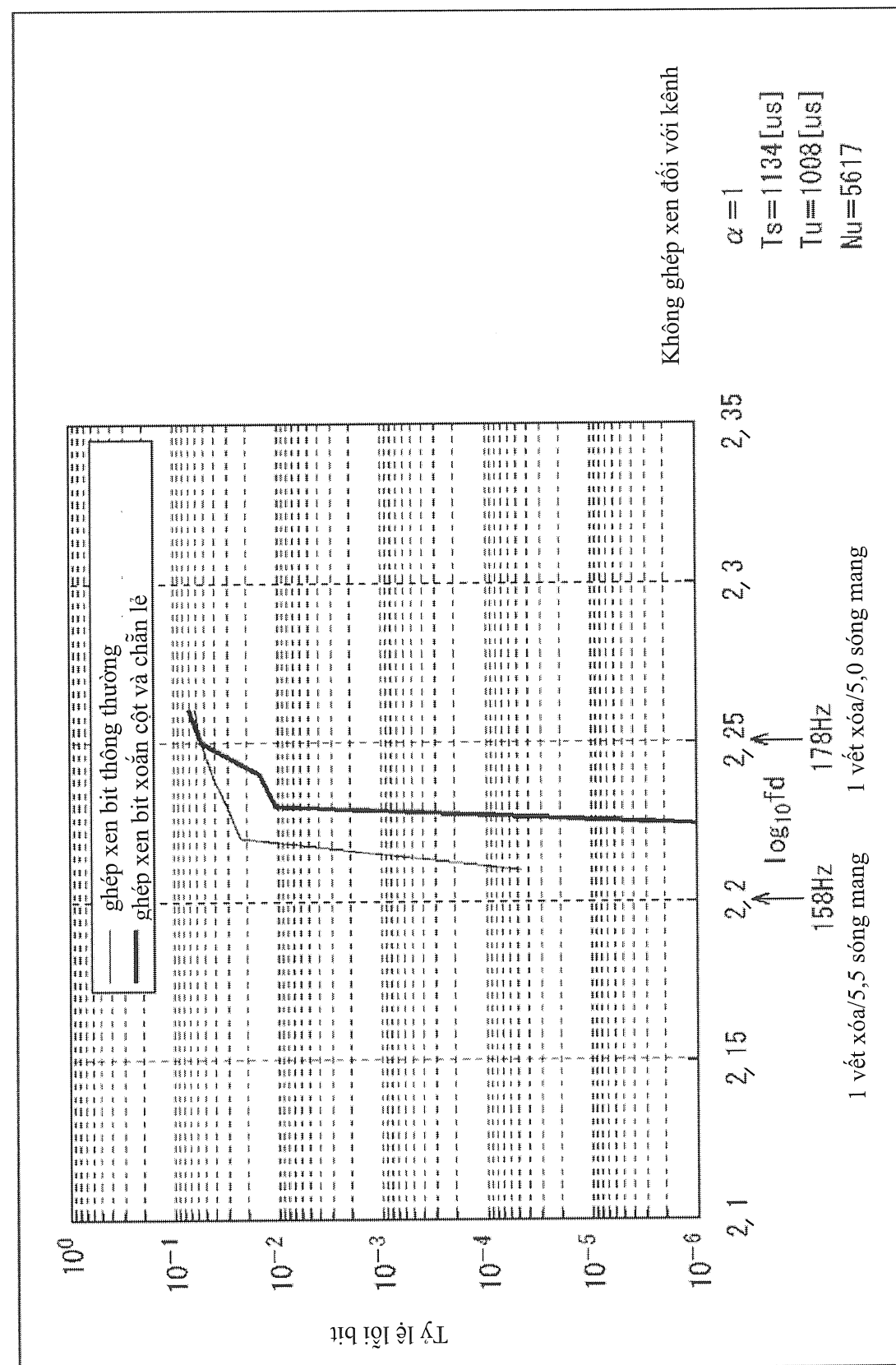
$$Y = \left[1 + \alpha \cdot \exp \left(j2\pi \cdot m \cdot f_d \cdot T_s + j2\pi \cdot \frac{(N_u - 1) \cdot f_d \cdot T_u}{N_u} \right) \cdot \frac{\sin(\pi \cdot f_d \cdot T_u)}{\sin(\pi \cdot f_d \cdot T_u / N_u)} \right] \cdot X + N$$

$$E[N^2] = \alpha^2 \cdot \left(1 - \left| \frac{\sin(\pi \cdot f_d \cdot T_u)}{\sin(\pi \cdot f_d \cdot T_u / N_u)} \right|^2 \right)$$

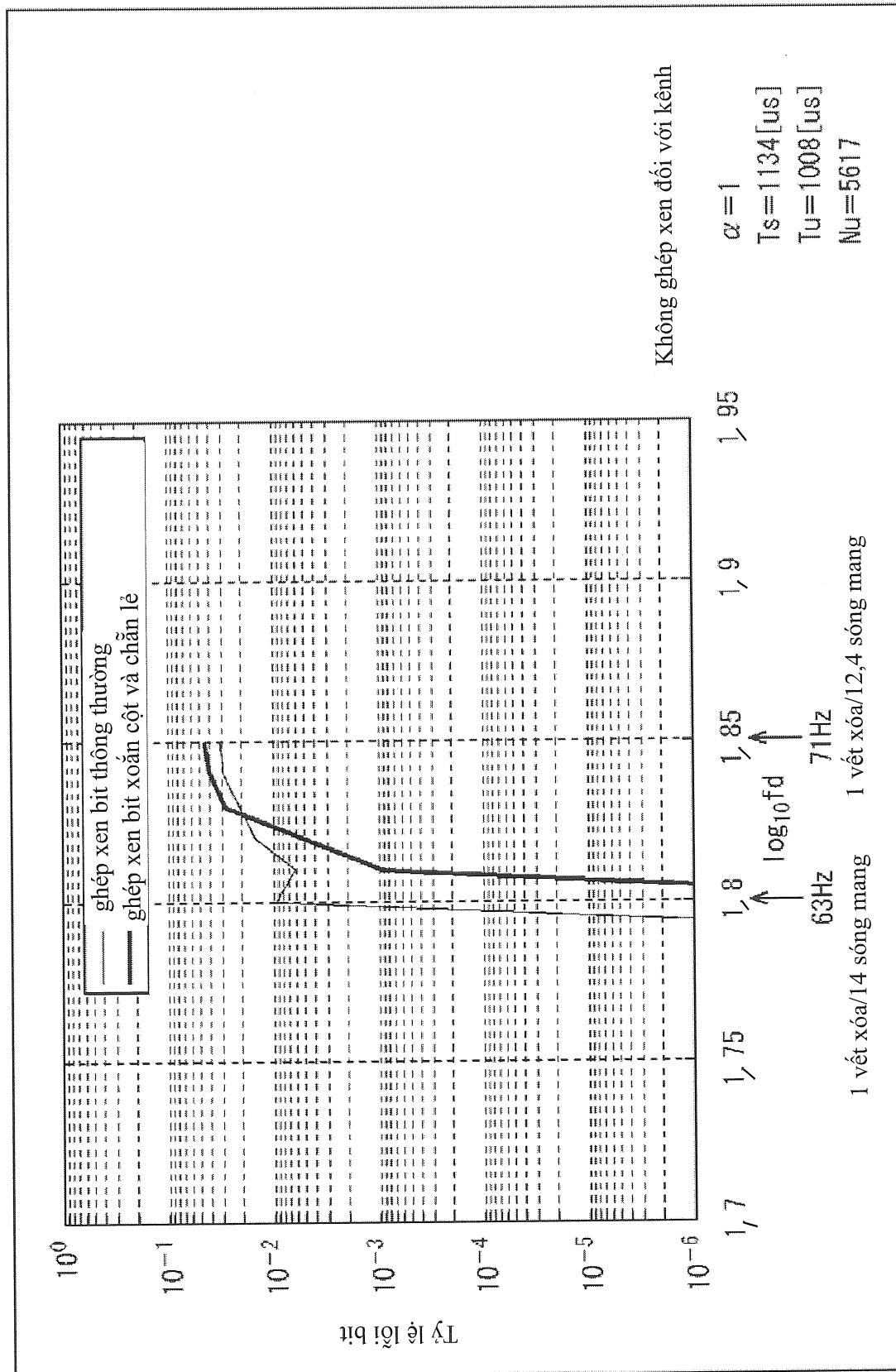
Công suất của $|C|$: được lấy xác suất AWGN

m : số ký tự
 T_s : độ dài ký tự (giây)
 T_u : độ dài ký tự hiệu dụng (giây)
 N_u : Số lượng sóng mang OFDM

33/130

FIG. 33

34/130

FIG. 34

35/130

FIG. 35

115

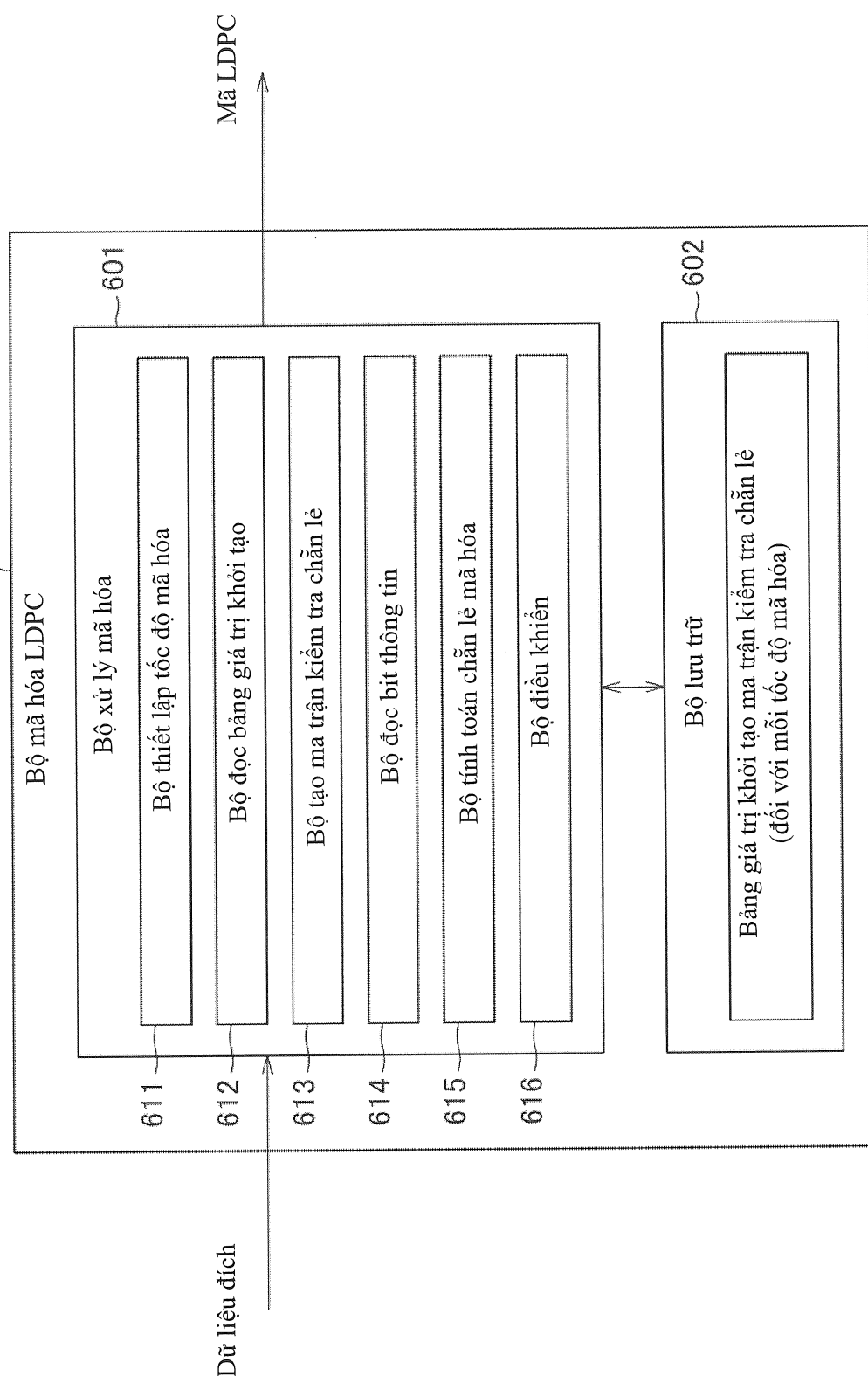
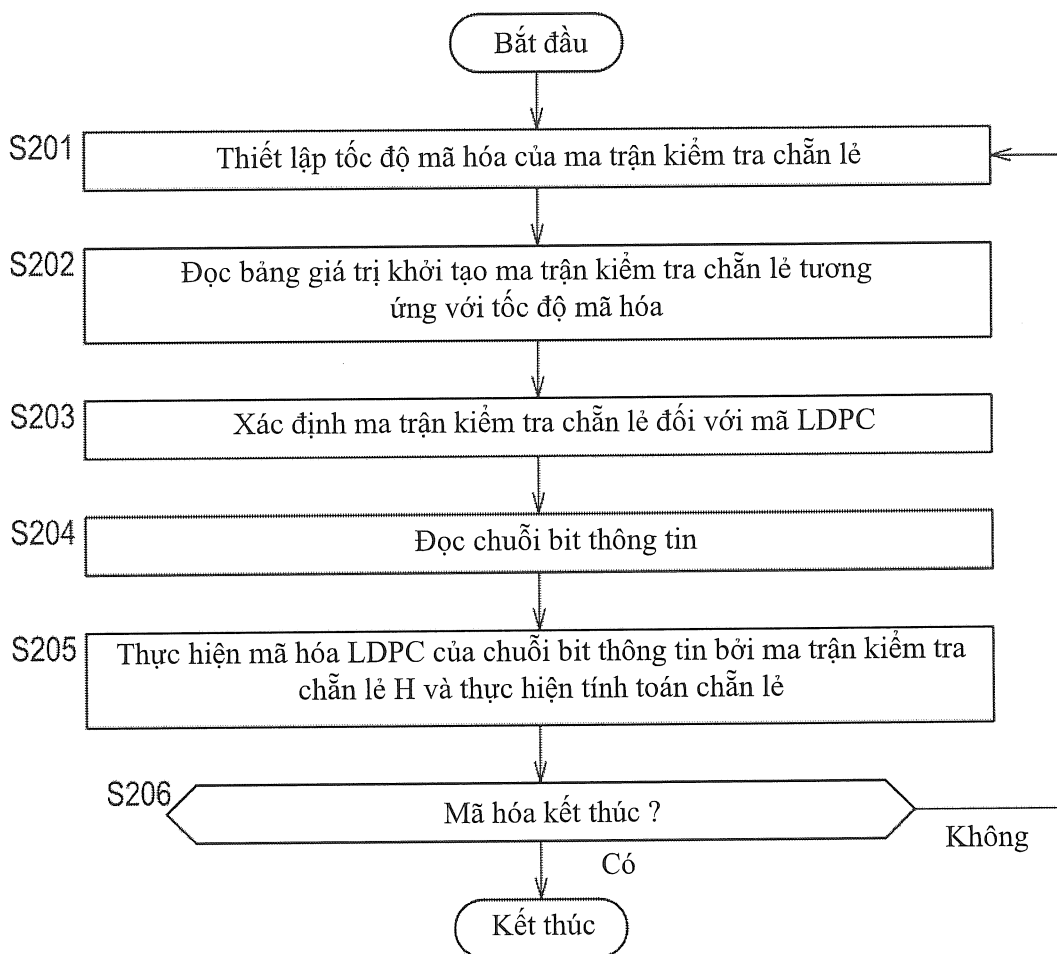


FIG. 36

37/130

FIG. 37

r1/4 16K

6295	9626	304	7695	4839	4936	1660	144	11203	5567	6347	12557
10691	4988	3859	3734	3071	3494	7687	10313	5964	8069	8296	11090
10774	3613	5208	11177	7676	3549	8746	6583	7239	12265	2674	4292
11869	3708	5981	8718	4908	10650	6805	3334	2627	10461	9285	11120
7844	3079	10773									
3385	10854	5747									
1360	12010	12202									
6189	4241	2343									
9840	12726	4977									

38/130
FIG. 38

Hiển thị các số hàng của ma trận kiểm tra chẵn lẻ (ma trận thông tin HA) mỗi 360 cột từ cột thứ nhất

Số hàng của ma trận kiểm tra chẵn lẻ

Hàng thứ nhất của HA	→	0 2084 1613 1548 1286 1460 3196 4297 2481 3369 3451 4620 2622
Hàng thứ 361 của HA	→	1 122 1516 3448 2880 1407 1847 3799 3529 373 971 4358 3108
Hàng thứ 721 của HA	→	2 259 3399 929 2650 864 3996 3833 107 5287 164 3125 2350
Hàng thứ 1081 của HA	→	3 342 3529
		4 4198 2147
		5 1880 4836
		6 3864 4910
		7 243 1542
		8 3011 1436
		9 2167 2512
		10 4606 1003
		11 2835 705
		12 3426 2365
		13 3848 2474
		14 1360 1743
		0 163 2536
		1 2583 1180
		2 1542 509
		3 4418 1005
		4 5212 5117
		5 2155 2922
		6 347 2696
		7 226 4296
		8 1560 487
		9 3926 1640
		10 149 2928
		11 2364 563
		12 635 688
		13 231 1684
		14 1129 3894

bảng giá trị khởi tạo ma trận kiểm tra chẵn lẻ

39/130

FIG. 39

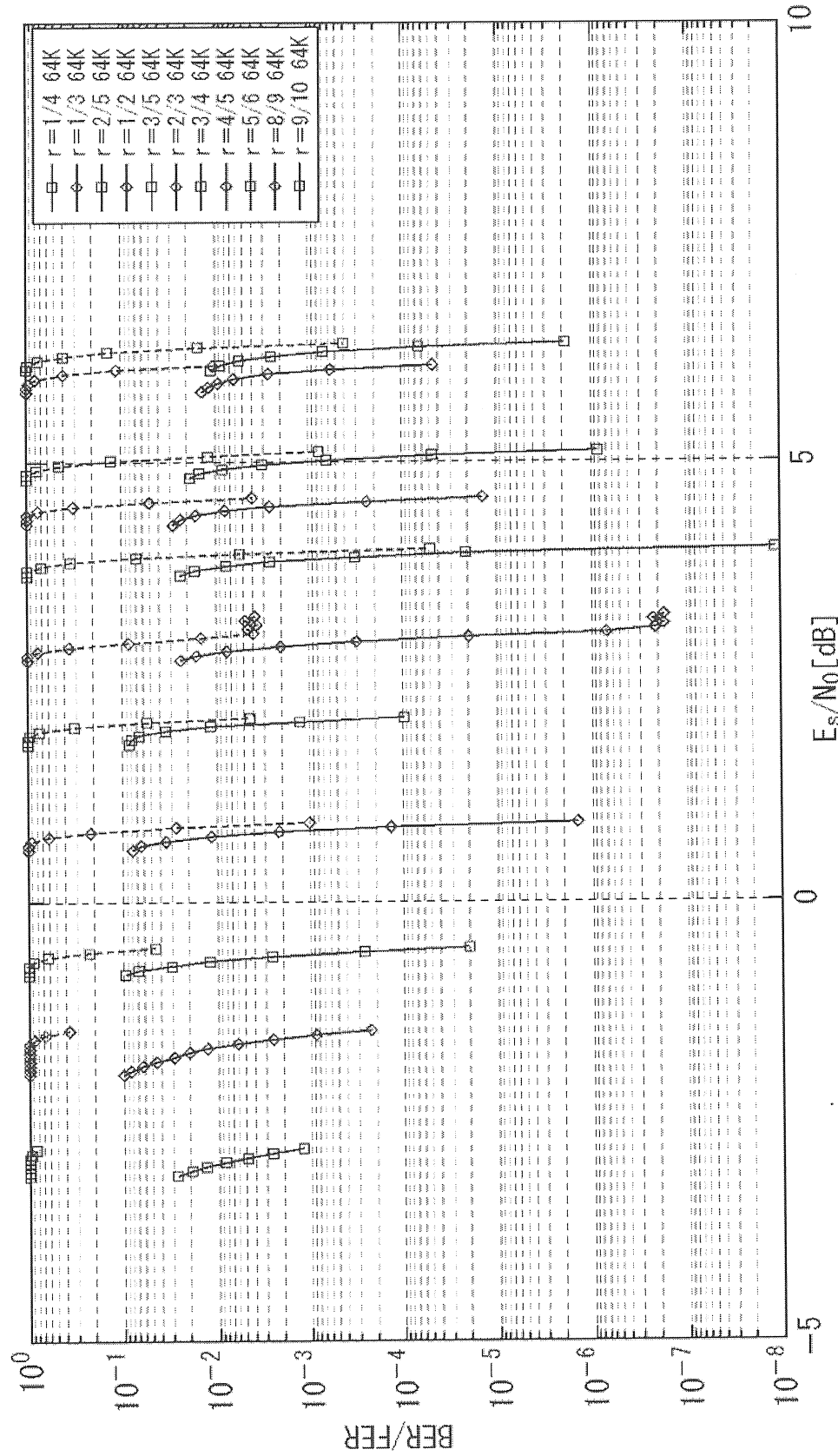


FIG. 40

N=64800, tý le :=2/30 —

30 251 2458 3467 9897 12052 12191 15073 15949 16328 16972 17704 20672 22200 22276 25349
26106 28258 29737 30518 30951 32440 43031 46622 47113 52077 52609 52750 54295 55384 56954
57155 57853 59942
6985 7975 8681 10628 10866 13223 14882 18449 19570 24418 24538 24556 25926 26162 26947
28181 30049 33678 35497 37980 41276 43443 44124 48684 50382 51223 53635 57661 58040 59128
59300 59614 60200 60320
1896 5169 7347 10895 14434 14583 15125 15279 17169 18374 20805 25203 29509 30267 30925
33774 34653 34827 35707 36868 38136 38926 42690 43464 44624 46562 50291 50321 51544 56470
56532 58199 58398 60423
144 152 1236 8826 11983 12930 13349 19562 20564 30203 31766 35635 40367 40905 41792 41872
42428 43828 44359 47973 48041 49046 50158 50786 55527 55541 57260 57353 57821 58770 59098
59407 60358 60475
2085 28320 37838 50085
6903 21724 38880 59861
17156 20293 21231 44440
16799 38095 41049 44269
11939 30310 39689 47323
10563 17282 45331 60186
19860 23595 59085 60417
10403 19812 27225 48006

41/130

FIG. 41

N=64800, tyle =3/30

153 2939 6037 11618 12401 17787 18472 22673 25220 26245 29839 35106 36915 37622 37655
45425 55595 56308 56726 58286
146 160 9060 12867 16536 20818 31754 35546 36480 36698 56314 56509 56837 57342 57373
57895 57947 58163 58202 58262
58 1555 10183 10446 12204 16197 16830 17382 19144 19565 21476 29121 41158 49953 51531
55642 57423 57587 57627 57974
120 9906 12466 21668 26856 27304 28451 29413 30168 31274 33309 33499 37486 38265 43457
50299 55218 56971 57059 58115
80 6649 9541 12490 14153 14346 19926 20677 23672 42397 45629 46288 55935 56115 56555
56865 56993 57921 58049 58190
46 152 3536 7134 9040 10474 10504 11549 17066 19102 27486 29364 39577 39995 48289 56236
57279 57560 57608 57930
19824 21165 34427 58143
22747 50215 50864 58176
2943 31340 39711 57281
1186 20802 27612 33409
1347 20868 29222 48776
19 8548 46255 56946
10762 20467 48519
39 7401 34355
142 10827 17009
1822 29424 39439
5944 11349 28870
4981 14731 15377

42/130

FIG. 42

—N=64800, tý 16 =4/30 —

7248	8578	11266	16015	17433	18038	20159	20848	22164	23848	24516	25093	25888	28382	31701		
33259	33540	34615	36428	38595	38683	38814	41592	44323	44522	44859	45857	48657	49686	53354		
54260	54853	55069	55426	56127												
715	1505	3314	5537	6377	6750	11039	11271	15840	16615	24045	24314	24435	26992	28524	28745	
28935	32956	33359	34964	36217	37546	38189	42599	44326	49694	54236	54779	55501	55543	55721		
55865	55961	55966	55988													
70	116	613	2482	6204	6608	7392	13585	14175	14228	17842	20004	20142	21324	22575	24443	
24497	25394	26585	30222	37825	38548	41709	44999	50925	52186	53793	54177	54705	55096	55489		
55584	56019	56055	56151													
9	2054	3493	3584	3989	5916	11915	14323	15091	16998	17631	18645	18882	20510	27499	28990	
30054	32231	36556	37437	39651	41543	41963	42798	42937	44864	48056	48971	53104	54511	54610		
55151	55216	55470	55736													
30	81	110	294	1636	2152	4312	6098	9415	12105	14021	15226	15618	18614	21368	23154	28913
29260	36969	37792	39386	42362	42949	43758	43765	44572	45877	46424	46948	47683	47903	48245		
51804	52166	53264														
3	50	987	1771	4255	9714	9907	13728	17807	20438	24206	24326	24458	26039	26898	35691	36875
37877	38103	38398	38671	39288	40642	41533	41753	42069	45374	46377	48016	48165	48805	49392		
50660	51907	51968														
138	441	4163	6450	7419	10743	11330	14962	14984	15032	24819	28987	29221	33223	35464	37535	
38213	39085	39223	39925	41220	41341	41643	44944	46330	46870	47142	48577	49387	50732	52578		
53839	54085	55426	56132													
3773	41938	55428	55720													
8833	47844	49437	50265													
7054	31403	48642	53739													
2286	22401	42270	53546													
14435	24811	29047	36135													
21010	23783	55073	55612													
20516	27533	51132	52391													
884	22844	25100	56123													
1150	12133	44416	53752													
9761	38585	52021	55545													
1476	5057	49721	50744													
16334	39503	40494	43840													
24	31960	33866	53369													
22065	22989	32356	52287													
111	155	3706	13753													
17878	18240	27828	55776													
13582	47019	54558	55557													

43/130

FIG. 43

N=64800, tyle =5/30 -

2035	5424	6737	8778	10775	15496	17467	21825	23901	27869	28939	29614	34298	34951	35578	
37326	39797	44488	45293	45900	49239	53415	53900								
2090	4170	12643	12925	13383	17659	23995	24520	25766	26042	26585	29531	31126	34856	43610	
49028	49872	50309	50455	51586	52161	52207	53263								
819	1629	5521	8339	8501	18663	22208	24768	25082	35272	35560	40387	40618	42891	44288	
46834	47264	47458	47561	48563	49141	49583	51837								
100	564	4861	9130	15954	22395	23542	26105	27127	31905	33977	35256	37679	40472	40912	
42224	43230	44945	45473	52217	52707	52953	53468								
73	86	6004	9799	13581	14067	14910	14944	15502	22412	26032	27498	27746	27993	28590	35442
38766	44649	47956	48653	48724	50247	52165									
108	1173	5321	6132	7304	15477	18466	19091	20238	23398	26431	34944	36899	40209	42997	48433
48762	49752	49826	50984	51319	53634	53657									
4541	7635	11720	12065	16896	28028	28457	30950	35156	38740	39045	43153	43802	44180	45186	
45716	45794	46645	48679	49071	49181	53212	53489								
6118	8633	11204	11448	15114	19954	24570	26810	28236	39277	43584	46042	47499	48573	48715	
49697	50511	51228	51563	51635	53410	53760	53851								
1223	4008	8948	9130	16129	17767	22039	23572	24550	28200	29157	32730	33821	38449	39758	
48433	49362	52582	53129	53282	53407	53414	53972								
176	10948	11719	12340	13870	15842	18928	20987	24540	24852	28366	30017	36547	37426	38667	
40361	44725	48275	48825	51211	52901	53737	53868								
21792	35759	44481	53371												
147	33771	34263	35853												
15696	41236	46244	46674												
48208	52868	53324	53794												
34077	36441	49909	53506												
34932	51666	53755	53974												
18455	38927	49349	51201												
3836	31114	37755	53469												
31831	42633	46626	52743												
21053	28415	46538	53154												
5752	19363	42484													
719	48444	52185													
25502	53443	53739													
11596	53495	53635													
43934	52112	53323													
42015	52196	52288													
72	129	52340													
9	17870	43153													
24743	41406	53180													
23388	48087	52441													

44/130

FIG. 44

N=64800, tyle =6/30

13033	14477	15028	17763	19244	20156	22458	24073	32202	32591	33531	33552	35823	41495
46351	49442	51612											
44	66	8422	8760	14694	18768	20943	27806	29012	33594	36262	36820	40434	47704
51758													
4233	16270	18958	20915	21313	27009	28249	33438	33855	34475	34541	37093	38835	42139
44757	50122												
82	10760	14292	17911	18008	23008	33152	34162	35749	36166	37411	37523	40838	42786
46177	48829												
4661	5201	5824	6014	8283	12840	22044	22103	29657	29722	32246	32893	34131	36007
44900	51089												
5869	12204	14095	26632	27101	27300	32344	33761	35081	38057	40709	46805	47733	48220
51318	51691												
87	5764	16204	20947	23257	31579	38832	40942	43112	43239	44602	49032	49482	49727
50186	50593												
880	1883	8876	9204	12370	21536	32858	35875	36247	36319	37151	38601	48914	49533
51399	51824												
20	129	2841	5695	8176	15720	26066	26197	34149	35814	36477	37478	45338	48988
51774													
7252	14498	19246	20257	20693	22336	26037	29523	29844	34015	35828	38232	40999	41437
44109	49883												
4859	8000	9342	16137	21600	24083	36364	37038	38988	44465	45445	46569	48994	50591
51166	51268												
7728	9766	11199	11244	13877	14245	23083	27064	28433	28810	34979	39031	42939	44517
48365	51374												
67	135	1601	6123	9100	22043	24498	25417	30186	34430	34535	37216	40359	42794
51501													
1006	10492	18259	51816										
27272	49144	51574	51631										
23	5636	38161	39514										
9490	41564	46463	51162										
33623	41959	50610											
11626	22027	50936											
28345	39504	45097											
46639	50046	50319											
74	18582	27985											
102	17060	43142											
38765	49453	51242											
6102	41272	51729											
24686	33446	49011											
19634	49837	50000											
569	22448	25746											
33986	50729	51301											
9883	14876	29601											
9142	29505	50604											
22623	40979	51260											
23109	33398	51819											
163	50643	50984											
47021	47381	50970											
16215	20964	21588											

45/130

FIG. 45

—N=64800, tý 16 =7/30 —

548 9528 12205 12770 22023 22082 25884 27421 33215 36046 43580 43953 47539
 919 2623 5098 5514 5645 6348 9666 13795 14555 43224 44048 44948 47964
 995 7270 17753 21272 29228 29916 31634 34055 35205 37499 37777 47490 49301
 645 3803 6836 9470 11054 20253 29417 31243 31990 36468 38715 39932 43045
 14572 18646 21100 26617 32033 32410 37195 38586 43833 44577 45584 46453 49515
 6004 16982 17829 24616 28056 29646 32944 39051 42517 47086 48585 48772 49247
 1306 1447 4898 7781 18587 25724 26672 35062 35202 37080 39781 46111 47595
 92 3231 13043 22258 24198 28923 33303 37846 43610 44857 47322 48914 49291
 298 12557 13469 14451 21917 23539 26310 29839 37050 38507 41377 46971 48155
 12582 13044 21039 30600 34202 34947 37120 39108 39203 43449 46941 48542 49354
 871 12218 12680 14152 17171 25797 29021 37783 43728 47519 48794 48898 48980
 35 4623 13422 15881 16692 17463 23675 28063 31248 41997 44246 47992 48339
 7150 13015 17950 18214 20659 23579 25714 28328 32658 39717 39995 43322 45884
 82 11054 11845 19085 24174 26694 41530 45954 46508 46892 48832 49097 49420
 5789 13839 18512 25596 26478 26736 29431 32349 33384 41765 46661 49206 49543
 13805 17786 17798 29653 30310 34870 40176 40391 43227 45292 46423 46855 49454
 12433 27119 34645
 32065 34998 44021
 5158 16546 34359
 44 33285 39929
 39032 39296 40317
 9885 45251 47640
 14383 43446 44478
 31280 39945 48472
 27961 38221 48391
 2927 37404 38716
 19461 42462 46162
 24909 25915 40636
 11029 35538 45381
 26880 34179 48775
 192 6032 26853
 4563 14952 24256
 10003 30853 43811
 749 36334 41363
 100 17006 24982
 9507 20228 31214
 41691 44310 47083
 24070 30411 46982
 2727 28251 49289
 16689 21167 32590
 40813 41198 46175
 8336 32714 43075

46/130

FIG. 46

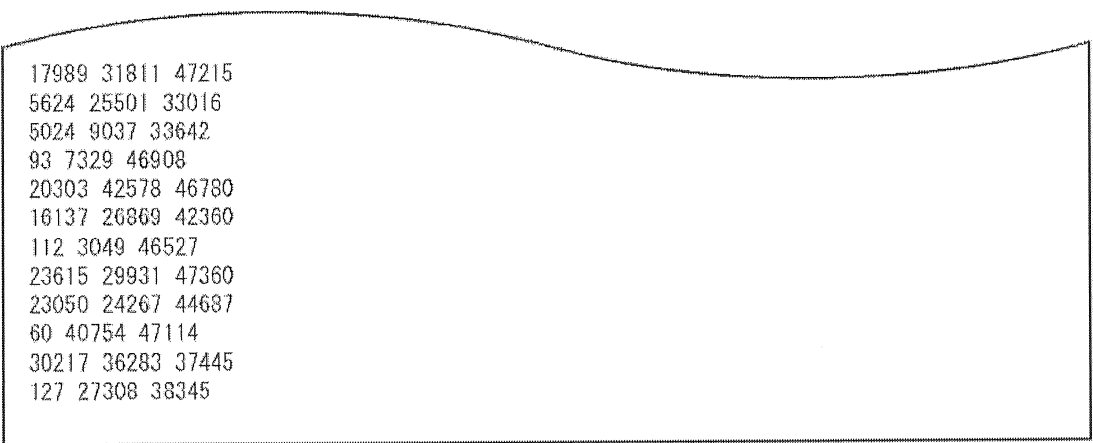
N=64800, byle =8/30

100	3433	4111	9089	13360	24012	26305	30252	31430	31769	34689	34917	36091	40873	41983					
42689	43835	44318	47109	3	48	124	2240	7029	21694	24565	29302	39777	42706	43631	43784	46033	47064	47079	47141
47239	47439	47479	2	5675	7056	12715	24128	26596	30571	38210	38586	41138	42272	43336	43444	43917	45812	46840	
47245	47286	47510	2103	4285	10068	10702	12693	17619	18711	21309	22191	22999	37432	45646	46275	46338	46777		
46860	46963	47432	47472	6827	8209	8606	10412	15670	19469	22205	22215	25425	29565	34843	34985	37686	39277	44625	
45016	45623	47069	47250	58	114	1751	7913	24642	26995	40734	41486	43133	44804	45490	45725	46122	46412	47019	47080
47103	47495	47506	96	5952	9078	9786	17738	17888	17986	31657	34430	34763	35450	37276	42395	43223	43283		
44261	45648	47014	47276	106	5405	9614	20500	21633	23242	28875	37238	38854	41778	42292	43883	45909	46558	46826	
47292	47353	47436	47504	32	11217	12153	26818	27616	38783	39976	40842	43581	43703	44287	44435	44576	44774	46080	
46098	46801	46813	47168	65	102	111	3879	11224	11772	23623	27306	28726	34663	34873	36288	39196	42003	45279	45629
46836	47021	47419	77	131	11275	18964	20418	22364	22635	27727	28689	29720	29781	32110	41597	42046	43952		
44786	46416	46808	47200	87	8637	10829	23737	24117	26486	29603	34389	35509	35872	38948	40643	42698	45949	46159	
46660	47041	47165	47220	2	58	3110	7539	8886	10422	11597	13385	27870	35895	38120	43546	44948	46272	46369	46596
47199	47317	47351	78	16119	27780	32231	38973	39088	40118	40231	43170	44131	44203	44878	45905	46250	47011		
47113	47195	47303	47427	2960	6685	8830	11107	11843	12811	30030	36574	36850	36920	37706	38025	41007	43554	44109	
44643	45874	46469	46565	125	366	10175	29860	45	17503	44634	45789	6272	19614	34408	37248	14785	41017	44274	46858
19935	22960	44726	44919	15247	17925	33947	37392	34631	39148	43287	45443	8544	26457	30996	38672	11725	31442	42167	45461
22357	41743	46702	47285	13786	26288	41358	43082	7306	21352	43298	47359	77	5188	20988	45572	10334	23790	40878	9304
22048	44762	47300	8529	8825	47443	40831	41328	46415	26715	43038	46498	26925	30797	43181	32434	45624	47460	29379	
47450	47443	47443	47443	47443	47443	47443	47443	47443	47443	47443	47443	47443	47443	47443	47443	47443	47443	47443	

29432

47/130

FIG. 47



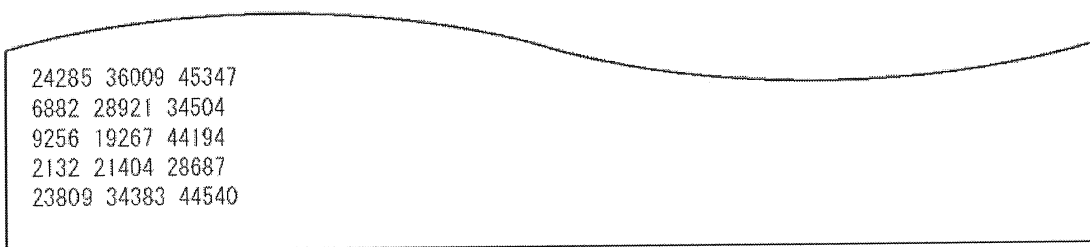
17989 31811 47215
5624 25501 33016
5024 9037 33642
93 7329 46908
20303 42578 46780
16137 26869 42360
112 3049 46527
23615 29931 47360
23050 24267 44687
60 40754 47114
30217 36283 37445
127 27308 38345

48/130

FIG. 48

N=64800, tyle =9/30

339	4777	5366	7623	13034	13260	15107	17772	20338	21178	25914	27663	29948	37489	41021
3871	5812	9795	23437	24079	27699	33471	39878	40302	41038	41217	42316	42765	43675	45118
3699	4072	16553	21492	26210	29839	30322	34139	38227	39696	40762	41156	41269	45168	45350
995	12194	12494	16542	20423	21950	23519	26215	26708	30587	38352	38840	39729	41645	43210
3963	4315	6832	11354	21042	21084	21108	25595	33109	34029	34448	35129	38018	39012	44791
164	887	2902	9021	9193	16705	17850	19241	25893	33427	37416	41024	41355	44381	45303
1367	1495	5495	14440	18026	18130	18178	21946	24057	25663	29216	31965	38107	43907	44278
10763	13722	13975	18294	20813	23028	23353	24211	37366	38805	40985	41792	42495	43259	
43528														
1580	12448	21464	31246	33058	34794	35760	36021	36426	37138	37478	38199	42138	42335	45207
83	112	12225	15224	18205	21345	28488	34362	37195	39660	42371	42814	44509	45201	45244
6836	7635	11644	16591	17121	19307	21456	23544	30596	37887	38141	38581	43607	44246	45097
9174	14934	17131	29762	30243	31656	33251	35498	37106	37655	41462	44002	44649	45032	45230
33	5376	13536	17068	18581	23478	32021	32074	33716	38434	39452	42166	44305	44979	45306
6013	7553	10023	19354	23126	25427	27665	30239	32699	34123	36171	38898	38972	41974	45213
41	98	3088	8522	26252	29602	30009	30138	30948	32190	32428	32498	34273	34955	45311
2000	15664	20677	20792	22980	25111	31491	37611	37981	39872	41668	42336	43602	43828	45329
23	67	97	5339	8121	8583	20647	25425	32305	37158	40968	41578	43492	44929	45273
1643	3496	5121	6546	15643	16423	20602	39950	43178	43252	43683	43992	44001	44611	45125
11093	19172	20548	24518	28289	29246	30148	34884	40403	40745	42723	43064	44448	44723	
44812														
12748	12799	28567	41605											
1965	4087	31879												
27178	33638	38344												
9580	13096	45337												
2672	22800	43869												
28287	31407	31975												
2823	5108	9945												
5891	30848	42082												
23	41944	44909												
909	2311	45162												
24998	37829	44704												
35339	40087	45019												
16928	26505	35256												
26462	27297	37766												
19656	35067	38536												
6958	17172	41412												
72	26012	37231												
15259	16044	30243												
2879	12148	34601												
36173	39731	42668												
20670	35816	43266												
22570	27213	30404												
40284	44171	45313												
17765	22514	39347												
24711	39892	45132												
13741	34633	44535												
15209	31692	45280												
11189	43771	45303												
28294	31110	32287												
29085	39876	45246												

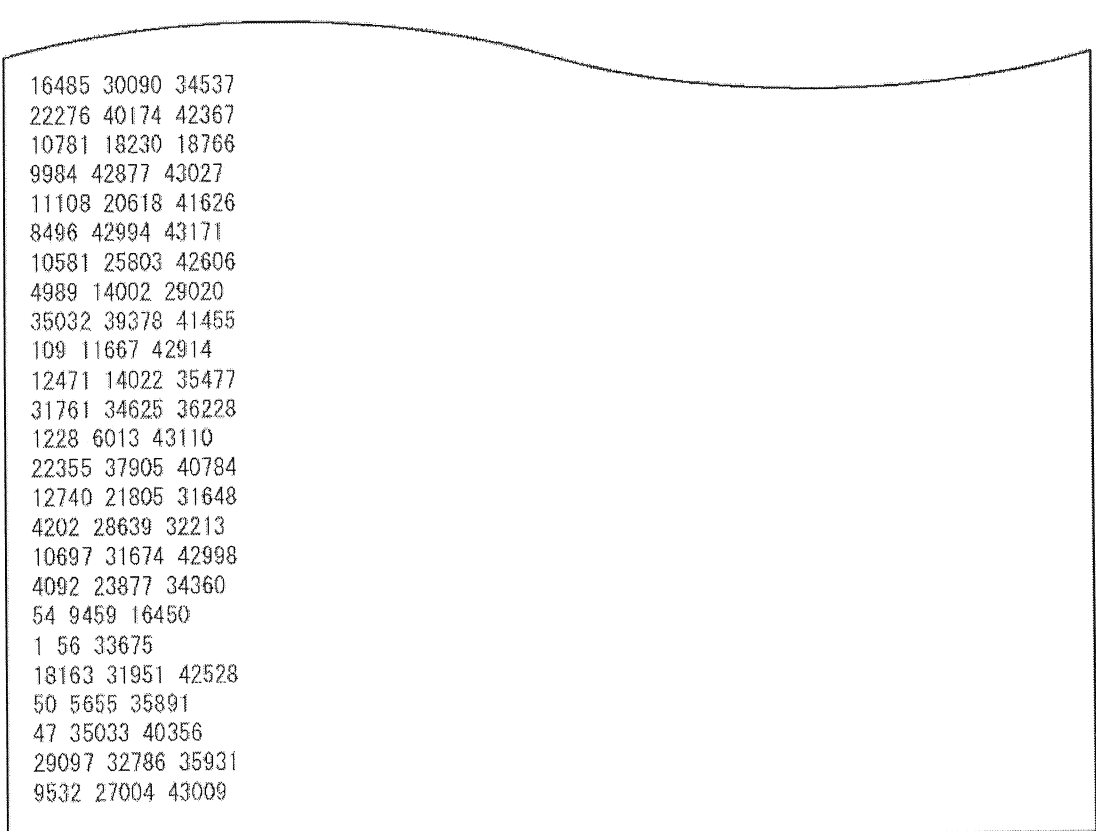
FIG. 49

50/130

FIG. 50

N=64800, tyle =10/30

867	2733	2978	8947	10214	11810	13566	15922	18838	20543	25845	29179	30055	31284	33447
34330	35081	35605	36268	39563	42331	43174								
2765	6017	6394	6769	12351	13567	15195	19900	23094	27077	28626	28914	32219	33106	33662
33905	34878	37861	39749	39862	40976	42690								
2343	4231	7603	7789	8396	8783	15636	16221	20591	21538	24008	25117	25663	26817	29692
31472	32070	33793	39506	41763	43172									
8536	10705	10960	11206	12513	15399	17108	17224	17512	20180	25288	27824	28958	30600	36792
36828	38891	39575	39581	42342	42914	42961								
9	107	681	1195	9957	14055	21420	23279	26129	32044	35750	37065	37092	37165	37179
40835	41476	41564	41571	42576	42910									
86	1760	6842	8119	8904	12644	17603	18189	20018	22259	22654	25620	27606	27833	28002
31814	31848	35573	36133	40698	41370									
28	115	4354	9276	11229	11252	13848	21112	22851	29912	32453	34693	37344	37420	40926
41063	41762	41856	42012	42642	43045									
1589	7190	7221	7668	11805	14071	14367	14629	17087	19579	19861	25505	35471	35514	37495
38375	40286	40330	40402	41662	42638	43126								
76	99	3237	5137	7982	9598	13470	14045	26680	27058	32025	32235	34601	35658	36841
40517	40987	41400	41861	42691	42772									
54	2470	2728	3177	3484	8267	9351	17523	18513	21119	22947	23771	26569	27308	31217
36449	38529	40424	41873	42146	42706									
39	80	385	1386	3397	5234	14733	16955	17656	23262	23463	25340	31638	31676	32683
37641	39064	41839	42193	42495	43063									
62	573	11847	14616	16033	16064	16302	18776	19434	23845	23873	25937	27741	32244	32612
33554	38445	38480	38610	40933	42386	42520								
33	183	968	5477	6173	7363	10358	12597	14468	18025	23369	23387	24723	25254	28299
31675	32776	35077	40241	41572	42035									
36	2529	2543	3891	7108	9002	9481	16496	19796	26687	27343	33300	35495	37070	39247
41758	41892	42124	42622	42738	43100									
91	6897	8794	9581	12922	15711	18539	19227	21592	22906	26449	29804	30895	31538	31930
38006	38294	38705	38952	39005	42120									
64	76	709	1155	3162	7099	8740	9670	12678	21126	29239	29844	31248	32001	35243
42050	42149	42631	42705	43119										
17670	40897	42359												
17471	20895	32101												
5458	5508	30504												
17291	19627	27186												
14600	41106	43103												
18059	28398	40623												
23776	30190	32880												
4676	13593	21791												
19	2832	27959												
6193	21762	42854												
64	16088	42982												
29425	35004	42209												
14338	31982	41789												
21572	42838	42923												
5	87	6639												
5529	42541	43173												
15512	31740	35801												
44	86	43183												
26027	26995	36455												

FIG. 51

16485 30090 34537
22276 40174 42367
10781 18230 18766
9984 42877 43027
11108 20618 41626
8496 42994 43171
10581 25803 42606
4989 14002 29020
35032 39378 41465
109 11667 42914
12471 14022 35477
31761 34625 36228
1228 6013 43110
22355 37905 40784
12740 21805 31648
4202 28639 32213
10697 31674 42998
4092 23877 34360
54 9459 16450
1 56 33675
18163 31951 42528
50 5655 35891
47 35033 40356
29097 32786 35931
9532 27004 43009

52/130

FIG. 52

N=64800, tyle =11/30

3208	6587	9493	9539	12368	12501	14811	15784	17625	18654	18721	19471	19503	20079	20411
20876	21493	22083	22430	27275	29322	32758	33227	33347	33715	34472	34711	38450	39151	39709
39862	40093	40497	40912											
42	1118	3086	5466	6379	8483	9051	9330	13250	13898	14055	15033	18094	21429	22652
28709	29909	30233	30472	30635	31367	32603	33614	33708	36404	36530	37039	37782	38115	38307
40225	40597	40822												
5939	11990	15027	15162	16503	17171	17806	17902	18031	18077	21216	22134	22660	24170	28558
29364	30003	31128	32674	33103	33361	34196	34435	34626	34991	35974	36022	37459	38170	38709
39774	39960	40571	40858											
63	3871	9148	10328	12830	12912	18361	18839	20122	23126	23795	28612	30350	32251	32750
33762	33866	36188	36979	37562	37836	38536	38705	38829	39609	40219	40324	40336	40367	40638
40699	40809	40987	41019											
36	70	104	3737	5028	19023	19575	19746	23840	24611	24661	26741	27749	30359	31027
32621	32859	33830	34619	35281	35479	36796	37344	37555	38993	39088	39445	40276	40299	40762
40771	40835	40967												
113	2313	4411	5858	9909	10426	18955	21663	21884	24105	24472	26944	27826	28574	28689
30903	32352	33334	36408	36795	36805	37112	37121	38731	39080	39739	40007	40326	40356	40472
40476	40622	40778												
54	84	3529	5202	9825	9900	10846	12104	13332	14493	14584	23772	24084	25786	25963
28306	29514	30050	30060	33171	33416	33657	33951	34908	37715	37854	38088	38966	39148	40166
40633	40746	40939												
105	8722	10244	12148	13029	16368	18186	19660	19830	21616	22256	22534	23100	23219	25473
26585	29858	32350	33305	34290	34356	34675	35297	37052	37144	37934	38201	39867	40270	40539
40781	40804	40944	40966											
53	61	82	96	2665	6552	9517	15693	17214	17588	18347	19039	20679	21962	24255
27919	30691	36195	36379	37031	37309	37535	37793	38198	38212	38595	38808	38911	39474	39677
40135	40935													
15	67	723	2962	4991	5285	11583	13398	16301	16338	20996	21510	25697	28214	29143
30573	31108	32500	32506	32727	32755	36134	37226	37655	37799	39219	39626	39980	40093	40105
40628	40634	40816												
18854	37884	40104	40772											
35209	40379	40447	40508											
3049	36078	39403	40402											
19118	27981	35730	36649											
20465	28570	39076	40910											
24047	31275	39790	40126											
31041	33526	34162	39092											
1152	8976	24071	35698											
3	27991	31485	40934											
5245	20676	30579	38823											
47	11196	38674	38894											
14920	15270	16047	40928											
23974	30146	39805	40911											
8791	16641	25060	31681											
1147	4233	34386	37802											
58	5354	22265	41018											
869	3078	39882	40730											
1071	6322	9163	10642											
7235	32596	35540	37487											
26910	35537	40830	41035											
81	11905	16179	19558											

53/130

FIG. 53

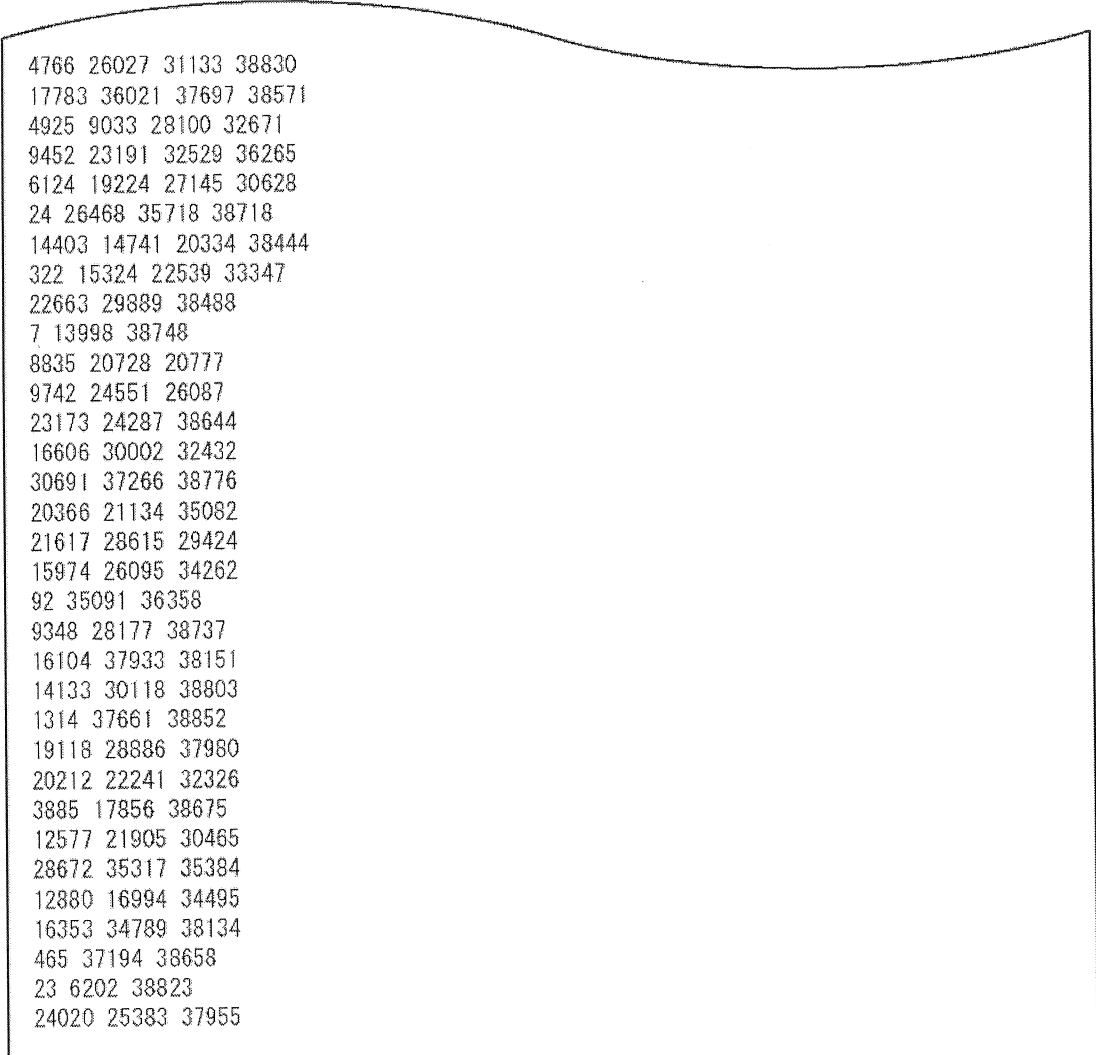
29 41 5161 12173
3043 5574 9993 26058
875 36935 39423 40956
3362 19166 20017 39729
12893 16403 33880 37115
9980 27100 28525 36786
3218 12776 40651 40703
7669 25783 32781 34504
25951 34595 39049 40697
11271 35112 35290 40600
5330 38324 40325 40986
58 24777 40560 40835
23895 25427 33552 37472
2811 4731 11601 39912
109 39021 40611 40754
79 15387 30999 40978
31162 34975 38844 39784
34891 37007 39433 40102
42 9072 21526 22610
20243 20499 24418 29056
7951 26469 29729 40956
6 10833 13188 15714
7910 20652 40574 40874
14586 24839 37804 40722
1103 11381 21050 30084
10 9032 20123 28528
19477 29966 37702 37766
131 31352 39069 40971
34 7368 17799 27467
16767 27584 32869 34769
31515 34543 36230 40752
15098 25451 26402 27629
149 10388 24558 40709
6997 7288 23995 29893
346 12245 13843 40402

54/130

FIG. 54

N=64800, tyle =12/30

2455	2650	6184	7016	7280	7409	7507	8261	8591	8829	11277	13729	14302	15883	17754	18506
19816	19940	22442	23981	26881	26981	28760	29688	31138	31497	32673	35889	37690	38665		
50	327	3574	4465	5954	9702	10606	11684	11715	12627	14132	14951	20099	24111	24283	27026
27473	28162	30076	31032	31476	35031	36675	36914	37008	37425	37530	37689	38830	38856		
59	102	5278	5548	5850	11840	13813	16641	19597	20543	24088	24298	25171	25224	26925	28312
28867	31551	31898	32849	33616	34486	34562	35252	35931	36107	37950	38494	38537	38547		
79	2084	2361	2922	3048	3525	5712	9376	10012	10463	11842	15200	18443	19223	20476	21361
22584	24343	24594	28001	28304	28475	28969	31149	31528	32574	33007	35120	38245	38253		
821	2803	8187	8501	10063	10497	14472	14570	15613	18469	19620	23034	24029	24578	26538	
31025	32621	34134	34508	34988	35201	35907	36693	36793	37608	37998	38090	38506	38611	38682	
9	50	88	1222	2430	2824	7233	9972	10225	15762	18283	18961	20711	28455	29946	32016
35763	37263	37325	38287	38360	38416	38471	38518	38551	38643	38759	38763	38818			
33	38	151	2523	3787	5069	6710	7667	8501	11083	17631	19589	24263	24684	24940	28493
31916	33741	35060	35810	36284	36394	36400	38209	38312	38340	38782	38825	38858			
8	49	84	381	4009	6978	9983	14028	14051	16325	17393	24325	25130	25838	30998	35159
37516	37636	37837	37927	38433	38620	38647	38650	38699	38733	38784	38804	38862			
44	76	4362	4480	8679	8833	13730	16493	16507	22419	24544	25614	25671	33032	33120	35219
35986	36415	36505	38169	38173	38327	38371	38468	38508	38546	38551	38747	38761	38853		
16	683	1013	8364	8665	12213	12279	12643	13134	15450	16703	17846	20656	21664	22896	23487
25022	32049	32482	33647	35029	35197	36636	37162	38376	38408	38430	38520	38721	38734		
3	760	1052	6377	8526	9014	11769	12589	16661	18156	20521	21303	23361	27434	32315	34602
34892	35078	35262	35639	36655	37893	38063	38578	38602	38719	38737	38748	38837	38861		
15	30	79	99	16844	19586	24117	24702	25088	26129	27790	28383	30976	33472	34613	35266
36278	36841	36980	37214	37651	37817	38085	38218	38338	38396	38432	38760	38812			
12483	24049	35782	38706												
12146	19270	23193	38389												
26418	34831	37883	38501												
25045	36512	37567	38487												
15238	33547	38210	38696												
14	6773	17384	33679												
14367	16694	16867	38453												
15371	37498	37910	38610												
2509	18705	27907	28422												
21246	37360	38125	38868												
11357	23312	24884	36318												
14467	19559	22338	37893												
26899	35264	36300	37973												
17311	28273	32934	38607												
0	14452	16264	38585												
6736	19801	31034	38279												
35256	36593	38204	38655												
10037	29019	32956	38670												
98	17138	28233	37750												
576	4888	14014	23030												
2003	2470	18968	38841												
1042	4623	8098	9963												
61	3037	9719	27052												
15129	26628	31307	37604												
9791	11904	12369	34528												
7996	15467	21456	38165												
7644	12741	34083	38851												

FIG. 55

4766 26027 31133 38830
17783 36021 37697 38571
4925 9033 28100 32671
9452 23191 32529 36265
6124 19224 27145 30628
24 26468 35718 38718
14403 14741 20334 38444
322 15324 22539 33347
22663 29889 38488
7 13998 38748
8835 20728 20777
9742 24551 26087
23173 24287 38644
16606 30002 32432
30691 37266 38776
20366 21134 35082
21617 28615 29424
15974 26095 34262
92 35091 36358
9348 28177 38737
16104 37933 38151
14133 30118 38803
1314 37661 38852
19118 28886 37980
20212 22241 32326
3885 17856 38675
12577 21905 30465
28672 35317 35384
12880 16994 34495
16353 34789 38134
465 37194 38658
23 6202 38823
24020 25383 37955

56/130

FIG. 56

N=64800, tyle =13/30

1153 2676 2759 5782 7192 10887 11573 11888 12383 18472 20695 21466 21753 23630 24580
 25006 25182 25636 25887 29615 29677 31968 32188 32277 33135
 935 5609 7730 9427 9519 10465 11182 12164 15765 17266 18156 20309 20542 21193 21697 22913
 22989 23780 27048 30762 31731 35754 36161 36379 36710
 644 2718 6995 7088 7898 11242 13921 14068 14328 15840 19581 19919 21938 22749 23311 23767
 25945 26731 27405 27830 31023 32589 33239 33957 34456
 17 131 2331 6624 10568 12965 16184 17665 19575 20690 22609 23378 24385 28281 30808 33083
 34435 34509 36016 36355 36525 36580 36586 36636 36644
 5 42 59 80 100 3327 4882 5238 6588 15417 17416 17476 18307 19336 20336 22770 33204 33302
 34207 35133 35594 35650 36090 36619 36659
 46 141 308 995 2267 2645 5224 5839 7945 8336 10865 14607 21285 22062 23225 23772 24190
 25324 26738 29253 29674 33264 35593 36564 36608
 55 2316 8545 13623 14353 14516 15773 18442 20172 21970 22319 26595 27849 29185 30141
 31195 33614 34586 35699 35994 36309 36445 36516 36662 36665
 17 59 82 955 5050 7239 17495 19753 23481 25131 30124 32434 33042 34583 35231 35786 36232
 36336 36518 36530 36541 36584 36592 36629 36648
 1 16 78 717 5622 7351 7729 9200 10674 12647 22946 24316 25268 28139 31794 32278 33243
 34217 34485 34505 34929 35450 35865 36340 36565
 15 36 73 2381 4118 6829 9453 11705 12402 14884 17442 19226 21328 25523 26538 29300 34635
 35066 35547 35617 36285 36343 36599 36607 36708
 27 58 3857 8026 9245 11874 14579 15588 16280 16426 22692 25061 27788 29797 31776 34992
 35324 35529 36295 36298 36469 36608 36626 36661 36679
 13 36 78 3785 5888 10015 13647 14824 18283 20262 26268 26890 27517 33128 33659 34191
 35729 35965 36196 36381 36385 36501 36593 36659 36667
 0 6 63 1713 8050 11113 18981 20118 22082 23210 24401 27239 31104 32963 33846 34334 35232
 35626 36159 36424 36441 36457 36523 36609 36640
 39 60 64 92 438 4764 6022 9256 14471 20458 23327 26872 30944 34061 34882 35249 35586 35642
 35680 36092 36126 36548 36626 36633 36649
 40 67 6336 8195 9735 19400 20396 21095 22015 28597 31367 33511 33932 34732 34847 35247
 35543 36020 36258 36619 36651 36688 36693 36709 36717
 13990 15734 24992 35907
 448 14650 29725 36141
 27195 27826 34118 35317
 2514 7964 31027 31885
 12966 22180 24997 33406
 13568 17438 18377 36038
 76 15846 25385 35720
 1 758 23751 36083
 2238 8449 29406 31840
 80 14882 15923 33878
 86 18320 24636 36111
 5392 24119 31102 34507
 6485 8182 14790 21264
 13702 29065 35939 36554
 9160 11429 36663 36691
 9153 12051 20063 25493
 37 3918 13758 18923
 18643 24675 31646 33893
 3941 9238 30160 36584
 26037 31006 35886
 115 8925 13728

FIG. 57

8079 12229 21571
18315 34532 35200
14760 36073 36540
27155 28360 36381
24111 32816 36411
17214 32333 35208
10181 13269 24419
55 13696 29382
35958 36528 36673
21481 27758 31170
2161 27055 36569
14381 22920 36680
9113 19651 32334
2500 20917 29374
1966 30518 30855
14419 25676 36077
31502 33331 34982
23192 27819 36698
23130 34074 35969
39 82 9069
1665 23618 28887
13344 16378 16410
3753 6863 27107
5309 26232 29584
83 10780 35045
23884 31975 36715
8591 27909 35282
16924 29871 36684
11923 21783 30567
20309 26955 36030
33545 36648 36706
6851 9052 35671
2188 11594 34478
32 5093 24903
7863 21519 23494
2227 25547 36218
27745 35240 36580
8094 13505 31136
14191 28503 33160
14107 25438 30594
30235 33886 35034
14118 35846 36621

FIG. 58

N=64800, ty lè =14/30 —

2422 2919 3173 3795 4428 12681 13428 14654 17367 17687 19587 20017 23588 24353 25280
 27167 29853 32040 32473 33170 33375
 34 79 817 12478 12769 14798 15383 16688 16739 17538 21654 22792 25145 25588 26995 27388
 31655 32133 32601 33452 34471
 88 986 1907 2868 3657 6826 8595 11922 14704 17681 19503 20604 24251 28125 28612 29976
 30687 31208 31464 33686 33909
 526 3853 4486 6507 10616 11300 11453 13385 20007 21420 21441 22554 23794 24581 24959
 27083 28710 30235 32852 34179 34327
 43 1775 4405 5644 6553 8885 10337 11178 14114 15108 16189 16192 18490 18801 21475 22748
 28269 28970 30758 31968 33554
 27 624 1191 1470 4277 5054 5695 9632 10911 11365 13339 21097 23810 26677 27822 28433
 29878 31026 32525 33335 33873
 14 45 760 1098 1567 2003 6710 10195 12052 13024 13337 19088 22647 25050 25899 27035 28844
 29927 33916 34033 34490
 30 94 4493 11928 14051 17759 18541 20842 21277 24587 24948 25790 27442 31120 31205 31526
 32107 32263 33696 34393 34529
 3 4245 5284 7791 10196 10922 13992 14397 14947 16908 21032 24585 27219 30300 30981 32732
 33362 33558 33725 34424 34537
 78 6958 8297 15781 23302 23386 23863 25570 25734 31844 31919 32100 32815 33345 33531
 33561 33889 34348 34504 34512 34530
 52 90 775 3760 4099 6945 8954 11931 16578 20804 23252 26583 29420 32461 33695 33874 33964
 34018 34177 34483 34506
 81 1162 3084 3986 4494 8523 10309 10934 12819 16784 23113 23803 25952 29134 29930 30530
 32021 33343 33400 33664 33685
 0 35 57 1564 9062 19694 24489 24737 26422 27021 30630 31513 33317 33425 33545 33624 33743
 33869 33875 34046 34519
 58 639 2340 3613 19319 21917 24284 29214 29430 29736 32496 32785 32830 32835 33176 33323
 33711 33967 34197 34438 34468
 71 77 88 953 4233 7365 8395 15176 16662 18280 21989 24348 26847 27645 31050 31890 34119
 34223 34235 34549 34551
 163 4304 4697 7470 11857 12787 12837 18000 18472 18489 19730 27014 29653 29740 30070
 30252 32769 33637 34382 34394 34555
 7 29 79 7321 9770 11315 15354 16240 18888 19559 27783 28220 28924 30659 31474 33084 33310
 33644 34282 34452 34557
 8 24 41 4491 11252 14225 18230 25845 30258 30801 31349 32655 32932 32951 33058 33794
 33889 34150 34338 34463 34494
 13 13092 15747 23904 29675 29732 30199 31273 31928 32211 32704 32959 33056 33374 33646
 33931 34043 34203 34426 34429 34509
 6 11188 19937
 11738 14763 34508
 11 4674 25431
 6346 9658 31716
 13231 32283 33193
 19187 31166 33846
 297 27886 32712
 74 8683 24435
 2200 20501 21571
 25 10097 29631
 4515 32145 33245
 13010 26434 29967
 0 30598 33940

FIG. 59

1342 27835 33782
2253 7519 33030
9079 13091 29109
20124 20880 27383
14317 16550 26394
84 2860 33197
21726 28620 31525
12088 23822 32157
1221 10300 34113
15613 22759 28517
4889 28647 31367
22184 25784 30338
21714 26800 28577
1408 15983 16148
6569 18901 23827
42 7606 25499
11193 13616 31040
8996 28561 30145
6335 23176 26286
6236 23314 24004
25452 30736 31684
3826 12150 21414
10711 17869 29177
13382 34510 34532
14491 16483 31945
77 16047 34221
17991 32178 32575
5508 6547 13800
4265 19226 25358
10154 23746 29274
3421 20929 34055
2976 9237 30748
17492 23256 34334
14069 21117 34122
2 30 34279
4782 18300 33733
153 4829 34472
6935 20289 25347
94 23931 34474
4955 13105 18305
3455 6361 16383
5195 13496 34289
1637 5512 18417
14082 20496 28064
12268 18659 23956
9430 22419 34549
6153 21548 24847
1995 12662 13605
13493 29840 31922
14059 14662 33208
20727 33280 34067
564 20975 23516

60/130

FIG. 60

N=64800, tyle =15/30

760	874	3785	6601	10266	14790	16713	18014	18215	20992	21237	21250	24161	24295	25360		
25380	26306	28764	30139	30708	31719	31730	32179									
191	7294	12316	12887	15172	15688	16749	18425	21102	25133	25875	25892	26013	26763	27058		
29510	29746	30265	30326	30386	31467	31665	32391									
76	2184	4641	6139	8656	9053	10603	15456	15797	15853	19689	21857	23984	24703	24732	26828	
26912	27714	27978	28627	30815	31332	31701										
13	5917	11178	13332	13401	16567	18144	18332	21502	22585	26654	27287	27474	27580	28266		
28949	30045	30669	30950	31388	31786	31820	32319									
723	9266	11501	12279	14691	14757	16829	18863	19022	19311	21466	22322	23441	23479	26959		
29450	29621	30075	30305	32044	32050	32110	32387									
42	3584	3807	6900	8188	12414	14341	20161	20466	23466	23722	26503	28207	29006	30745	30942	
31023	31647	31668	31908	32130	32332	32338										
2108	6363	8375	8971	10744	12734	15004	16460	16558	21479	22043	23858	24423	27887	28871		
30000	30089	30596	30926	31378	31525	32333	32355									
28	948	5841	6154	6643	10141	11528	12498	12525	13792	15031	18762	20383	20443	23824	25767	
27445	27558	27979	31402	32064	32133	32394										
14	19	2616	3474	4620	5333	6095	8507	8656	9411	13922	17800	18897	23695	25311	29891	30342
31067	31124	31139	31467	32019	32240											
0	1082	2189	4147	8496	8986	10062	11294	16960	20197	23516	23989	24429	25718	29296	30293	
31195	31351	31665	31820	32073	32355	32376										
1661	4207	5859	14432	17329	18592	20431	20758	23186	23573	29558	29974	30107	30295	30396		
30635	30935	31185	31534	31650	31685	31960	32007									
89	4834	5934	6765	7256	7928	9025	12135	14585	23859	25231	25332	26519	26921	30891	31001	
31496	31625	31700	31730	31852	32022	32224										
5460	6506	6639	10691	16488	20520	21627	22863	25303	26209	26647	27502	27898	28112	28982		
29023	29188	31060	31193	31673	31911	32200	32343									
4652	9366	12763	13047	16124	19840	19846	19928	22041	26095	27473	28784	29506	29827	29958		
30347	31018	31027	31904	32274	32300	32383	32387									
2265	3996	4208	6150	7258	9151	9983	12269	12788	12986	15469	17063	26727	26859	28941	30162	
30172	30616	30714	31315	31357	31818	32284										
6518	11111	24325	32103													
72	12699	23236	30992													
8360	19792	19940	32358													
14197	21794	25358	27036													
4398	6859	18988	32137													
841	22129	27876	31849													
6974	7937	17758	27732													
7040	9749	9755	32242													
2949	17069	29881	30587													
1373	9669	30875	32281													
11884	12078	27981	32205													
7736	24771	25380	32163													
74	3602	19540	25410													
16273	30193	32344	32355													
1315	13197	20672	25600													
13	9947	14814	27294													
21919	29940	31822	32276													
11	3234	17261	27366													
18543	21226	24436	32375													
18492	19557	22383	30490													
24	17820	23927	32049													
14847	22301	22903	29032													

61/130

FIG. 61

2676 11480 11692 18567
12192 31056 31967 32098
44 27120 32324 32378
5721 9533 32015 32311
30379 31576 31774 32209
5335 10732 31892 32363
11000 22458 32187 32398
1872 10630 32347 32391
16571 17488 23289 23346
27732 29271 29371 30145
3353 29492 31289 31868
2198 6637 10704 26015
15354 19712 25567
21163 24225 25981
4200 22366 31698
9311 18196 25010
28406 31360 31879
5159 6285 31195
28054 29700 31997
4049 10513 29649
78 29253 32396
1024 7865 16946
4124 20295 22713
14007 19361 32315
4044 12702 14541
25377 29764 31569
2057 25664 32000
8836 10649 14172
6497 27125 29138
11983 21816 29095
8545 16142 25004
13112 27787 32221
28 7470 32149
21978 31113 32332
24788 31901 32359
19016 31956 32312
8082 16436 22264
27 23947 28943
20 19713 25231
24 5409 25558
17325 22825 29039
58 30869 32333
52 7935 13780
76 27127 32224
16783 30121 30450
9138 17711 31443
16066 25671 32301
13418 14979 22933
11496 16370 20860
4727 10245 15174
1523 17435 32170
60 10068 32392
8324 27536 32209

62/130

FIG. 62

N=64800, tyle =16/30 —

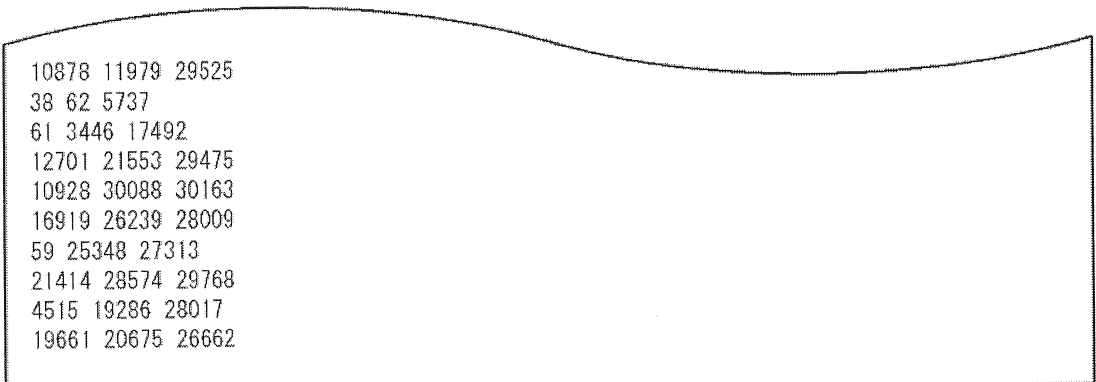
3111 4871 6505 6799 7635 11197 14052 14348 14826 15557 15659 18613 21220 22340 22401
 27614 28374 29255 29841
 3361 4302 5676 9039 12309 14206 14677 15432 18320 20678 22348 23548 24612 27694 28211
 28562 29155 29406 29548
 5 53 3037 4529 5584 5648 17104 18025 18489 20393 24434 24500 24814 25552 25565 26415
 27851 29090 29780
 5161 5493 5523 10121 12283 13234 14979 17374 18240 20035 24222 25047 26289 26734 28216
 28403 28465 28810 29385
 43 186 1836 4590 11586 12799 13507 13724 14711 15317 21647 23476 24193 24699 25994 28699
 29940 30122 30203
 2003 3800 5130 6577 9365 10145 11356 15819 15932 16104 18223 19103 20631 22002 23366
 26895 28896 28976 30165
 23 9657 11412 13196 15347 15358 16644 17463 18784 19185 26582 28301 28342 28525 28922
 29224 29957 30116 30120
 2206 3177 4177 6441 7458 11162 15727 16894 19718 20753 20946 22516 22660 26757 26827
 26850 28909 29822 30046
 739 3969 4582 14549 15188 15831 21294 22417 22460 23015 25237 25515 26568 26656 27187
 27924 28526 29071 29734
 4208 4241 4427 6512 14103 18082 22518 23522 24048 24879 27014 28704 28753 29196 29438
 29571 29695 29829 30174
 13 32 3455 8111 10978 13661 13856 18718 19398 20224 22663 23517 26241 27440 28748 28817
 28979 29377 30187
 1463 3641 4046 6345 6676 10287 12165 13506 15052 15192 20449 23322 23426 24120 25788
 26284 27049 28460 30124
 1569 3052 3370 5187 6418 12733 15343 15725 16555 19231 25563 26273 27866 28411 28938
 29006 29339 29387 29566
 77 4306 7810 12815 18400 19686 19803 20446 20940 21189 22144 23248 24200 25226 28695
 28801 29268 30118 30206
 45 649 1691 4421 8406 9642 10567 11550 12441 15117 17109 18327 19727 24980 26328 27075
 27235 28892 30221
 12483 13895 20152 20245 20655 21468 22162 22961 24057 24365 24605 25411 26180 26761
 27446 29507 30100 30181 30216
 44 1264 3026 7950 8626 14270 17615 17922 18819 23010 23725 25137 25284 25409 27704 28128
 23675 29774 30092
 55 2812 7572 7825 8647 19309 20122 20243 20787 22530 22612 24719 24955 25546 26352 26396
 26477 29301 29918
 6419 11660 28980 30169
 62 7613 22157 25645
 3958 5559 27517 28608
 2395 6628 21235 27555
 750 14167 14443 29001
 14265 15570 28940 29039
 77 600 7982 16623
 19331 26506 29810 30208
 1269 1541 23861 27282
 19 12841 24031 27927
 1666 14901 16818 28517
 3189 11786 18478 23399
 6495 10934 16584 25011
 8 28009 28559 30049
 58 1288 17394 18565

63/130

FIG. 63

13723 28172 29034
8440 9110 16677
12909 17320 30012
24814 27014 29165
17859 24172 24616
13076 28350 28463
22 10992 13100
13027 14490 29661
8454 13705 30238
11 21997 22751
12860 16875 26073
14510 26256 29962
3886 4042 27359
11582 29084 29204
17120 28447 29009
21893 24307 30195
79 20747 27546
34 8136 23729
19787 29064 29759
18463 22634 26188
6266 6668 8406
12813 19765 27450
37 29680 29989
4708 9183 26121
46 3504 4132
69 18724 30090
24867 27125 30171
2214 4898 23823
20902 27008 30091
7073 17524 29356
120 2952 29234
3325 23880 29001
65 9413 21897
26943 27109 29732
602 29267 29947
8477 14722 24091
7886 28109 29997
12730 27726 29820
27 12228 30239
17638 28758 30236
24 13634 30168
8892 16810 25858
5263 9232 29835
527 18583 30143
28 1820 21525
2574 24420 29901
3 6599 20094
3484 24193 24838
43 12248 22044
1052 1669 27379
20703 28365 30141
892 23049 29633
9076 16913 27030

64/130

FIG. 64

10878 11979 29525
38 62 5737
61 3446 17492
12701 21553 29475
10928 30088 30163
16919 26239 28009
59 25348 27313
21414 28574 29768
4515 19286 28017
19661 20675 26662

65/130

FIG. 65

N=64800, tyle =17/30

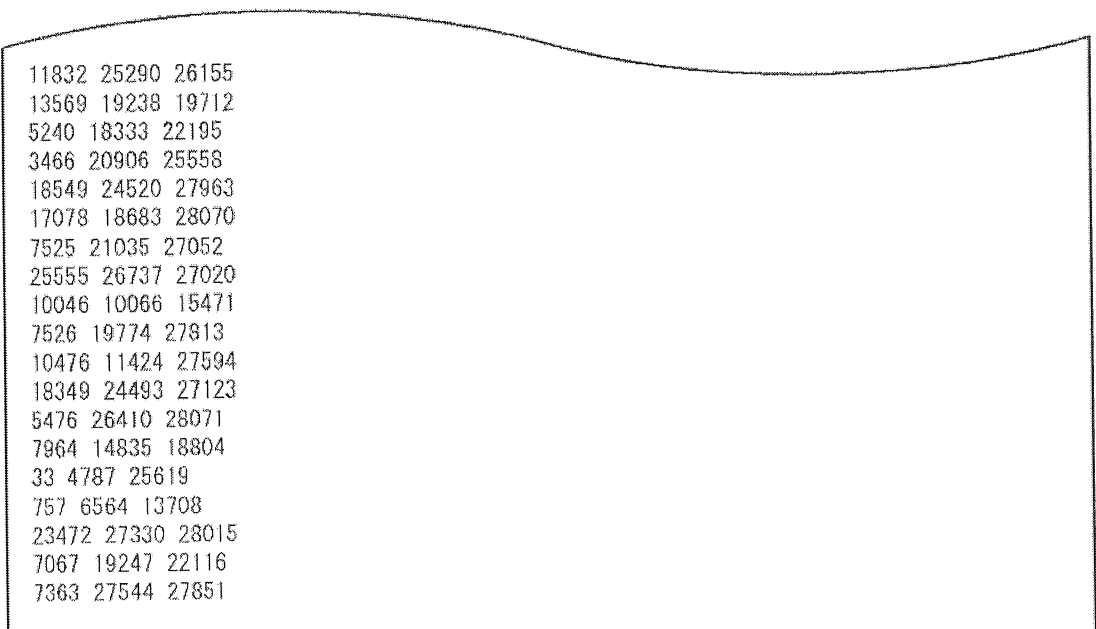
3638	3722	7015	10458	11119	12197	14103	14536	17412	18774	22287	22612	22713	25635	27548
27686	27778	27826												
5324	7803	10924	11606	12282	12502	12860	16739	22141	23364	23709	23875	25369	26285	26862
26922	26948	27844												
118	2886	6188	8567	8753	10752	11895	11939	12361	12739	14031	15749	16127	16638	18517
23682	27925													
158	489	824	1854	2935	4257	6997	11791	15452	15664	16719	19672	24085	25188	25240
25636	27011													
2918	5981	6349	7833	12983	14033	14242	14344	17083	17405	19655	21959	22550	23777	27153
27827	27848	27921												
3265	5089	6050	6323	10714	18435	20910	21582	24038	24361	24712	25131	25484	26901	27073
27174	27309	27693												
17	26	32	3083	10749	11918	11982	12657	13842	14454	18559	20569	23993	27282	27712
27772	27820													
3991	4273	5550	8223	9048	10163	12392	15961	19676	20564	20586	21360	24139	26555	27189
27334	27708	27844												
1611	3553	6046	9278	10150	13220	13670	14436	17764	19828	20986	21353	21723	25542	25691
26339	27591	27823												
6173	6835	7028	7803	8388	8626	11307	15884	17784	18339	19512	24249	26438	27137	27255
27770	28072													
67	486	3205	5487	10201	11054	14546	20328	23045	23272	23673	25248	25527	25802	26578
27872	27971													
23	3605	3873	13976	16258	18335	18629	20465	22508	24880	24946	25672	26326	26479	26514
27758	28026	28047												
2183	7317	10716	11014	11637	20111	21269	22729	23581	25870	25891	27176	27185	27709	27747
27912	28003	28024												
12	31	53	68	1402	9988	15395	19124	20807	23692	25299	25979	26394	27022	27026
28041														
18	52	4442	12761	15481	17938	20266	24312	24821	25137	25916	26131	26642	26851	27065
27697	27987													
49	4516	5076	12930	15048	20703	21360	22615	25025	25577	25997	26353	26659	26701	27206
27655	28030	28037												
36	1654	2703	8738	13150	15338	18464	20505	21404	25826	25911	27400	27433	27513	27891
28015	28043													
40	54	6027	11231	14164	15995	17839	19890	22537	25509	26043	26700	27141	27166	27182
27993	27990													
2840	11826	14170	15701	15758	17947	19094	23029	26232	26528	26556	26849	27015	27456	27761
27881	27987	28036												
30	680	1541	5734	8251	19767	20127	21120	22480	25861	25867	26517	26755	26821	27220
27793	27875													
1630	5956	7702	9606	10458	10541	17763	19609	21908	23593	24189	24356	24896	25180	26091
27038	27081	27422												
2459	2748	22536	23254											
597	7455	22226	26562											
12250	13286	13325	25013											
8523	13590	27754												
39	19867	24723												
19403	21896	22752												
8491	20514	23236												
4300	25422	27311												
11586	19002	28004												

66/130

FIG. 66

10358 19197 20224
11549 24404 24743
25288 26238 27603
7064 7516 12867
10495 22956 25193
2138 16441 19980
57 3925 20396
26 3672 6014
8425 24543 26134
8188 8317 24909
40 2219 17740
4187 10940 11324
2447 7425 20795
46 13240 16149
37 12701 25168
4044 5791 27998
33 24019 25005
18081 22487 23003
13 20833 25074
15660 22973 27116
2816 17854 27914
18148 23098 27712
3886 19711 20993
54 17332 26188
10188 16959 27174
74 14117 23707
8805 19540 27887
25062 27736 28002
1698 16599 28039
19195 24524 25323
6814 27968 27986
942 972 24673
4760 24441 27142
680 11557 27969
4544 14190 19878
15369 18267 27683
9155 20072 26804
65 5166 12757
49 14369 26870
1 35 26298
5975 12813 19445
20809 27226 27431
59 75 5907
9940 17252 27654
11221 14695 17335
10851 18647 27885
8004 26096 26754
7 23111 27220
22256 26278 27521
1087 24826 28022
3753 11220 15209
11595 12395 27701
21 67 1577

67/130

FIG. 67

11832 25290 26155
13569 19238 19712
5240 18333 22195
3466 20906 25558
18549 24520 27963
17078 18683 28070
7525 21035 27052
25555 26737 27020
10046 10066 15471
7526 19774 27813
10476 11424 27594
18349 24493 27123
5476 26410 28071
7964 14835 18804
33 4787 25619
757 6564 13708
23472 27330 28015
7067 19247 22116
7363 27544 27851

68/130

FIG. 68

N=64800, $\tau_1 \tau_2 = 18/30$

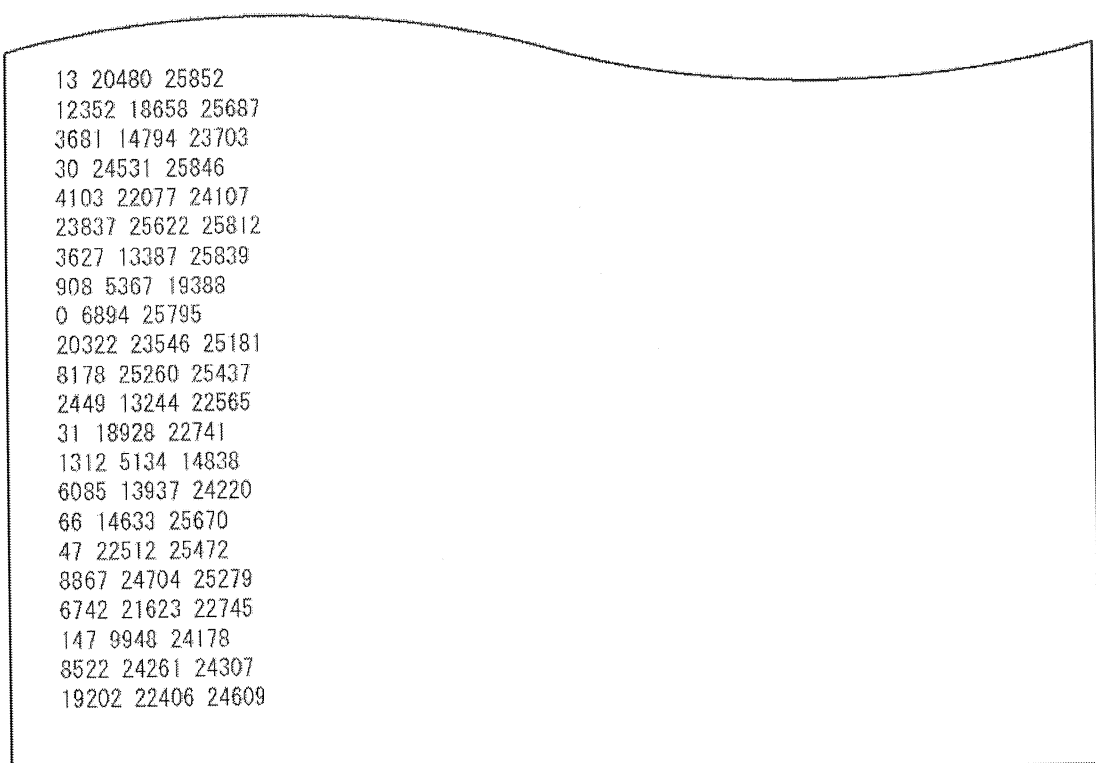
113	1557	3316	5680	6241	10407	13404	13947	14040	14353	15522	15698	16079	17363	19374	19543	
20530	22833	24339														
271	1361	6236	7006	7307	7333	12768	15441	15568	17923	18341	20321	21502	22023	23938	25351	
25590	25876	25910														
73	605	872	4008	6279	7653	10346	10799	12482	12935	13604	15909	16526	19782	20506	22804	
23629	24859	25600														
1445	1690	4304	4851	8919	9176	9252	13783	16076	16675	17274	18806	18882	20819	21958	22451	
23869	23999	24177														
1290	2337	5661	6371	8996	10102	10941	11360	12242	14918	16808	20571	23374	24046	25045		
25060	25662	25783	25913													
28	42	1926	3421	3503	8558	9453	10168	15820	17473	19571	19685	22790	23336	23367	23890	
24061	25657	25680														
0	1709	4041	4932	5968	7123	8430	9564	10596	11026	14761	19484	20762	20858	23803	24016	
24795	25853	25863														
29	1625	6500	6609	16831	18517	18568	18738	19387	20159	20544	21603	21941	24137	24269		
24416	24803	25154	25395													
55	66	871	3700	11426	13221	15001	16367	17601	18380	22796	23488	23938	25476	25635	25678	
25807	25857	25872														
1	19	5958	8548	8860	11489	16845	18450	18469	19496	20190	23173	25262	25566	25668	25679	
25858	25888	25915														
7520	7690	8855	9183	14654	16695	17121	17854	18083	18428	19633	20470	20736	21720	22335		
23273	25083	25293	25403													
48	58	410	1299	3786	10668	18523	18963	20864	22106	22308	23033	23107	23128	23990	24286	
24409	24595	25802														
12	51	3894	6539	8276	10885	11644	12777	13427	14039	15954	17078	19053	20537	22863	24521	
25087	25463	25838														
3509	8748	9581	11509	15884	16230	17583	19284	20900	21001	21310	22547	22756	22959	24768		
24814	25594	25626	25880													
21	29	69	1448	2386	4601	6626	6667	10242	13141	13852	14137	18640	19951	22449	23454	24431
25512	25814															
18	53	7890	9934	10063	16728	19040	19809	20825	21522	21800	23582	24556	25031	25547	25562	
25733	25789	25906														
4096	4582	5766	5894	6517	10027	12182	13247	15207	17041	18958	20133	20503	22228	24332		
24613	25689	25855	25883													
0	25	819	5539	7076	7536	7695	9532	13668	15051	17683	19665	20253	21996	24136	24890	25758
25784	25807															
34	40	44	4215	6076	7427	7965	8777	11017	15593	19542	22202	22973	23397	23423	24418	24873
25107	25644															
1595	6216	22850	25439													
1562	15172	19517	22362													
7508	12879	24324	24496													
6298	15819	16757	18721													
11173	15175	19966	21195													
59	13505	16941	23793													
2267	4830	12023	20587													
8827	9278	13072	16664													
14419	17463	23398	25348													
6112	16534	20423	22698													
493	8914	21103	24799													
6896	12761	13206	25873													
2	1380	12322	21701													
11600	21306	25753	25790													

69/130

FIG. 69

8421 13076 14271 15401
9630 14112 19017 20955
212 13932 21781 25824
5961 9110 16654 19636
58 5434 9936 12770
6575 11433 19798
2731 7338 20926
14253 18463 25404
21791 24805 25869
2 11646 15850
6075 8586 23819
18435 22093 24852
2103 2368 11704
10925 17402 18232
9062 25061 25674
18497 20853 23404
18606 19364 19551
7 1022 25543
6744 15481 25868
9081 17305 25164
8 23701 25883
9680 19955 22848
56 4564 19121
5595 15086 25892
3174 17127 23183
19397 19817 20275
12561 24571 25825
7111 9889 25865
19104 20189 21851
549 9686 25548
6586 20325 25906
3224 20710 21637
641 15215 25754
13484 23729 25818
2043 7493 24246
16860 25230 25768
22047 24200 24902
9391 18040 19499
7855 24336 25069
23834 25570 25852
1977 8800 25756
6671 21772 25859
3279 6710 24444
24099 25117 25820
5553 12306 25915
48 11107 23907
10832 11974 25773
2223 17905 25484
16782 17135 20446
475 2861 3457
16218 22449 24362
11716 22200 25897
8315 15009 22633

70/130

FIG. 70

13 20480 25852
12352 18658 25687
3681 14794 23703
30 24531 25846
4103 22077 24107
23837 25622 25812
3627 13387 25839
908 5367 19388
0 6894 25795
20322 23546 25181
8178 25260 25437
2449 13244 22565
31 18928 22741
1312 5134 14838
6085 13937 24220
66 14633 25670
47 22512 25472
8867 24704 25279
6742 21623 22745
147 9948 24178
8522 24261 24307
19202 22406 24609

71/130

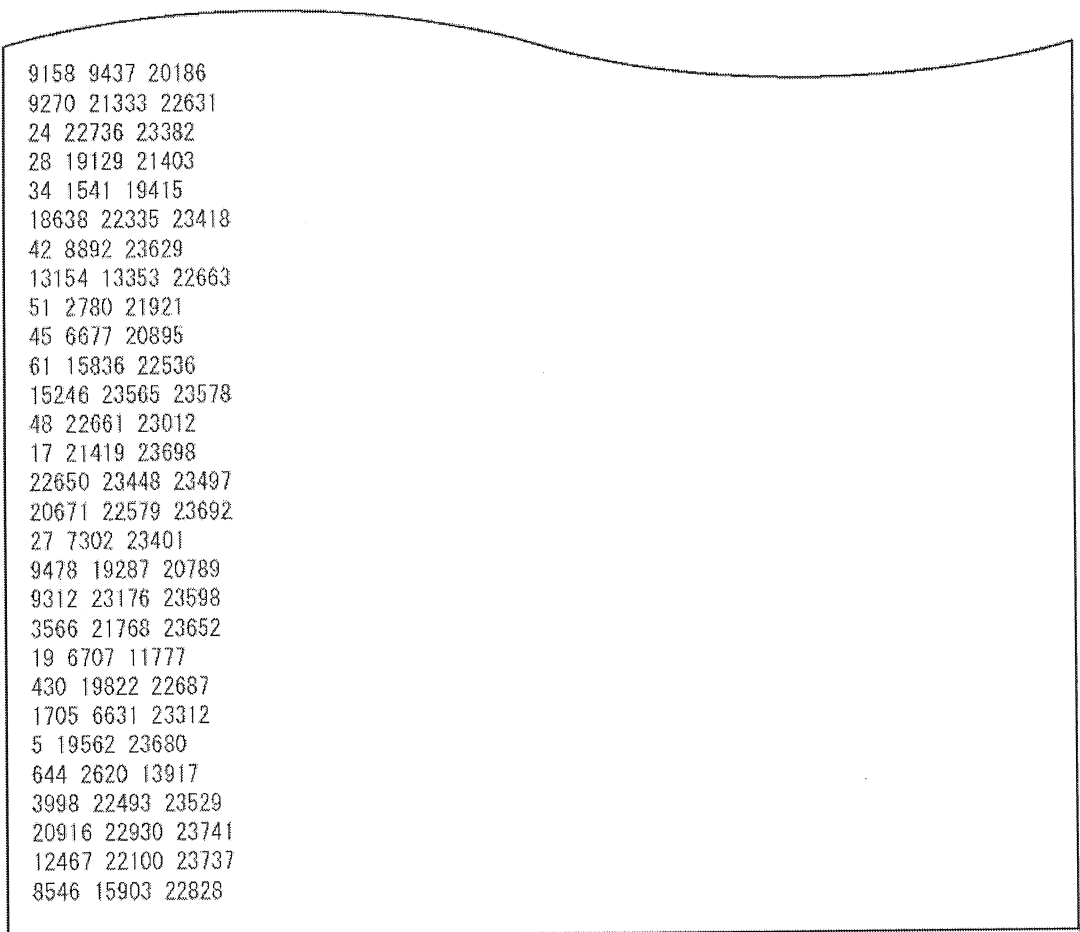
FIG. 71

N=64800, tý le =19/30	
354	794 1214 1640 8278 9195 11069 11580 11911 13276 13438 14495 14734 15741 19195 19537
21951	4657 5351 5887 6634 7718 8327 10300 10815 11822 13506 16746 19429 19920 21548 22087 23650
23712	4603 5160 6345 7259 8428 8937 9665 11623 11864 13590 13613 17117 18678 19118 21126 21884
23054	27 2157 3039 3219 4191 5651 7098 12555 12634 13791 14885 15505 16163 16664 19792 20437
23588	30 49 2768 3314 4345 6972 8994 15294 16653 18282 18808 19324 20597 21510 21643 23741
23748	1 553 2228 4277 4499 5818 10580 10823 12135 14102 14923 15980 15995 16319 18577 22838
23058	4 2307 2764 3075 4755 8064 9673 12150 21139 21224 21572 21682 23415 23598 23703 23710
23739	4 9 13 5867 6028 7730 10859 14755 14879 15746 21166 21643 22777 23409 23502 23511 23734
13 28 481 7146 8144 13768 15081 19349 20187 20858 21913 22025 23134 23472 23506 23711	
23744	12 24 36 1004 3080 3496 7356 7834 16011 16492 19536 20918 22833 22937 23717 23745 23749
31 378 812 1578 1957 5163 14759 16701 16829 18111 22931 23253 23314 23351 23584 23660	
23699	25 38 1183 6573 9556 12523 14303 14412 18209 18530 21334 21770 21809 22630 22734 23154
23186	57 3497 6667 9653 10168 12771 15082 19365 19415 19514 19611 19785 21242 22974 23107 23690
23715	2456 2562 6223 7150 12652 14580 14807 20072 20513 21091 21201 21922 23010 23046 23215
23514 23663	5 635 3760 4981 6824 8425 13532 14618 19654 20026 21439 21684 22023 23027 23499 23691
23707	8 3018 4509 9002 11537 17156 17490 17779 20182 22018 22416 23348 23497 23575 23685 23708
23753	3 19 60 9502 12512 12907 17118 20225 20508 21429 21695 22010 22187 22347 23574 23608
23617	2 5 22 61 6583 15302 17930 18081 18562 19427 21204 21744 22713 23422 23503 23597 23730
15 4333 9774 11921 15075 20993 21581 21622 22468 22638 23104 23530 23593 23613 23645	
23648 23719	16 48 65 2563 3079 12594 17391 17624 20302 21062 21809 22772 23189 23501 23625 23628
23756	59 4288 6124 13237 13580 13607 19899 20348 21481 22380 22510 22883 23114 23233 23709
23715 23735	46 2949 3278 6100 9887 10255 19509 19883 20022 21147 21422 21915 22489 22777 23422 23750
23754	761 8196 8895 23472
	10842 15470 23658 23748
	13 16585 19888 21445
	13341 17522 18603 20826
	2932 8194 19093 21220
	6202 9623 23715
	2288 21290 22116
	5143 10529 19731
	15559 16069 23704
	137 11927 20849

72/130

FIG. 72

11 5997 11214
1212 9635 22820
8785 10770 15217
14930 15004 19622
15 9351 22137
6984 10545 18086
17 5394 22378
5666 17493 23525
2788 2962 18427
15308 18638 23694
6477 21407 23683
5907 22795 23101
3398 17256 18334
3010 12780 18130
2912 12048 19907
10071 21798 22747
9806 23050 23683
13541 23317 23733
11998 12007 17363
9401 16372 23473
16221 19981 21929
32 7499 20187
17718 22377 23147
17276 21344 22014
21779 22541 23607
16248 18722 23096
4225 19889 20582
21394 23463 23652
10428 11323 12984
60 23098 23752
8941 12692 20396
3909 12976 23323
4172 13704 21088
4252 20334 23229
5669 9953 23616
747 22117 23391
1201 17300 19083
6226 22684 23382
8854 14713 23706
18391 19269 20334
15856 16811 23747
39 3964 14259
11159 17884 18130
11388 23637 23738
12481 16865 23422
17762 22000 23602
13515 19709 21596
45 16207 16302
2011 13753 23611
20451 23564 23756
13 10379 16323
20 14421 16684
11082 19565 22082

FIG. 73

9158 9437 20186
9270 21333 22631
24 22736 23382
28 19129 21403
34 1541 19415
18638 22335 23418
42 8892 23629
13154 13353 22663
51 2780 21921
45 6677 20895
61 15836 22536
15246 23565 23578
48 22661 23012
17 21419 23698
22650 23448 23497
20671 22579 23692
27 7302 23401
9478 19287 20789
9312 23176 23598
3566 21768 23652
19 6707 11777
430 19822 22687
1705 6631 23312
5 19562 23680
644 2620 13917
3998 22493 23529
20916 22930 23741
12467 22100 23737
8546 15903 22828

FIG. 74

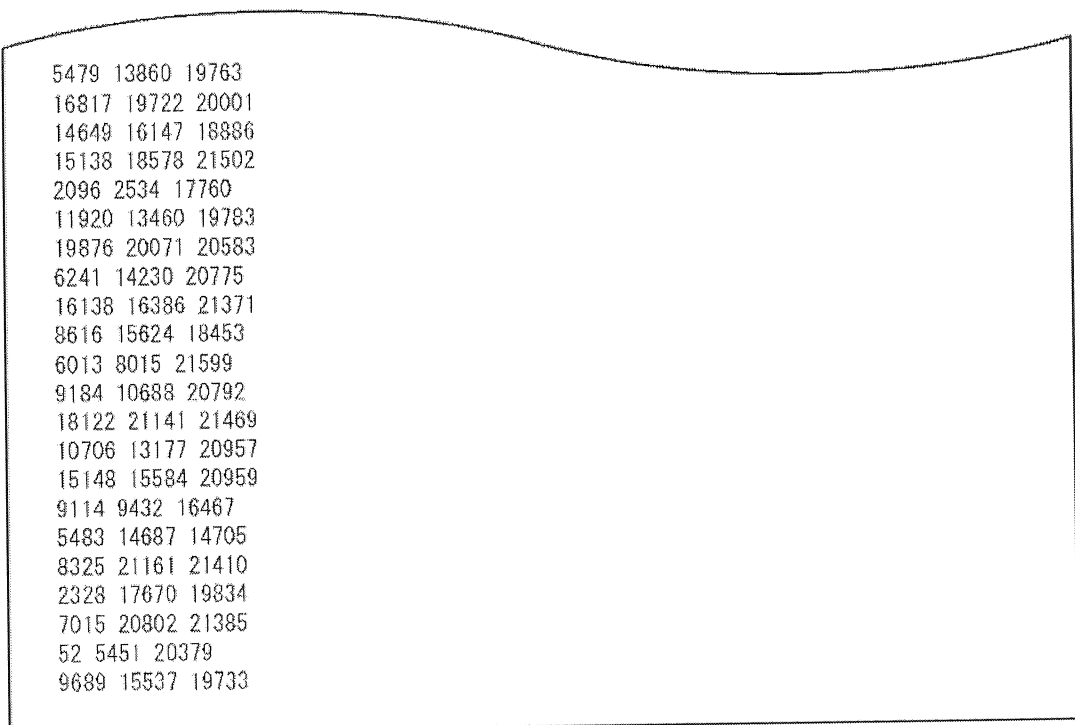
N=64800, tyle =20/30

692	1779	1973	2726	5151	6088	7921	9618	11804	13043	15975	16214	16889	16980	18585	18648
13	4090	4319	5288	8102	10110	10481	10527	10953	11185	12069	13177	14217	15963	17661	20959
2330	2516	2902	4087	6338	8015	8638	9436	10294	10843	11802	12304	12371	14095	18486	18996
125	586	5137	5701	6432	6500	8131	8327	10488	11032	11334	11449	12504	16000	20753	21317
30	480	2681	3635	3898	4058	12803	14734	20252	20306	20680	21329	21333	21466	21562	21568
20	44	738	4965	5516	7659	8464	8759	12216	14630	18241	18711	19093	20217	21316	21490
31	43	3554	5289	5667	8687	14885	16579	17883	18384	18486	19142	20785	20932	21131	21308
7054	9276	10435	12324	12354	13849	14285	16482	19212	19217	19221	20499	20831	20925	21195	
21247															
9	13	4099	10353	10747	14884	15492	17650	19291	19394	20356	20658	21068	21117	21183	21586
28	2250	2980	8988	10282	12503	13301	18351	20546	20622	21006	21293	21344	21472	21530	
21542															
17	32	2521	4374	5098	7525	13035	14437	15283	18635	19136	20240	21147	21179	21300	21349
57	4735	5657	7649	8807	12375	16092	16178	16379	17545	19461	19489	20321	20530	21453	21457
35	55	5333	14423	14670	15438	19468	19667	20823	21084	21241	21344	21447	21520	21554	21586
13	20	2025	11854	12516	14938	15929	18081	19730	19929	20408	21338	21391	21425	21468	21546
54	7451	8176	10136	15240	16442	16482	19431	19483	19762	20647	20839	20966	21512	21579	
21592															
26	465	3604	4233	9831	11741	13692	18953	18974	21021	21039	21133	21282	21488	21532	21558
1	7	16	59	6979	7675	7717	9791	12370	13050	18534	18729	19846	19864	20127	20165
15	31	11089	12360	13640	14237	17937	18043	18410	19443	21107	21444	21449	21528	21576	21584
32	51	9768	17848	18095	19326	19594	19618	19765	20440	20482	20582	21236	21338	21563	21587
44	55	4864	10253	11306	12117	13076	13901	15610	17057	18205	19794	20939	21132	21267	21573
3436	11304	15361	16511	16860	18238	18639	19341	20106	20123	20407	21200	21280	21452	21526	
21569															
679	8822	11045	14403	16588	17838	19117	19453	20265	20558	21374	21396	21428	21442	21529	
21590															
391	13002	13140	14314	17169	17175	17846	18122	19447	20075	20212	20436	20583	21330	21359	
21403															
7601	10257	20060	21285												
4419	9150	18097	20315												
4675	13376	21435													
610	1238	16704													
5732	7096	21104													
5690	13531	14545													
4334	14839	17357													
8	2814	17674													
2392	8128	18369													
502	7403	15133													
343	13624	20673													
13188	15687	21593													
321	16866	21347													
1242	4261	17449													
4691	8086	8691													
8500	11538	20278													
6269	12905	18192													
5984	15452	17111													
11541	18717	21534													
16	10780	16107													
12310	12959	20390													
1365	18306	19634													

75/130

FIG. 75

6125 19132 20242
3012 17233 21533
5816 13021 21440
13207 17811 18798
2762 7586 12139
3949 5545 13584
11374 18279 19241
2736 10989 21209
4095 20677 21395
8251 10084 20498
7628 8875 21406
2743 8943 9090
1817 7788 15767
9333 9838 21268
6203 9480 12042
5747 21187 21468
2553 18281 21500
3179 9155 15222
12498 18109 20326
14106 21209 21592
7454 17484 20791
20804 21120 21574
5754 18178 20935
30 4322 21381
11905 20416 21397
12452 19899 21497
1917 6028 16868
9891 18710 18953
912 21083 21446
370 14355 18069
16519 19003 20902
11163 17558 18424
8427 14396 21405
8885 11796 21361
4960 15431 20653
11944 16839 21236
9967 14529 17208
14144 19354 19745
7986 12680 21396
6097 11501 13028
33 13803 21038
3177 20124 20803
2692 6841 18655
971 5892 14354
3887 19455 21271
17214 17315 21148
6539 13910 21526
3809 5153 15793
3865 21438 21510
7129 17787 19636
5972 13150 14182
7078 14906 16911
15705 21160 21482

FIG. 76

5479 13860 19763
16817 19722 20001
14649 16147 18886
15138 18578 21502
2096 2534 17780
11920 13460 19783
19876 20071 20583
6241 14230 20775
16138 16386 21371
8616 15624 18453
6013 8015 21599
9184 10688 20792
18122 21141 21469
10706 13177 20957
15148 15584 20959
9114 9432 16467
5483 14687 14705
8325 21161 21410
2328 17870 19834
7015 20802 21385
52 5451 20379
9689 15537 19733

77/130

FIG. 77

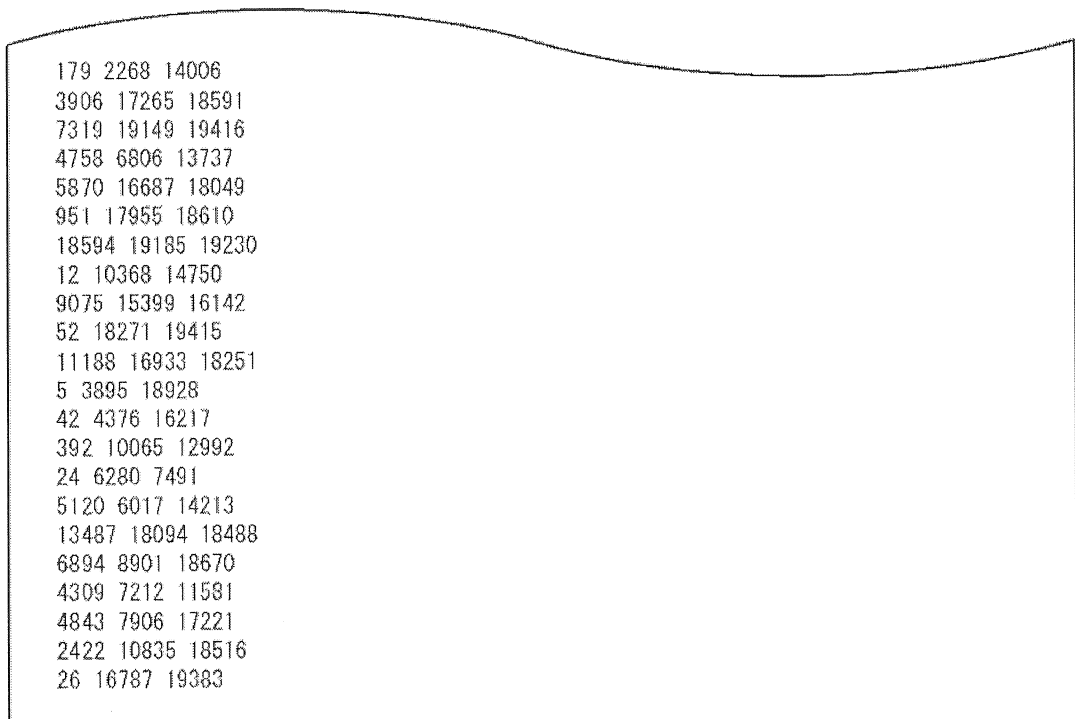
—N=64800, tyle =21/30 —

549 611 1357 3717 5079 5412 5964 10310 13716 16028 16067 16726 16856 18095 18515
 25 163 1310 4468 5938 8348 9208 11118 13355 13539 14004 14869 16512 17878 19194
 9 3271 4816 5091 5642 6704 8049 8431 8513 9264 10118 10905 17317 19047 19204
 1775 2009 2741 3978 5427 6376 8143 9682 12173 13086 13232 14386 15220 17433 19332
 18 519 4261 4265 6356 6409 11253 12973 14592 16637 17030 18474 19112 19202 19214
 874 2918 3977 8791 9100 10391 10623 11738 16545 16968 17928 19049 19251 19295 19384
 15 2832 4906 5010 7208 7315 8266 12524 14718 14789 16532 16637 17333 19314 19361
 1 44 169 967 3980 7358 8489 9672 11731 12519 19027 19030 19156 19348 19434
 32 112 2611 5885 6907 9231 9890 10047 10456 17955 17959 19236 19361 19395 19419
 5 13 38 51 1307 6348 7275 10351 11869 13074 17179 17889 18802 18957 18963
 45 1114 1822 13768 13968 16002 17945 18577 18944 19097 19142 19191 19211 19280 19410
 16 25 31 6527 7318 10336 11522 11826 12038 17843 19218 19270 19346 19365 19428
 44 3166 11719 13946 14592 16659 17881 18127 18335 18401 18672 19025 19093 19218 19233
 3890 4804 10421 11575 15260 15641 15738 15835 16462 17085 17902 18650 19131 19328 19336
 40 4635 6324 12215 13030 14029 15387 16287 18128 18893 18939 19138 19409 19416 19422
 26 10421 10487 11386 12158 13231 16951 17521 18100 18309 18468 18689 18745 18862 19350
 33 1635 8499 10728 12209 15641 16482 17298 18157 18247 18498 18885 19018 19304 19340
 155 7584 9130 9253 10095 14414 15396 16572 16660 18942 19031 19287 19319 19334 19418
 0 452 4180 6281 7401 13527 13855 14524 16190 18133 18346 18428 18983 19370 19377
 43 5974 9711 10621 11296 13782 16955 17413 17514 17949 18441 18465 18800 19368 19380
 20 2462 6141 6157 7855 13754 17444 17900 18517 19099 19217 19392 19416 19419 19436
 44 3197 6827 8627 12967 13503 14327 15070 16306 17079 18212 18283 19000 19021 19318
 0 9 24 784 875 2519 3900 5797 13090 13395 18070 18095 18767 19024 19212
 27 1943 4688 5617 7512 7773 10220 13453 15976 15984 17284 17785 18950 19187 19422
 2095 17203 18559
 29 10616 15594
 14366 14924 15179
 5487 7882 14228
 1228 19301 19420
 2144 9744 10245
 47 12037 16969
 4990 8811 19259
 13271 13624 18766
 11793 15199 18405
 13618 15135 16272
 9174 15906 19070
 10882 15172 19435
 2925 5216 18611
 8983 16271 19303
 5729 11533 19203
 3507 5159 11003
 11001 13292 17253
 101 1300 14833
 8847 16410 19344
 38 3941 11470
 10236 12322 19338
 1260 12919 18542
 14 1600 18816
 7291 10840 19376
 13341 17748 18862
 2024 16189 16472

78/130

FIG. 78

15455 19239 19324
7128 12794 13415
2451 13218 15127
11 9927 15112
12 10965 18860
6608 9066 12275
41 18066 19438
9728 14238 15735
2681 18067 18373
5703 12695 17303
6313 10968 16782
11614 17966 19415
8655 11059 19328
5073 10392 17906
14548 18253 18669
19 14499 15650
2143 4832 19385
34 14211 19234
2 12953 17512
25 10861 17406
5130 5806 14134
39 7187 9438
10151 13443 14947
3133 17418 19306
10438 17365 18111
663 1871 9263
2263 10489 18872
1394 11495 14248
13142 14532 17626
4112 8384 17008
343 10678 16973
36 15014 18796
7493 9878 17251
4377 18986 19224
308 4759 14859
351 4223 15427
8202 9473 16372
34 11406 17412
288 17583 19377
11399 19314 19423
12751 16286 18472
8491 18395 19437
4963 17013 17320
8 8055 18734
16273 18187 18587
2518 11798 16676
53 10193 12952
12684 17095 19344
12177 17294 19409
2392 2779 11655
22 2710 13906
13632 18515 18736
7382 14797 19428

FIG. 79

179 2268 14006
3906 17265 18591
7319 19149 19416
4758 6806 13737
5870 16687 18049
951 17955 18610
18594 19185 19230
12 10368 14750
9075 15399 16142
52 18271 19415
11188 16933 18251
5 3895 18928
42 4376 16217
392 10065 12992
24 6280 7491
5120 6017 14213
13487 18094 18488
6894 8901 18670
4309 7212 11581
4843 7906 17221
2422 10835 18516
26 16787 19383

80/130

FIG. 80

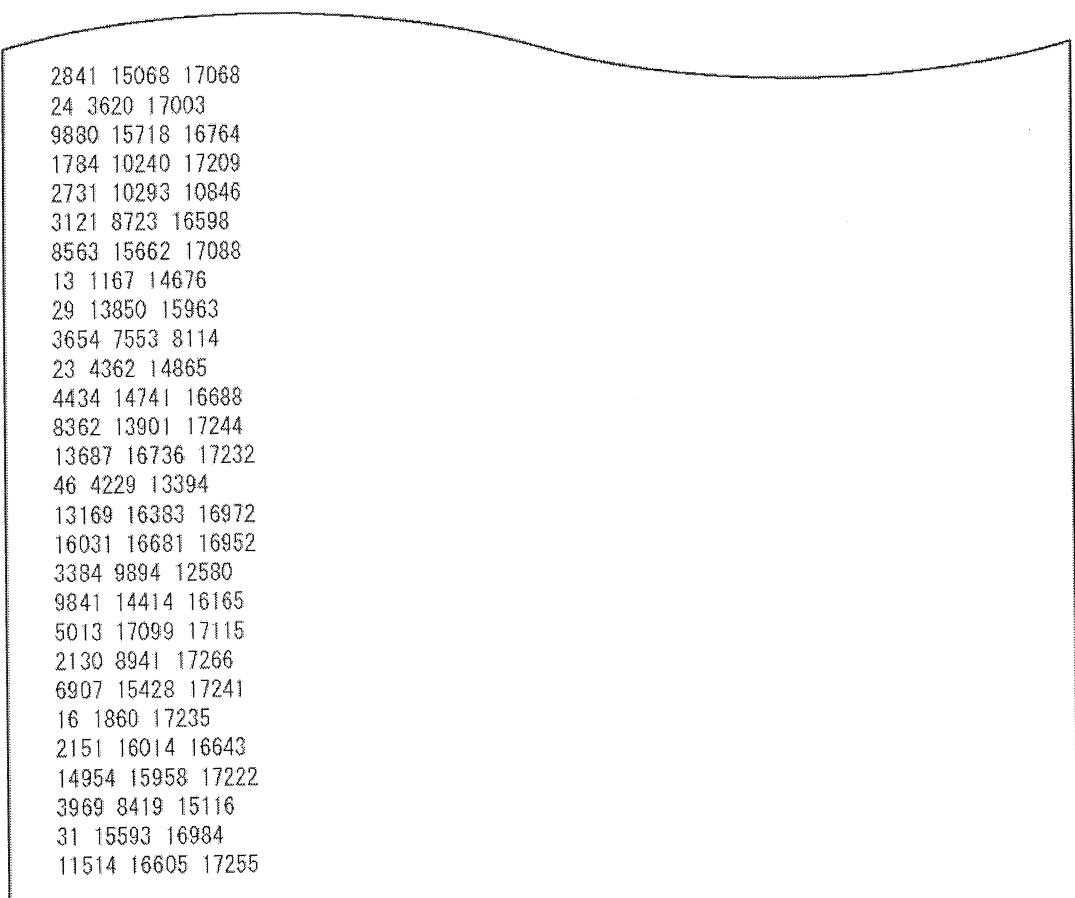
N=64800, tý lè =22/30

696	989	1238	3091	3116	3738	4269	6406	7033	8048	9157	10254	12033	16456	16912
444	1488	6541	8626	10735	12447	13111	13706	14135	15195	15947	16453	16916	17137	17268
401	460	992	1145	1576	1678	2238	2320	4280	6770	10027	12486	15363	16714	17157
1161	3108	3727	4508	5092	5348	5582	7727	11793	12515	12917	13362	14247	16717	17205
542	1190	6883	7911	8349	8835	10489	11631	14195	15009	15454	15482	16632	17040	17063
17	487	776	880	5077	6172	9771	11446	12798	16016	16109	16171	17087	17132	17226
1337	3275	3462	4229	9246	10180	10845	10866	12250	13633	14482	16024	16812	17186	17241
15	980	2305	3674	5971	8224	11499	11752	11770	12897	14082	14836	15311	16391	17209
0	3926	5869	8696	9351	9391	11371	14052	14172	14636	14974	16619	16961	17033	17237
3033	5317	6501	8579	10698	12168	12966	14019	15392	15806	15991	16493	16690	17062	17090
981	1205	4400	6410	11003	13319	13405	14695	15846	16297	16492	16563	16616	16862	16953
1725	4276	8869	9588	14062	14486	15474	15548	16300	16432	17042	17050	17060	17175	17273
1807	5921	9980	10011	14305	14490	14872	15852	16054	16061	16306	16799	16833	17136	17262
2826	4752	6017	6540	7016	8201	14245	14419	14716	15983	16569	16652	17171	17179	17247
1662	2516	3345	5229	8086	9686	11456	12210	14595	15808	16011	16421	16825	17112	17195
2890	4821	5987	7226	8823	9869	12468	14694	15352	15805	16075	16462	17102	17251	17263
3751	3890	4382	5720	10281	10411	11350	12721	13121	14127	14980	15202	15335	16735	17123
26	30	2805	5457	6630	7188	7477	7556	11065	16608	16859	16909	16943	17030	17103
40	4524	5043	5566	9645	10204	10282	11696	13080	14837	15607	16274	17034	17225	17266
904	3157	6284	7151	7984	11712	12887	13767	15547	16099	16753	16829	17044	17250	17259
7	311	4876	8334	9249	11267	14072	14550	15003	15235	15686	16331	17177	17238	17253
4410	8066	8596	9631	10369	11249	12610	15769	16791	16960	17018	17037	17062	17165	17204
24	8261	9691	10138	11607	12782	12786	13424	13933	15262	15795	16476	17084	17193	17220
88	11622	14705	15890											
304	2026	2638	6018											
1163	4268	11620	17232											
9701	11785	14463	17260											
4118	10952	12224	17006											
3647	10823	11521	12060											
1717	3753	9199	11642											
2187	14280	17220												
14787	16903	17061												
381	3534	4294												
3149	6947	8323												
12562	16724	16881												
7289	9997	15306												
5615	13152	17260												
5666	16926	17027												
4190	7798	16831												
4778	10629	17180												
10001	13884	15453												
6	2237	8203												
7831	15144	15160												
9186	17204	17243												
9435	17168	17237												
42	5701	17159												
7812	14259	15715												
39	4513	6658												
38	9368	11273												
1119	4785	17182												
5620	16521	16729												

81/130

FIG. 81

16 6685 17242
210 3452 12383
466 14462 16250
10548 12633 13962
1452 6005 16453
22 4120 13684
5195 11563 16522
5518 16705 17201
12233 14552 15471
6067 13440 17248
8660 8967 17061
8673 12176 15051
5959 15767 16541
3244 12109 12414
31 15913 16323
3270 15686 16653
24 7346 14675
12 1531 8740
6228 7565 16667
16936 17122 17162
4868 8451 13183
3714 4451 16919
11313 13801 17132
17070 17191 17242
1911 11201 17186
14 17190 17254
11760 16008 16832
14543 17033 17278
16129 16765 17155
6891 15561 17007
12741 14744 17116
8992 16661 17277
1861 11130 16742
4822 13331 16192
13281 14027 14989
38 14887 17141
10698 13452 15674
4 2539 16877
857 17170 17249
11449 11906 12867
285 14118 16831
15191 17214 17242
39 728 16915
2469 12969 15579
16644 17151 17164
2592 8280 10448
9236 12431 17173
9064 16892 17233
4526 16146 17038
31 2116 16083
15837 16951 17031
5362 8382 16618
6137 13199 17221

FIG. 82

2841 15068 17068
24 3620 17003
9880 15718 16764
1784 10240 17209
2731 10293 10846
3121 8723 16598
8563 15662 17088
13 1167 14676
29 13850 15963
3654 7553 8114
23 4362 14865
4434 14741 16688
8362 13901 17244
13687 16736 17232
46 4229 13394
13169 16383 16972
16031 16681 16952
3384 9894 12580
9841 14414 16165
5013 17099 17115
2130 8941 17266
6907 15428 17241
16 1860 17235
2151 16014 16643
14954 15958 17222
3969 8419 15116
31 15593 16984
11514 16605 17255

83/130

FIG. 83

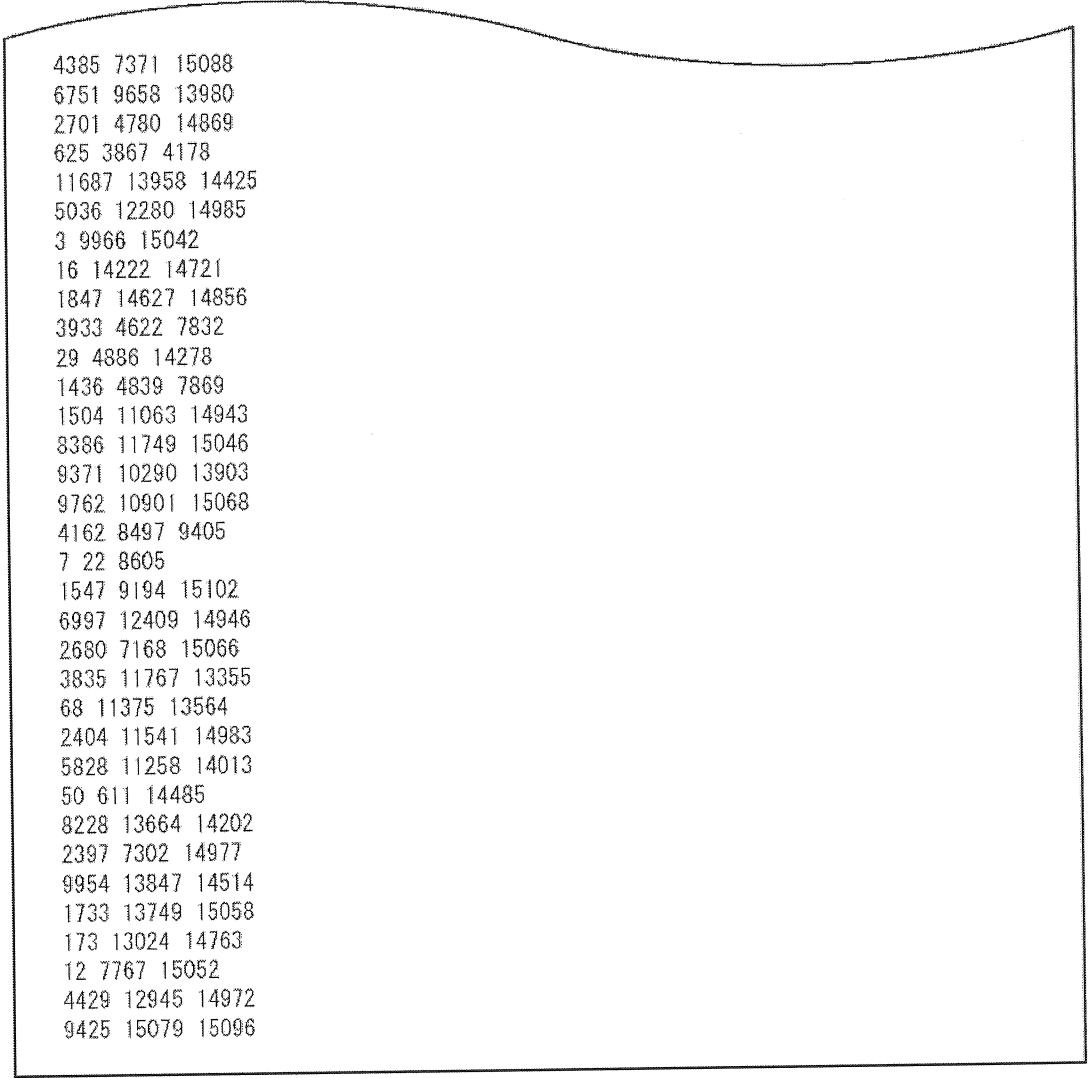
N=64800, tyle =23/30

310	1729	3466	4343	5079	5360	6486	7268	8660	8684	9687	10496	12682	13283	14142
10	35	3137	4489	4906	5614	6655	9072	10341	10512	11699	12547	12992	15098	15103
20	28	1671	4321	8051	8676	9003	10395	11047	11259	12221	13005	14041	14459	15078
82	329	2415	3798	8856	11071	11483	12210	12283	13592	14111	14118	14890	15043	15080
38	3425	4256	5892	6586	9088	10029	10168	10845	13170	13742	14143	14505	14648	14949
24	1462	5755	9371	9921	10303	11838	13574	13755	13982	14821	14848	14916	15082	15088
27	4818	7432	7508	8148	9725	10575	13009	13205	13469	14264	14707	14967	15029	15092
4118	6906	8252	10421	11578	12851	13114	13662	13815	14535	14795	14971	15007	15019	15094
34	5330	7799	9336	10563	11473	11624	13103	13490	13664	14286	14782	15013	15075	15089
30	1833	4359	7535	10347	10691	12403	13357	14063	14358	14554	14563	14611	14886	14894
2	11	2662	3363	5469	5674	8489	9870	11571	12625	14094	14602	14962	14972	15016
2666	3305	4681	8359	9701	9970	10838	11432	12869	13053	13873	14664	14703	14928	14998
3164	5920	5949	9228	10188	11757	12119	12878	13410	13951	14398	14652	14910	14967	15103
7840	8295	9875	11112	12316	12463	12771	13094	13197	13712	14085	14444	14707	14947	14987
1110	1223	3530	6281	10867	13008	14412	14528	14628	14753	14901	14938	15063	15087	15112
21	791	3863	5611	8101	10837	12988	13585	13731	14228	14435	14843	14910	15052	15082
40	1358	6434	9368	9892	10005	11561	11996	12506	13093	13167	14607	14674	14844	15030
803	1072	4593	6553	8291	8954	10035	11469	13719	14077	14173	14771	14812	14888	14992
6	5334	7322	7499	9560	10116	11560	11795	11874	11994	13936	14284	14376	14671	14863
41	5509	7768	9585	9698	10441	11621	12907	13092	13535	13832	14759	14887	14903	14972
4836	6794	8298	8883	10019	11625	12322	12563	13084	14192	14431	14526	14611	14883	15044
39	2210	7759	8572	8654	13258	13651	14070	14115	14279	14418	14566	14718	14811	15004
19	3975	4451	5642	6685	7975	8633	9640	9811	10753	10890	11243	11269	12598	14952
6363	6545	9439	9791	9818	13695	14229	14556	14711	14730	14744	14758	14844	14962	15032
6068	6472	6852	7431											
3260	8709	11880	14644											
8072	10635	12785	14902											
936	12069	14934	14957											
31	3503	7561	14443											
4377	13028	14483	14513											
397	6963	12232												
8743	10726	14721												
2800	3819	12560												
11057	13202	15084												
2256	4829	13796												
2759	3104	14683												
139	10014	12174												
3531	9304	14860												
3890	5170	13556												
10401	13606	14910												
4070	4564	7583												
13749	14399	15019												
2025	13882	15031												
10616	11730	14148												
2890	6342	12520												
2071	6431	14496												
8209	9125	13522												
6008	7161	12442												
14655	14792	15037												
9054	14297	15119												
5028	6219	12074												

84/130

FIG. 84

4932 6117 12187
12826 13557 14731
29 3332 10904
3244 5024 14841
1049 2209 13864
5834 7363 9300
8811 13949 15067
2676 14611 14917
4002 8661 14258
2371 3303 13028
3752 8981 15017
4942 10910 14170
3468 7594 8043
36 10685 12755
9662 11320 15033
9492 9545 15037
2896 12060 14451
702 9889 14014
645 2309 8254
4 10526 14294
24 6849 9207
4757 8294 14632
4831 14801 15043
10 6249 12881
4410 14983 15118
2286 7820 11208
7426 14880 14989
1509 10463 12060
1178 5443 8507
8631 9398 13789
6338 14601 15113
7697 10138 15054
3320 4956 8415
3367 13345 14874
13 2297 12215
610 10921 13983
7774 9106 13675
14 6002 6695
10257 13816 15090
12630 13922 14694
11114 14476 15105
32 9315 14962
5 3297 5106
3295 5972 10033
2417 14325 14447
2402 13380 13428
18 3172 14813
25 2268 9077
8145 8832 9014
2603 12606 12669
28 6315 14074
2569 3887 13526
2849 4358 15087

FIG. 85

4385 7371 15088
6751 9658 13980
2701 4780 14869
625 3867 4178
11687 13958 14425
5036 12280 14985
3 9966 15042
16 14222 14721
1847 14627 14856
3933 4622 7832
29 4886 14278
1436 4839 7869
1504 11063 14943
8386 11749 15046
9371 10290 13903
9762 10901 15068
4162 8497 9405
7 22 8605
1547 9194 15102
6997 12409 14946
2680 7168 15066
3835 11767 13355
68 11375 13564
2404 11541 14983
5828 11258 14013
50 611 14485
8228 13664 14202
2397 7302 14977
9954 13847 14514
1733 13749 15058
173 13024 14763
12 7767 15052
4429 12945 14972
9425 15079 15096

86/130

FIG. 86

N=64800, tyle =24/30

1504	2103	2621	2840	3869	4594	5246	6314	7327	7364	10425	11934	12898	12954
27	1903	3923	4513	7812	8098	8428	9789	10519	11345	12032	12157	12573	12930
17	191	660	2451	2475	2976	3398	3616	5769	6724	8641	10046	11552	12842
13	1366	4993	6468	7689	8563	9131	10012	10914	11574	11837	12203	12715	12946
432	872	2603	3286	3306	3385	4137	5563	7540	9330	9948	12315	12656	12929
1113	1394	4104	4186	7240	8827	11522	11833	12359	12363	12629	12821	12904	12946
14	441	1432	1677	2432	8981	11478	11507	12599	12783	12793	12912	12922	12943
1579	1806	7971	8586	9845	10357	11600	12007	12020	12339	12576	12817	12830	12904
20	546	3672	5538	6944	8052	8781	9743	12269	12393	12418	12549	12555	12718
1	3540	4397	5011	6626	8617	9587	10360	10602	11402	11983	12068	12495	12838
30	1572	4908	7421	8041	8910	8963	11005	11930	12240	12340	12467	12892	12933
33	2060	3907	4215	5545	8306	8655	8743	8806	9315	9364	10685	11954	12959
1338	2596	4876	5207	9555	10421	10929	11648	11739	12375	12416	12643	12742	12754
9469	10544	10932	11250	11426	11582	11846	12139	12202	12210	12356	12378	12873	12929
2681	3337	3616	6113	7078	8167	8624	9697	10908	11781	11855	12095	12475	12659
28	4086	5432	6555	6848	7368	8794	11483	11572	12414	12816	12894	12936	12957
5	5044	5572	9023	9192	9589	9979	10009	10855	10991	11715	12314	12610	12945
17	272	602	5681	6530	9572	9886	11061	11495	12238	12265	12483	12885	12955
22	2245	4282	4469	5007	6650	6733	10151	10401	11571	12004	12261	12805	12844
23	3270	4468	8621	9662	11240	11934	12091	12444	12691	12717	12858	12888	12917
740	1519	4923	6191	7878	8350	9293	10779	11020	11287	11630	12792	12862	12920
12	28	3584	6072	7079	8075	10477	11130	11383	11780	12341	12667	12818	12927
14	118	5283	5382	8301	9097	9413	9664	10437	10701	11124	12685	12730	12734
32	1426	3078	4325	5353	7780	9042	9928	10077	10377	10679	11191	11750	12611
1	669	3831	3980	5381	5412	6552	8453	9435	10243	11546	11821	11987	12807
232	483	919	1232	2156	2396	2990	3774	8539	8704	8819	10810	11868	12634
2381	7309	9334											
348	6494	12623											
4872	6257	11090											
7	11970	11985											
6615	12788	12855											
1173	5269	12647											
1944	7738	8116											
17	4828	9175											
2329	6034	12642											
1254	2366	5013											
2984	5078	5664											
7423	10265	11528											
1656	8526	8716											
22	287	2837											
18	100	3079											
299	3171	12169											
33	5920	11144											
1286	3650	9309											
2283	8809	12588											
3199	8242	9081											
2507	6846	8113											
5211	8722	12689											
1064	2592	8659											
6136	6925	12958											
1256	12789	12932											

FIG. 87

4274 8045 8788
1824 3209 6926
11 8899 12669
6249 6338 8730
641 9679 12831
3459 9876 11185
3226 6148 8173
9078 12126 12771
10907 11278 12731
3392 4020 12838
2814 11588 12909
6063 9214 11519
6064 6827 12683
1610 2452 6582
903 6289 8074
4592 8138 12952
2587 6271 9945
2733 11844 11893
581 4601 10020
14 5597 6049
343 3582 5931
5263 6521 12846
1394 2457 5251
11 4627 12747
2650 10366 12390
6285 11893 12062
10143 12892 12956
8448 11917 12330
4209 11693 12356
1529 2360 9086
5389 8148 10224
64 4876 12862
9483 12659 12887
3587 6767 12478
3122 5245 9044
3267 10118 11466
1347 3857 6705
9384 9576 11971
1366 8708 10758
412 4249 12863
1676 10488 11850
17 1605 2455
14 111 6045
11368 12919 12953
10588 11530 12937
4549 5143 12218
3088 4185 11674
23 2554 7823
6615 9291 9863
2229 3629 10855
3818 5509 12764
2740 11525 12914
8297 8611 12948

FIG. 88

3606 11104 12920
5097 10412 12759
6502 7266 12072
5425 5490 10728
22 73 8462
32 12439 12657
8483 9540 10430
7275 7377 7420
5748 9726 12356
5672 6150 9156
28 3527 5857
520 7090 11335
405 6173 12865
5847 12043 12934
4289 7679 10386
2950 8021 12938
8844 11214 12955
2130 10760 12665
734 4790 12940
8 6991 12772
19 8205 11289
12 1440 9077
8670 8837 12951
3531 9166 12937
15 8901 8929
838 10114 11740
2648 9959 10934
323 7499 12877
5505 5659 11395
6627 12709 12933
364 1976 12888
8213 9124 12793
9588 10088 11108
299 890 11634
7368 7598 11602
28 4669 12585
15 27 12474
1426 3614 4205
30 2087 11147
6226 6259 12941

FIG. 89

N=64800, tý 16 =25/30

1860	2354	3967	4292	4488	5243	5373	5766	8378	9111	10468	10505	10774
24	2266	2380	3282	4255	4779	8729	9140	9566	10102	10661	10711	10797
605	650	1108	1669	2251	3133	5847	6197	6902	7545	10521	10600	10773
1016	1428	1612	2335	3102	3810	4926	5953	9964	10246	10569	10734	10784
3195	6308	8029	9030	9397	9461	9833	10239	10499	10675	10736	10757	10773
2	27	3641	4566	7332	9318	9323	9916	10365	10438	10561	10581	10750
2405	2458	4820	6232	6254	6347	7139	7474	8623	8779	8798	10747	10794
3164	4736	6474	7162	7420	7517	7835	8238	8412	8489	9006	10113	10440
20	2372	5561	5649	6907	8393	8505	9181	9567	9595	10388	10483	10714
1071	2899	5135	5780	6616	7111	7773	8582	9015	9912	10139	10387	10768
292	2833	5480	6011	6136	6713	7517	9096	10128	10328	10407	10525	10736
1044	3711	4421	5140	5207	8118	8749	8884	9205	10359	10372	10746	10784
3241	5696	6440	7240	7419	8613	8878	9593	9959	9997	10401	10404	10754
3133	4647	5912	6065	6694	7208	7346	8227	9465	9739	10452	10516	10770
2254	6444	7449	8095	8120	8710	9030	9162	9643	9968	10101	10571	10678
918	1445	2217	4262	4623	5401	5749	7446	7907	9539	10125	10514	10726
6	1341	1788	3105	4359	5263	5470	7552	8249	8644	10609	10674	10733
1994	3000	3151	3173	7742	8335	8438	8741	9232	9296	9817	10023	10257
467	1674	3016	3950	4055	5399	6688	7113	7273	8658	8702	9642	10545
2007	2541	3125	7380	7550	8122	8501	8665	9882	10403	10519	10594	10696
334	587	709	1540	2023	2876	6216	8768	9328	9481	10424	10507	10770
2165	4185	4306	5019	6961	7386	8447	9082	9837	10091	10461	10559	10670
7	903	2948	6312	6654	7738	7980	8312	9104	9743	10070	10278	10406
3047	3154	4160	4378	5461	8711	8809	9040	9173	9252	9537	9995	10735
2018	2355	3828	3854	6201	6696	8313	8459	8550	8833	9586	10202	10224
1402	1908	4286	4660	6029	6115	6737	7538	9495	9517	10055	10509	10644
3442	3589	3868	5051	5322	5580	8725	9046	9170	10041	10613	10681	10689
2733	7826	10622										
3597	4753	7086										
1394	7297	10264										
2848	7502	10304										
1649	2405	10783										
647	2911	9069										
2572	4006	7508										
1361	8887	10103										
3681	4023	9090										
1496	4962	6325										
2016	5120	9747										
3954	5260	8568										
3364	8719	10035										
4208	4806	9973										
29	3361	3490										
1835	2317	10436										
7312	8177	9041										
7728	8097	10761										
2109	7902	9685										
5424	8943	9436										
4369	7643	9152										
2240	10140	10528										
3435	6124	10604										
8962	9357	10040										

90/130

FIG. 90

26 1931 8629
8275 10455 10643
8 24 4952
3995 6456 10633
28 10300 10337
4894 9286 9429
5587 6721 9120
1859 9198 9762
6374 6453 7011
1319 4530 5442
1507 10711 10798
2115 3445 3641
6668 9139 10163
4038 8117 10295
1479 3403 8247
2522 2934 3562
1526 5073 9650
2136 9820 10636
4214 8464 9891
8018 10330 10610
8984 10209 10647
3414 7272 8599
4883 9077 9525
22 8173 8425
2941 6536 10126
29 6540 7361
5 3787 10468
4264 4818 6906
3903 7041 10412
6078 7661 10619
6922 9723 9890
5112 5416 6253
5925 9961 10447
9 10311 10598
8790 8814 10793
4768 5466 10664
10 10675 10766
6814 8705 10737
17 769 6692
1503 10696 10742
1285 4632 8976
4279 4973 7907
4650 4775 10785
28 729 10331
1914 5240 10723
3569 4921 9561
4 9442 10796
494 2328 9507
1717 8768 10750
9540 10599 10774
11 10075 10644
10246 10607 10753
5510 7088 9053

FIG. 91

1347 3584 5523
7872 10596 10736
628 10592 10695
5632 5688 10627
2375 10009 10561
4169 4630 8871
2896 10038 10521
89 9695 9799
20 7563 9069
4534 10321 10697
8212 9868 10716
7485 9312 10327
234 536 6293
5515 7350 9251
283 3182 7167
2444 5378 6130
6183 8315 10726
43 4871 8347
2427 10219 10728
10 21 9448
1067 8312 8420
4793 9522 10105
4688 10536 10724
3825 7496 10709
682 8544 10449
2794 7110 10741
9279 10741 10767
2897 5442 8771
33 7957 10460
5 10393 10792
6225 10224 10798
23 9014 10786
7836 8339 8642
3476 5455 9788
1939 10251 10384
4008 7890 10450
926 2090 3804
1038 2497 10701
22 6220 8405
5153 5944 10367
7260 7726 9529
3039 8397 10665
7262 9644 10083
5531 6248 10795
7926 8248 8413
4649 8971 10182

92/130

FIG. 92

N=64800, ty lè =26/30

142	2307	2598	2650	4028	4434	5781	5881	6016	6323	6681	6698	8125
2932	4928	5248	5256	5983	6773	6828	7789	8426	8494	8534	8539	8583
899	3295	3833	5399	6820	7400	7753	7890	8109	8451	8529	8564	8602
21	3060	4720	5429	5636	5927	6966	8110	8170	8247	8355	8365	8616
20	1745	2838	3799	4380	4418	4646	5059	7343	8161	8302	8456	8631
9	6274	6725	6792	7195	7333	8027	8186	8209	8273	8442	8548	8632
494	1365	2405	3799	5188	5291	7644	7926	8139	8458	8504	8594	8625
192	574	1179	4387	4695	5089	5831	7613	7789	8298	8301	8612	8632
11	20	1406	6111	6176	6256	6708	6834	7828	8232	8457	8495	8602
6	2654	3554	4483	4966	5866	6795	8069	8249	8301	8497	8509	8623
21	1144	2355	3124	6773	6805	6887	7742	7994	8358	8374	8580	8611
335	4473	4883	5528	6096	7543	7586	7921	8197	8319	8394	8489	8636
2919	4331	4419	4735	6366	6393	6844	7193	8165	8205	8544	8586	8617
12	19	742	930	3009	4330	6213	6224	7292	7430	7792	7922	8137
710	1439	1588	2434	3516	5239	6248	6827	8230	8448	8515	8581	8619
200	1075	1868	5581	7349	7642	7698	8037	8201	8210	8320	8391	8526
3	2501	4252	5256	5292	5567	6136	6321	6430	6486	7571	8521	8636
3062	4599	5885	6529	6616	7314	7319	7567	8024	8153	8302	8372	8598
105	381	1574	4351	5452	5603	5943	7467	7788	7933	8362	8513	8587
787	1857	3386	3659	6550	7131	7965	8015	8040	8312	8484	8525	8537
15	1118	4226	5197	5575	5761	6762	7038	8260	8338	8444	8512	8588
36	5216	5368	5616	6029	6591	8038	8067	8299	8351	8565	8578	8585
1	23	4300	4530	5426	5532	5817	6967	7124	7979	8022	8270	8437
629	2133	4828	5475	5875	5890	7194	8042	8345	8385	8518	8598	8612
11	1065	3782	4237	4993	7104	7863	7904	8104	8228	8321	8383	8565
2131	2274	3168	3215	3220	5597	6347	7812	8238	8354	8527	8557	8614
5600	6591	7491	7696									
1766	8281	8626										
1725	2280	5120										
1650	3445	7652										
4312	6911	8626										
15	1013	5892										
2263	2546	2970										
1545	5873	7406										
67	726	3697										
2860	6443	8542										
17	911	2820										
1561	4580	6052										
79	5269	7134										
22	2410	2424										
3501	5642	8627										
808	6950	8571										
4099	6389	7482										
4023	5000	7833										
5476	5765	7917										
1008	3194	7207										
20	495	5411										
1703	8388	8635										
6	4385	4921										
200	2053	8206										
1089	5126	5562										

FIG. 93

10 4193 7720
1967 2151 4608
22 738 3513
3385 5066 8152
440 1118 8537
3429 6058 7716
5213 7519 8382
5564 8365 8620
43 3219 8603
4 5409 5815
5 6376 7654
4091 5724 5953
5348 6754 8613
1634 6398 6632
72 2058 8605
3497 5811 7579
3846 6743 8559
15 5933 8629
2133 5859 7068
4151 4617 8566
2960 8270 8410
2059 3617 8210
544 1441 6895
4043 7482 8592
294 2180 8524
3058 8227 8373
364 5756 8617
5383 8555 8619
1704 2480 4181
7338 7929 7990
2615 3905 7981
4298 4548 8296
8262 8319 8630
892 1893 8028
5694 7237 8595
1487 5012 5810
4335 8593 8624
3509 4531 5273
10 22 830
4161 5208 6280
275 7063 8634
4 2725 3113
2279 7403 8174
1637 3328 3930
2810 4939 5624
3 1234 7687
2799 7740 8616
22 7701 8636
4302 7857 7993
7477 7794 8592
9 6111 8591
5 8606 8628
347 3497 4033

FIG. 94

1747 2613 8636
1827 5600 7042
580 1822 6842
232 7134 7783
4629 5000 7231
951 2806 4947
571 3474 8577
2437 2496 7945
23 5873 8162
12 1168 7686
8315 8540 8596
1766 2506 4733
929 1516 3338
21 1216 6555
782 1452 8617
8 6083 6087
667 3240 4583
4030 4661 5790
559 7122 8553
3202 4388 4909
2533 3673 8594
1991 3954 6206
6835 7900 7980
189 5722 8573
2680 4928 4998
243 2579 7735
4281 8132 8566
7656 7671 8609
1116 2291 4166
21 388 8021
6 1123 8369
311 4918 8511
0 3248 6290
13 6762 7172
4209 5632 7563
49 127 8074
581 1735 4075
0 2235 5470
2178 5820 6179
16 3575 6054
1095 4564 6458
9 1581 5953
2537 6469 8552
14 3874 4844
0 3269 3551
2114 7372 7926
1875 2388 4057
3232 4042 6663
9 401 583
13 4100 6584
2299 4190 4410
21 3670 4979

FIG. 95

N=64800, tý lè =27/30

658	706	898	1149	2577	2622	2772	3266	3329	5243	6079	6271
289	784	1682	3584	3995	4821	4856	5063	5974	6168	6437	6453
658	1426	2043	2065	2986	4118	4284	5394	5444	5477	5727	6018
641	928	1225	2841	4052	4840	4992	5268	5533	6249	6461	6475
2312	2917	3713	3849	4059	4241	4610	5440	5727	6101	6397	6444
1165	1592	1891	2154	3981	4817	5181	5748	5788	6012	6266	6350
13	2758	3069	4233	4697	5100	5279	5677	5919	5969	6280	6422
818	1500	2125	2340	3774	4707	4901	5170	5744	6008	6316	6353
857	3054	3409	3496	3704	4868	5326	6211	6292	6356	6367	6381
0	7	12	1709	2166	3418	3723	4887	5770	6043	6069	6431
2481	3379	4650	4900	4919	5060	5410	5425	6056	6173	6283	6386
15	814	854	1871	2934	3387	3915	5180	5303	5442	5581	5665
146	1882	3076	4458	4848	5252	5602	5778	5821	6213	6251	6401
2	947	1419	1566	3437	3646	4615	4634	4735	5819	5943	6280
1231	2309	2920	4158	4185	4298	4711	5082	5757	5762	6204	6209
257	297	337	2783	3230	4134	4480	4749	5295	5689	5921	6202
1436	2151	2629	3217	3930	4078	5386	5799	5906	6146	6226	6366
133	530	2448	4745	5000	5020	5224	5273	6211	6266	6431	6453
13	2644	3895	3898	4485	4722	5142	5462	5951	6031	6084	6351
6	3000	3873	3995	4680	5158	5504	5692	5755	6255	6338	6359
166	465	1658	2549	2941	4244	5071	5149	5452	5874	5939	6038
2309	2937	4282	4628	5113	5454	5731	5825	6021	6171	6402	6472
3	1077	2116	2426	2830	4853	5066	5571	5850	5916	6389	6421
817	1608	2229	2925	3281	4303	5042	5058	5377	5464	5588	6448
1848	3871	4381	4776	5366	5578	5648	6143	6389	6434	6465	6473
1263	1616	3150	3497	3759	4078	5530	5665	5694	5913	6397	6420
11	813	2185	2795	3349	4652	4678	5078	5504	6011	6286	6387
3060	3161	4584	4996	5143	5542	5697	5937	6141	6155	6342	6445
1638	2333	2632	3450	3505	3911	4399	4454	5499	5860	6044	6360
650	1744	4517									
5772	6071	6471									
3582	3622	5776									
6153	6380	6446									
3977	5932	6447									
2071	4597	4891									
11	1428	3776									
1111	3874	5048									
1410	2144	4445									
4681	5481	6462									
4044	5037	5497									
2716	2891	6411									
3299	4384	6224									
1843	6087	6400									
4664	5009	5856									
1548	4383	5055									
3172	4190	6373									
5899	6443	6470									
2572	3647	6240									
1295	2158	6466									
5604	6269	6368									
3	5551	6454									

FIG. 96

3325 5797 6261
666 1397 5538
3069 4274 6410
4042 5992 6437
743 3075 3447
1344 2725 6386
283 2808 6303
2 4627 4632
26 1565 4000
4012 4946 6472
1629 6158 6467
6300 6351 6376
2969 4344 4440
2317 3115 4832
2099 5263 6285
2409 5868 5997
3752 4200 6350
3125 5841 6142
1 2249 6328
16 2525 6379
3198 5269 5960
4 1705 2069
990 4948 5520
1664 3836 4521
1765 4110 6454
9 1373 6387
1969 2405 6368
623 1428 3946
3111 6380 6436
1861 5611 5934
9 2444 3081
5 5508 6317
3184 4988 5995
1060 4803 6400
5021 5826 6289
1608 4754 5648
4702 6391 6421
3899 4811 6128
927 2286 5313
4123 6181 6453
2893 4150 5261
605 4332 5094
17 3518 6358
2858 6126 6478
15 1316 6465
2 2032 2983
5249 6340 6427
5 6003 6200
4478 6315 6420
5158 6390 6447
2598 3229 5399
3747 6424 6446
1412 2453 6332

97/130

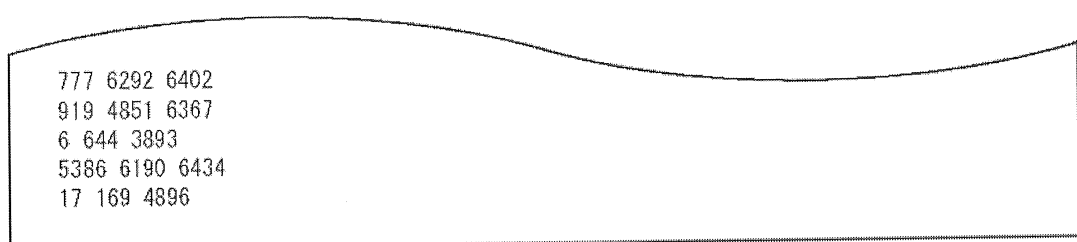
FIG. 97

5256 5715 6455
2137 3421 4368
15 3880 5245
17 3156 5638
3227 3798 6230
2094 3129 6458
1412 5573 5932
175 1182 6304
3555 6407 6463
583 1654 6339
14 6261 6449
3553 5383 5679
2092 2744 4153
0 4466 6472
11 3840 4354
17 5457 6222
1467 6083 6220
3449 3858 6337
3782 5318 6426
417 5038 5790
3571 5638 5873
6117 6241 6476
1898 5680 6219
3235 3817 6429
2095 4194 6224
2 4092 6448
5 6330 6383
285 5075 6334
10 505 2867
1183 5956 6466
839 4716 6471
984 3254 6432
1501 4790 6465
8 1457 1707
1660 1969 6438
4349 6182 6305
1423 3848 5490
1651 2969 6345
344 4164 6298
2397 6027 6274
2233 2778 6161
13 1778 2977
9 1916 3377
0 3 6190
395 4893 6394
3512 4098 6400
3490 6281 6473
12 1359 6465
4202 5179 6412
3007 3542 4271
2400 3350 6351
7 5490 5716
4695 5231 6266

29432

98/130

FIG. 98



99/130

FIG. 99

N=64800, tyle =28/30 —

85 314 1602 1728 1929 2295 2729 2924 3779 4054 4276
 918 1378 1838 1903 2399 2524 2937 3615 3740 4140 4213
 1361 1430 2639 2648 2910 3418 3511 3543 4177 4209 4248
 472 1143 1318 1545 1830 2228 2249 2256 3626 3839 3991
 226 1401 2154 2318 2851 3317 3468 3944 3983 4047 4093
 490 1145 1247 1851 2671 2776 3152 3229 3345 3758 3786
 522 1393 1473 2196 2707 3052 3398 3814 3827 4148 4301
 417 1982 2176 2336 2459 2806 3005 3771 3870 4080 4243
 112 1040 1596 1621 1685 2118 2571 3359 3945 4034 4171
 646 1705 2181 2439 2808 2851 2987 3044 3494 4049 4312
 6 11 115 245 663 1773 2624 3444 3601 3952 4246
 11 541 1020 1326 2259 2347 2750 2861 3328 3428 4126
 515 941 1233 1804 2295 2528 3265 3826 4002 4022 4224
 46 484 679 1949 2342 2929 3555 3860 3918 4068 4113
 1832 2023 2279 2376 2965 3278 3318 3549 3640 3843 3910
 241 943 1222 1583 1637 2745 3338 4080 4086 4203 4300
 11 1419 1841 2398 2920 3409 3703 3768 3878 4052 4254
 878 2049 2123 2431 2657 2704 3135 3342 3728 4141 4162
 16 837 1267 1410 2100 3026 3099 3107 4042 4129 4157
 133 646 1367 1394 2118 2311 2676 2956 3195 3536 3657
 698 1444 2129 2432 2494 2793 2947 3852 3985 4254 4319
 11 1076 1618 1995 2332 2743 2934 3009 3565 4169 4188
 14 20 808 2629 2681 3090 3491 3835 4017 4068 4083
 433 1386 2416 2570 2950 3611 3869 3969 4248 4251 4316
 384 1292 1534 2610 2617 3559 3638 3964 4131 4293 4313
 271 564 1719 2288 2597 2674 3429 3455 3793 4074 4286
 133 190 815 955 1485 2000 2860 3000 3734 4013 4287
 559 771 1762 2537 2764 2816 3186 3806 3933 4224 4271
 11 733 1198 1735 1856 2668 2754 3216 4070 4113 4311
 4 806 1832 2047 2058 2724 3387 3793 3833 4005 4319
 506 1456 2339 3069 3343 3442 3889 3939 4013 4212 4278
 2038 3980 4313
 64 2373 4000
 800 1535 4166
 1030 3759 4002
 1687 3269 4225
 1219 2632 3878
 719 2916 4277
 1261 1930 3459
 777 1568 1914
 4 397 3290
 10 3451 4115
 3629 3885 4155
 2652 3668 4026
 135 3172 4319
 1426 1970 3657
 199 1268 2064
 570 845 2761
 41 1067 3498
 1588 2482 2750
 1615 2013 2715

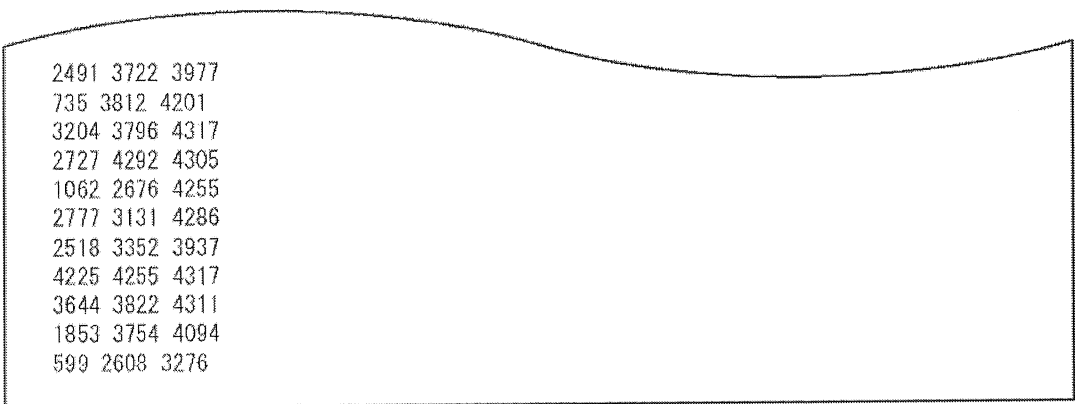
100/130

FIG. 100

121 1812 2588
10 992 1082
1929 4225 4279
6 1967 3760
593 1812 4107
891 2146 4158
924 2262 3585
592 2971 4235
260 3493 4313
2423 3180 3449
2042 3118 3625
2877 3064 3882
7 2139 4316
4 7 2954
1398 3947 4272
3675 4253 4318
1561 1977 2432
2531 4192 4209
1032 1102 4268
75 1718 3438
925 1073 4171
2124 2762 4148
4 3455 4069
3 1279 3382
1277 1746 3969
2727 3127 4230
584 1108 3454
9 2057 3061
1608 4103 4310
2673 3164 3713
1379 4072 4318
950 3447 4146
2509 4255 4296
819 1352 3371
3562 3865 4041
940 1217 3607
114 2544 4310
4 2178 4213
2035 4246 4251
272 1236 2733
953 2762 4115
1853 3496 4309
1119 3740 4318
2051 4058 4317
0 3162 4207
2389 4034 4111
4 3395 4301
3716 4089 4198
6 4272 4311
1 4 1854
4238 4299 4305
7 10 3737
11 3764 4296

FIG. 101

297 1912 4117
1087 1796 4056
2153 3882 4030
962 4043 4203
243 3841 4308
2183 3886 4216
943 1974 2897
278 3224 3933
3 4196 4245
3409 4301 4315
2 2176 3214
462 3203 4008
478 2178 4202
3593 3825 4216
115 2796 4225
3827 4196 4251
1375 4301 4306
296 407 2055
688 3913 4281
3446 3840 4314
1073 3444 4146
1556 2761 3391
2 3543 4264
1378 3347 4305
847 1952 2745
1 1743 4042
2087 3048 4254
1010 4073 4132
2610 4129 4152
4106 4120 4313
7 4282 4304
3885 4227 4319
1235 4105 4195
1700 2332 4224
9 3750 4282
1539 4013 4310
3734 3834 4011
1397 2758 3645
7 1000 2984
11 3433 4068
1139 1800 3352
8 546 2561
1 4209 4239
2366 4063 4282
279 2524 2533
657 1913 4006
2322 2623 2960
758 803 2304
9 13 4241
3887 4299 4318
2612 3830 4230
1300 1596 2155
3622 3671 4230

FIG. 102

2491 3722 3977
735 3812 4201
3204 3796 4317
2727 4292 4305
1062 2676 4255
2777 3131 4286
2518 3352 3937
4225 4255 4317
3644 3822 4311
1853 3754 4094
599 2608 3276

103/130

FIG. 103

N=64800, týlē =29/30

212 499 911 940 1392
316 563 1527 2006 2077
2 1906 2043 2112 2123
537 901 1582 1812 1955
5 978 1280 1933 2145
5 2035 2044 2108 2121
5 939 1874 1974
4 1069 1758
694 2096 2106
1129 1511 1659
1564 2089 2159
2 1605 2004
474 1341 2003
103 2128 2150
1656 1993 2153
1881 2122 2138
1088 1968 2141
1 298 2073
1042 1724 2137
1253 1758 2145
1209 1566 2123
1466 2116 2155
43 2006 2049
592 1806 1865
3 143 2149
1158 1448 2002
1422 2152 2157
485 2119 2150
371 1831 2086
204 2042 2151
174 544 974
1469 1795 1995
13 708 1683
5 1144 2030
486 1309 1576
165 2030 2147
504 2073 2126
263 565 1798
239 861 1861
862 1610 1716
1346 1971 2128
5 804 1399
2139 2144 2155
4 2136 2159
1485 2059 2158
50 1091 1332
373 1730 2092
59 1086 1401
1166 1781 2065

104/130

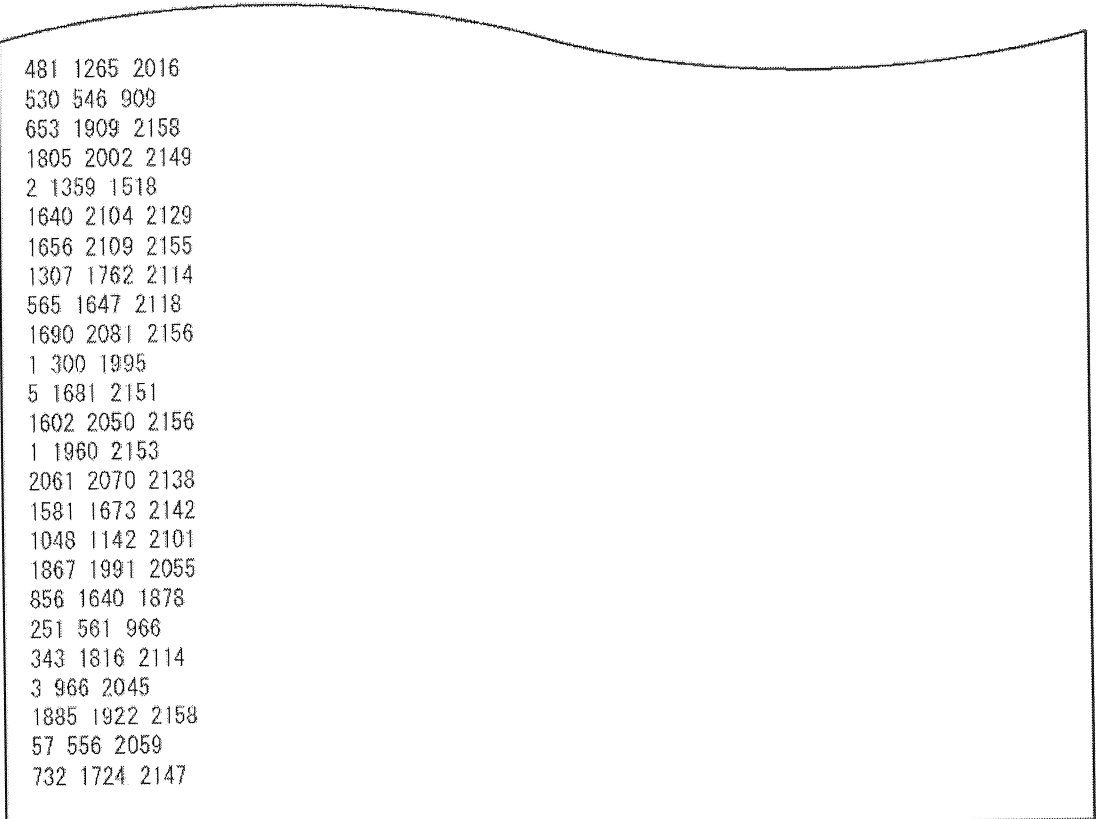
FIG. 104

213 2080 2154
492 1905 2110
1 1517 2126
722 1427 2146
885 991 1842
3 278 1806
967 1354 1907
1697 2047 2156
684 1924 2151
2077 2122 2157
978 2054 2135
435 2034 2150
136 1997 2125
1504 1850 2153
1404 1989 2119
109 1001 2152
780 1473 2150
198 1723 2062
927 2087 2138
1 666 2018
1293 1960 2141
1648 2033 2144
681 1578 1999
1342 2022 2157
949 1907 1994
138 1261 2135
3 608 982
1211 1501 2150
201 228 1186
1295 2089 2132
267 556 2142
801 2052 2122
1382 2135 2155
572 1503 1704
346 1183 2129
1926 2090 2149
1337 2133 2140
5 1806 2125
1383 1628 2068
1193 1626 2138
1999 2115 2146
217 274 2021
3 816 2024
1380 2138 2157
607 1385 2110
184 1195 2063
0 1767 2108
0 2081 2097
1135 2036 2128
1748 2001 2125

105/130

FIG. 105

797 1552 1926
1046 1890 2128
291 1859 2131
1075 1214 1762
60 549 1943
581 1197 1232
1009 2026 2136
884 2002 2117
1 576 1449
519 1968 2114
5 1489 1630
1926 2037 2158
2 1249 2159
0 811 2114
2055 2152 2159
802 1911 2120
204 1033 2033
1840 2012 2037
1746 2111 2155
1098 1835 2157
2 1492 1831
353 1537 1830
375 1264 2036
2 1638 2035
1096 1971 2021
950 1809 1884
253 467 1600
5 379 1833
4 1698 1970
37 1637 2136
1174 1460 2157
612 1827 2134
1783 1802 1949
2029 2118 2151
1984 2030 2141
2 347 462
862 1693 2121
2 895 1401
4 1901 2100
1183 1674 2069
1575 1940 2158
5 1904 2097
1044 2029 2092
1441 1943 2150
0 3 1300
2 516 1735
503 1342 2019
1421 1914 2131
28 986 1467
1270 1851 1988

FIG. 106

481 1265 2016
530 546 909
653 1909 2158
1805 2002 2149
2 1359 1518
1640 2104 2129
1656 2109 2155
1307 1762 2114
565 1647 2118
1690 2081 2156
1 300 1995
5 1681 2151
1602 2050 2156
1 1960 2153
2061 2070 2138
1581 1673 2142
1048 1142 2101
1867 1991 2055
856 1640 1878
251 561 966
343 1816 2114
3 966 2045
1885 1922 2158
57 556 2059
732 1724 2147

107/130

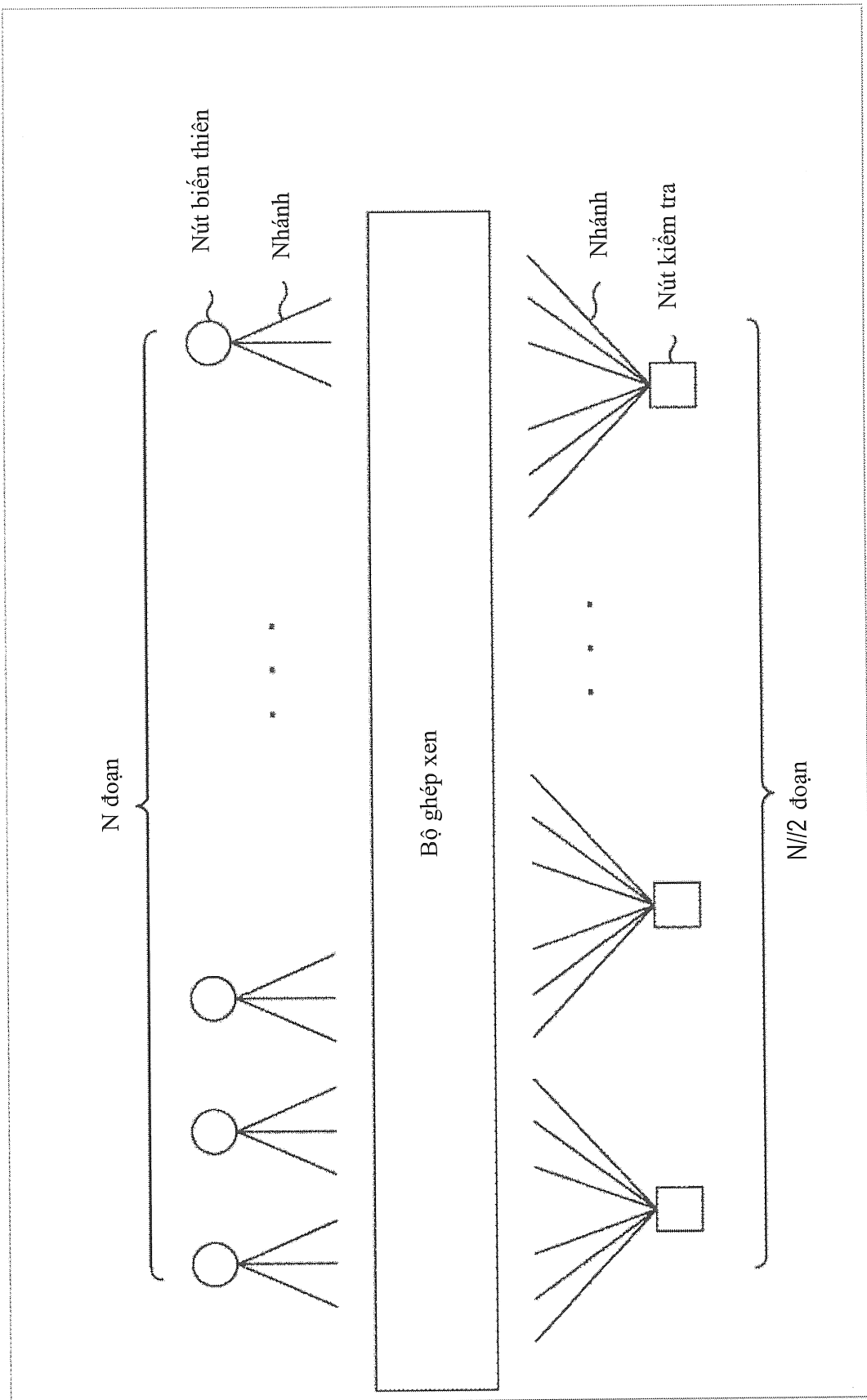
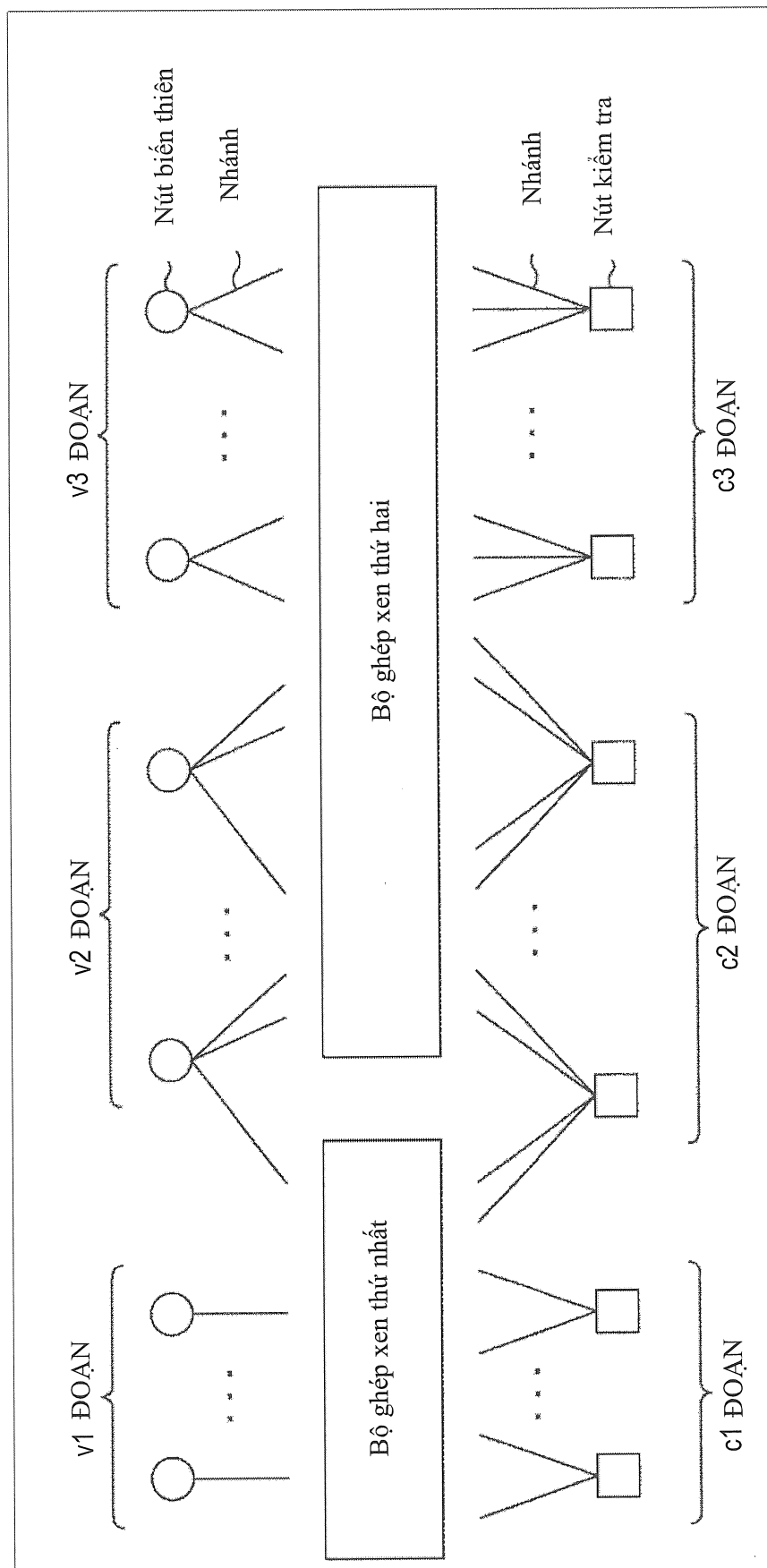
FIG. 107

FIG. 108



109/130

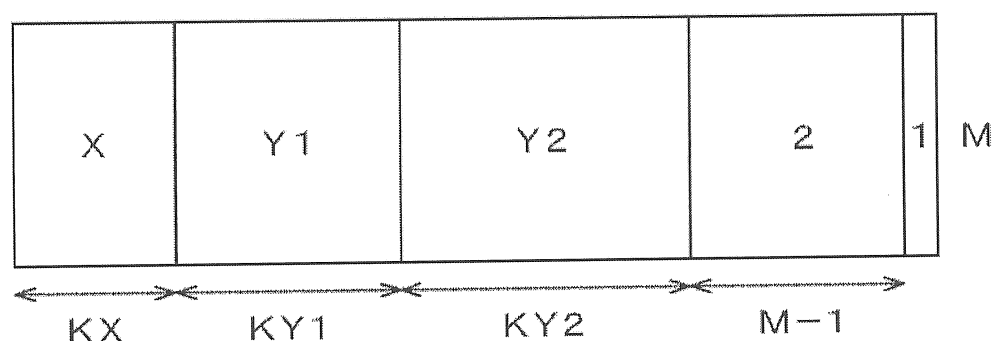
FIG. 109

Tỷ lệ	Nguồn hiệu năng (Es/N0)	Độ dài vòng tối thiểu
2/30	-9, 523519	14
3/30	-7, 758979	14
4/30	-6, 428797	6
5/30	-5, 490092	10
6/30	-4, 589849	10
7/30	-3, 760281	12
8/30	-3, 191565	8
9/30	-2, 550214	10
10/30	-1, 878597	8
11/30	-1, 378961	8
12/30	-0, 947792	6
13/30	-0, 494134	6
14/30	-0, 045119	8
15/30	0, 428446	8
16/30	0, 829080	8
17/30	1, 248503	8
18/30	1, 658523	8
19/30	2, 078240	8
20/30	2, 489205	6
21/30	2, 918982	6
22/30	3, 351930	6
23/30	3, 788323	6
24/30	4, 252169	6
25/30	4, 761537	6
26/30	5, 301749	6
27/30	5, 921125	6
28/30	6, 675945	6
29/30	7, 881048	6

29432

110/130

FIG. 110

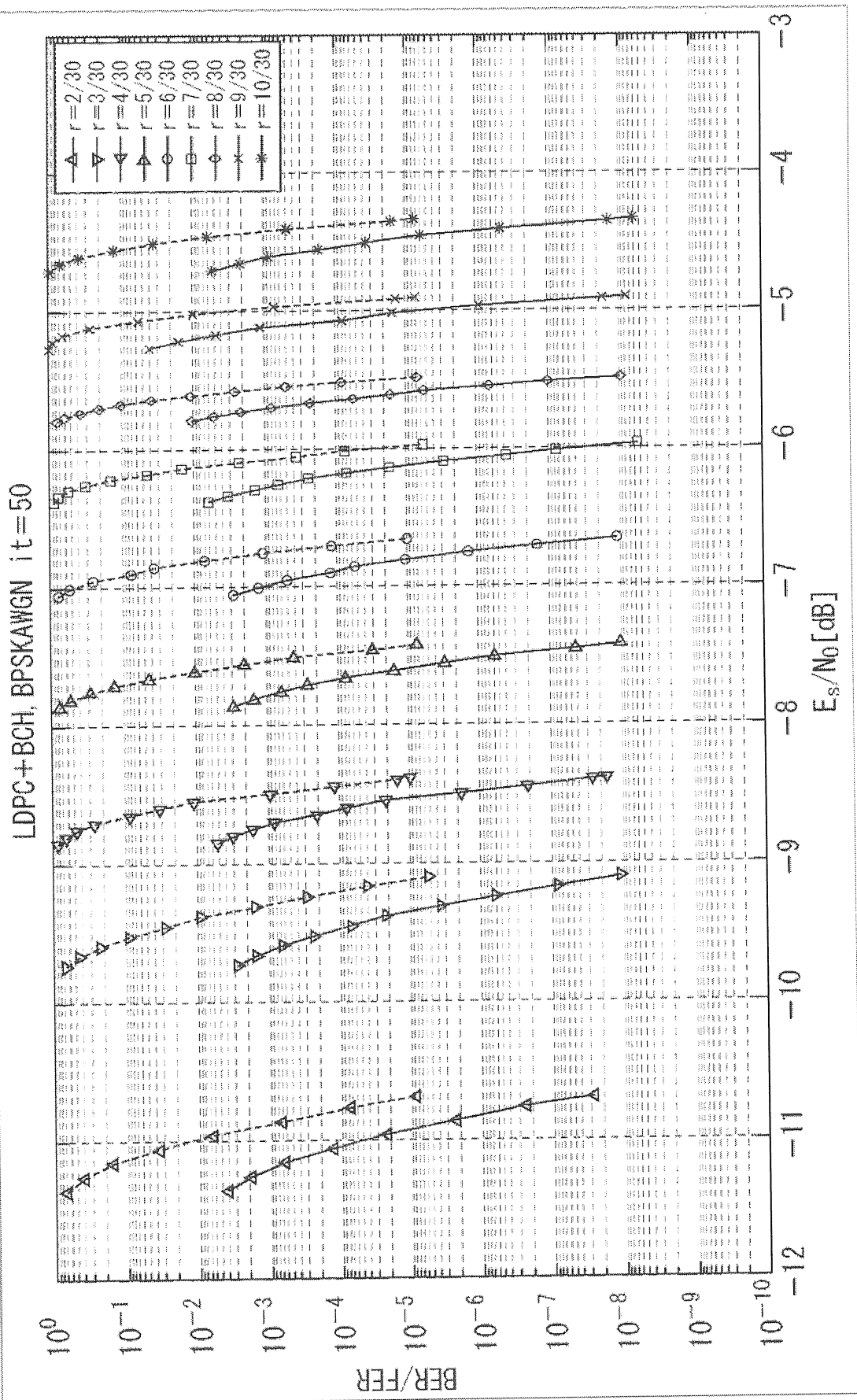


111/130

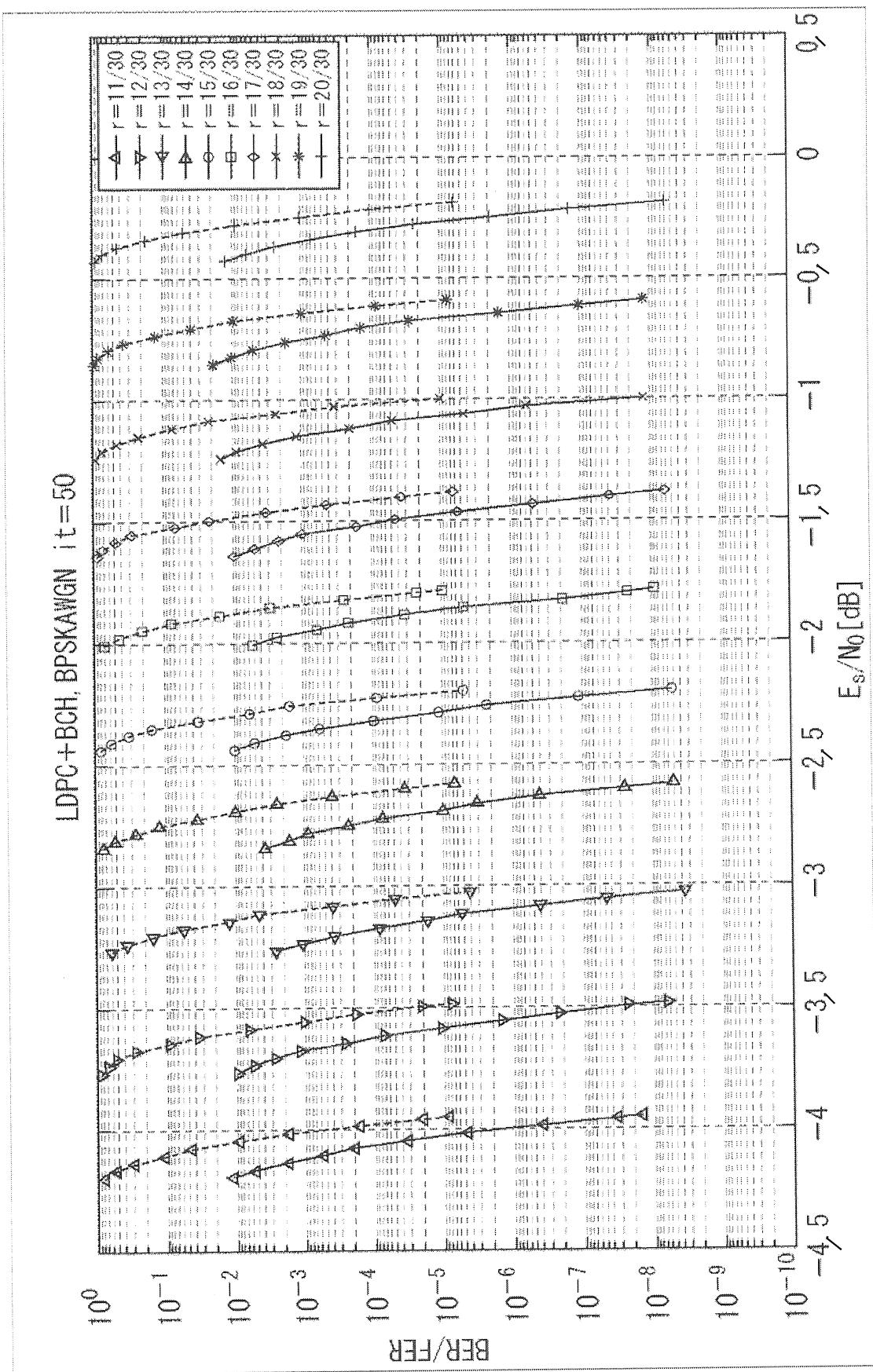
FIG. 111

Tỷ lệ	X	KX	Y1	KY1	Y2	KY2	M
2/30	34	1440	4	2880	3	0	60480
3/30	20	2160	4	2160	3	2160	58320
4/30	35	2520	4	6120	3	0	56160
5/30	23	3600	4	3600	3	3600	54000
6/30	17	4680	4	1440	3	6840	51840
7/30	13	5760	4	0	3	9360	49680
8/30	19	5400	4	4680	3	7200	47520
9/30	15	6840	4	360	3	12240	45360
10/30	22	5760	4	0	3	15840	43200
11/30	34	3600	4	20160	3	0	41040
12/30	30	4320	4	12600	3	9000	38880
13/30	25	5400	4	6840	3	15840	36720
14/30	21	6840	4	0	3	23400	34560
15/30	23	5400	4	12240	3	14760	32400
16/30	19	6480	4	5400	3	22680	30240
17/30	18	7560	4	1080	3	28080	28080
18/30	19	6840	4	6840	3	25200	25920
19/30	17	7920	4	1800	3	31320	23760
20/30	16	8280	4	720	3	34200	21600
21/30	15	8640	4	0	3	36720	19440
22/30	15	8280	4	2520	3	36720	17280
23/30	15	8640	4	2160	3	38880	15120
24/30	14	9360	4	0	3	42480	12960
25/30	13	9720	4	0	3	44280	10800
26/30	13	9360	4	360	3	46440	8640
27/30	12	10440	4	0	3	47880	6480
28/30	11	11160	4	0	3	49320	4320
29/30	5	2160	4	360	3	60120	2160

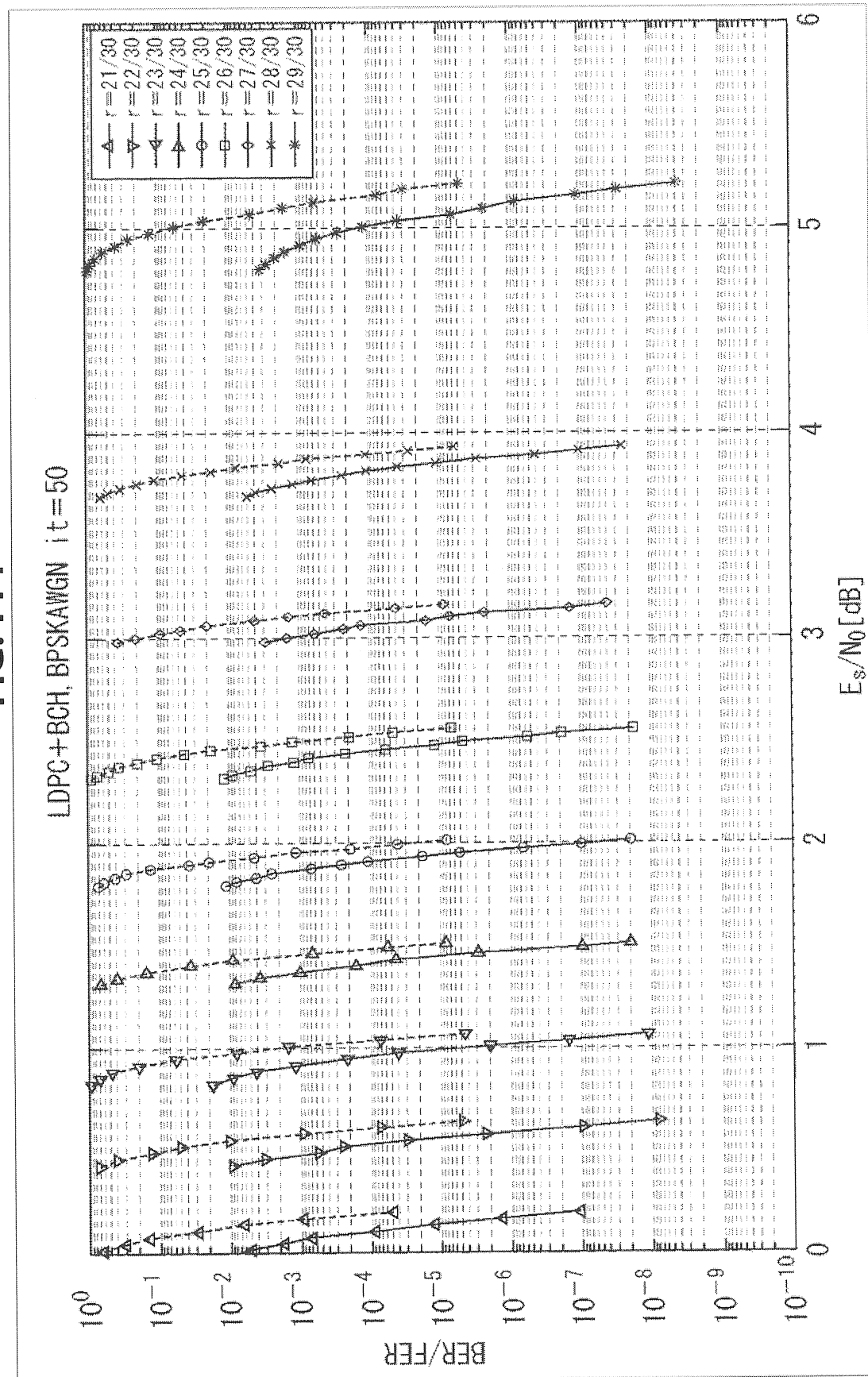
112/130
FIG. 112



113/130
FIG. 113



114/130
FIG. 114



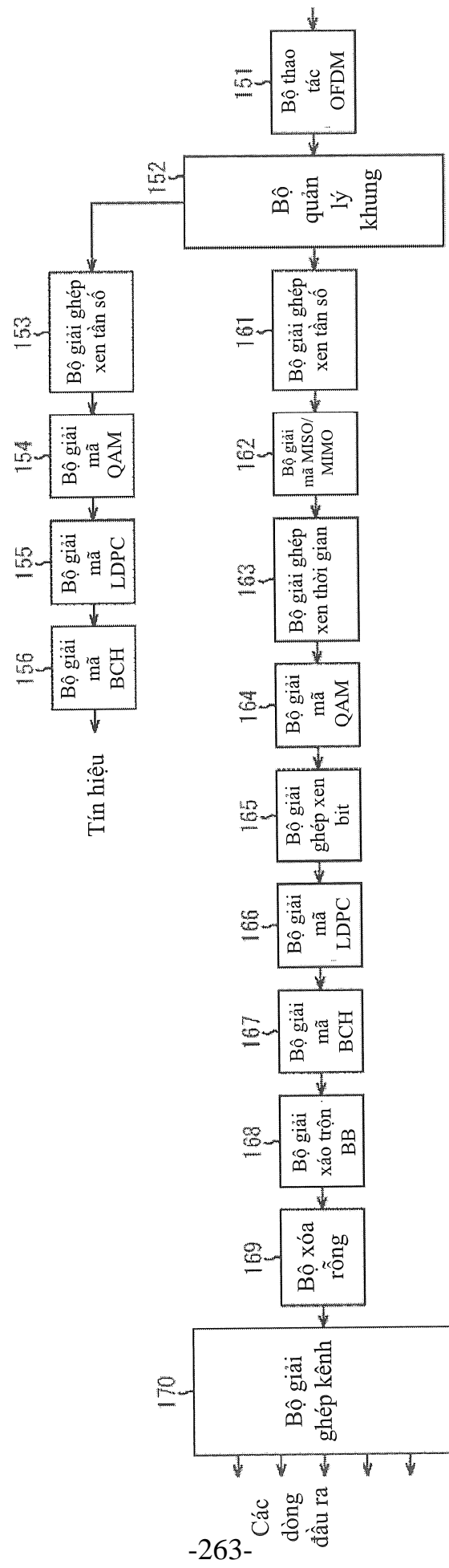
115/130

FIG. 115

Mã LDPC	Khối không được mã hóa BCH K_{bch}	Khối được mã hóa BCH Khối không được mã hóa LDPC $\frac{K_{bch}}{K_{ldpc}}$	sửa t-lỗi BCH	Khối được mã hóa LDPC N_{ldpc}
1/4	16 008	16 200	12	64 800
1/3	21 408	21 600	12	64 800
2/5	25 728	25 920	12	64 800
1/2	32 208	32 400	12	64 800
3/5	38 688	38 880	12	64 800
2/3	43 040	43 200	10	64 800
3/4	48 408	48 600	12	64 800
4/5	51 648	51 840	12	64 800
5/6	53 840	54 000	10	64 800
8/9	57 472	57 600	8	64 800
9/10	58 192	58 320	8	64 800

Tỷ lệ mã LDPC	Số bit thông tin mã BCH	Số bit mã BCH (Số bit thông tin mã LDPC)	Số bit sửa BCH	Số bit mã LDPC
2/30	4128	4320	12	64800
3/30	6288	6480	12	64800
4/30	8448	8640	12	64800
5/30	10608	10800	12	64800
6/30	12768	12960	12	64800
7/30	14928	15120	12	64800
8/30	17088	17280	12	64800
9/30	19248	19440	12	64800
10/30	21408	21600	12	64800
11/30	23568	23760	12	64800
12/30	25728	25920	12	64800
13/30	27888	28080	12	64800
14/30	30048	30240	12	64800
15/30	32208	32400	12	64800
16/30	34368	34560	12	64800
17/30	36528	36720	12	64800
18/30	38688	38880	12	64800
19/30	40848	41040	12	64800
20/30	43040	43200	10	64800
21/30	45168	45360	12	64800
22/30	47328	47520	12	64800
23/30	49488	49680	12	64800
24/30	51648	51840	12	64800
25/30	53840	54000	10	64800
26/30	56032	56160	8	64800
27/30	58192	58320	8	64800
28/30	60352	60480	8	64800
29/30	62512	62640	8	64800

116/130

FIG. 116

117/130

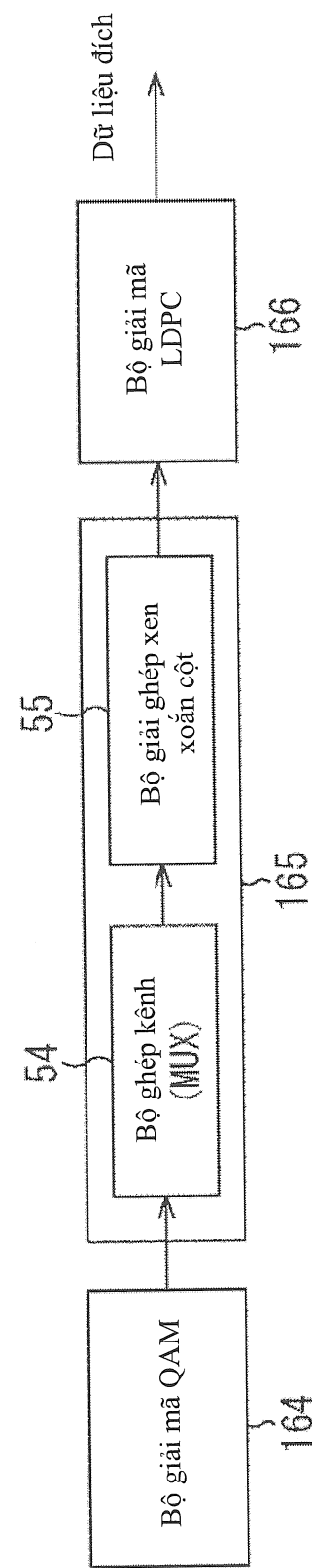
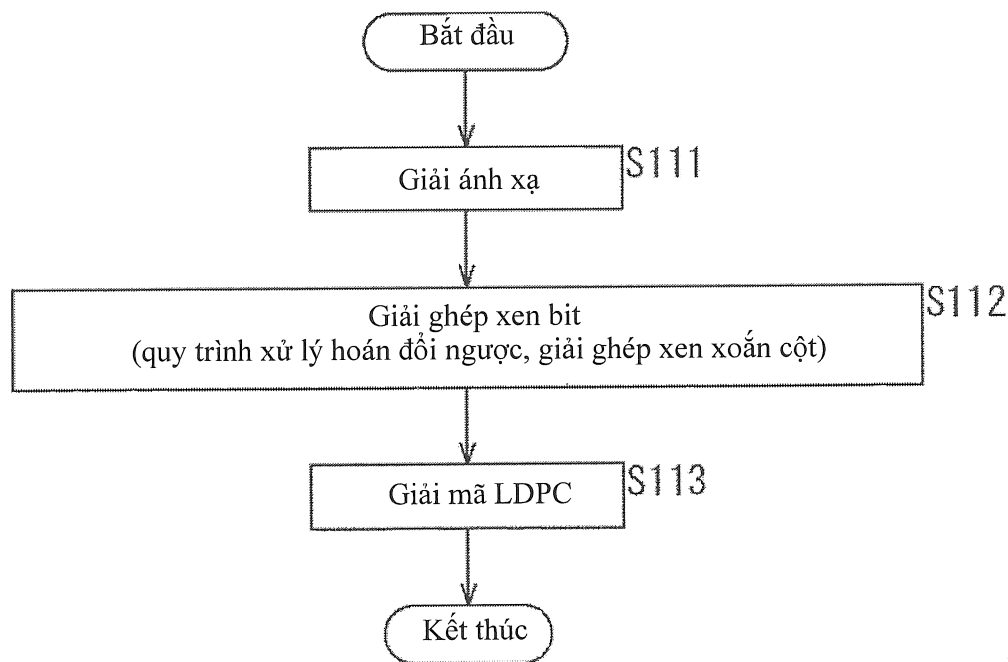
FIG. 117

FIG. 118

119/130

FIG. 119

120/130

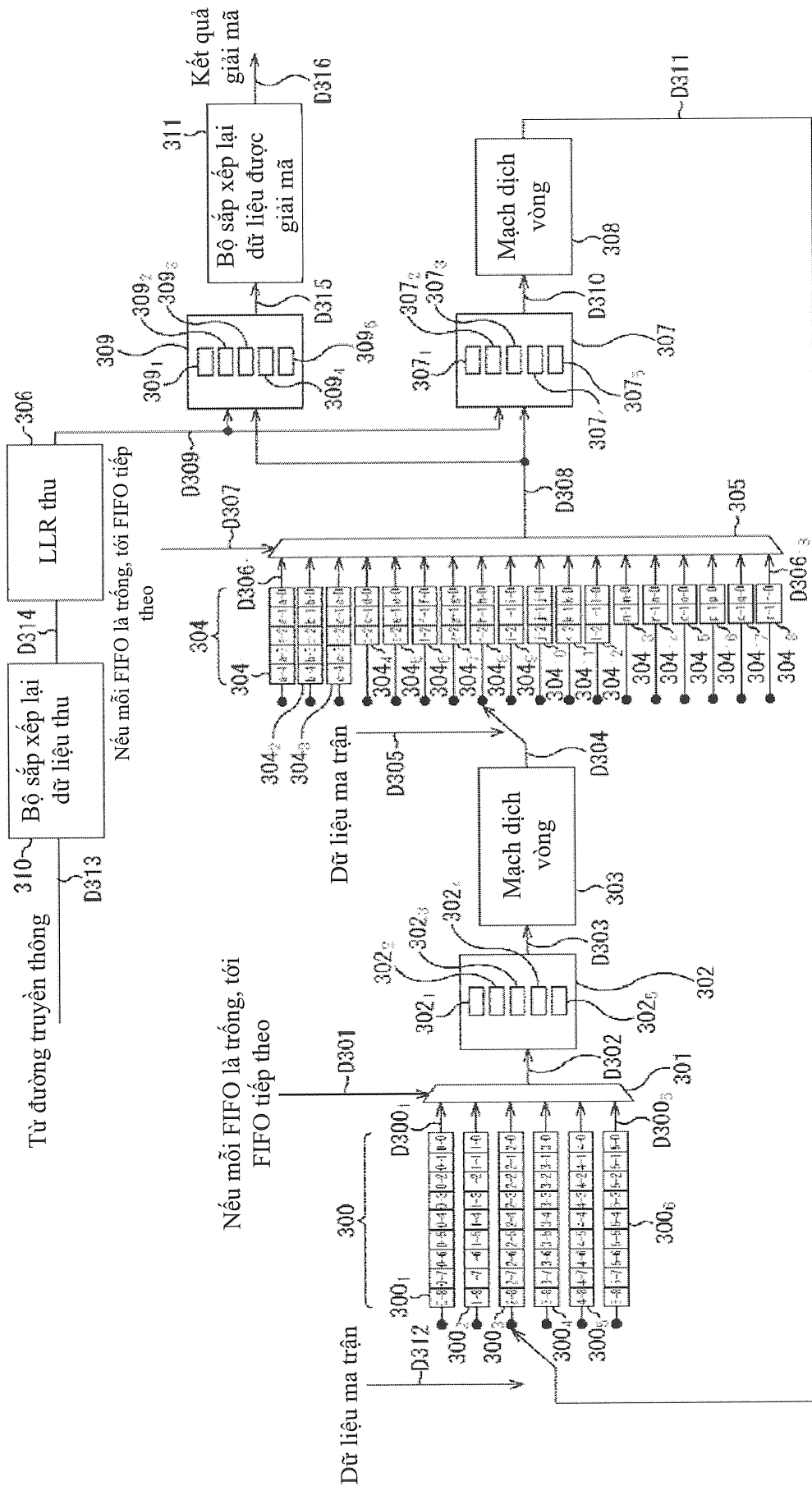
FIG. 120

121/130

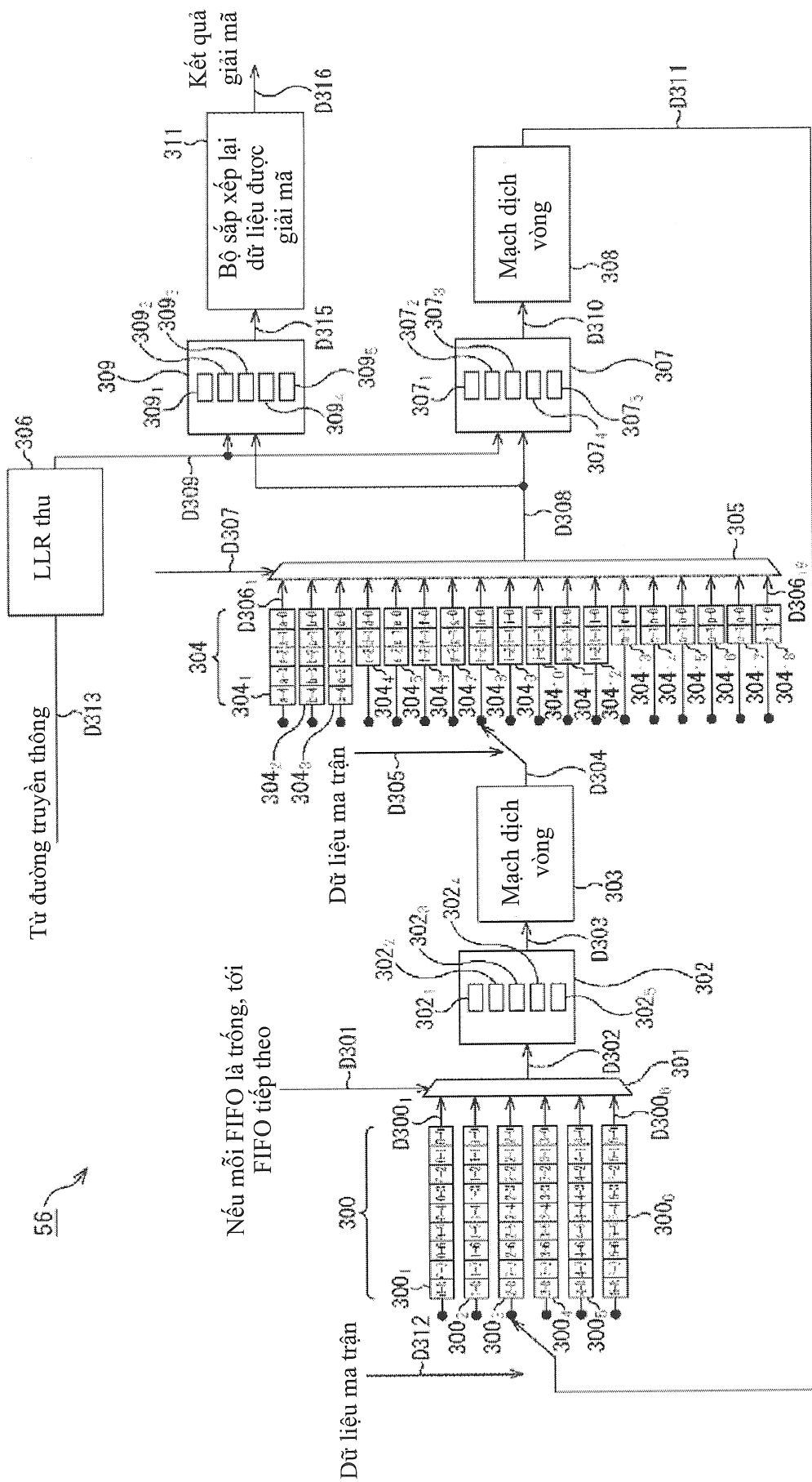
FIG. 121

122/130

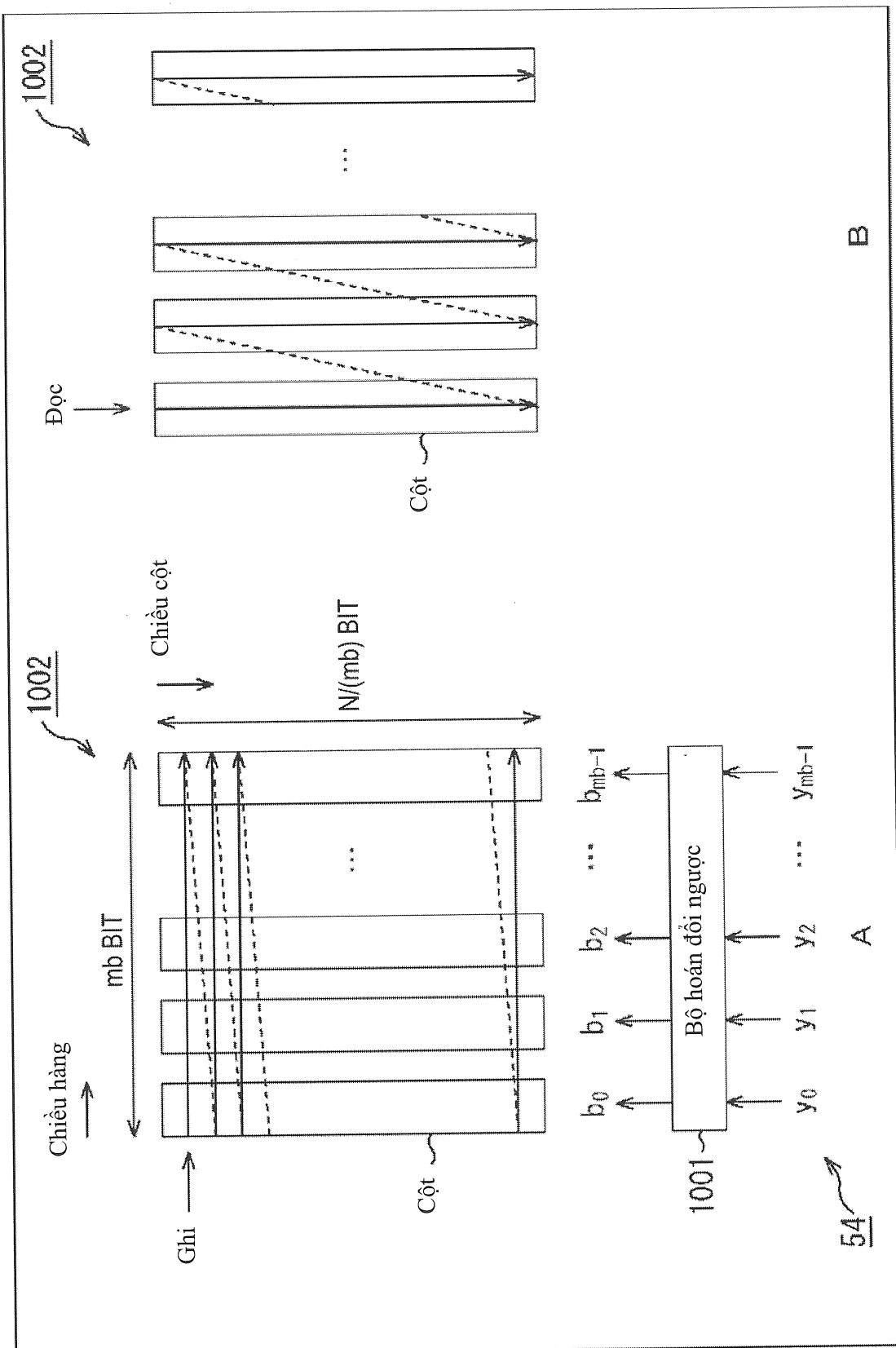
FIG. 122



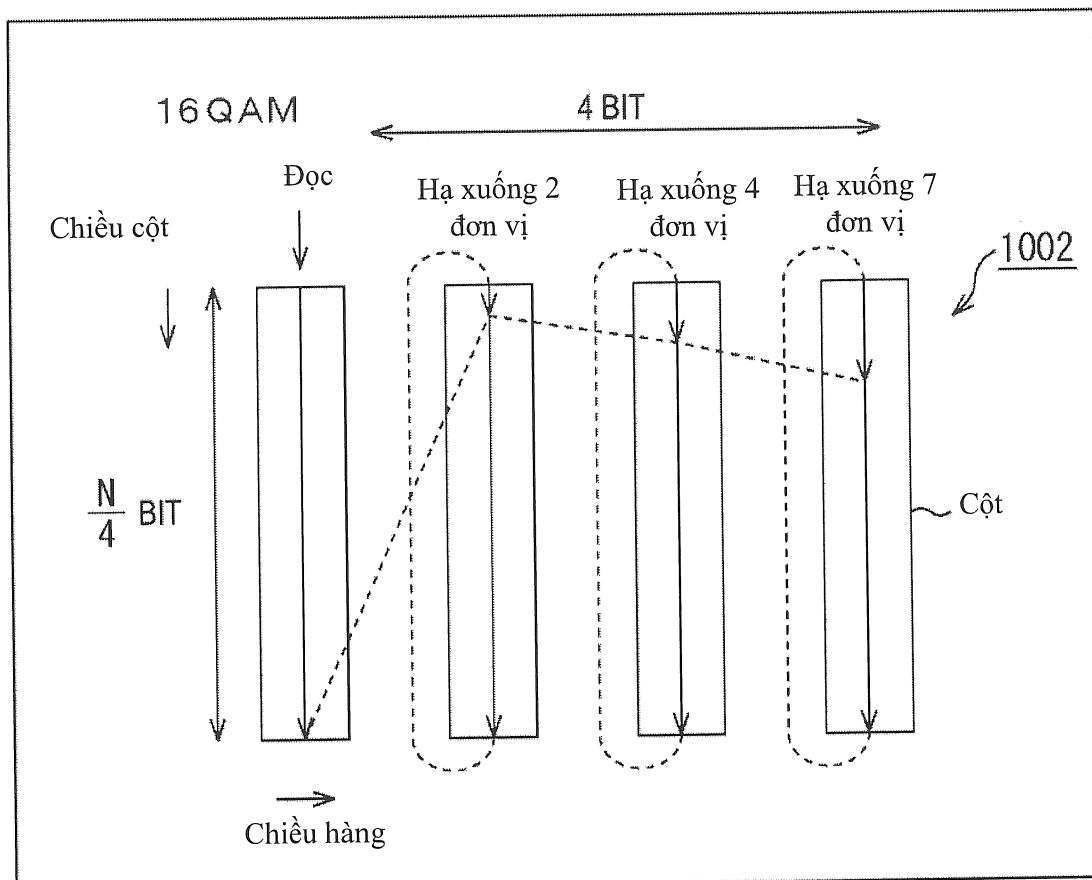
123/130

FIG. 123

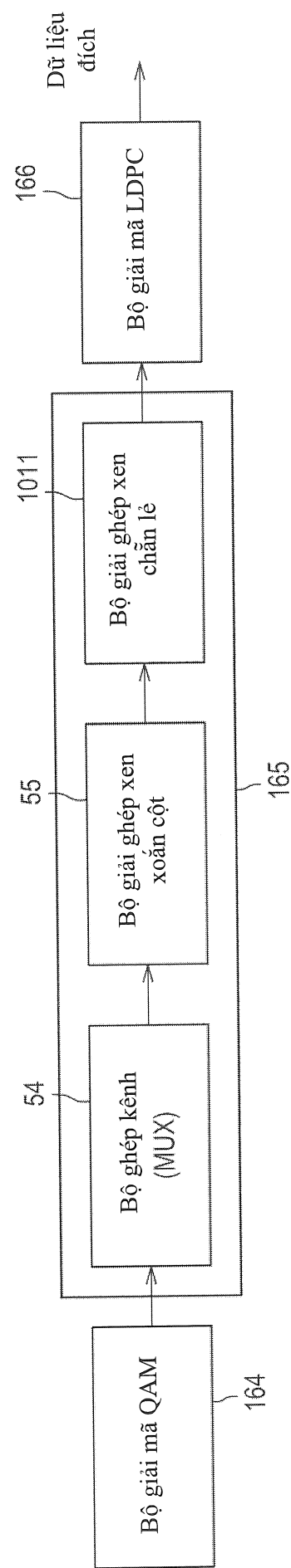
124/130

FIG. 124

125/130

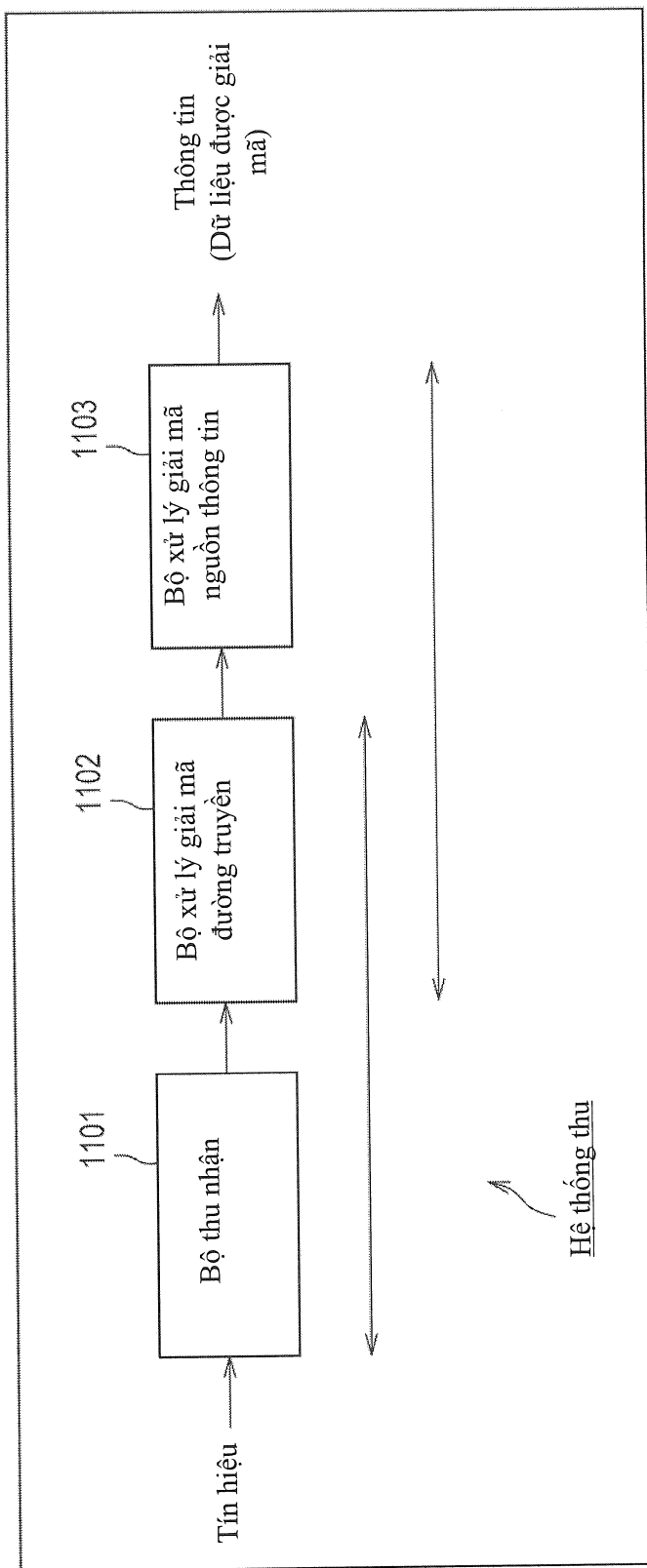
FIG. 125

126/130

FIG. 126

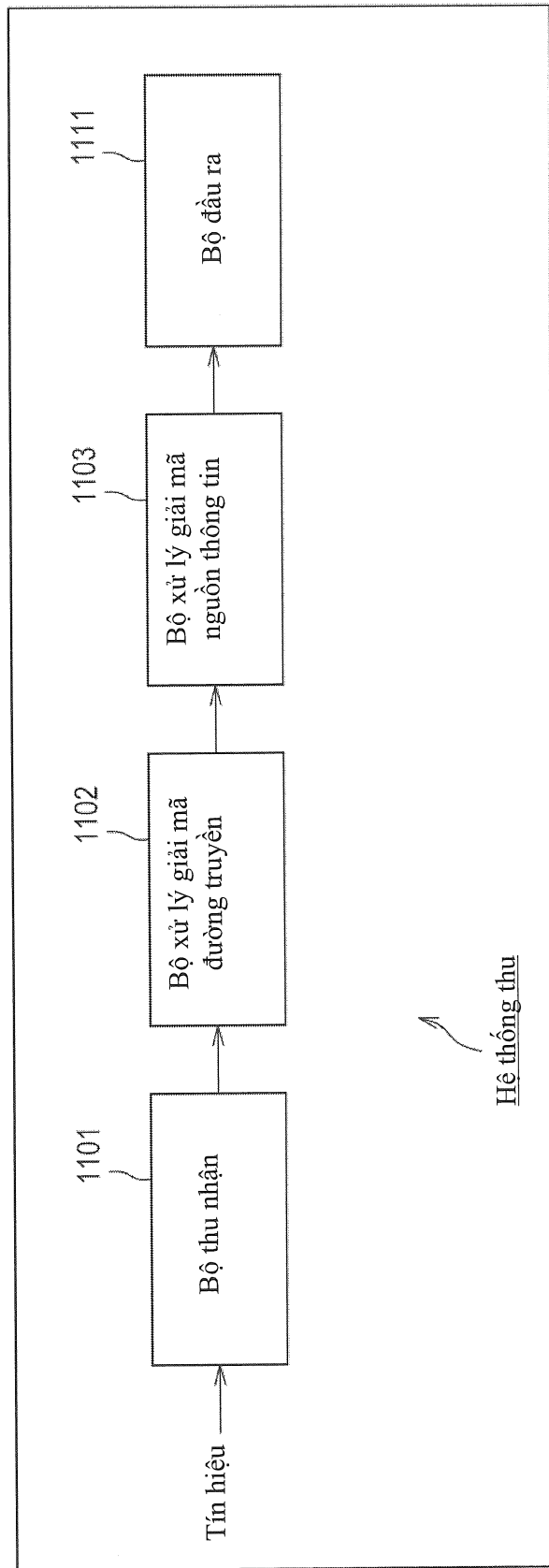
127/130

FIG. 127

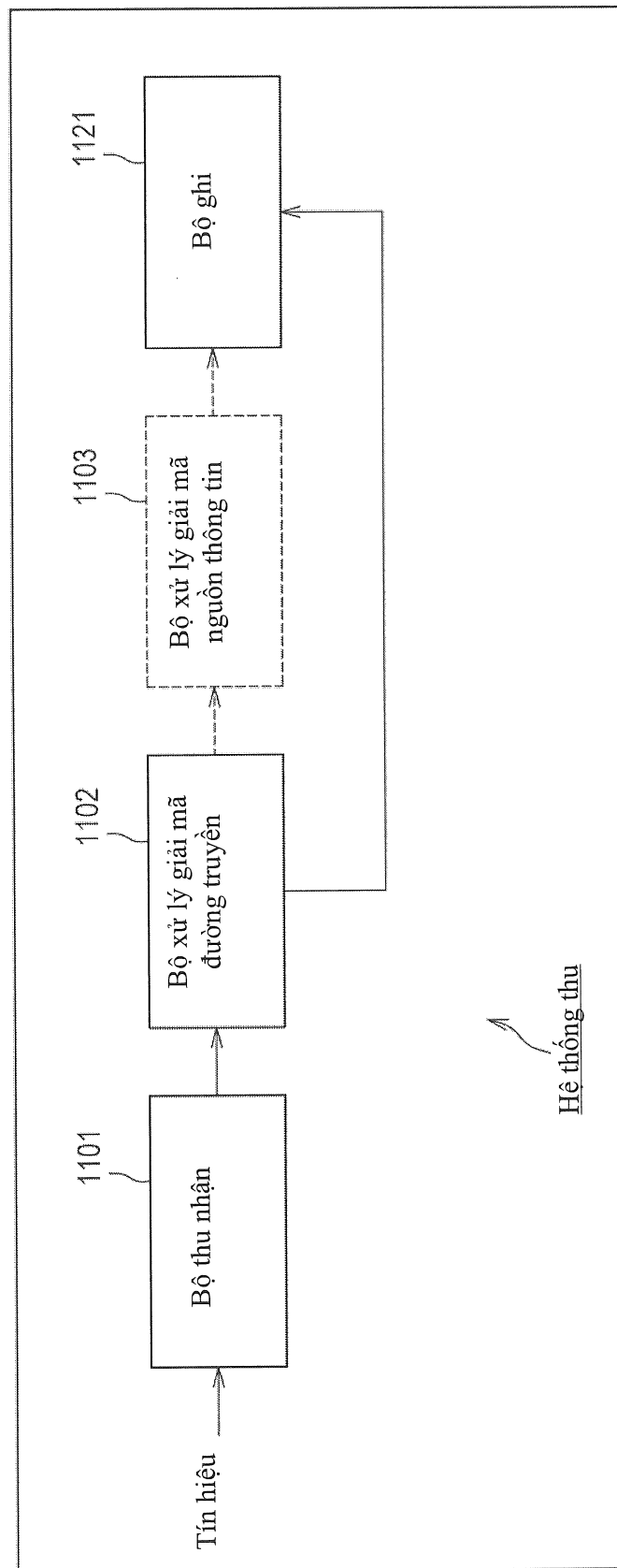


128/130

FIG. 128



129/130

FIG. 129

130/130

FIG. 130